

ANEXO 1

Testes de normalidade e aderência das séries de dados de água bruta, água decantada, água filtrada individual, água filtrada composta e água tratada

Tabela 1 – Resultado do teste de Lilliefors para verificação da normalidade de todas as séries de dados de água bruta, água decantada, água filtrada individual, água filtrada composta e água tratada ao nível de 5% de significância (continua).

Água bruta											
Série	1	2	3	4	5	6	7	8	9	10	11
Estatística	0.1064	0.1303	0.1801	0.2109	0.2311	0.1689	0.1995	0.1300	0.1694	0.2165	0.1125
Valor crítico	0.0123	0.0069	0.0076	0.0090	0.0107	0.0129	0.0121	0.0101	0.0060	0.0149	0.0072
Conclusão	não normal	não normal	não normal	não normal	não normal	não normal	não normal	não normal	não normal	não normal	não normal
Série	12	13	14	15	16	17	18	19	20	21	22
Estatística	0.1933	0.0959	0.1747	0.1678	0.1913	0.1946	0.0994	0.2584	0.2072	0.1275	0.1900
Valor crítico	0.0225	0.0099	0.0076	0.0055	0.0228	0.0075	0.0063	0.0083	0.0166	0.0076	0.0241
Conclusão	não normal	não normal	não normal	não normal	não normal	não normal	não normal	não normal	não normal	não normal	não normal
Série	23	24	25	26	27	28	29	30	31	32	33
Estatística	0.2093	0.1474	0.2282	0.1224	0.1998	0.2597	0.1440	0.1930	0.1650	0.1650	0.1506
Valor crítico	0.0227	0.0109	0.0215	0.0086	0.0117	0.0183	0.0095	0.0076	0.0058	0.0058	0.0063
Conclusão	não normal	não normal	não normal	não normal	não normal	não normal	não normal	não normal	não normal	não normal	não normal
Série	34	35	36	37	38	39	40	41	42	43	
Estatística	0.0936	0.1148	0.0878	0.0775	0.0683	0.1445	0.2447	0.1779	0.1674	0.2240	
Valor crítico	0.0062	0.0061	0.0093	0.0104	0.0065	0.0119	0.0187	0.0097	0.0128	0.0166	
Conclusão	não normal	não normal	não normal	não normal	não normal	não normal	não normal	não normal	não normal	não normal	
Água decantada											
Série	1	2	3	4	5	6	7	8	9	10	
Estatística	0.0522	0.0414	0.0569	0.2741	0.0713	0.1469	0.1345	0.1115	0.0791	0.0465	
Valor crítico	0.0056	0.0056	0.0068	0.0191	0.0181	0.0214	0.0148	0.0145	0.0196	0.0058	
Conclusão	não normal	não normal	não normal	não normal	não normal	não normal	não normal	não normal	não normal	não normal	
Série	11	12	13	14	15	16	17	18	19	20	
Estatística	0.0461	0.1352	0.0574	0.1245	0.0956	0.0554	0.0992	0.0988	0.1170	0.1098	
Valor crítico	0.0058	0.0227	0.0095	0.0136	0.0073	0.0063	0.0118	0.0202	0.0350	0.0343	
Conclusão	não normal	não normal	não normal	não normal	não normal	não normal	não normal	não normal	não normal	não normal	
Série	21	22	23	24	25	26	27	28	29		
Estatística	0.1047	0.0828	0.0905	0.1195	0.0699	0.0448	0.0406	0.1313	0.1001		
Valor crítico	0.0212	0.0257	0.0221	0.0170	0.0157	0.0112	0.0111	0.0062	0.0062		
Conclusão	não normal	não normal	não normal	não normal	não normal	não normal	não normal	não normal	não normal		
Série	30	31	32	33	34	35	36	37	38		
Estatística	0.0777	0.0385	0.0366	0.0539	0.1093	0.1035	0.1005	0.1143	0.1564		
Valor crítico	0.4422	0.4850	0.3807	0.4640	0.3244	0.4026	0.4714	0.3990	0.4022		
Conclusão	não normal	não normal	não normal	não normal	não normal	não normal	não normal	não normal	não normal		

Tabela 1 – Resultado do teste de Lilliefors para verificação da normalidade de todas as séries de dados de água bruta, água decantada, água filtrada individual, água filtrada composta e água tratada ao nível de 5% de significância (continuação).

Água filtrada individual											
Série	1	2	3	4	5	6	7	8	9	10	
Estatística	0.1265	0.1319	0.1361	0.1408	0.1688	0.1146	0.1286	0.1108	0.0808	0.0953	
Valor crítico	0.0058	0.0058	0.0059	0.0059	0.0138	0.0140	0.0137	0.0138	0.0076	0.0073	
Conclusão	não normal	não normal	não normal	não normal	não normal	não normal	não normal	não normal	não normal	não normal	
Série	11	12	13	14	15	16	17	18	19	20	
Estatística	0.1021	0.1069	0.0906	0.0844	0.0764	0.0985	0.0959	0.1093	0.0788	0.0933	
Valor crítico	0.0063	0.0063	0.0224	0.0224	0.0228	0.0176	0.0176	0.0176	0.0114	0.0116	
Conclusão	não normal	não normal	não normal	não normal	não normal	não normal	não normal	não normal	não normal	não normal	
Água filtrada composta											
Série	1	2	3	4	5	6	7	8	9	10	11
Estatística	0.0861	0.0522	0.0445	0.0570	0.1337	0.0578	0.2700	0.0685	0.0951	0.0903	0.1705
Valor crítico	0.0056	0.0056	0.0069	0.0070	0.0212	0.0082	0.0053	0.0213	0.0073	0.0087	0.0065
Conclusão	não normal	não normal	não normal	não normal	não normal	não normal	não normal	não normal	não normal	não normal	não normal
Série	12	13	14	15	16	17	18	19	20	21	
Estatística	0.0825	0.1155	0.1288	0.1105	0.0749	0.0505	0.0834	0.0940	0.1815	0.0564	
Valor crítico	0.0085	0.0176	0.0075	0.0056	0.0056	0.0061	0.0087	0.0061	0.0426	0.0061	
Conclusão	não normal	não normal	não normal	não normal	não normal	não normal	não normal	não normal	não normal	não normal	
Água tratada											
Série	1	2	3	4	5	6	7	8	9		
Estatística	0.1319	0.0657	0.1641	0.0799	0.0994	0.0709	0.1412	0.0339	0.0577		
Valor crítico	0.0073	0.0089	0.0106	0.0063	0.0059	0.0083	0.0096	0.0070	0.0082		
Conclusão	não normal	não normal	não normal	não normal	não normal	não normal	não normal	não normal	não normal		
Série	10	11	12	13	14	15	16	17	18		
Estatística	0.1282	0.1488	0.1048	0.0876	0.0896	0.2563	0.1467	0.0648	0.0796		
Valor crítico	0.0134	0.0052	0.0072	0.0072	0.0062	0.0060	0.0097	0.0104	0.0105		
Conclusão	não normal	não normal	não normal	não normal	não normal	não normal	não normal	não normal	não normal		
Série	19	20	21	22	23	24	25	26	27		
Estatística	0.0672	0.0961	0.0712	0.1095	0.0854	0.1095	0.1269	0.0819	0.0803		
Valor crítico	0.0107	0.0103	0.0084	0.0067	0.0174	0.0068	0.0074	0.0061	0.0061		
Conclusão	não normal	não normal	não normal	não normal	não normal	não normal	não normal	não normal	não normal		
Série	28	29	30	31	32	33	34	35	36		
Estatística	0.0859	0.1833	0.0878	0.0457	0.1753	0.0829	0.1607	0.1272	0.0661		
Valor crítico	0.0062	0.0399	0.0100	0.0061	0.0063	0.0131	0.0054	0.0057	0.0088		
Conclusão	não normal	não normal	não normal	não normal	não normal	não normal	não normal	não normal	não normal		

Tabela 2 – Resultados das estatísticas dos testes de aderência de Chi-quadrado, Anderson-Darling e Kolmogorov-Smirnov ordenados pela estatística do teste de Kolmogorov-Smirnov e limites críticos determinados pelo programa @Risk 5.7 ao nível de 5% de significância e apresentados por Massey (1951) para os níveis de significância de 1 e 5%, para as séries de dados de água bruta (continua).

Série	Chi-Quadrado			Anderson-Darling			Kolmogorov-Smirnov				
	Estatística	P-Valor	Valor crítico (5%)	Estatística	P-Valor	Valor crítico (5%)	Estatística	P-Valor	Valor crítico (5%)	Valor crítico (5%)*	Valor crítico (1%)*
Loglogística	1082.41	0	74.47	26.16	N/D	N/D	0.0523	N/D	N/D	0.0187	0.0224
Lognormal	983.80	0	74.47	26.38	N/D	N/D	0.0549	N/D	N/D	0.0187	0.0224
Gama	934.29	0	74.47	28.65	N/D	N/D	0.0583	N/D	N/D	0.0187	0.0224
Beta	1012.45	0	74.47	31.88	N/D	N/D	0.0643	N/D	N/D	0.0187	0.0224
Weibull	1128.01	0	74.47	45.36	N/D	N/D	0.0727	N/D	N/D	0.0187	0.0224
Triangular	1163.52	0	74.47	79.58	N/D	N/D	0.0897	N/D	N/D	0.0187	0.0224
Normal	1649.41	0	74.47	89.52	< 0,005	0.7519	0.1064	< 0,01	0.0123	0.0187	0.0224
Uniforme	4415.40	0	74.47	613.47	N/D	N/D	0.2273	N/D	N/D	0.0187	0.0224
Exponencial	4622.09	0	74.47	705.68	< 0,01	1.1135	0.3191	< 0,01	0.015	0.0187	0.0224
Série 2	Estatística	P-Valor	Valor crítico (5%)	Estatística	P-Valor	Valor crítico (5%)	Estatística	P-Valor	Valor crítico (5%)	Valor crítico (5%)*	Valor crítico (1%)*
Lognormal	1910.92	0	114.27	35.89	N/D	N/D	0.0312	N/D	N/D	0.0105	0.0126
Loglogística	2368.00	0	114.27	46.38	N/D	N/D	0.039	N/D	N/D	0.0105	0.0126
Beta	1660.69	0	114.27	49.52	N/D	N/D	0.0488	N/D	N/D	0.0105	0.0126
Triangular	2294.96	0	114.27	280.82	N/D	N/D	0.1135	N/D	N/D	0.0105	0.0126
Normal	6974.61	0	114.27	510.08	< 0,005	0.752	0.1303	< 0,01	0.0069	0.0105	0.0126
Exponencial	3924.05	0	114.27	584.32	< 0,01	1.1145	0.1404	< 0,01	0.0084	0.0105	0.0126
Uniforme	10256.31	0	114.27	3380.65	N/D	N/D	0.315	N/D	N/D	0.0105	0.0126
Série 3	Estatística	P-Valor	Valor crítico (5%)	Estatística	P-Valor	Valor crítico (5%)	Estatística	P-Valor	Valor crítico (5%)	Valor crítico (5%)*	Valor crítico (1%)*
Loglogística	123132.70	0	106.39	182.81	N/D	N/D	0.1315	N/D	N/D	0.0115	0.0138
Lognormal	123083.89	0	106.39	170.57	N/D	N/D	0.1317	N/D	N/D	0.0115	0.0138
Triangular	123059.11	0	106.39	330.89	N/D	N/D	0.1387	N/D	N/D	0.0115	0.0138
Gama	124865.72	0	106.39	228.91	N/D	N/D	0.1448	N/D	N/D	0.0115	0.0138
Weibull	123179.74	0	106.39	323.18	N/D	N/D	0.1504	N/D	N/D	0.0115	0.0138
Normal	124905.39	0	106.39	482.45	< 0,005	0.752	0.1801	< 0,01	0.0076	0.0115	0.0138
Uniforme	123320.38	0	106.39	1174.84	N/D	N/D	0.2293	N/D	N/D	0.0115	0.0138
Exponencial	123574.67	0	106.39	2042.76	< 0,01	1.1144	0.3621	< 0,01	0.0092	0.0115	0.0138
Série 4	Estatística	P-Valor	Valor crítico (5%)	Estatística	P-Valor	Valor crítico (5%)	Estatística	P-Valor	Valor crítico (5%)	Valor crítico (5%)*	Valor crítico (1%)*
Lognormal	2284.42	0	93.95	85.78	N/D	N/D	0.0741	N/D	N/D	0.0137	0.0164
Exponencial	3352.53	0	93.95	197.98	< 0,01	1.1142	0.1196	< 0,01	0.0109	0.0137	0.0164
Loglogística	14947.74	0	93.95	650.28	N/D	N/D	0.2038	N/D	N/D	0.0137	0.0164
Normal	17042.88	0	93.95	805.12	< 0,005	0.7519	0.2109	< 0,01	0.009	0.0137	0.0164
Triangular	8590.06	0	93.95	2227.19	N/D	N/D	0.3312	N/D	N/D	0.0137	0.0164
Uniforme	22575.73	0	93.95	5629.02	N/D	N/D	0.4442	N/D	N/D	0.0137	0.0164
Série 5	Estatística	P-Valor	Valor crítico (5%)	Estatística	P-Valor	Valor crítico (5%)	Estatística	P-Valor	Valor crítico (5%)	Valor crítico (5%)*	Valor crítico (1%)*
Lognormal	2544.89	0	82.53	69.04	N/D	N/D	0.0761	N/D	N/D	0.0163	0.0196
Gama	3873.95	0	82.53	+Infinito	N/D	N/D	0.1166	N/D	N/D	0.0163	0.0196
Normal	27422.39	0	82.53	702.32	< 0,005	0.7519	0.2311	< 0,01	0.0107	0.0163	0.0196
Exponencial	6852.75	0	82.53	808.08	< 0,01	1.1139	0.2375	< 0,01	0.0131	0.0163	0.0196
Loglogística	24497.05	0	82.53	578.87	N/D	N/D	0.2526	N/D	N/D	0.0163	0.0196
Triangular	17819.36	0	82.53	3411.02	N/D	N/D	0.4131	N/D	N/D	0.0163	0.0196
Uniforme	33614.59	0	82.53	6338.41	N/D	N/D	0.5074	N/D	N/D	0.0163	0.0196
Série 6	Estatística	P-Valor	Valor crítico (5%)	Estatística	P-Valor	Valor crítico (5%)	Estatística	P-Valor	Valor crítico (5%)	Valor crítico (5%)*	Valor crítico (1%)*
Loglogística	565.59	0	72.15	23.90	N/D	N/D	0.0434	N/D	N/D	0.0196	0.0235
Lognormal	604.38	0	72.15	27.78	N/D	N/D	0.0512	N/D	N/D	0.0196	0.0235
Exponencial	2346.75	0	72.15	353.57	< 0,01	1.1133	0.2326	< 0,01	0.0157	0.0196	0.0235
Triangular	3063.90	0	72.15	904.70	N/D	N/D	0.3158	N/D	N/D	0.0196	0.0235
Normal	3741.20	0	72.15	300.58	< 0,005	0.7519	0.1689	< 0,01	0.0129	0.0196	0.0235
Uniforme	9153.63	0	72.15	2182.70	N/D	N/D	0.4719	N/D	N/D	0.0196	0.0235

*Valores críticos apresentados por Massey (1951).

Tabela 2 – Resultados das estatísticas dos testes de aderência de Chi-quadrado, Anderson-Darling e Kolmogorov-Smirnov ordenados pela estatística do teste de Kolmogorov-Smirnov e limites críticos determinados pelo programa @Risk 5.7 ao nível de 5% de significância e apresentados por Massey (1951) para os níveis de significância de 1 e 5%, para as séries de dados de água bruta (continuação).

Série 7	Chi-Quadrado			Anderson-Darling			Kolmogorov-Smirnov				
	Estatística	P-Valor	Valor crítico (5%)	Estatística	P-Valor	Valor crítico (5%)	Estatística	P-Valor	Valor crítico (5%)	Valor crítico (5%)*	Valor crítico (1%)*
Lognormal	1498.69	0	75.62	71.06	N/D	N/D	0.0742	N/D	N/D	0.0184	0.0220
Beta	1563.10	0	75.62	+Infinito	N/D	N/D	0.0966	N/D	N/D	0.0184	0.0220
Exponencial	2724.77	0	75.62	352.98	< 0,01	1.1135	0.1811	< 0,01	0.0147	0.0184	0.0220
Normal	13636.46	0	75.62	407.20	< 0,005	0.7519	0.1995	< 0,01	0.0121	0.0184	0.0220
Triangular	7850.04	0	75.62	1713.49	N/D	N/D	0.3202	N/D	N/D	0.0184	0.0220
Uniforme	16554.33	0	75.62	3761.25	N/D	N/D	0.4457	N/D	N/D	0.0184	0.0220
Série 8	Estatística	P-Valor	Valor crítico (5%)	Estatística	P-Valor	Valor crítico (5%)	Estatística	P-Valor	Valor crítico (5%)	Valor crítico (5%)*	Valor crítico (1%)*
Loglogística	2063.19	0	85.96	76.97	N/D	N/D	0.07	N/D	N/D	0.0154	0.0184
Gama	2858.18	0	85.96	140.20	N/D	N/D	0.0964	N/D	N/D	0.0154	0.0184
Weibull	3918.26	0	85.96	250.40	N/D	N/D	0.1225	N/D	N/D	0.0154	0.0184
Normal	4798.37	0	85.96	300.94	< 0,005	0.7519	0.13	< 0,01	0.0101	0.0154	0.0184
Triangular	4303.22	0	85.96	447.32	N/D	N/D	0.1502	N/D	N/D	0.0154	0.0184
Uniforme	12502.04	0	85.96	1369.41	N/D	N/D	0.3044	N/D	N/D	0.0154	0.0184
Exponencial	11391.66	0	85.96	1492.72	< 0,01	1.114	0.3952	< 0,01	0.0123	0.0154	0.0184
Série 9	Estatística	P-Valor	Valor crítico (5%)	Estatística	P-Valor	Valor crítico (5%)	Estatística	P-Valor	Valor crítico (5%)	Valor crítico (5%)*	Valor crítico (1%)*
Lognormal	7367.18	0	126.57	222.26	N/D	N/D	0.0765	N/D	N/D	0.0091	0.0109
Exponencial	11205.20	0	126.57	891.29	< 0,01	1.1146	0.1842	< 0,01	0.0073	0.0091	0.0109
Triangular	13008.42	0	126.57	2800.78	N/D	N/D	0.2453	N/D	N/D	0.0091	0.0109
Normal	24709.46	0	126.57	1393.95	< 0,005	0.752	0.1694	< 0,01	0.006	0.0091	0.0109
Uniforme	37402.72	0	126.57	8343.40	N/D	N/D	0.4077	N/D	N/D	0.0091	0.0109
Série 10	Estatística	P-Valor	Valor crítico (5%)	Estatística	P-Valor	Valor crítico (5%)	Estatística	P-Valor	Valor crítico (5%)	Valor crítico (5%)*	Valor crítico (1%)*
Lognormal	1428.91	0	65.17	77.22	N/D	N/D	0.0952	N/D	N/D	0.0226	0.0271
Beta	1792.34	0	65.17	+Infinito	N/D	N/D	0.1453	N/D	N/D	0.0226	0.0271
Exponencial	2168.47	0	65.17	240.03	< 0,01	1.1128	0.2041	< 0,01	0.0181	0.0226	0.0271
Normal	10671.86	0	65.17	281.78	< 0,005	0.7518	0.2165	< 0,01	0.0149	0.0226	0.0271
Loglogística	9357.58	0	65.17	254.70	N/D	N/D	0.2212	N/D	N/D	0.0226	0.0271
Triangular	5648.37	0	65.17	1194.06	N/D	N/D	0.363	N/D	N/D	0.0226	0.0271
Uniforme	11515.57	0	65.17	2507.36	N/D	N/D	0.4509	N/D	N/D	0.0226	0.0271
Série 11	Estatística	P-Valor	Valor crítico (5%)	Estatística	P-Valor	Valor crítico (5%)	Estatística	P-Valor	Valor crítico (5%)	Valor crítico (5%)*	Valor crítico (1%)*
Loglogística	1691.81	0	110.90	34.88	N/D	N/D	0.03	N/D	N/D	0.0109	0.0131
Lognormal	1409.20	0	110.90	34.19	N/D	N/D	0.0317	N/D	N/D	0.0109	0.0131
Triangular	2337.36	0	110.90	305.29	N/D	N/D	0.1087	N/D	N/D	0.0109	0.0131
Normal	5785.11	0	110.90	445.72	< 0,005	0.752	0.1125	< 0,01	0.0072	0.0109	0.0131
Uniforme	11041.12	0	110.90	1972.00	N/D	N/D	0.2643	N/D	N/D	0.0109	0.0131
Exponencial	9368.24	0	110.90	1724.43	< 0,01	1.1145	0.2697	< 0,01	0.0087	0.0109	0.0131
Série 12	Estatística	P-Valor	Valor crítico (5%)	Estatística	P-Valor	Valor crítico (5%)	Estatística	P-Valor	Valor crítico (5%)	Valor crítico (5%)*	Valor crítico (1%)*
Lognormal	1583.36	0	48.60	11.98	N/D	N/D	0.1075	N/D	N/D	0.0342	0.0410
Gama	1586.37	0	48.60	25.38	N/D	N/D	0.137	N/D	N/D	0.0342	0.0410
Weibull	1624.79	0	48.60	37.31	N/D	N/D	0.1365	N/D	N/D	0.0342	0.0410
Loglogística	1628.16	0	48.60	10.63	N/D	N/D	0.0916	N/D	N/D	0.0342	0.0410
Triangular	1812.92	0	48.60	195.25	N/D	N/D	0.2779	N/D	N/D	0.0342	0.0410
Exponencial	1855.82	0	48.60	136.57	< 0,01	1.11	0.2642	< 0,01	0.0274	0.0342	0.0410
Normal	2101.26	0	48.60	82.94	< 0,005	0.7516	0.1933	< 0,01	0.0225	0.0342	0.0410
Uniforme	2965.88	0	48.60	490.65	N/D	N/D	0.4064	N/D	N/D	0.0342	0.0410

*Valores críticos apresentados por Massey (1951).

Tabela 2 – Resultados das estatísticas dos testes de aderência de Chi-quadrado, Anderson-Darling e Kolmogorov-Smirnov ordenados pela estatística do teste de Kolmogorov-Smirnov e limites críticos determinados pelo programa @Risk 5.7 ao nível de 5% de significância e apresentados por Massey (1951) para os níveis de significância de 1 e 5%, para as séries de dados de água bruta (continuação).

Série	Chi-Quadrado			Anderson-Darling			Kolmogorov-Smirnov				
	Estatística	P-Valor	Valor crítico (5%)	Estatística	P-Valor	Valor crítico (5%)	Estatística	P-Valor	Valor crítico (5%)	Valor crítico (5%)*	Valor crítico (1%)*
Série 13											
Loglogística	575.41	0	88.25	6.88	N/D	N/D	0.0188	N/D	N/D	0.0150	0.0179
Lognormal	412.64	0	88.25	11.92	N/D	N/D	0.0284	N/D	N/D	0.0150	0.0179
Gama	556.45	0	88.25	17.00	N/D	N/D	0.0350	N/D	N/D	0.0150	0.0179
Weibull	790.56	0	88.25	42.71	N/D	N/D	0.0515	N/D	N/D	0.0150	0.0179
Normal	1690.61	0	88.25	116.84	< 0,005	0.7519	0.0878	< 0,01	0.0098	0.0150	0.0179
Triangular	1250.93	0	88.25	184.71	N/D	N/D	0.1196	N/D	N/D	0.0150	0.0179
Exponencial	4641.18	0	88.25	818.76	< 0,01	1.114	0.2266	< 0,01	0.012	0.0150	0.0179
Uniforme	5535.81	0	88.25	1229.94	N/D	N/D	0.2913	N/D	N/D	0.0150	0.0179
Série 14											
Lognormal	4193.92	0	106.39	222.77	N/D	N/D	0.0929	N/D	N/D	0.0115	0.0138
Loglogística	4685.31	0	106.39	189.45	N/D	N/D	0.0701	N/D	N/D	0.0115	0.0138
Gama	5418.47	0	106.39	368.98	N/D	N/D	0.1219	N/D	N/D	0.0115	0.0138
Weibull	7224.34	0	106.39	472.23	N/D	N/D	0.1243	N/D	N/D	0.0115	0.0138
Triangular	8949.03	0	106.39	1484.75	N/D	N/D	0.2389	N/D	N/D	0.0115	0.0138
Exponencial	11136.25	0	106.39	1380.79	< 0,01	1.1144	0.2955	< 0,01	0.0092	0.0115	0.0138
Normal	13770.25	0	106.39	858.28	< 0,005	0.752	0.1747	< 0,01	0.0076	0.0115	0.0138
Uniforme	25246.85	0	106.39	4073.78	N/D	N/D	0.3808	N/D	N/D	0.0115	0.0138
Série 15											
Loglogística	60588.71	0	133.26	220.75	N/D	N/D	0.0764	N/D	N/D	0.0084	0.0101
Lognormal	59812.25	0	133.26	227.18	N/D	N/D	0.0910	N/D	N/D	0.0084	0.0101
Gama	59453.38	0	133.26	457.71	N/D	N/D	0.1168	N/D	N/D	0.0084	0.0101
Normal	62462.27	0	133.26	1354.16	< 0,005	0.752	0.1678	< 0,01	0.0055	0.0084	0.0101
Triangular	56487.78	0	133.26	2361.23	N/D	N/D	0.2238	N/D	N/D	0.0084	0.0101
Exponencial	58285.26	0	133.26	2152.59	< 0,01	1.1147	0.2843	< 0,01	0.0067	0.0084	0.0101
Uniforme	56431.64	0	133.26	7562.98	N/D	N/D	0.3787	N/D	N/D	0.0084	0.0101
Série 16											
Gama	525.52	0	48.60	39.37	N/D	N/D	0.1141	N/D	N/D	0.0347	0.0416
Beta	536.48	0	48.60	41.52	N/D	N/D	0.1180	N/D	N/D	0.0347	0.0416
Lognormal	541.40	0	48.60	18.73	N/D	N/D	0.0859	N/D	N/D	0.0347	0.0416
Loglogística	573.12	0	48.60	15.30	N/D	N/D	0.0714	N/D	N/D	0.0347	0.0416
Exponencial	1207.45	0	48.60	132.70	< 0,01	1.1098	0.2762	< 0,01	0.0278	0.0347	0.0416
Triangular	1372.83	0	48.60	288.08	N/D	N/D	0.3219	N/D	N/D	0.0347	0.0416
Normal	1408.65	0	48.60	105.18	< 0,005	0.7516	0.1913	< 0,01	0.0228	0.0347	0.0416
Uniforme	3316.40	0	48.60	659.61	N/D	N/D	0.4634	N/D	N/D	0.0347	0.0416
Série 17											
Lognormal	2885.16	0	106.39	228.78	N/D	N/D	0.0909	N/D	N/D	0.0115	0.0137
Gama	5089.06	0	106.39	436.31	N/D	N/D	0.1285	N/D	N/D	0.0115	0.0137
Normal	12887.93	0	106.39	997.47	< 0,005	0.752	0.1946	< 0,01	0.0075	0.0115	0.0137
Triangular	9258.32	0	106.39	1820.05	N/D	N/D	0.2796	N/D	N/D	0.0115	0.0137
Exponencial	12100.48	0	106.39	1648.91	< 0,01	1.1144	0.3043	< 0,01	0.0092	0.0115	0.0137
Uniforme	26909.44	0	106.39	4433.89	N/D	N/D	0.4127	N/D	N/D	0.0115	0.0137
Série 18											
Weibull	9014.39	0	122.11	247.06	N/D	N/D	0.086	N/D	N/D	0.0095	0.0114
Beta	7919.25	0	122.11	280.71	N/D	N/D	0.092	N/D	N/D	0.0095	0.0114
Lognormal	7845.26	0	122.11	344.51	N/D	N/D	0.0953	N/D	N/D	0.0095	0.0114
Loglogística	9499.62	0	122.11	393.49	N/D	N/D	0.0964	N/D	N/D	0.0095	0.0114
Normal	11746.36	0	122.11	312.64	< 0,005	0.752	0.0994	< 0,01	0.0063	0.0095	0.0114
Triangular	8682.87	0	122.11	454.90	N/D	N/D	0.1136	N/D	N/D	0.0095	0.0114
Uniforme	23286.96	0	122.11	2544.83	N/D	N/D	0.2745	N/D	N/D	0.0095	0.0114
Exponencial	24207.87	0	122.11	3102.14	< 0,01	1.1146	0.3316	< 0,01	0.0076	0.0095	0.0114

*Valores críticos apresentados por Massey (1951).

Tabela 2 – Resultados das estatísticas dos testes de aderência de Chi-quadrado, Anderson-Darling e Kolmogorov-Smirnov ordenados pela estatística do teste de Kolmogorov-Smirnov e limites críticos determinados pelo programa @Risk 5.7 ao nível de 5% de significância e apresentados por Massey (1951) para os níveis de significância de 1 e 5%, para as séries de dados de água bruta (continuação).

Série	Chi-Quadrado			Anderson-Darling			Kolmogorov-Smirnov					
	Estatística	P-Valor	Valor crítico (5%)	Estatística	P-Valor	Valor crítico (5%)	Estatística	P-Valor	Valor crítico (5%)	Valor crítico (5%)*	Valor crítico (1%)*	
Série 19	Lognormal	7928.96	0	99.62	223.78	N/D	N/D	0.0956	N/D	N/D	0.0126	0.0151
	Beta	9044.92	0	99.62	+Infinito	N/D	N/D	0.1205	N/D	N/D	0.0126	0.0151
	Exponencial	26054.01	0	99.62	3066.23	< 0,01	1.1143	0.3056	< 0,01	0.0101	0.0126	0.0151
	Normal	67416.42	0	99.62	1280.45	< 0,005	0.752	0.2584	< 0,01	0.0083	0.0126	0.0151
	Loglogística	68057.83	0	99.62	1112.04	N/D	N/D	0.2748	N/D	N/D	0.0126	0.0151
Série 20	Triangular	76825.31	0	99.62	9184.80	N/D	N/D	0.4782	N/D	N/D	0.0126	0.0151
	Uniforme	132838.03	0	99.62	14697.85	N/D	N/D	0.5574	N/D	N/D	0.0126	0.0151
	Lognormal	662.38	0	60.48	22.16	N/D	N/D	0.0592	N/D	N/D	0.0253	0.0303
	Exponencial	1090.11	0	60.48	83.53	< 0,01	1.1123	0.1406	< 0,01	0.0202	0.0253	0.0303
	Triangular	2907.04	0	60.48	922.30	N/D	N/D	0.3609	N/D	N/D	0.0253	0.0303
Série 21	Normal	5563.48	0	60.48	240.41	< 0,005	0.7518	0.2072	< 0,01	0.0166	0.0253	0.0303
	Uniforme	6847.25	0	60.48	1992.33	N/D	N/D	0.4816	N/D	N/D	0.0253	0.0303
	Lognormal	1946.87	0	106.39	93.31	N/D	N/D	0.0629	N/D	N/D	0.0115	0.0138
	Loglogística	2597.47	0	106.39	98.36	N/D	N/D	0.0555	N/D	N/D	0.0115	0.0138
	Gama	3053.81	0	106.39	195.62	N/D	N/D	0.0813	N/D	N/D	0.0115	0.0138
Série 22	Triangular	5255.27	0	106.39	818.96	N/D	N/D	0.1694	N/D	N/D	0.0115	0.0138
	Normal	8501.52	0	106.39	562.68	< 0,005	0.752	0.1275	< 0,01	0.0076	0.0115	0.0138
	Exponencial	10427.59	0	106.39	1704.23	< 0,01	1.1144	0.3042	< 0,01	0.0092	0.0115	0.0138
	Uniforme	17982.63	0	106.39	3014.01	N/D	N/D	0.3329	N/D	N/D	0.0115	0.0138
	Loglogística	503.77	0	46.19	22.73	N/D	N/D	0.0894	N/D	N/D	0.0367	0.0440
Série 23	Lognormal	506.75	0	46.19	27.29	N/D	N/D	0.1179	N/D	N/D	0.0367	0.0440
	Gama	735.03	0	46.19	45.18	N/D	N/D	0.1398	N/D	N/D	0.0367	0.0440
	Weibull	798.82	0	46.19	55.53	N/D	N/D	0.137	N/D	N/D	0.0367	0.0440
	Triangular	846.27	0	46.19	134.54	N/D	N/D	0.2422	N/D	N/D	0.0367	0.0440
	Exponencial	1154.30	0	46.19	144.05	< 0,01	1.1092	0.3065	< 0,01	0.0294	0.0367	0.0440
	Normal	1361.72	0	46.19	95.55	< 0,005	0.7516	0.19	< 0,01	0.0241	0.0367	0.0440
	Uniforme	2312.35	0	46.19	344.50	N/D	N/D	0.3727	N/D	N/D	0.0367	0.0440
	Lognormal	586.01	0	48.60	18.62	N/D	N/D	0.0976	N/D	N/D	0.0346	0.0414
	Exponencial	590.94	0	48.60	33.27	< 0,01	1.1099	0.131	< 0,01	0.0277	0.0346	0.0414
Série 24	Loglogística	661.03	0	48.60	19.65	N/D	N/D	0.0961	N/D	N/D	0.0346	0.0414
	Beta	679.59	0	48.60	+Infinito	N/D	N/D	0.1272	N/D	N/D	0.0346	0.0414
	Triangular	1267.42	0	48.60	+Infinito	N/D	N/D	0.2934	N/D	N/D	0.0346	0.0414
	Normal	2393.75	0	48.60	107.36	< 0,005	0.7516	0.2093	< 0,01	0.0227	0.0346	0.0414
	Uniforme	3132.25	0	48.60	736.97	N/D	N/D	0.4283	N/D	N/D	0.0346	0.0414
Série 25	Loglogística	880.17	0	81.38	22.44	N/D	N/D	0.0389	N/D	N/D	0.0166	0.0199
	Lognormal	862.28	0	81.38	31.87	N/D	N/D	0.0531	N/D	N/D	0.0166	0.0199
	Gama	1411.51	0	81.38	85.01	N/D	N/D	0.0829	N/D	N/D	0.0166	0.0199
	Normal	3566.00	0	81.38	283.15	< 0,005	0.7519	0.1474	< 0,01	0.0109	0.0166	0.0199
	Triangular	2946.89	0	81.38	463.85	N/D	N/D	0.2163	N/D	N/D	0.0166	0.0199
	Exponencial	6122.85	0	81.38	946.43	< 0,01	1.1138	0.313	< 0,01	0.0133	0.0166	0.0199
	Uniforme	9239.07	0	81.38	1520.59	N/D	N/D	0.3624	N/D	N/D	0.0166	0.0199

*Valores críticos apresentados por Massey (1951).

Tabela 2 – Resultados das estatísticas dos testes de aderência de Chi-quadrado, Anderson-Darling e Kolmogorov-Smirnov ordenados pela estatística do teste de Kolmogorov-Smirnov e limites críticos determinados pelo programa @Risk 5.7 ao nível de 5% de significância e apresentados por Massey (1951) para os níveis de significância de 1 e 5%, para as séries de dados de água bruta (continuação).

Série	Chi-Quadrado			Anderson-Darling			Kolmogorov-Smirnov				
	Estatística	P-Valor	Valor crítico (5%)	Estatística	P-Valor	Valor crítico (5%)	Estatística	P-Valor	Valor crítico (5%)	Valor crítico (5%)*	Valor crítico (1%)*
Série 25											
Lognormal	313.08	0	51.00	20.12	N/D	N/D	0.0677	N/D	N/D	0.0327	0.0392
Exponencial	748.30	0	51.00	68.54	< 0,01	1.1104	0.1508	< 0,01	0.0262	0.0327	0.0392
Normal	3702.35	0	51.00	173.32	< 0,005	0.7517	0.2282	< 0,01	0.0215	0.0327	0.0392
Triangular	2593.03	0	51.00	702.69	N/D	N/D	0.4059	N/D	N/D	0.0327	0.0392
Uniforme	5232.54	0	51.00	1377.73	N/D	N/D	0.5236	N/D	N/D	0.0327	0.0392
Série 26											
Lognormal	1541.30	0	97.35	56.74	N/D	N/D	0.0556	N/D	N/D	0.0130	0.0156
Loglogística	2131.80	0	97.35	73.76	N/D	N/D	0.0583	N/D	N/D	0.0130	0.0156
Normal	7366.71	0	97.35	444.36	< 0,005	0.7519	0.1224	< 0,01	0.0086	0.0130	0.0156
Triangular	2706.95	0	97.35	552.90	N/D	N/D	0.1573	N/D	N/D	0.0130	0.0156
Exponencial	3564.40	0	97.35	519.31	< 0,01	1.1143	0.183	< 0,01	0.0104	0.0130	0.0156
Uniforme	10922.99	0	97.35	2739.89	N/D	N/D	0.3472	N/D	N/D	0.0130	0.0156
Série 27											
Lognormal	1086.26	0	77.93	47.37	N/D	N/D	0.0671	N/D	N/D	0.0178	0.0213
Beta	1028.18	0	77.93	+Infinito	N/D	N/D	0.099	N/D	N/D	0.0178	0.0213
Exponencial	2025.70	0	77.93	390.41	< 0,01	1.1136	0.1783	< 0,01	0.0142	0.0178	0.0213
Normal	14840.94	0	77.93	461.23	< 0,005	0.7519	0.1998	< 0,01	0.0117	0.0178	0.0213
Triangular	6798.98	0	77.93	+Infinito	N/D	N/D	0.3279	N/D	N/D	0.0178	0.0213
Uniforme	16564.15	0	77.93	3886.16	N/D	N/D	0.4438	N/D	N/D	0.0178	0.0213
Série 28											
Lognormal	1532.78	0	56.94	58.45	N/D	N/D	0.1323	N/D	N/D	0.0278	0.0333
Exponencial	2691.52	0	56.94	150.04	< 0,01	1.1117	0.1903	< 0,01	0.0222	0.0278	0.0333
Triangular	7227.35	0	56.94	1187.83	N/D	N/D	0.4513	N/D	N/D	0.0278	0.0333
Normal	8981.79	0	56.94	279.83	< 0,005	0.7518	0.2597	< 0,01	0.0183	0.0278	0.0333
Uniforme	12192.87	0	56.94	2068.73	N/D	N/D	0.5615	N/D	N/D	0.0278	0.0333
Série 29											
Lognormal	2445.92	0	90.53	33.86	N/D	N/D	0.058	N/D	N/D	0.0145	0.0173
Exponencial	4185.90	0	90.53	414.34	< 0,01	1.1141	0.1943	< 0,01	0.0116	0.0145	0.0173
Triangular	4210.13	0	90.53	750.28	N/D	N/D	0.2023	N/D	N/D	0.0145	0.0173
Normal	7774.88	0	90.53	432.56	< 0,005	0.7519	0.144	< 0,01	0.0095	0.0145	0.0173
Uniforme	11199.50	0	90.53	2730.07	N/D	N/D	0.3842	N/D	N/D	0.0145	0.0173
Série 30											
Lognormal	5283.49	0	106.39	197.61	N/D	N/D	0.0856	N/D	N/D	0.0115	0.0138
Exponencial	7555.87	0	106.39	298.40	< 0,01	1.1144	0.098	< 0,01	0.0092	0.0115	0.0138
Normal	34183.52	0	106.39	1048.84	< 0,005	0.752	0.193	< 0,01	0.0076	0.0115	0.0138
Loglogística	29566.40	0	106.39	859.99	N/D	N/D	0.2131	N/D	N/D	0.0115	0.0138
Triangular	17427.37	0	106.39	3387.00	N/D	N/D	0.3077	N/D	N/D	0.0115	0.0138
Uniforme	40954.16	0	106.39	7810.72	N/D	N/D	0.4482	N/D	N/D	0.0115	0.0138
Série 31											
Loglogística	20731.47	0	128.80	96.95	N/D	N/D	0.0478	N/D	N/D	0.0089	0.0106
Lognormal	19770.35	0	128.80	76.17	N/D	N/D	0.0492	N/D	N/D	0.0089	0.0106
Weibull	18188.15	0	128.80	265.51	N/D	N/D	0.0819	N/D	N/D	0.0089	0.0106
Exponencial	18754.82	0	128.80	531.14	< 0,01	1.1147	0.1317	< 0,01	0.0071	0.0089	0.0106
Normal	22309.83	0	128.80	1268.60	< 0,005	0.752	0.165	< 0,01	0.0058	0.0089	0.0106
Triangular	15493.28	0	128.80	2434.47	N/D	N/D	0.2328	N/D	N/D	0.0089	0.0106
Uniforme	34704.60	0	128.80	8922.61	N/D	N/D	0.4028	N/D	N/D	0.0089	0.0106

*Valores críticos apresentados por Massey (1951).

Tabela 2 – Resultados das estatísticas dos testes de aderência de Chi-quadrado, Anderson-Darling e Kolmogorov-Smirnov ordenados pela estatística do teste de Kolmogorov-Smirnov e limites críticos determinados pelo programa @Risk 5.7 ao nível de 5% de significância e apresentados por Massey (1951) para os níveis de significância de 1 e 5%, para as séries de dados de água bruta (continuação).

Série 32	Chi-Quadrado			Anderson-Darling			Kolmogorov-Smirnov				
	Estatística	P-Valor	Valor crítico (5%)	Estatística	P-Valor	Valor crítico (5%)	Estatística	P-Valor	Valor crítico (5%)	Valor crítico (5%)*	Valor crítico (1%)*
Loglogística	20731.47	0	128.80	96.95	N/D	N/D	0.0478	N/D	N/D	0.0089	0.0106
Lognormal	19770.35	0	128.80	76.17	N/D	N/D	0.0492	N/D	N/D	0.0089	0.0106
Weibull	18188.15	0	128.80	265.51	N/D	N/D	0.0819	N/D	N/D	0.0089	0.0106
Exponencial	18754.82	0	128.80	531.14	< 0,01	1.1147	0.1317	< 0,01	0.0071	0.0089	0.0106
Normal	22309.83	0	128.80	1268.60	< 0,005	0.752	0.165	< 0,01	0.0058	0.0089	0.0106
Triangular	15493.28	0	128.80	2434.47	N/D	N/D	0.2328	N/D	N/D	0.0089	0.0106
Uniforme	34704.60	0	128.80	8922.61	N/D	N/D	0.4028	N/D	N/D	0.0089	0.0106
Série 33	Estatística	P-Valor	Valor crítico (5%)	Estatística	P-Valor	Valor crítico (5%)	Estatística	P-Valor	Valor crítico (5%)	Valor crítico (5%)*	Valor crítico (1%)*
Loglogística	121762.54	0	120.99	133.41	N/D	N/D	0.0844	N/D	N/D	0.0096	0.0116
Lognormal	121464.58	0	120.99	134.40	N/D	N/D	0.0882	N/D	N/D	0.0096	0.0116
Gama	122202.89	0	120.99	238.80	N/D	N/D	0.1036	N/D	N/D	0.0096	0.0116
Weibull	122175.82	0	120.99	475.15	N/D	N/D	0.1259	N/D	N/D	0.0096	0.0116
Normal	123345.15	0	120.99	618.60	< 0,005	0.752	0.1506	< 0,01	0.0063	0.0096	0.0116
Triangular	120858.70	0	120.99	829.04	N/D	N/D	0.1642	N/D	N/D	0.0096	0.0116
Uniforme	121195.86	0	120.99	2750.32	N/D	N/D	0.2803	N/D	N/D	0.0096	0.0116
Exponencial	120843.08	0	120.99	3552.05	< 0,01	1.1146	0.3812	< 0,01	0.0077	0.0096	0.0116
Série 34	Estatística	P-Valor	Valor crítico (5%)	Estatística	P-Valor	Valor crítico (5%)	Estatística	P-Valor	Valor crítico (5%)	Valor crítico (5%)*	Valor crítico (1%)*
Loglogística	2726.49	0	123.23	38.60	N/D	N/D	0.0272	N/D	N/D	0.0094	0.0113
Lognormal	2183.36	0	123.23	34.44	N/D	N/D	0.0344	N/D	N/D	0.0094	0.0113
Gama	1955.11	0	123.23	82.85	N/D	N/D	0.0514	N/D	N/D	0.0094	0.0113
Weibull	5308.89	0	123.23	307.75	N/D	N/D	0.0872	N/D	N/D	0.0094	0.0113
Normal	5841.88	0	123.23	331.92	< 0,005	0.752	0.0936	< 0,01	0.0062	0.0094	0.0113
Triangular	6865.54	0	123.23	595.16	N/D	N/D	0.1213	N/D	N/D	0.0094	0.0113
Uniforme	20596.46	0	123.23	2318.50	N/D	N/D	0.2254	N/D	N/D	0.0094	0.0113
Exponencial	29807.19	0	123.23	4377.90	< 0,01	1.1146	0.3793	< 0,01	0.0076	0.0094	0.0113
Série 35	Estatística	P-Valor	Valor crítico (5%)	Estatística	P-Valor	Valor crítico (5%)	Estatística	P-Valor	Valor crítico (5%)	Valor crítico (5%)*	Valor crítico (1%)*
Loglogística	5053.59	0	124.34	218.27	N/D	N/D	0.0755	N/D	N/D	0.0093	0.0111
Lognormal	4169.21	0	124.34	177.12	N/D	N/D	0.0774	N/D	N/D	0.0093	0.0111
Weibull	6834.37	0	124.34	316.20	N/D	N/D	0.0916	N/D	N/D	0.0093	0.0111
Triangular	6040.75	0	124.34	397.07	N/D	N/D	0.1084	N/D	N/D	0.0093	0.0111
Normal	9527.01	0	124.34	487.11	< 0,005	0.752	0.1148	< 0,01	0.0061	0.0093	0.0111
Uniforme	20415.19	0	124.34	2482.88	N/D	N/D	0.2337	N/D	N/D	0.0093	0.0111
Exponencial	20269.64	0	124.34	3263.24	< 0,01	1.1146	0.3411	< 0,01	0.0074	0.0093	0.0111
Série 36	Estatística	P-Valor	Valor crítico (5%)	Estatística	P-Valor	Valor crítico (5%)	Estatística	P-Valor	Valor crítico (5%)	Valor crítico (5%)*	Valor crítico (1%)*
Loglogística	680.33	0	91.67	24.92	N/D	N/D	0.0357	N/D	N/D	0.0141	0.0169
Gama	1071.49	0	91.67	63.35	N/D	N/D	0.0583	N/D	N/D	0.0141	0.0169
Weibull	2441.40	0	91.67	199.67	N/D	N/D	0.0865	N/D	N/D	0.0141	0.0169
Normal	2601.67	0	91.67	199.70	< 0,005	0.7519	0.0878	< 0,01	0.0093	0.0141	0.0169
Triangular	3182.69	0	91.67	403.90	N/D	N/D	0.1382	N/D	N/D	0.0141	0.0169
Uniforme	11291.63	0	91.67	1284.20	N/D	N/D	0.255	N/D	N/D	0.0141	0.0169
Exponencial	13968.00	0	91.67	2014.79	< 0,01	1.1141	0.3971	< 0,01	0.0113	0.0141	0.0169
Série 37	Estatística	P-Valor	Valor crítico (5%)	Estatística	P-Valor	Valor crítico (5%)	Estatística	P-Valor	Valor crítico (5%)	Valor crítico (5%)*	Valor crítico (1%)*
Lognormal	547.35	0	84.82	6.62	N/D	N/D	0.0255	N/D	N/D	0.0158	0.0189
Gama	590.86	0	84.82	16.06	N/D	N/D	0.031	N/D	N/D	0.0158	0.0189
Loglogística	645.82	0	84.82	9.22	N/D	N/D	0.0353	N/D	N/D	0.0158	0.0189
Weibull	1224.19	0	84.82	81.75	N/D	N/D	0.0677	N/D	N/D	0.0158	0.0189
Normal	1799.85	0	84.82	107.49	< 0,005	0.7519	0.0775	< 0,01	0.0104	0.0158	0.0189
Triangular	1859.41	0	84.82	217.70	N/D	N/D	0.1189	N/D	N/D	0.0158	0.0189
Uniforme	6965.88	0	84.82	961.03	N/D	N/D	0.2614	N/D	N/D	0.0158	0.0189
Exponencial	8164.90	0	84.82	1347.77	< 0,01	1.1139	0.3454	< 0,01	0.0126	0.0158	0.0189

*Valores críticos apresentados por Massey (1951).

Tabela 2 – Resultados das estatísticas dos testes de aderência de Chi-quadrado, Anderson-Darling e Kolmogorov-Smirnov ordenados pela estatística do teste de Kolmogorov-Smirnov e limites críticos determinados pelo programa @Risk 5.7 ao nível de 5% de significância e apresentados por Massey (1951) para os níveis de significância de 1 e 5%, para as séries de dados de água bruta (continuação).

Série 38	Chi-Quadrado			Anderson-Darling			Kolmogorov-Smirnov				
	Estatística	P-Valor	Valor crítico (5%)	Estatística	P-Valor	Valor crítico (5%)	Estatística	P-Valor	Valor crítico (5%)	Valor crítico (5%)*	Valor crítico (1%)*
Lognormal	1025.39	0	118.75	21.99	N/D	N/D	0.0262	N/D	N/D	0.0099	0.0118
Gama	1183.92	0	118.75	46.38	N/D	N/D	0.0344	N/D	N/D	0.0099	0.0118
Loglogística	1630.59	0	118.75	47.30	N/D	N/D	0.0351	N/D	N/D	0.0099	0.0118
Weibull	2608.73	0	118.75	169.55	N/D	N/D	0.0536	N/D	N/D	0.0099	0.0118
Normal	4464.28	0	118.75	286.88	< 0,005	0.752	0.0683	< 0,01	0.0065	0.0099	0.0118
Triangular	2958.59	0	118.75	295.90	N/D	N/D	0.0791	N/D	N/D	0.0099	0.0118
Uniforme	13716.61	0	118.75	1949.86	N/D	N/D	0.2232	N/D	N/D	0.0099	0.0118
Exponencial	17000.38	0	118.75	3062.55	< 0,01	1.1146	0.3237	< 0,01	0.0079	0.0099	0.0118
Série 39	Estatística	P-Valor	Valor crítico (5%)	Estatística	P-Valor	Valor crítico (5%)	Estatística	P-Valor	Valor crítico (5%)	Valor crítico (5%)*	Valor crítico (1%)*
Loglogística	640.36	0	76.78	9.80	N/D	N/D	0.0283	N/D	N/D	0.0181	0.0217
Lognormal	473.78	0	76.78	9.45	N/D	N/D	0.0297	N/D	N/D	0.0181	0.0217
Normal	3306.38	0	76.78	261.65	< 0,005	0.7519	0.1445	< 0,01	0.0119	0.0181	0.0217
Exponencial	2063.03	0	76.78	332.07	< 0,01	1.1136	0.1902	< 0,01	0.0145	0.0181	0.0217
Triangular	1715.47	0	76.78	428.03	N/D	N/D	0.2072	N/D	N/D	0.0181	0.0217
Uniforme	6159.42	0	76.78	1668.72	N/D	N/D	0.3925	N/D	N/D	0.0181	0.0217
Série 40	Estatística	P-Valor	Valor crítico (5%)	Estatística	P-Valor	Valor crítico (5%)	Estatística	P-Valor	Valor crítico (5%)	Valor crítico (5%)*	Valor crítico (1%)*
Loglogística	1536.14	0	55.76	71.52	N/D	N/D	0.1234	N/D	N/D	0.0285	0.0341
Lognormal	1651.64	0	55.76	79.59	N/D	N/D	0.1412	N/D	N/D	0.0285	0.0341
Exponencial	2566.03	0	55.76	127.95	< 0,01	1.1115	0.1702	< 0,01	0.0228	0.0285	0.0341
Normal	8592.17	0	55.76	282.15	< 0,005	0.7518	0.2447	< 0,01	0.0187	0.0285	0.0341
Triangular	5740.37	0	55.76	1141.77	N/D	N/D	0.4454	N/D	N/D	0.0285	0.0341
Uniforme	10809.15	0	55.76	1895.93	N/D	N/D	0.556	N/D	N/D	0.0285	0.0341
Série 41	Estatística	P-Valor	Valor crítico (5%)	Estatística	P-Valor	Valor crítico (5%)	Estatística	P-Valor	Valor crítico (5%)	Valor crítico (5%)*	Valor crítico (1%)*
Loglogística	10474.36	0	89.39	23.32	N/D	N/D	0.0468	N/D	N/D	0.0147	0.0177
Lognormal	10367.91	0	89.39	27.51	N/D	N/D	0.0668	N/D	N/D	0.0147	0.0177
Gama	10375.52	0	89.39	84.55	N/D	N/D	0.1013	N/D	N/D	0.0147	0.0177
Normal	12677.10	0	89.39	421.12	< 0,005	0.7519	0.1779	< 0,01	0.0097	0.0147	0.0177
Exponencial	10306.58	0	89.39	557.46	< 0,01	1.1141	0.2173	< 0,01	0.0118	0.0147	0.0177
Triangular	10644.52	0	89.39	887.65	N/D	N/D	0.2541	N/D	N/D	0.0147	0.0177
Uniforme	14900.11	0	89.39	2870.98	N/D	N/D	0.4247	N/D	N/D	0.0147	0.0177
Série 42	Estatística	P-Valor	Valor crítico (5%)	Estatística	P-Valor	Valor crítico (5%)	Estatística	P-Valor	Valor crítico (5%)	Valor crítico (5%)*	Valor crítico (1%)*
Lognormal	1633.68	0	73.31	74.14	N/D	N/D	0.0956	N/D	N/D	0.0194	0.0233
Beta	1599.95	0	73.31	+Infinito	N/D	N/D	0.105	N/D	N/D	0.0194	0.0233
Exponencial	1804.58	0	73.31	91.16	< 0,01	1.1134	0.1065	< 0,01	0.0155	0.0194	0.0233
Normal	7645.96	0	73.31	256.76	< 0,005	0.7519	0.1674	< 0,01	0.0128	0.0194	0.0233
Triangular	3199.56	0	73.31	669.07	N/D	N/D	0.2466	N/D	N/D	0.0194	0.0233
Uniforme	8530.47	0	73.31	2107.03	N/D	N/D	0.3672	N/D	N/D	0.0194	0.0233
Série 43	Estatística	P-Valor	Valor crítico (5%)	Estatística	P-Valor	Valor crítico (5%)	Estatística	P-Valor	Valor crítico (5%)	Valor crítico (5%)*	Valor crítico (1%)*
Loglogística	1080.71	0	60.48	15.02	N/D	N/D	0.0633	N/D	N/D	0.0252	0.0301
Lognormal	999.05	0	60.48	22.35	N/D	N/D	0.0829	N/D	N/D	0.0252	0.0301
Exponencial	1338.61	0	60.48	56.75	< 0,01	1.1123	0.1153	< 0,01	0.0201	0.0252	0.0301
Normal	3847.34	0	60.48	259.79	< 0,005	0.7518	0.224	< 0,01	0.0166	0.0252	0.0301
Triangular	3238.46	0	60.48	786.94	N/D	N/D	0.3837	N/D	N/D	0.0252	0.0301
Uniforme	6904.17	0	60.48	2028.43	N/D	N/D	0.5406	N/D	N/D	0.0252	0.0301

*Valores críticos apresentados por Massey (1951).

Tabela 3 – Resultados das estatísticas dos testes de aderência de Chi-quadrado, Anderson-Darling e Kolmogorov-Smirnov ordenados pela estatística do teste de Kolmogorov-Smirnov e limites críticos determinados pelo programa @Risk 5.7 ao nível de 5% de significância e apresentados por Massey (1951) para os níveis de significância de 1 e 5%, para as séries de dados de água bruta (continua).

Série 1	Chi-Quadrado			Anderson-Darling			Kolmogorov-Smirnov				
	Estatística	P-Valor	Valor crítico (5%)	Estatística	P-Valor	Valor crítico (5%)	Estatística	P-Valor	Valor crítico (5%)	Valor crítico (5%)*	Valor crítico (1%)*
Lognormal	2435.96	0	132.14	16.11	N/D	N/D	0.0235	N/D	N/D	0.00853	0.01023
Beta	2591.40	0	132.14	18.86	N/D	N/D	0.0264	N/D	N/D	0.00853	0.01023
Loglogística	3449.35	0	132.14	40.69	N/D	N/D	0.0273	N/D	N/D	0.00853	0.01023
Weibull	2799.85	0	132.14	37.50	N/D	N/D	0.0357	N/D	N/D	0.00853	0.01023
Normal	3110.78	0	132.14	90.31	< 0,005	0.752	0.0522	< 0,01	0.0056	0.00853	0.01023
Triangular	4085.50	0	132.14	179.13	N/D	N/D	0.0577	N/D	N/D	0.00853	0.01023
Uniforme	15495.88	0	132.14	2083.92	N/D	N/D	0.1718	N/D	N/D	0.00853	0.01023
Exponencial	27765.43	0	132.14	4402.62	< 0,01	1.1147	0.3173	< 0,01	0.0068	0.00853	0.01023
Série 2	Estatística	P-Valor	Valor crítico (5%)	Estatística	P-Valor	Valor crítico (5%)	Estatística	P-Valor	Valor crítico (5%)	Valor crítico (5%)*	Valor crítico (1%)*
Beta	17853.71	0	132.14	5.34	N/D	N/D	0.0198	N/D	N/D	0.00857	0.01027
Lognormal	18837.76	0	132.14	14.19	N/D	N/D	0.0222	N/D	N/D	0.00857	0.01027
Weibull	18039.47	0	132.14	19.39	N/D	N/D	0.0304	N/D	N/D	0.00857	0.01027
Loglogística	19196.55	0	132.14	46.01	N/D	N/D	0.0336	N/D	N/D	0.00857	0.01027
Normal	19113.12	0	132.14	55.26	< 0,005	0.752	0.0414	< 0,01	0.0056	0.00857	0.01027
Triangular	16737.87	0	132.14	197.58	N/D	N/D	0.0550	N/D	N/D	0.00857	0.01027
Uniforme	15939.31	0	132.14	2115.23	N/D	N/D	0.1792	N/D	N/D	0.00857	0.01027
Exponencial	31755.16	0	132.14	4522.38	< 0,01	1.1147	0.3197	< 0,01	0.0069	0.00857	0.01027
Série 3	Estatística	P-Valor	Valor crítico (5%)	Estatística	P-Valor	Valor crítico (5%)	Estatística	P-Valor	Valor crítico (5%)	Valor crítico (5%)*	Valor crítico (1%)*
Lognormal	1106.97	0	115.39	10.60	N/D	N/D	0.0221	N/D	N/D	0.01034	0.01240
Beta	1020.84	0	115.39	12.71	N/D	N/D	0.0232	N/D	N/D	0.01034	0.01240
Loglogística	1505.74	0	115.39	27.21	N/D	N/D	0.0293	N/D	N/D	0.01034	0.01240
Weibull	1434.66	0	115.39	64.87	N/D	N/D	0.0431	N/D	N/D	0.01034	0.01240
Normal	1967.17	0	115.39	103.71	< 0,005	0.752	0.0569	< 0,01	0.0068	0.01034	0.01240
Triangular	2092.45	0	115.39	202.02	N/D	N/D	0.0738	N/D	N/D	0.01034	0.01240
Uniforme	11719.29	0	115.39	1521.42	N/D	N/D	0.1772	N/D	N/D	0.01034	0.01240
Exponencial	19209.80	0	115.39	3188.91	< 0,01	1.1145	0.3306	< 0,01	0.0083	0.01034	0.01240
Série 4	Estatística	P-Valor	Valor crítico (5%)	Estatística	P-Valor	Valor crítico (5%)	Estatística	P-Valor	Valor crítico (5%)	Valor crítico (5%)*	Valor crítico (1%)*
Loglogística	22628.27	0	54.57	133.69	N/D	N/D	0.2566	N/D	N/D	0.02897	0.03472
Weibull	22577.23	0	54.57	134.09	N/D	N/D	0.2633	N/D	N/D	0.02897	0.03472
Lognormal	22631.21	0	54.57	133.92	N/D	N/D	0.2634	N/D	N/D	0.02897	0.03472
Beta	22577.23	0	54.57	133.30	N/D	N/D	0.2638	N/D	N/D	0.02897	0.03472
Normal	22577.23	0	54.57	142.91	< 0,005	0.7517	0.2741	< 0,01	0.0191	0.02897	0.03472
Triangular	22577.34	0	54.57	197.19	N/D	N/D	0.3269	N/D	N/D	0.02897	0.03472
Uniforme	22573.42	0	54.57	258.45	N/D	N/D	0.3578	N/D	N/D	0.02897	0.03472
Exponencial	22576.36	0	54.57	490.54	< 0,01	1.1114	0.4567	< 0,01	0.0232	0.02897	0.03472
Série 5	Estatística	P-Valor	Valor crítico (5%)	Estatística	P-Valor	Valor crítico (5%)	Estatística	P-Valor	Valor crítico (5%)	Valor crítico (5%)*	Valor crítico (1%)*
Beta	120.20	0	56.94	1.52	N/D	N/D	0.0251	N/D	N/D	0.02750	0.03296
Weibull	124.04	0	56.94	1.69	N/D	N/D	0.0247	N/D	N/D	0.02750	0.03296
Triangular	160.74	0	56.94	7.84	N/D	N/D	0.0506	N/D	N/D	0.02750	0.03296
Lognormal	179.70	0	56.94	3.59	N/D	N/D	0.0272	N/D	N/D	0.02750	0.03296
Loglogística	248.82	0	56.94	7.22	N/D	N/D	0.0331	N/D	N/D	0.02750	0.03296
Normal	473.00	0	56.94	23.64	< 0,005	0.7518	0.0713	< 0,01	0.0181	0.02750	0.03296
Uniforme	1033.06	0	56.94	270.62	N/D	N/D	0.2441	N/D	N/D	0.02750	0.03296
Exponencial	1118.03	0	56.94	209.33	< 0,01	1.1117	0.2088	< 0,01	0.022	0.02750	0.03296
Série 6	Estatística	P-Valor	Valor crítico (5%)	Estatística	P-Valor	Valor crítico (5%)	Estatística	P-Valor	Valor crítico (5%)	Valor crítico (5%)*	Valor crítico (1%)*
Lognormal	195.99	0	51.00	2.71	N/D	N/D	0.0307	N/D	N/D	0.03249	0.03894
Loglogística	187.97	0	51.00	4.01	N/D	N/D	0.0367	N/D	N/D	0.03249	0.03894
Exponencial	362.49	0	51.00	40.10	< 0,01	1.1105	0.1154	< 0,01	0.026	0.03249	0.03894
Normal	1101.27	0	51.00	82.45	< 0,005	0.7517	0.1469	< 0,01	0.0214	0.03249	0.03894
Triangular	428.30	0	51.00	114.78	N/D	N/D	0.1975	N/D	N/D	0.03249	0.03894
Uniforme	1702.18	0	51.00	571.33	N/D	N/D	0.3937	N/D	N/D	0.03249	0.03894
Série 7	Estatística	P-Valor	Valor crítico (5%)	Estatística	P-Valor	Valor crítico (5%)	Estatística	P-Valor	Valor crítico (5%)	Valor crítico (5%)*	Valor crítico (1%)*
Loglogística	2275.28	0	66.34	11.31	N/D	N/D	0.0576	N/D	N/D	0.02242	0.02687
Lognormal	2324.64	0	66.34	7.96	N/D	N/D	0.0603	N/D	N/D	0.02242	0.02687
Weibull	2333.85	0	66.34	39.39	N/D	N/D	0.0984	N/D	N/D	0.02242	0.02687
Triangular	2400.00	0	66.34	89.92	N/D	N/D	0.1276	N/D	N/D	0.02242	0.02687
Normal	2679.49	0	66.34	84.86	< 0,005	0.7518	0.1345	< 0,01	0.0148	0.02242	0.02687
Exponencial	3788.34	0	66.34	460.72	< 0,01	1.1128	0.2804	< 0,01	0.0179	0.02242	0.02687
Uniforme	3865.88	0	66.34	514.74	N/D	N/D	0.2696	N/D	N/D	0.02242	0.02687

*Valores críticos apresentados por Massey (1951).

Tabela 3 – Resultados das estatísticas dos testes de aderência de Chi-quadrado, Anderson-Darling e Kolmogorov-Smirnov ordenados pela estatística do teste de Kolmogorov-Smirnov e limites críticos determinados pelo programa @Risk 5.7 ao nível de 5% de significância e apresentados por Massey (1951) para os níveis de significância de 1 e 5%, para as séries de dados de água bruta (continuação).

Série 8	Chi-Quadrado			Anderson-Darling			Kolmogorov-Smirnov				
	Estatística	P-Valor	Valor crítico (5%)	Estatística	P-Valor	Valor crítico (5%)	Estatística	P-Valor	Valor crítico (5%)	Valor crítico (5%)*	Valor crítico (1%)*
Lognormal	1318.76	0	66.34	19.03	N/D	N/D	0.0637	N/D	N/D	0.02197	0.02633
Loglogística	1559.65	0	66.34	25.38	N/D	N/D	0.0673	N/D	N/D	0.02197	0.02633
Triangular	964.32	0	66.34	45.82	N/D	N/D	0.0777	N/D	N/D	0.02197	0.02633
Weibull	1100.28	0	66.34	39.36	N/D	N/D	0.0780	N/D	N/D	0.02197	0.02633
Normal	2161.45	0	66.34	90.27	< 0,005	0.7519	0.1115	< 0,01	0.0145	0.02197	0.02633
Uniforme	3321.39	0	66.34	463.06	N/D	N/D	0.2437	N/D	N/D	0.02197	0.02633
Exponencial	2567.63	0	66.34	400.92	< 0,01	1.1129	0.2723	< 0,01	0.0176	0.02197	0.02633
Série 9	Estatística	P-Valor	Valor crítico (5%)	Estatística	P-Valor	Valor crítico (5%)	Estatística	P-Valor	Valor crítico (5%)	Valor crítico (5%)*	Valor crítico (1%)*
Gama	673.38	0	53.38	5.41	N/D	N/D	0.0456	N/D	N/D	0.02980	0.03571
Lognormal	664.47	0	53.38	4.46	N/D	N/D	0.0475	N/D	N/D	0.02980	0.03571
Loglogística	763.06	0	53.38	7.28	N/D	N/D	0.0536	N/D	N/D	0.02980	0.03571
Weibull	887.01	0	53.38	17.10	N/D	N/D	0.0698	N/D	N/D	0.02980	0.03571
Normal	752.09	0	53.38	20.19	< 0,005	0.7517	0.0791	< 0,01	0.0196	0.02980	0.03571
Triangular	869.82	0	53.38	43.92	N/D	N/D	0.1174	N/D	N/D	0.02980	0.03571
Uniforme	1970.77	0	53.38	219.23	N/D	N/D	0.2244	N/D	N/D	0.02980	0.03571
Exponencial	3061.05	0	53.38	419.87	< 0,01	1.1112	0.3779	< 0,01	0.0238	0.02980	0.03571
Série 10	Estatística	P-Valor	Valor crítico (5%)	Estatística	P-Valor	Valor crítico (5%)	Estatística	P-Valor	Valor crítico (5%)	Valor crítico (5%)*	Valor crítico (1%)*
Beta	4337.71	0	128.80	6.70	N/D	N/D	0.0198	N/D	N/D	0.00883	0.01058
Weibull	4605.42	0	128.80	18.91	N/D	N/D	0.0236	N/D	N/D	0.00883	0.01058
Lognormal	4297.80	0	128.80	17.45	N/D	N/D	0.0259	N/D	N/D	0.00883	0.01058
Loglogística	4213.00	0	128.80	51.64	N/D	N/D	0.0368	N/D	N/D	0.00883	0.01058
Normal	5029.76	0	128.80	84.73	< 0,005	0.752	0.0465	< 0,01	0.0058	0.00883	0.01058
Triangular	5496.06	0	128.80	131.57	N/D	N/D	0.0614	N/D	N/D	0.00883	0.01058
Uniforme	16845.21	0	128.80	1936.28	N/D	N/D	0.2048	N/D	N/D	0.00883	0.01058
Exponencial	23246.03	0	128.80	3675.96	< 0,01	1.1147	0.2948	< 0,01	0.0071	0.00883	0.01058
Série 11	Estatística	P-Valor	Valor crítico (5%)	Estatística	P-Valor	Valor crítico (5%)	Estatística	P-Valor	Valor crítico (5%)	Valor crítico (5%)*	Valor crítico (1%)*
Lognormal	3279.46	0	128.80	16.63	N/D	N/D	0.0241	N/D	N/D	0.00886	0.01061
Loglogística	3873.51	0	128.80	49.93	N/D	N/D	0.0332	N/D	N/D	0.00886	0.01061
Weibull	4119.10	0	128.80	31.61	N/D	N/D	0.0269	N/D	N/D	0.00886	0.01061
Beta	4248.95	0	128.80	6.63	N/D	N/D	0.0176	N/D	N/D	0.00886	0.01061
Normal	4827.94	0	128.80	87.69	< 0,005	0.752	0.0461	< 0,01	0.0058	0.00886	0.01061
Triangular	5232.49	0	128.80	171.16	N/D	N/D	0.0580	N/D	N/D	0.00886	0.01061
Uniforme	16471.30	0	128.80	1945.56	N/D	N/D	0.1919	N/D	N/D	0.00886	0.01061
Exponencial	25066.02	0	128.80	3982.81	< 0,01	1.1147	0.3106	< 0,01	0.0071	0.00886	0.01061
Série 12	Estatística	P-Valor	Valor crítico (5%)	Estatística	P-Valor	Valor crítico (5%)	Estatística	P-Valor	Valor crítico (5%)	Valor crítico (5%)*	Valor crítico (1%)*
Beta	351.68	0	48.60	+Infinito	N/D	N/D	0.0443	N/D	N/D	0.03444	0.04128
Exponencial	432.18	0	48.60	7.36	< 0,01	1.1099	0.0548	< 0,01	0.0276	0.03444	0.04128
Lognormal	471.61	0	48.60	13.18	N/D	N/D	0.0580	N/D	N/D	0.03444	0.04128
Loglogística	431.20	0	48.60	18.37	N/D	N/D	0.0687	N/D	N/D	0.03444	0.04128
Normal	924.74	0	48.60	58.32	< 0,005	0.7516	0.1352	< 0,01	0.0227	0.03444	0.04128
Triangular	514.71	0	48.60	102.16	N/D	N/D	0.1651	N/D	N/D	0.03444	0.04128
Uniforme	1357.31	0	48.60	510.13	N/D	N/D	0.3615	N/D	N/D	0.03444	0.04128
Série 13	Estatística	P-Valor	Valor crítico (5%)	Estatística	P-Valor	Valor crítico (5%)	Estatística	P-Valor	Valor crítico (5%)	Valor crítico (5%)*	Valor crítico (1%)*
Lognormal	307.99	0	90.53	3.52	N/D	N/D	0.0171	N/D	N/D	0.01450	0.01738
Loglogística	482.98	0	90.53	10.99	N/D	N/D	0.0210	N/D	N/D	0.01450	0.01738
Beta	396.31	0	90.53	6.39	N/D	N/D	0.0221	N/D	N/D	0.01450	0.01738
Weibull	531.88	0	90.53	17.82	N/D	N/D	0.0344	N/D	N/D	0.01450	0.01738
Normal	964.34	0	90.53	58.92	< 0,005	0.7519	0.0574	< 0,01	0.0095	0.01450	0.01738
Triangular	608.37	0	90.53	58.58	N/D	N/D	0.0583	N/D	N/D	0.01450	0.01738
Uniforme	4896.05	0	90.53	788.68	N/D	N/D	0.2087	N/D	N/D	0.01450	0.01738
Exponencial	6945.49	0	90.53	1284.17	< 0,01	1.1141	0.2886	< 0,01	0.0116	0.01450	0.01738

*Valores críticos apresentados por Massey (1951).

Tabela 3 – Resultados das estatísticas dos testes de aderência de Chi-quadrado, Anderson-Darling e Kolmogorov-Smirnov ordenados pela estatística do teste de Kolmogorov-Smirnov e limites críticos determinados pelo programa @Risk 5.7 ao nível de 5% de significância e apresentados por Massey (1951) para os níveis de significância de 1 e 5%, para as séries de dados de água bruta (continuação).

Série	Chi-Quadrado			Anderson-Darling			Kolmogorov-Smirnov					
	Estatística	P-Valor	Valor crítico (5%)	Estatística	P-Valor	Valor crítico (5%)	Estatística	P-Valor	Valor crítico (5%)	Valor crítico (5%)*	Valor crítico (1%)*	
Série 14												
Lognormal	348.00	0	69.83	15.50	N/D	N/D	0.0466	N/D	N/D	0.02068	0.02478	
Loglogística	539.02	0	69.83	19.52	N/D	N/D	0.0472	N/D	N/D	0.02068	0.02478	
Weibull	844.33	0	69.83	63.31	N/D	N/D	0.0858	N/D	N/D	0.02068	0.02478	
Triangular	875.03	0	69.83	125.12	N/D	N/D	0.1306	N/D	N/D	0.02068	0.02478	
Normal	1736.26	0	69.83	136.41	< 0,005	0.7519	0.1245	< 0,01	0.0136	0.02068	0.02478	
Exponencial	2610.07	0	69.83	475.13	< 0,01	1.1132	0.2698	< 0,01	0.0166	0.02068	0.02478	
Uniforme	3807.92	0	69.83	695.01	N/D	N/D	0.2807	N/D	N/D	0.02068	0.02478	
Série 15												
Lognormal	731.24	0	109.77	11.50	N/D	N/D	0.0197	N/D	N/D	0.01110	0.01330	
Loglogística	1075.26	0	109.77	21.79	N/D	N/D	0.0252	N/D	N/D	0.01110	0.01330	
Weibull	1554.34	0	109.77	113.86	N/D	N/D	0.0594	N/D	N/D	0.01110	0.01330	
Normal	3794.69	0	109.77	293.36	< 0,005	0.752	0.0956	< 0,01	0.0073	0.01110	0.01330	
Triangular	1717.97	0	109.77	253.97	N/D	N/D	0.0978	N/D	N/D	0.01110	0.01330	
Uniforme	10217.16	0	109.77	1908.61	N/D	N/D	0.2591	N/D	N/D	0.01110	0.01330	
Exponencial	9404.60	0	109.77	1822.20	< 0,01	1.1145	0.2671	< 0,01	0.0089	0.01110	0.01330	
Série 16												
Loglogística	1188.78	0	120.99	19.22	N/D	N/D	0.0210	N/D	N/D	0.00959	0.01150	
Lognormal	1230.44	0	120.99	32.32	N/D	N/D	0.0319	N/D	N/D	0.00959	0.01150	
Gama	1237.87	0	120.99	33.62	N/D	N/D	0.0325	N/D	N/D	0.00959	0.01150	
Weibull	1282.19	0	120.99	71.80	N/D	N/D	0.0465	N/D	N/D	0.00959	0.01150	
Normal	1469.97	0	120.99	88.30	< 0,005	0.752	0.0554	< 0,01	0.0063	0.00959	0.01150	
Triangular	1682.39	0	120.99	161.14	N/D	N/D	0.0610	N/D	N/D	0.00959	0.01150	
Uniforme	11873.20	0	120.99	1507.36	N/D	N/D	0.1654	N/D	N/D	0.00959	0.01150	
Exponencial	22322.17	0	120.99	3510.41	< 0,01	1.1146	0.3173	< 0,01	0.0077	0.00959	0.01150	
Série 17												
Gama	2856.67	0	76.78	64.61	N/D	N/D	0.1137	N/D	N/D	0.01793	0.02149	
Lognormal	3010.64	0	76.78	58.34	N/D	N/D	0.1054	N/D	N/D	0.01793	0.02149	
Weibull	3079.48	0	76.78	64.11	N/D	N/D	0.1135	N/D	N/D	0.01793	0.02149	
Loglogística	3146.74	0	76.78	51.40	N/D	N/D	0.0884	N/D	N/D	0.01793	0.02149	
Beta	3254.56	0	76.78	79.65	N/D	N/D	0.1261	N/D	N/D	0.01793	0.02149	
Normal	3453.79	0	76.78	73.06	< 0,005	0.7519	0.0992	< 0,01	0.0118	0.01793	0.02149	
Triangular	4919.79	0	76.78	462.21	N/D	N/D	0.2502	N/D	N/D	0.01793	0.02149	
Exponencial	5569.56	0	76.78	426.60	< 0,01	1.1136	0.2150	< 0,01	0.0144	0.01793	0.02149	
Uniforme	9392.65	0	76.78	2049.16	N/D	N/D	0.4701	N/D	N/D	0.01793	0.02149	
Série 18												
Triangular	816.77	0	53.38	26.45	N/D	N/D	0.1067	N/D	N/D	0.03066	0.03674	
Lognormal	900.96	0	53.38	4.03	N/D	N/D	0.0574	N/D	N/D	0.03066	0.03674	
Gama	907.02	0	53.38	4.52	N/D	N/D	0.0585	N/D	N/D	0.03066	0.03674	
Weibull	960.49	0	53.38	8.71	N/D	N/D	0.0666	N/D	N/D	0.03066	0.03674	
Loglogística	1004.40	0	53.38	2.96	N/D	N/D	0.0541	N/D	N/D	0.03066	0.03674	
Normal	1049.27	0	53.38	18.59	< 0,005	0.7517	0.0988	< 0,01	0.0202	0.03066	0.03674	
Uniforme	1565.98	0	53.38	207.39	N/D	N/D	0.2592	N/D	N/D	0.03066	0.03674	
Exponencial	1867.67	0	53.38	232.25	< 0,01	1.111	0.2792	< 0,01	0.0245	0.03066	0.03674	
Série 19												
Loglogística	116.79	0	36.42	1.86	N/D	N/D	0.0477	N/D	N/D	0.05326	0.06384	
Lognormal	139.26	0	36.42	1.29	N/D	N/D	0.0475	N/D	N/D	0.05326	0.06384	
Weibull	144.86	0	36.42	3.88	N/D	N/D	0.0810	N/D	N/D	0.05326	0.06384	
Triangular	147.31	0	36.42	7.30	N/D	N/D	0.0977	N/D	N/D	0.05326	0.06384	
Normal	210.73	0	36.42	10.36	< 0,005	0.7511	0.1170	< 0,01	0.035	0.05326	0.06384	
Exponencial	419.70	0	36.42	79.18	< 0,01	1.1029	0.2675	< 0,01	0.0426	0.05326	0.06384	
Uniforme	508.43	0	36.42	71.84	N/D	N/D	0.2594	N/D	N/D	0.05326	0.06384	
Série 20												
Loglogística	837.31	0	36.42	3.89	N/D	N/D	0.0789	N/D	N/D	0.05219	0.06255	
Lognormal	843.94	0	36.42	3.64	N/D	N/D	0.0813	N/D	N/D	0.05219	0.06255	
Gama	843.94	0	36.42	3.65	N/D	N/D	0.0822	N/D	N/D	0.05219	0.06255	
Weibull	834.14	0	36.42	4.74	N/D	N/D	0.1037	N/D	N/D	0.05219	0.06255	
Normal	874.72	0	36.42	5.48	< 0,005	0.7512	0.1098	< 0,01	0.0343	0.05219	0.06255	
Triangular	833.63	0	36.42	10.40	N/D	N/D	0.1146	N/D	N/D	0.05219	0.06255	
Uniforme	819.56	0	36.42	57.52	N/D	N/D	0.2064	N/D	N/D	0.05219	0.06255	
Exponencial	913.45	0	36.42	118.93	< 0,01	1.1034	0.3352	< 0,01	0.0417	0.05219	0.06255	

Tabela 3 – Resultados das estatísticas dos testes de aderência de Chi-quadrado, Anderson-Darling e Kolmogorov-Smirnov ordenados pela estatística do teste de Kolmogorov-Smirnov e limites críticos determinados pelo programa @Risk 5.7 ao nível de 5% de significância e apresentados por Massey (1951) para os níveis de significância de 1 e 5%, para as séries de dados de água bruta (continuação).

Série 21	Chi-Quadrado			Anderson-Darling			Kolmogorov-Smirnov				
	Estatística	P-Valor	Valor crítico (5%)	Estatística	P-Valor	Valor crítico (5%)	Estatística	P-Valor	Valor crítico (5%)	Valor crítico (5%)*	Valor crítico (1%)*
Loglogística	375.39	0	51.00	6.94	N/D	N/D	0.0705	N/D	N/D	0.03226	0.03867
Lognormal	334.67	0	51.00	11.90	N/D	N/D	0.0886	N/D	N/D	0.03226	0.03867
Gama	345.49	0	51.00	12.08	N/D	N/D	0.0896	N/D	N/D	0.03226	0.03867
Weibull	469.42	0	51.00	16.07	N/D	N/D	0.1011	N/D	N/D	0.03226	0.03867
Normal	585.15	0	51.00	14.45	< 0,005	0.7517	0.1047	< 0,01	0.0212	0.03226	0.03867
Triangular	484.71	0	51.00	29.40	N/D	N/D	0.1432	N/D	N/D	0.03226	0.03867
Uniforme	1409.73	0	51.00	142.10	N/D	N/D	0.2278	N/D	N/D	0.03226	0.03867
Exponencial	2379.81	0	51.00	278.90	< 0,01	1.1105	0.2970	< 0,01	0.0258	0.03226	0.03867
Série 22	Estatística	P-Valor	Valor crítico (5%)	Estatística	P-Valor	Valor crítico (5%)	Estatística	P-Valor	Valor crítico (5%)	Valor crítico (5%)*	Valor crítico (1%)*
Gama	59.01	0.0018	44.99	1.72	N/D	N/D	0.0383	N/D	N/D	0.03911	0.04688
Lognormal	62.34	0.0007	44.99	1.38	N/D	N/D	0.0349	N/D	N/D	0.03911	0.04688
Loglogística	83.41	0	44.99	1.51	N/D	N/D	0.0275	N/D	N/D	0.03911	0.04688
Weibull	123.43	0	44.99	5.85	N/D	N/D	0.0561	N/D	N/D	0.03911	0.04688
Beta	140.00	0	44.99	10.09	N/D	N/D	0.0721	N/D	N/D	0.03911	0.04688
Triangular	140.06	0	44.99	11.05	N/D	N/D	0.0759	N/D	N/D	0.03911	0.04688
Normal	190.87	0	44.99	12.50	< 0,005	0.7515	0.0828	< 0,01	0.0257	0.03911	0.04688
Uniforme	774.13	0	44.99	110.41	N/D	N/D	0.2142	N/D	N/D	0.03911	0.04688
Exponencial	1012.18	0	44.99	180.31	< 0,01	1.1084	0.3060	< 0,01	0.0313	0.03911	0.04688
Série 23	Estatística	P-Valor	Valor crítico (5%)	Estatística	P-Valor	Valor crítico (5%)	Estatística	P-Valor	Valor crítico (5%)	Valor crítico (5%)*	Valor crítico (1%)*
Triangular	129.33	0	49.80	18.99	N/D	N/D	0.0719	N/D	N/D	0.03352	0.04018
Beta	146.48	0	49.80	5.87	N/D	N/D	0.0507	N/D	N/D	0.03352	0.04018
Weibull	161.83	0	49.80	9.97	N/D	N/D	0.0589	N/D	N/D	0.03352	0.04018
Lognormal	274.03	0	49.80	18.14	N/D	N/D	0.0796	N/D	N/D	0.03352	0.04018
Loglogística	369.96	0	49.80	21.88	N/D	N/D	0.0762	N/D	N/D	0.03352	0.04018
Exponencial	416.41	0	49.80	57.66	< 0,01	1.1102	0.1064	< 0,01	0.0268	0.03352	0.04018
Normal	566.67	0	49.80	26.13	< 0,005	0.7517	0.0905	< 0,01	0.0221	0.03352	0.04018
Uniforme	933.18	0	49.80	336.33	N/D	N/D	0.3072	N/D	N/D	0.03352	0.04018
Série 24	Estatística	P-Valor	Valor crítico (5%)	Estatística	P-Valor	Valor crítico (5%)	Estatística	P-Valor	Valor crítico (5%)	Valor crítico (5%)*	Valor crítico (1%)*
Loglogística	306.50	0	59.30	6.51	N/D	N/D	0.0406	N/D	N/D	0.02585	0.03099
Lognormal	208.16	0	59.30	6.77	N/D	N/D	0.0476	N/D	N/D	0.02585	0.03099
Gama	239.26	0	59.30	12.95	N/D	N/D	0.0632	N/D	N/D	0.02585	0.03099
Weibull	444.30	0	59.30	32.43	N/D	N/D	0.0866	N/D	N/D	0.02585	0.03099
Triangular	453.94	0	59.30	56.53	N/D	N/D	0.1154	N/D	N/D	0.02585	0.03099
Normal	785.93	0	59.30	65.12	< 0,005	0.7518	0.1195	< 0,01	0.017	0.02585	0.03099
Uniforme	2146.39	0	59.30	332.63	N/D	N/D	0.2433	N/D	N/D	0.02585	0.03099
Exponencial	2112.61	0	59.30	369.91	< 0,01	1.1121	0.2894	< 0,01	0.0207	0.02585	0.03099
Série 25	Estatística	P-Valor	Valor crítico (5%)	Estatística	P-Valor	Valor crítico (5%)	Estatística	P-Valor	Valor crítico (5%)	Valor crítico (5%)*	Valor crítico (1%)*
Lognormal	2870.31	0	62.83	11.57	N/D	N/D	0.0672	N/D	N/D	0.02391	0.02865
Weibull	2873.33	0	62.83	9.14	N/D	N/D	0.0718	N/D	N/D	0.02391	0.02865
Beta	2942.93	0	62.83	9.64	N/D	N/D	0.0704	N/D	N/D	0.02391	0.02865
Normal	3008.93	0	62.83	13.10	< 0,005	0.7518	0.0699	< 0,01	0.0157	0.02391	0.02865
Loglogística	3081.72	0	62.83	13.85	N/D	N/D	0.0638	N/D	N/D	0.02391	0.02865
Triangular	3114.55	0	62.83	31.24	N/D	N/D	0.1186	N/D	N/D	0.02391	0.02865
Uniforme	3855.60	0	62.83	234.22	N/D	N/D	0.2046	N/D	N/D	0.02391	0.02865
Exponencial	5169.33	0	62.83	536.71	< 0,01	1.1125	0.2975	< 0,01	0.0191	0.02391	0.02865
Série 26	Estatística	P-Valor	Valor crítico (5%)	Estatística	P-Valor	Valor crítico (5%)	Estatística	P-Valor	Valor crítico (5%)	0.02391	0.02865
Gama	183.73	0	80.23	1.26	N/D	N/D	0.0109	N/D	N/D	0.01708	0.02047
Lognormal	174.01	0	80.23	1.58	N/D	N/D	0.0124	N/D	N/D	0.01708	0.02047
Beta	232.01	0	80.23	1.79	N/D	N/D	0.0172	N/D	N/D	0.01708	0.02047
Loglogística	372.52	0	80.23	7.44	N/D	N/D	0.0249	N/D	N/D	0.01708	0.02047
Weibull	261.37	0	80.23	12.37	N/D	N/D	0.0354	N/D	N/D	0.01708	0.02047
Normal	447.44	0	80.23	24.46	< 0,005	0.7519	0.0448	< 0,01	0.0112	0.01708	0.02047
Triangular	557.61	0	80.23	58.51	N/D	N/D	0.0633	N/D	N/D	0.01708	0.02047
Uniforme	3803.50	0	80.23	543.17	N/D	N/D	0.1801	N/D	N/D	0.01708	0.02047
Exponencial	6659.30	0	80.23	1127.35	< 0,01	1.1137	0.3241	< 0,01	0.0137	0.01708	0.02047

*Valores críticos apresentados por Massey (1951).

Tabela 3 – Resultados das estatísticas dos testes de aderência de Chi-quadrado, Anderson-Darling e Kolmogorov-Smirnov ordenados pela estatística do teste de Kolmogorov-Smirnov e limites críticos determinados pelo programa @Risk 5.7 ao nível de 5% de significância e apresentados por Massey (1951) para os níveis de significância de 1 e 5%, para as séries de dados de água bruta (continuação).

Série 27	Chi-Quadrado			Anderson-Darling			Kolmogorov-Smirnov				
	Estatística	P-Valor	Valor crítico (5%)	Estatística	P-Valor	Valor crítico (5%)	Estatística	P-Valor	Valor crítico (5%)	Valor crítico (5%)*	Valor crítico (1%)*
Lognormal	202.09	0	80.23	4.66	N/D	N/D	0.0232	N/D	N/D	0.01693	0.02030
Weibull	250.25	0	80.23	9.55	N/D	N/D	0.0248	N/D	N/D	0.01693	0.02030
Loglogística	452.80	0	80.23	13.48	N/D	N/D	0.0320	N/D	N/D	0.01693	0.02030
Beta	324.90	0	80.23	16.78	N/D	N/D	0.0356	N/D	N/D	0.01693	0.02030
Normal	433.46	0	80.23	21.72	< 0,005	0.7519	0.0406	< 0,01	0.0111	0.01693	0.02030
Triangular	543.66	0	80.23	47.12	N/D	N/D	0.0616	N/D	N/D	0.01693	0.02030
Uniforme	3665.11	0	80.23	534.56	N/D	N/D	0.1715	N/D	N/D	0.01693	0.02030
Exponencial	6661.36	0	80.23	1143.55	< 0,01	1.1138	0.3237	< 0,01	0.0136	0.01693	0.02030
Série 28	Estatística	P-Valor	Valor crítico (5%)	Estatística	P-Valor	Valor crítico (5%)	Estatística	P-Valor	Valor crítico (5%)	Valor crítico (5%)*	Valor crítico (1%)*
Loglogística	111746.85	0	123.23	103.94	N/D	N/D	0.0822	N/D	N/D	0.00945	0.01133
Lognormal	111406.12	0	123.23	101.35	N/D	N/D	0.0866	N/D	N/D	0.00945	0.01133
Gama	111504.11	0	123.23	157.07	N/D	N/D	0.1008	N/D	N/D	0.00945	0.01133
Weibull	112186.51	0	123.23	388.29	N/D	N/D	0.1154	N/D	N/D	0.00945	0.01133
Normal	112577.95	0	123.23	416.90	< 0,005	0.752	0.1313	< 0,01	0.0062	0.00945	0.01133
Triangular	110721.57	0	123.23	665.17	N/D	N/D	0.1520	N/D	N/D	0.00945	0.01133
Uniforme	110537.27	0	123.23	2286.74	N/D	N/D	0.2447	N/D	N/D	0.00945	0.01133
Exponencial	110736.94	0	123.23	4406.70	< 0,01	1.1146	0.4020	< 0,01	0.0076	0.00945	0.01133
Série 29	Estatística	P-Valor	Valor crítico (5%)	Estatística	P-Valor	Valor crítico (5%)	Estatística	P-Valor	Valor crítico (5%)	Valor crítico (5%)*	Valor crítico (1%)*
Lognormal	10833.08	0	123.23	37.90	N/D	N/D	0.0430	N/D	N/D	0.00938	0.01124
Loglogística	11427.84	0	123.23	59.37	N/D	N/D	0.0430	N/D	N/D	0.00938	0.01124
Gama	10461.33	0	123.23	84.45	N/D	N/D	0.0591	N/D	N/D	0.00938	0.01124
Weibull	9783.44	0	123.23	228.12	N/D	N/D	0.0714	N/D	N/D	0.00938	0.01124
Triangular	8385.60	0	123.23	338.97	N/D	N/D	0.0815	N/D	N/D	0.00938	0.01124
Normal	11229.91	0	123.23	422.76	< 0,005	0.752	0.1001	< 0,01	0.0062	0.00938	0.01124
Uniforme	23479.50	0	123.23	2282.58	N/D	N/D	0.2390	N/D	N/D	0.00938	0.01124
Exponencial	21116.95	0	123.23	3056.19	< 0,01	1.1146	0.3132	< 0,01	0.0075	0.00938	0.01124
Série 30	Estatística	P-Valor	Valor crítico (5%)	Estatística	P-Valor	Valor crítico (5%)	Estatística	P-Valor	Valor crítico (5%)	Valor crítico (5%)*	Valor crítico (1%)*
Loglogística	1359.76	0	95.08	14.60	N/D	N/D	0.0296	N/D	N/D	0.01347	0.01614
Lognormal	1006.94	0	95.08	11.66	N/D	N/D	0.0319	N/D	N/D	0.01347	0.01614
Beta	973.68	0	95.08	15.84	N/D	N/D	0.0341	N/D	N/D	0.01347	0.01614
Gama	830.31	0	95.08	16.10	N/D	N/D	0.0361	N/D	N/D	0.01347	0.01614
Weibull	1868.21	0	95.08	80.91	N/D	N/D	0.0638	N/D	N/D	0.01347	0.01614
Normal	2078.76	0	95.08	107.65	< 0,005	0.7519	0.0777	< 0,01	0.0089	0.01347	0.01614
Triangular	2108.55	0	95.08	177.28	N/D	N/D	0.0917	N/D	N/D	0.01347	0.01614
Uniforme	8218.21	0	95.08	974.84	N/D	N/D	0.1889	N/D	N/D	0.01347	0.01614
Exponencial	12289.59	0	95.08	1922.67	< 0,01	1.1142	0.3470	< 0,01	0.0108	0.01347	0.01614
Série 31	Estatística	P-Valor	Valor crítico (5%)	Estatística	P-Valor	Valor crítico (5%)	Estatística	P-Valor	Valor crítico (5%)	Valor crítico (5%)*	Valor crítico (1%)*
Lognormal	272.14	0	84.82	2.19	N/D	N/D	0.0138	N/D	N/D	0.01567	0.01878
Beta	235.50	0	84.82	3.36	N/D	N/D	0.0174	N/D	N/D	0.01567	0.01878
Loglogística	469.43	0	84.82	8.42	N/D	N/D	0.0198	N/D	N/D	0.01567	0.01878
Weibull	308.10	0	84.82	6.95	N/D	N/D	0.0245	N/D	N/D	0.01567	0.01878
Normal	554.87	0	84.82	22.90	< 0,005	0.7519	0.0385	< 0,01	0.0103	0.01567	0.01878
Triangular	472.40	0	84.82	36.54	N/D	N/D	0.0468	N/D	N/D	0.01567	0.01878
Uniforme	3952.47	0	84.82	561.09	N/D	N/D	0.1755	N/D	N/D	0.01567	0.01878
Exponencial	7122.11	0	84.82	1213.53	< 0,01	1.1139	0.2943	< 0,01	0.0125	0.01567	0.01878
Série 32	Estatística	P-Valor	Valor crítico (5%)	Estatística	P-Valor	Valor crítico (5%)	Estatística	P-Valor	Valor crítico (5%)	Valor crítico (5%)*	Valor crítico (1%)*
Loglogística	278.79	0	87.11	2.39	N/D	N/D	0.0143	N/D	N/D	0.01532	0.01836
Gama	690.38	0	87.11	+Infinito	N/D	N/D	0.0552	N/D	N/D	0.01532	0.01836
Normal	15484.94	0	87.11	+Infinito	< 0,005	0.7519	0.3047	< 0,01	0.01	0.01532	0.01836
Exponencial	11086.52	0	87.11	+Infinito	< 0,01	1.114	0.3529	< 0,01	0.0122	0.01532	0.01836
Triangular	253760.35	0	87.11	23834.86	N/D	N/D	0.9547	N/D	N/D	0.01532	0.01836
Uniforme	484268.52	0	87.11	28515.19	N/D	N/D	0.9731	N/D	N/D	0.01532	0.01836

*Valores críticos apresentados por Massey (1951).

Tabela 3 – Resultados das estatísticas dos testes de aderência de Chi-quadrado, Anderson-Darling e Kolmogorov-Smirnov ordenados pela estatística do teste de Kolmogorov-Smirnov e limites críticos determinados pelo programa @Risk 5.7 ao nível de 5% de significância e apresentados por Massey (1951) para os níveis de significância de 1 e 5%, para as séries de dados de água bruta (continuação).

Série 33	Chi-Quadrado			Anderson-Darling			Kolmogorov-Smirnov				
	Estatística	P-Valor	Valor crítico (5%)	Estatística	P-Valor	Valor crítico (5%)	Estatística	P-Valor	Valor crítico (5%)	Valor crítico (5%)*	Valor crítico (1%)*
Lognormal	11303.32	0	131.03	11.71	N/D	N/D	0.0217	N/D	N/D	0.00862	0.01033
Gama	11258.47	0	131.03	11.73	N/D	N/D	0.0222	N/D	N/D	0.00862	0.01033
Beta	10604.07	0	131.03	20.02	N/D	N/D	0.0246	N/D	N/D	0.00862	0.01033
Loglogística	12167.44	0	131.03	31.99	N/D	N/D	0.0278	N/D	N/D	0.00862	0.01033
Weibull	10711.25	0	131.03	74.04	N/D	N/D	0.0417	N/D	N/D	0.00862	0.01033
Normal	11575.05	0	131.03	106.22	< 0,005	0.752	0.0539	< 0,01	0.0057	0.00862	0.01033
Triangular	9710.56	0	131.03	321.94	N/D	N/D	0.0838	N/D	N/D	0.00862	0.01033
Uniforme	21572.37	0	131.03	2264.38	N/D	N/D	0.1936	N/D	N/D	0.00862	0.01033
Exponencial	32762.11	0	131.03	4737.89	< 0,01	1.1147	0.3452	< 0,01	0.0069	0.00862	0.01033
Série 34	Estatística	P-Valor	Valor crítico (5%)	Estatística	P-Valor	Valor crítico (5%)	Estatística	P-Valor	Valor crítico (5%)	Valor crítico (5%)*	Valor crítico (1%)*
Lognormal	1768.94	0	64.00	34.43	N/D	N/D	0.0998	N/D	N/D	0.02337	0.02801
Loglogística	1874.86	0	64.00	40.22	N/D	N/D	0.1042	N/D	N/D	0.02337	0.02801
Triangular	1443.03	0	64.00	89.17	N/D	N/D	0.1080	N/D	N/D	0.02337	0.02801
Normal	2805.29	0	64.00	86.44	< 0,005	0.7518	0.1093	< 0,01	0.0154	0.02337	0.02801
Exponencial	2008.29	0	64.00	180.84	< 0,01	1.1127	0.1956	< 0,01	0.0187	0.02337	0.02801
Uniforme	3274.49	0	64.00	688.42	N/D	N/D	0.3116	N/D	N/D	0.02337	0.02801
Série 35	Estatística	P-Valor	Valor crítico (5%)	Estatística	P-Valor	Valor crítico (5%)	Estatística	P-Valor	Valor crítico (5%)	Valor crítico (5%)*	Valor crítico (1%)*
Triangular	297.69	0	48.60	26.33	N/D	N/D	0.1093	N/D	N/D	0.03409	0.04085
Lognormal	344.39	0	48.60	3.42	N/D	N/D	0.0487	N/D	N/D	0.03409	0.04085
Weibull	345.36	0	48.60	11.05	N/D	N/D	0.0675	N/D	N/D	0.03409	0.04085
Loglogística	349.22	0	48.60	5.51	N/D	N/D	0.0554	N/D	N/D	0.03409	0.04085
Gama	380.93	0	48.60	4.86	N/D	N/D	0.0543	N/D	N/D	0.03409	0.04085
Normal	537.86	0	48.60	30.51	< 0,005	0.7516	0.1035	< 0,01	0.0224	0.03409	0.04085
Uniforme	1121.64	0	48.60	203.01	N/D	N/D	0.2677	N/D	N/D	0.03409	0.04085
Exponencial	1206.02	0	48.60	174.71	< 0,01	1.11	0.2663	< 0,01	0.0273	0.03409	0.04085
Série 36	Estatística	P-Valor	Valor crítico (5%)	Estatística	P-Valor	Valor crítico (5%)	Estatística	P-Valor	Valor crítico (5%)	Valor crítico (5%)*	Valor crítico (1%)*
Triangular	9573.51	0	73.31	37.65	N/D	N/D	0.0751	N/D	N/D	0.01913	0.02292
Beta	9705.29	0	73.31	14.83	N/D	N/D	0.0775	N/D	N/D	0.01913	0.02292
Weibull	9726.58	0	73.31	18.75	N/D	N/D	0.0817	N/D	N/D	0.01913	0.02292
Lognormal	9684.80	0	73.31	20.29	N/D	N/D	0.0844	N/D	N/D	0.01913	0.02292
Loglogística	9850.83	0	73.31	29.10	N/D	N/D	0.0934	N/D	N/D	0.01913	0.02292
Normal	9966.02	0	73.31	44.59	< 0,005	0.7519	0.1005	< 0,01	0.0126	0.01913	0.02292
Uniforme	9500.34	0	73.31	500.97	N/D	N/D	0.2427	N/D	N/D	0.01913	0.02292
Exponencial	10468.23	0	73.31	673.71	< 0,01	1.1134	0.2983	< 0,01	0.0153	0.01913	0.02292
Série 37	Estatística	P-Valor	Valor crítico (5%)	Estatística	P-Valor	Valor crítico (5%)	Estatística	P-Valor	Valor crítico (5%)	Valor crítico (5%)*	Valor crítico (1%)*
Lognormal	2373.83	0	69.83	17.08	N/D	N/D	0.0744	N/D	N/D	0.02090	0.02505
Loglogística	2725.00	0	69.83	24.34	N/D	N/D	0.0807	N/D	N/D	0.02090	0.02505
Triangular	2333.56	0	69.83	69.64	N/D	N/D	0.1045	N/D	N/D	0.02090	0.02505
Normal	3883.66	0	69.83	113.16	< 0,005	0.7519	0.1143	< 0,01	0.0138	0.02090	0.02505
Exponencial	2558.15	0	69.83	323.24	< 0,01	1.1131	0.2185	< 0,01	0.0167	0.02090	0.02505
Uniforme	3910.92	0	69.83	651.13	N/D	N/D	0.2866	N/D	N/D	0.02090	0.02505
Série 38	Estatística	P-Valor	Valor crítico (5%)	Estatística	P-Valor	Valor crítico (5%)	Estatística	P-Valor	Valor crítico (5%)	Valor crítico (5%)*	Valor crítico (1%)*
Loglogística	1624.11	0	55.76	35.33	N/D	N/D	0.1263	N/D	N/D	0.02838	0.03402
Weibull	2002.00	0	55.76	56.13	N/D	N/D	0.1343	N/D	N/D	0.02838	0.03402
Triangular	1803.32	0	55.76	71.60	N/D	N/D	0.1345	N/D	N/D	0.02838	0.03402
Lognormal	1651.82	0	55.76	34.30	N/D	N/D	0.1348	N/D	N/D	0.02838	0.03402
Gama	1851.61	0	55.76	40.69	N/D	N/D	0.1409	N/D	N/D	0.02838	0.03402
Normal	1831.39	0	55.76	70.41	< 0,005	0.7518	0.1564	< 0,01	0.0187	0.02838	0.03402
Uniforme	4646.86	0	55.76	270.92	N/D	N/D	0.2053	N/D	N/D	0.02838	0.03402
Exponencial	4515.00	0	55.76	428.91	< 0,01	1.1115	0.3747	< 0,01	0.0227	0.02838	0.03402

*Valores críticos apresentados por Massey (1951).

Tabela 4 – Resultados das estatísticas dos testes de aderência de Chi-quadrado, Anderson-Darling e Kolmogorov-Smirnov ordenados pela estatística do teste de Kolmogorov-Smirnov e limites críticos determinados pelo programa @Risk 5.7 ao nível de 5% de significância e apresentados por Massey (1951) para os níveis de significância de 1 e 5%, para as séries de dados de água filtrada composta (continua).

Série 1	Chi-Quadrado			Anderson-Darling			Kolmogorov-Smirnov				
	Estatística	P-Valor	Valor crítico (5%)	Estatística	P-Valor	Valor crítico (5%)	Estatística	P-Valor	Valor crítico (5%)	Valor crítico (5%)*	Valor crítico (1%)*
Uniforme	26435.60	0	132.14	2420.57	N/D	N/D	0.2211	N/D	N/D	0.0085	0.0102
Triangular	27519.54	0	132.14	195.40	N/D	N/D	0.0702	N/D	N/D	0.0085	0.0102
Weibull	28670.00	0	132.14	120.08	N/D	N/D	0.0536	N/D	N/D	0.0085	0.0102
Lognormal	29458.20	0	132.14	35.28	N/D	N/D	0.0341	N/D	N/D	0.0085	0.0102
Loglogística	29675.26	0	132.14	68.32	N/D	N/D	0.0433	N/D	N/D	0.0085	0.0102
Normal	29712.41	0	132.14	342.56	< 0,005	0.752	0.0861	< 0,01	0.0056	0.0085	0.0102
Exponencial	31075.01	0	132.14	3216.77	< 0,01	1.1147	0.2775	< 0,01	0.0068	0.0085	0.0102
Série 2	Estatística	P-Valor	Valor crítico (5%)	Estatística	P-Valor	Valor crítico (5%)	Estatística	P-Valor	Valor crítico (5%)	Valor crítico (5%)*	Valor crítico (1%)*
Beta	16800.71	0	132.14	11.11	N/D	N/D	0.0235	N/D	N/D	0.0086	0.0103
Lognormal	17604.11	0	132.14	18.33	N/D	N/D	0.0255	N/D	N/D	0.0086	0.0103
Loglogística	18650.53	0	132.14	52.71	N/D	N/D	0.036	N/D	N/D	0.0086	0.0103
Weibull	16675.31	0	132.14	63.88	N/D	N/D	0.0415	N/D	N/D	0.0086	0.0103
Normal	17425.77	0	132.14	95.14	< 0,005	0.752	0.0522	< 0,01	0.0056	0.0086	0.0103
Triangular	15440.16	0	132.14	345.56	N/D	N/D	0.0855	N/D	N/D	0.0086	0.0103
Uniforme	19449.18	0	132.14	2357.20	N/D	N/D	0.1991	N/D	N/D	0.0086	0.0103
Exponencial	34506.69	0	132.14	4943.70	< 0,01	1.1147	0.3462	< 0,01	0.0069	0.0086	0.0103
Série 3	Estatística	P-Valor	Valor crítico (5%)	Estatística	P-Valor	Valor crítico (5%)	Estatística	P-Valor	Valor crítico (5%)	Valor crítico (5%)*	Valor crítico (1%)*
Beta	4758.99	0	114.27	8.93	N/D	N/D	0.0291	N/D	N/D	0.0104	0.0125
Lognormal	5172.80	0	114.27	16.71	N/D	N/D	0.0305	N/D	N/D	0.0104	0.0125
Weibull	4678.09	0	114.27	28.12	N/D	N/D	0.0311	N/D	N/D	0.0104	0.0125
Loglogística	5625.81	0	114.27	41.35	N/D	N/D	0.0384	N/D	N/D	0.0104	0.0125
Normal	5226.94	0	114.27	56.85	< 0,005	0.752	0.0445	< 0,01	0.0069	0.0104	0.0125
Triangular	3894.33	0	114.27	201.84	N/D	N/D	0.0865	N/D	N/D	0.0104	0.0125
Uniforme	14354.15	0	114.27	1616.18	N/D	N/D	0.2287	N/D	N/D	0.0104	0.0125
Exponencial	19864.33	0	114.27	3038.97	< 0,01	1.1145	0.3207	< 0,01	0.0083	0.0104	0.0125
Série 4	Estatística	P-Valor	Valor crítico (5%)	Estatística	P-Valor	Valor crítico (5%)	Estatística	P-Valor	Valor crítico (5%)	Valor crítico (5%)*	Valor crítico (1%)*
Beta	1505.45	0	113.15	10.13	N/D	N/D	0.0254	N/D	N/D	0.0106	0.0127
Weibull	1514.90	0	113.15	17.39	N/D	N/D	0.031	N/D	N/D	0.0106	0.0127
Lognormal	2120.93	0	113.15	37.67	N/D	N/D	0.0337	N/D	N/D	0.0106	0.0127
Loglogística	2667.95	0	113.15	68.21	N/D	N/D	0.043	N/D	N/D	0.0106	0.0127
Triangular	1891.37	0	113.15	53.55	N/D	N/D	0.0434	N/D	N/D	0.0106	0.0127
Normal	2935.26	0	113.15	104.88	< 0,005	0.752	0.057	< 0,01	0.007	0.0106	0.0127
Uniforme	8251.38	0	113.15	1587.23	N/D	N/D	0.2274	N/D	N/D	0.0106	0.0127
Exponencial	10020.31	0	113.15	1891.20	< 0,01	1.1145	0.2394	< 0,01	0.0085	0.0106	0.0127
Série 5	Estatística	P-Valor	Valor crítico (5%)	Estatística	P-Valor	Valor crítico (5%)	Estatística	P-Valor	Valor crítico (5%)	Valor crítico (5%)*	Valor crítico (1%)*
Triangular	4891.81	0	51.00	39.53	N/D	N/D	0.1462	N/D	N/D	0.0322	0.0386
Loglogística	4898.03	0	51.00	16.13	N/D	N/D	0.1102	N/D	N/D	0.0322	0.0386
Gama	4916.64	0	51.00	14.62	N/D	N/D	0.1084	N/D	N/D	0.0322	0.0386
Lognormal	4916.81	0	51.00	14.30	N/D	N/D	0.1072	N/D	N/D	0.0322	0.0386
Uniforme	4920.62	0	51.00	161.30	N/D	N/D	0.2195	N/D	N/D	0.0322	0.0386
Normal	4920.95	0	51.00	27.34	< 0,005	0.7517	0.1337	< 0,01	0.0212	0.0322	0.0386
Beta	4925.47	0	51.00	24.02	N/D	N/D	0.1261	N/D	N/D	0.0322	0.0386
Weibull	4932.77	0	51.00	21.34	N/D	N/D	0.1169	N/D	N/D	0.0322	0.0386
Exponencial	4991.10	0	51.00	331.06	< 0,01	1.1106	0.3735	< 0,01	0.0258	0.0322	0.0386

Tabela 4 – Resultados das estatísticas dos testes de aderência de Chi-quadrado, Anderson-Darling e Kolmogorov-Smirnov ordenados pela estatística do teste de Kolmogorov-Smirnov e limites críticos determinados pelo programa @Risk 5.7 ao nível de 5% de significância e apresentados por Massey (1951) para os níveis de significância de 1 e 5%, para as séries de dados de água filtrada composta (continuação).

Série 1	Chi-Quadrado			Anderson-Darling			Kolmogorov-Smirnov				
	Estatística	P-Valor	Valor crítico (5%)	Estatística	P-Valor	Valor crítico (5%)	Estatística	P-Valor	Valor crítico (5%)	Valor crítico (5%)*	Valor crítico (1%)*
Lognormal	690.43	0	99.62	5.74	N/D	N/D	0.0155	N/D	N/D	0.0125	0.0125
Beta	436.81	0	99.62	7.35	N/D	N/D	0.0181	N/D	N/D	0.0125	0.0125
Loglogística	871.66	0	99.62	17.99	N/D	N/D	0.0236	N/D	N/D	0.0125	0.0125
Weibull	751.11	0	99.62	26.43	N/D	N/D	0.0326	N/D	N/D	0.0125	0.0125
Triangular	1023.10	0	99.62	65.01	N/D	N/D	0.049	N/D	N/D	0.0125	0.0125
Normal	1488.13	0	99.62	84.88	< 0,005	0.752	0.0578	< 0,01	0.0082	0.0125	0.0125
Uniforme	6470.98	0	99.62	961.50	N/D	N/D	0.1982	N/D	N/D	0.0125	0.0125
Exponencial	9258.13	0	99.62	1719.03	< 0,01	1.1143	0.288	< 0,01	0.01	0.0125	0.0125
Série 7	Estatística	P-Valor	Valor crítico (5%)	Estatística	P-Valor	Valor crítico (5%)	Estatística	P-Valor	Valor crítico (5%)	Valor crítico (5%)*	Valor crítico (1%)*
Uniforme	923873.81	0	138.81	4216.66	N/D	N/D	0.3071	N/D	N/D	0.0080	0.0080
Triangular	923873.87	0	138.81	1985.70	N/D	N/D	0.2587	N/D	N/D	0.0080	0.0080
Exponencial	923886.20	0	138.81	4539.70	< 0,01	1.1147	0.4344	< 0,01	0.0064	0.0080	0.0080
Lognormal	923886.26	0	138.81	1582.62	N/D	N/D	0.2613	N/D	N/D	0.0080	0.0080
Weibull	923886.26	0	138.81	1685.59	N/D	N/D	0.2497	N/D	N/D	0.0080	0.0080
Gama	923886.27	0	138.81	1650.01	N/D	N/D	0.2676	N/D	N/D	0.0080	0.0080
Loglogística	923886.27	0	138.81	1625.86	N/D	N/D	0.2605	N/D	N/D	0.0080	0.0080
Normal	923896.32	0	138.81	2033.00	< 0,005	0.752	0.27	< 0,01	0.0053	0.0080	0.0080
Série 8	Estatística	P-Valor	Valor crítico (5%)	Estatística	P-Valor	Valor crítico (5%)	Estatística	P-Valor	Valor crítico (5%)	Valor crítico (5%)*	Valor crítico (1%)*
Lognormal	197.47	0	51.00	1.74	N/D	N/D	0.0294	N/D	N/D	0.0324	0.0324
Triangular	203.21	0	51.00	5.38	N/D	N/D	0.0489	N/D	N/D	0.0324	0.0324
Weibull	223.13	0	51.00	2.19	N/D	N/D	0.0354	N/D	N/D	0.0324	0.0324
Beta	223.96	0	51.00	1.36	N/D	N/D	0.031	N/D	N/D	0.0324	0.0324
Loglogística	268.57	0	51.00	4.15	N/D	N/D	0.0383	N/D	N/D	0.0324	0.0324
Normal	279.69	0	51.00	12.79	< 0,005	0.7517	0.0685	< 0,01	0.0213	0.0324	0.0324
Uniforme	858.98	0	51.00	145.73	N/D	N/D	0.2158	N/D	N/D	0.0324	0.0324
Exponencial	1169.32	0	51.00	211.62	< 0,01	1.1105	0.2606	< 0,01	0.0259	0.0324	0.0324
Série 9	Estatística	P-Valor	Valor crítico (5%)	Estatística	P-Valor	Valor crítico (5%)	Estatística	P-Valor	Valor crítico (5%)	Valor crítico (5%)*	Valor crítico (1%)*
Lognormal	15294.95	0	109.77	14.71	N/D	N/D	0.0283	N/D	N/D	0.0111	0.0111
Beta	15050.06	0	109.77	19.10	N/D	N/D	0.0336	N/D	N/D	0.0111	0.0111
Loglogística	15816.49	0	109.77	28.48	N/D	N/D	0.0362	N/D	N/D	0.0111	0.0111
Weibull	14737.46	0	109.77	68.05	N/D	N/D	0.0529	N/D	N/D	0.0111	0.0111
Triangular	13967.24	0	109.77	166.13	N/D	N/D	0.0921	N/D	N/D	0.0111	0.0111
Normal	15651.59	0	109.77	253.87	< 0,005	0.752	0.0951	< 0,01	0.0073	0.0111	0.0111
Exponencial	15895.48	0	109.77	1585.71	< 0,01	1.1145	0.2532	< 0,01	0.0089	0.0111	0.0111
Uniforme	13322.24	0	109.77	1778.37	N/D	N/D	0.2562	N/D	N/D	0.0111	0.0111
Série 10	Estatística	P-Valor	Valor crítico (5%)	Estatística	P-Valor	Valor crítico (5%)	Estatística	P-Valor	Valor crítico (5%)	Valor crítico (5%)*	Valor crítico (1%)*
Weibull	1506.59	0	96.22	47.97	N/D	N/D	0.0504	N/D	N/D	0.0132	0.0132
Beta	1577.55	0	96.22	15.13	N/D	N/D	0.0334	N/D	N/D	0.0132	0.0132
Triangular	1679.13	0	96.22	94.94	N/D	N/D	0.0718	N/D	N/D	0.0132	0.0132
Lognormal	2247.64	0	96.22	14.14	N/D	N/D	0.027	N/D	N/D	0.0132	0.0132
Loglogística	2682.11	0	96.22	28.43	N/D	N/D	0.0353	N/D	N/D	0.0132	0.0132
Normal	3389.97	0	96.22	169.26	< 0,005	0.7519	0.0903	< 0,01	0.0087	0.0132	0.0132
Exponencial	6506.18	0	96.22	1133.73	< 0,01	1.1142	0.2532	< 0,01	0.0106	0.0132	0.0132
Uniforme	7317.96	0	96.22	1245.10	N/D	N/D	0.2471	N/D	N/D	0.0132	0.0132
Série 11	Estatística	P-Valor	Valor crítico (5%)	Estatística	P-Valor	Valor crítico (5%)	Estatística	P-Valor	Valor crítico (5%)	Valor crítico (5%)*	Valor crítico (1%)*
Loglogística	42939.37	0	118.75	84.70	N/D	N/D	0.0562	N/D	N/D	0.0099	0.0099
Lognormal	41993.83	0	118.75	75.16	N/D	N/D	0.0627	N/D	N/D	0.0099	0.0099
Weibull	41291.24	0	118.75	306.13	N/D	N/D	0.1105	N/D	N/D	0.0099	0.0099
Normal	43094.66	0	118.75	851.40	< 0,005	0.752	0.1705	< 0,01	0.0065	0.0099	0.0099
Triangular	39795.60	0	118.75	1146.30	N/D	N/D	0.2027	N/D	N/D	0.0099	0.0099
Exponencial	41071.40	0	118.75	1315.20	< 0,01	1.1146	0.2247	< 0,01	0.0079	0.0099	0.0099
Uniforme	39196.34	0	118.75	4620.48	N/D	N/D	0.3516	N/D	N/D	0.0099	0.0099

Tabela 4 – Resultados das estatísticas dos testes de aderência de Chi-quadrado, Anderson-Darling e Kolmogorov-Smirnov ordenados pela estatística do teste de Kolmogorov-Smirnov e limites críticos determinados pelo programa @Risk 5.7 ao nível de 5% de significância e apresentados por Massey (1951) para os níveis de significância de 1 e 5%, para as séries de dados de água filtrada composta (continuação).

Série 12	Chi-Quadrado			Anderson-Darling			Kolmogorov-Smirnov				
	Estatística	P-Valor	Valor crítico (5%)	Estatística	P-Valor	Valor crítico (5%)	Estatística	P-Valor	Valor crítico (5%)	Valor crítico (5%)*	Valor crítico (1%)*
Lognormal	7373.79	0	97.35	11.59	N/D	N/D	0.0307	N/D	N/D	0.0129	0.0129
Loglogística	7708.96	0	97.35	25.25	N/D	N/D	0.0404	N/D	N/D	0.0129	0.0129
Weibull	6949.82	0	97.35	77.50	N/D	N/D	0.0632	N/D	N/D	0.0129	0.0129
Triangular	6442.48	0	97.35	146.49	N/D	N/D	0.079	N/D	N/D	0.0129	0.0129
Normal	7414.70	0	97.35	129.63	< 0,005	0.7519	0.0825	< 0,01	0.0085	0.0129	0.0129
Uniforme	8492.75	0	97.35	1039.29	N/D	N/D	0.2028	N/D	N/D	0.0129	0.0129
Exponencial	12734.34	0	97.35	1871.80	< 0,01	1.1143	0.3273	< 0,01	0.0104	0.0129	0.0129
Série 13	Estatística	P-Valor	Valor crítico (5%)	Estatística	P-Valor	Valor crítico (5%)	Estatística	P-Valor	Valor crítico (5%)	Valor crítico (5%)*	Valor crítico (1%)*
Lognormal	1130.39	0	58.12	5.57	N/D	N/D	0.0492	N/D	N/D	0.0268	0.0268
Loglogística	1250.70	0	58.12	6.99	N/D	N/D	0.0493	N/D	N/D	0.0268	0.0268
Gama	1076.96	0	58.12	11.09	N/D	N/D	0.0635	N/D	N/D	0.0268	0.0268
Weibull	982.67	0	58.12	30.20	N/D	N/D	0.0889	N/D	N/D	0.0268	0.0268
Triangular	945.53	0	58.12	46.92	N/D	N/D	0.0941	N/D	N/D	0.0268	0.0268
Normal	1248.63	0	58.12	51.00	< 0,005	0.7518	0.1155	< 0,01	0.0176	0.0268	0.0268
Uniforme	2472.05	0	58.12	285.26	N/D	N/D	0.2385	N/D	N/D	0.0268	0.0268
Exponencial	2634.96	0	58.12	401.64	< 0,01	1.1119	0.3284	< 0,01	0.0214	0.0268	0.0268
Série 14	Estatística	P-Valor	Valor crítico (5%)	Estatística	P-Valor	Valor crítico (5%)	Estatística	P-Valor	Valor crítico (5%)	Valor crítico (5%)*	Valor crítico (1%)*
Loglogística	32785.16	0	107.52	32.83	N/D	N/D	0.048	N/D	N/D	0.0114	0.0114
Lognormal	32140.32	0	107.52	30.78	N/D	N/D	0.0516	N/D	N/D	0.0114	0.0114
Triangular	31199.46	0	107.52	267.56	N/D	N/D	0.1267	N/D	N/D	0.0114	0.0114
Normal	32657.35	0	107.52	341.08	< 0,005	0.752	0.1288	< 0,01	0.0075	0.0114	0.0114
Uniforme	30744.90	0	107.52	1802.29	N/D	N/D	0.2724	N/D	N/D	0.0114	0.0114
Exponencial	31713.41	0	107.52	1659.75	< 0,01	1.1144	0.2768	< 0,01	0.0091	0.0114	0.0114
Série 15	Estatística	P-Valor	Valor crítico (5%)	Estatística	P-Valor	Valor crítico (5%)	Estatística	P-Valor	Valor crítico (5%)	Valor crítico (5%)*	Valor crítico (1%)*
Normal	63166.68	0	124.34	36.76	< 0,005	0.752	0.0505	< 0,01	0.0061	0.0093	0.0093
Beta	63385.88	0	124.34	37.24	N/D	N/D	0.0563	N/D	N/D	0.0093	0.0093
Weibull	63385.88	0	124.34	42.81	N/D	N/D	0.0597	N/D	N/D	0.0093	0.0093
Triangular	62856.11	0	124.34	211.00	N/D	N/D	0.0943	N/D	N/D	0.0093	0.0093
Uniforme	62592.94	0	124.34	1796.66	N/D	N/D	0.1911	N/D	N/D	0.0093	0.0093
Exponencial	63729.53	0	124.34	3947.30	< 0,01	1.1146	0.3329	< 0,01	0.0074	0.0093	0.0093
Série 16	Estatística	P-Valor	Valor crítico (5%)	Estatística	P-Valor	Valor crítico (5%)	Estatística	P-Valor	Valor crítico (5%)	Valor crítico (5%)*	Valor crítico (1%)*
Lognormal	67633.86	0	133.26	113.30	N/D	N/D	0.0631	N/D	N/D	0.0085	0.0085
Loglogística	67586.73	0	133.26	155.42	N/D	N/D	0.0669	N/D	N/D	0.0085	0.0085
Weibull	67430.18	0	133.26	265.72	N/D	N/D	0.0838	N/D	N/D	0.0085	0.0085
Triangular	66665.34	0	133.26	273.21	N/D	N/D	0.0918	N/D	N/D	0.0085	0.0085
Normal	68070.71	0	133.26	479.27	< 0,005	0.752	0.1105	< 0,01	0.0056	0.0085	0.0085
Uniforme	66167.40	0	133.26	2366.22	N/D	N/D	0.2034	N/D	N/D	0.0085	0.0085
Exponencial	67201.38	0	133.26	3709.62	< 0,01	1.1147	0.3217	< 0,01	0.0068	0.0085	0.0085
Série 17	Estatística	P-Valor	Valor crítico (5%)	Estatística	P-Valor	Valor crítico (5%)	Estatística	P-Valor	Valor crítico (5%)	Valor crítico (5%)*	Valor crítico (1%)*
Beta	77529.53	0	132.14	47.85	N/D	N/D	0.0391	N/D	N/D	0.0085	0.0085
Lognormal	77297.25	0	132.14	60.10	N/D	N/D	0.0458	N/D	N/D	0.0085	0.0085
Loglogística	77360.88	0	132.14	99.96	N/D	N/D	0.0523	N/D	N/D	0.0085	0.0085
Weibull	77805.44	0	132.14	103.06	N/D	N/D	0.0528	N/D	N/D	0.0085	0.0085
Normal	77976.14	0	132.14	204.08	< 0,005	0.752	0.0749	< 0,01	0.0056	0.0085	0.0085
Triangular	76864.83	0	132.14	230.66	N/D	N/D	0.077	N/D	N/D	0.0085	0.0085
Uniforme	76440.80	0	132.14	2162.02	N/D	N/D	0.2111	N/D	N/D	0.0085	0.0085
Exponencial	76713.58	0	132.14	4097.08	< 0,01	1.1147	0.3314	< 0,01	0.0068	0.0085	0.0085

Tabela 4 – Resultados das estatísticas dos testes de aderência de Chi-quadrado, Anderson-Darling e Kolmogorov-Smirnov ordenados pela estatística do teste de Kolmogorov-Smirnov e limites críticos determinados pelo programa @Risk 5.7 ao nível de 5% de significância e apresentados por Massey (1951) para os níveis de significância de 1 e 5%, para as séries de dados de água filtrada composta (continuação).

Série	Chi-Quadrado			Anderson-Darling			Kolmogorov-Smirnov				
	Estatística	P-Valor	Valor crítico (5%)	Estatística	P-Valor	Valor crítico (5%)	Estatística	P-Valor	Valor crítico (5%)	Valor crítico (5%)*	Valor crítico (1%)*
Série 18											
Lognormal	28964.98	0	96.22	20.11	N/D	N/D	0.046	N/D	N/D	0.0133	0.0133
Gama	28964.98	0	96.22	21.84	N/D	N/D	0.0475	N/D	N/D	0.0133	0.0133
Loglogística	29379.71	0	96.22	18.47	N/D	N/D	0.0502	N/D	N/D	0.0133	0.0133
Weibull	28893.92	0	96.22	55.38	N/D	N/D	0.0712	N/D	N/D	0.0133	0.0133
Normal	29241.16	0	96.22	79.13	< 0,005	0.7519	0.0834	< 0,01	0.0087	0.0133	0.0133
Triangular	28552.19	0	96.22	144.61	N/D	N/D	0.0876	N/D	N/D	0.0133	0.0133
Uniforme	28426.56	0	96.22	968.26	N/D	N/D	0.2164	N/D	N/D	0.0133	0.0133
Exponencial	28666.34	0	96.22	1818.97	< 0,01	1.1142	0.3369	< 0,01	0.0106	0.0133	0.0133
Série 19											
Lognormal	74324.60	0	124.34	42.25	N/D	N/D	0.0488	N/D	N/D	0.0093	0.0093
Loglogística	74275.21	0	124.34	62.69	N/D	N/D	0.0572	N/D	N/D	0.0093	0.0093
Weibull	74205.55	0	124.34	171.18	N/D	N/D	0.0864	N/D	N/D	0.0093	0.0093
Normal	74944.63	0	124.34	233.42	< 0,005	0.752	0.094	< 0,01	0.0061	0.0093	0.0093
Triangular	73973.14	0	124.34	326.60	N/D	N/D	0.098	N/D	N/D	0.0093	0.0093
Uniforme	73601.08	0	124.34	1882.37	N/D	N/D	0.2096	N/D	N/D	0.0093	0.0093
Exponencial	73767.69	0	124.34	4038.53	< 0,01	1.1146	0.3549	< 0,01	0.0074	0.0093	0.0093
Série 20											
Lognormal	50.35	0	31.41	1.05	N/D	N/D	0.0353	N/D	N/D	0.0648	0.0648
Loglogística	68.01	0	31.41	1.48	N/D	N/D	0.0469	N/D	N/D	0.0648	0.0648
Exponencial	52.16	0	31.41	1.34	0,01 <= p <= 0,025	1.0972	0.0501	0,05 <= p <= 0,1	0.0518	0.0648	0.0648
Beta	64.19	0	31.41	+Infinito	N/D	N/D	0.0671	N/D	N/D	0.0648	0.0648
Normal	314.19	0	31.41	24.68	< 0,005	0.7507	0.1815	< 0,01	0.0426	0.0648	0.0648
Triangular	156.69	0	31.41	+Infinito	N/D	N/D	0.2514	N/D	N/D	0.0648	0.0648
Uniforme	490.11	0	31.41	190.95	N/D	N/D	0.4316	N/D	N/D	0.0648	0.0648
Série 21											
Beta	29222.15	0	124.34	16.86	N/D	N/D	0.0298	N/D	N/D	0.0093	0.0093
Weibull	29466.65	0	124.34	39.71	N/D	N/D	0.0347	N/D	N/D	0.0093	0.0093
Lognormal	29508.06	0	124.34	33.99	N/D	N/D	0.0357	N/D	N/D	0.0093	0.0093
Loglogística	30200.91	0	124.34	68.76	N/D	N/D	0.0456	N/D	N/D	0.0093	0.0093
Normal	29956.25	0	124.34	114.38	< 0,005	0.752	0.0564	< 0,01	0.0061	0.0093	0.0093
Triangular	28755.17	0	124.34	135.11	N/D	N/D	0.057	N/D	N/D	0.0093	0.0093
Uniforme	28254.20	0	124.34	1735.33	N/D	N/D	0.1937	N/D	N/D	0.0093	0.0093
Exponencial	31616.41	0	124.34	3369.85	< 0,01	1.1146	0.2999	< 0,01	0.0074	0.0093	0.0093

*Valores críticos apresentados por Massey (1951).

Tabela 5 – Resultados das estatísticas dos testes de aderência de Chi-quadrado, Anderson-Darling e Kolmogorov-Smirnov ordenados pela estatística do teste de Kolmogorov-Smirnov e limites críticos determinados pelo programa @Risk 5.7 ao nível de 5% de significância e apresentados por Massey (1951) para os níveis de significância de 1 e 5%, para as séries de dados de água filtrada individual (continua).

Série 1	Chi-Quadrado			Anderson-Darling			Kolmogorov-Smirnov				
	Estatística	P-Valor	Valor crítico (5%)	Estatística	P-Valor	Valor crítico (5%)	Estatística	P-Valor	Valor crítico (5%)	Valor crítico (5%)*	Valor crítico (1%)*
Loglogística	164797.77	0	128.80	116.14	N/D	N/D	0.0745	N/D	N/D	0.0089	0.0106
Lognormal	164797.77	0	128.80	97.64	N/D	N/D	0.0748	N/D	N/D	0.0089	0.0106
Gama	164998.80	0	128.80	126.91	N/D	N/D	0.0892	N/D	N/D	0.0089	0.0106
Weibull	165462.59	0	128.80	291.71	N/D	N/D	0.1050	N/D	N/D	0.0089	0.0106
Triangular	164793.57	0	128.80	496.53	N/D	N/D	0.1168	N/D	N/D	0.0089	0.0106
Normal	165462.51	0	128.80	395.86	< 0,005	0.752	0.1265	< 0,01	0.006	0.0089	0.0106
Uniforme	164579.95	0	128.80	2376.25	N/D	N/D	0.2222	N/D	N/D	0.0089	0.0106
Exponencial	164594.99	0	128.80	4227.30	< 0,01	1.115	0.3610	< 0,01	0.007	0.0089	0.0106
Série 2	Estatística	P-Valor	Valor crítico (5%)	Estatística	P-Valor	Valor crítico (5%)	Estatística	P-Valor	Valor crítico (5%)	Valor crítico (5%)*	Valor crítico (1%)*
Lognormal	177385.57	0	128.80	113.78	N/D	N/D	0.0888	N/D	N/D	0.0089	0.0107
Loglogística	176928.64	0	128.80	119.60	N/D	N/D	0.0917	N/D	N/D	0.0089	0.0107
Gama	176821.64	0	128.80	154.71	N/D	N/D	0.0992	N/D	N/D	0.0089	0.0107
Weibull	177547.20	0	128.80	368.90	N/D	N/D	0.1185	N/D	N/D	0.0089	0.0107
Normal	177547.13	0	128.80	431.22	< 0,005	0.752	0.1319	< 0,01	0.006	0.0089	0.0107
Triangular	176697.43	0	128.80	640.78	N/D	N/D	0.1408	N/D	N/D	0.0089	0.0107
Uniforme	176385.15	0	128.80	2472.72	N/D	N/D	0.2205	N/D	N/D	0.0089	0.0107
Exponencial	176356.88	0	128.80	4655.42	< 0,01	1.115	0.3814	< 0,01	0.007	0.0089	0.0107
Série 3	Estatística	P-Valor	Valor crítico (5%)	Estatística	P-Valor	Valor crítico (5%)	Estatística	P-Valor	Valor crítico (5%)	Valor crítico (5%)*	Valor crítico (1%)*
Loglogística	187519.09	0	127.69	118.72	N/D	N/D	0.0810	N/D	N/D	0.0090	0.0108
Lognormal	187736.70	0	127.69	116.57	N/D	N/D	0.0897	N/D	N/D	0.0090	0.0108
Gama	188786.04	0	127.69	123.95	N/D	N/D	0.0938	N/D	N/D	0.0090	0.0108
Beta	188786.05	0	127.69	127.66	N/D	N/D	0.0943	N/D	N/D	0.0090	0.0108
Weibull	187503.99	0	127.69	260.59	N/D	N/D	0.1215	N/D	N/D	0.0090	0.0108
Triangular	187500.22	0	127.69	493.21	N/D	N/D	0.1350	N/D	N/D	0.0090	0.0108
Normal	188549.57	0	127.69	312.62	< 0,005	0.752	0.1361	< 0,01	0.006	0.0090	0.0108
Uniforme	187528.84	0	127.69	2031.84	N/D	N/D	0.2239	N/D	N/D	0.0090	0.0108
Exponencial	187528.87	0	127.69	4418.95	< 0,01	1.115	0.3747	< 0,01	0.007	0.0090	0.0108
Série 4	Estatística	P-Valor	Valor crítico (5%)	Estatística	P-Valor	Valor crítico (5%)	Estatística	P-Valor	Valor crítico (5%)	Valor crítico (5%)*	Valor crítico (1%)*
Loglogística	201353.92	0	128.80	132.88	N/D	N/D	0.0894	N/D	N/D	0.0089	0.0107
Lognormal	201316.55	0	128.80	129.65	N/D	N/D	0.0939	N/D	N/D	0.0089	0.0107
Gama	200769.13	0	128.80	139.48	N/D	N/D	0.0982	N/D	N/D	0.0089	0.0107
Triangular	201307.53	0	128.80	504.94	N/D	N/D	0.1163	N/D	N/D	0.0089	0.0107
Weibull	201312.16	0	128.80	293.05	N/D	N/D	0.1214	N/D	N/D	0.0089	0.0107
Normal	201312.14	0	128.80	368.49	< 0,005	0.752	0.1408	< 0,01	0.006	0.0089	0.0107
Uniforme	200791.94	0	128.80	2247.78	N/D	N/D	0.2082	N/D	N/D	0.0089	0.0107
Exponencial	200794.94	0	128.80	4368.44	< 0,01	1.115	0.3709	< 0,01	0.007	0.0089	0.0107
Série 5	Estatística	P-Valor	Valor crítico (5%)	Estatística	P-Valor	Valor crítico (5%)	Estatística	P-Valor	Valor crítico (5%)	Valor crítico (5%)*	Valor crítico (1%)*
Lognormal	780.49	0	68.67	25.67	N/D	N/D	0.0569	N/D	N/D	0.0210	0.0251
Loglogística	882.35	0	68.67	27.21	N/D	N/D	0.0590	N/D	N/D	0.0210	0.0251
Triangular	1825.95	0	68.67	278.45	N/D	N/D	0.2103	N/D	N/D	0.0210	0.0251
Exponencial	2381.69	0	68.67	303.54	< 0,01	1.113	0.2341	< 0,01	0.017	0.0210	0.0251
Normal	3164.22	0	68.67	211.89	< 0,005	0.752	0.1688	< 0,01	0.014	0.0210	0.0251
Uniforme	4640.44	0	68.67	1014.03	N/D	N/D	0.3541	N/D	N/D	0.0210	0.0251
Série 6	Estatística	P-Valor	Valor crítico (5%)	Estatística	P-Valor	Valor crítico (5%)	Estatística	P-Valor	Valor crítico (5%)	Valor crítico (5%)*	Valor crítico (1%)*
Loglogística	2123.21	0	68.67	5.78	N/D	N/D	0.0343	N/D	N/D	0.0212	0.0254
Lognormal	1989.27	0	68.67	5.00	N/D	N/D	0.0435	N/D	N/D	0.0212	0.0254
Gama	1934.05	0	68.67	11.82	N/D	N/D	0.0600	N/D	N/D	0.0212	0.0254
Beta	1924.81	0	68.67	16.59	N/D	N/D	0.0673	N/D	N/D	0.0212	0.0254
Weibull	1911.18	0	68.67	43.09	N/D	N/D	0.0859	N/D	N/D	0.0212	0.0254
Normal	2152.39	0	68.67	75.51	< 0,005	0.752	0.1146	< 0,01	0.014	0.0212	0.0254
Triangular	1656.78	0	68.67	129.29	N/D	N/D	0.1298	N/D	N/D	0.0212	0.0254
Uniforme	4632.03	0	68.67	624.29	N/D	N/D	0.2891	N/D	N/D	0.0212	0.0254
Exponencial	4325.47	0	68.67	623.40	< 0,01	1.113	0.3163	< 0,01	0.017	0.0212	0.0254

Tabela 5 – Resultados das estatísticas dos testes de aderência de Chi-quadrado, Anderson-Darling e Kolmogorov-Smirnov ordenados pela estatística do teste de Kolmogorov-Smirnov e limites críticos determinados pelo programa @Risk 5.7 ao nível de 5% de significância e apresentados por Massey (1951) para os níveis de significância de 1 e 5%, para as séries de dados de água filtrada individual (continuação).

Série 7	Chi-Quadrado			Anderson-Darling			Kolmogorov-Smirnov				
	Estatística	P-Valor	Valor crítico (5%)	Estatística	P-Valor	Valor crítico (5%)	Estatística	P-Valor	Valor crítico (5%)	Valor crítico (5%)*	Valor crítico (1%)*
Lognormal	757.27	0	69.83	10.41	N/D	N/D	0.0411	N/D	N/D	0.0209	0.0250
Gama	792.87	0	69.83	25.80	N/D	N/D	0.0652	N/D	N/D	0.0209	0.0250
Loglogística	909.99	0	69.83	11.22	N/D	N/D	0.0430	N/D	N/D	0.0209	0.0250
Triangular	1071.63	0	69.83	94.77	N/D	N/D	0.1163	N/D	N/D	0.0209	0.0250
Weibull	1242.66	0	69.83	57.86	N/D	N/D	0.0904	N/D	N/D	0.0209	0.0250
Normal	2094.20	0	69.83	121.23	< 0,005	0.752	0.1286	< 0,01	0.014	0.0209	0.0250
Exponencial	3354.06	0	69.83	517.90	< 0,01	1.113	0.2920	< 0,01	0.017	0.0209	0.0250
Uniforme	3432.41	0	69.83	532.11	N/D	N/D	0.2636	N/D	N/D	0.0209	0.0250
Série 8	Estatística	P-Valor	Valor crítico (5%)	Estatística	P-Valor	Valor crítico (5%)	Estatística	P-Valor	Valor crítico (5%)	Valor crítico (5%)*	Valor crítico (1%)*
Weibull	853.65	0	68.67	47.70	N/D	N/D	0.0801	N/D	N/D	0.0210	0.0252
Gama	864.88	0	68.67	16.78	N/D	N/D	0.0559	N/D	N/D	0.0210	0.0252
Triangular	904.47	0	68.67	99.21	N/D	N/D	0.1238	N/D	N/D	0.0210	0.0252
Lognormal	995.38	0	68.67	6.16	N/D	N/D	0.0406	N/D	N/D	0.0210	0.0252
Loglogística	1251.48	0	68.67	7.49	N/D	N/D	0.0390	N/D	N/D	0.0210	0.0252
Normal	1474.67	0	68.67	98.46	< 0,005	0.752	0.1108	< 0,01	0.014	0.0210	0.0252
Exponencial	3392.21	0	68.67	547.59	< 0,01	1.113	0.2997	< 0,01	0.017	0.0210	0.0252
Uniforme	3741.21	0	68.67	566.58	N/D	N/D	0.2748	N/D	N/D	0.0210	0.0252
Série 9	Estatística	P-Valor	Valor crítico (5%)	Estatística	P-Valor	Valor crítico (5%)	Estatística	P-Valor	Valor crítico (5%)	Valor crítico (5%)*	Valor crítico (1%)*
Lognormal	12162.94	0	105.27	11.27	N/D	N/D	0.0246	N/D	N/D	0.0116	0.0139
Beta	11948.43	0	105.27	11.80	N/D	N/D	0.0294	N/D	N/D	0.0116	0.0139
Loglogística	12440.94	0	105.27	25.89	N/D	N/D	0.0347	N/D	N/D	0.0116	0.0139
Weibull	11643.45	0	105.27	49.13	N/D	N/D	0.0507	N/D	N/D	0.0116	0.0139
Triangular	11307.02	0	105.27	106.50	N/D	N/D	0.0721	N/D	N/D	0.0116	0.0139
Normal	12502.98	0	105.27	156.34	< 0,005	0.752	0.0808	< 0,01	0.008	0.0116	0.0139
Uniforme	10497.48	0	105.27	1255.59	N/D	N/D	0.2233	N/D	N/D	0.0116	0.0139
Exponencial	13528.62	0	105.27	1774.79	< 0,01	1.114	0.2763	< 0,01	0.009	0.0116	0.0139
Série 10	Estatística	P-Valor	Valor crítico (5%)	Estatística	P-Valor	Valor crítico (5%)	Estatística	P-Valor	Valor crítico (5%)	Valor crítico (5%)*	Valor crítico (1%)*
Loglogística	15283.82	0	108.65	25.40	N/D	N/D	0.0324	N/D	N/D	0.0111	0.0133
Lognormal	14671.05	0	108.65	17.51	N/D	N/D	0.0339	N/D	N/D	0.0111	0.0133
Weibull	14110.27	0	108.65	138.27	N/D	N/D	0.0720	N/D	N/D	0.0111	0.0133
Triangular	13363.92	0	108.65	224.70	N/D	N/D	0.0885	N/D	N/D	0.0111	0.0133
Normal	14824.87	0	108.65	239.24	< 0,005	0.752	0.0953	< 0,01	0.007	0.0111	0.0133
Uniforme	12602.12	0	108.65	1462.48	N/D	N/D	0.2135	N/D	N/D	0.0111	0.0133
Exponencial	17081.13	0	108.65	2390.15	< 0,01	1.115	0.3219	< 0,01	0.009	0.0111	0.0133
Série 11	Estatística	P-Valor	Valor crítico (5%)	Estatística	P-Valor	Valor crítico (5%)	Estatística	P-Valor	Valor crítico (5%)	Valor crítico (5%)*	Valor crítico (1%)*
Triangular	8344.10	0	122.11	297.83	N/D	N/D	0.0904	N/D	N/D	0.0096	0.0115
Lognormal	10599.42	0	122.11	25.90	N/D	N/D	0.0287	N/D	N/D	0.0096	0.0115
Loglogística	10895.46	0	122.11	50.13	N/D	N/D	0.0371	N/D	N/D	0.0096	0.0115
Normal	11433.19	0	122.11	429.86	< 0,005	0.752	0.1021	< 0,01	0.006	0.0096	0.0115
Exponencial	15017.01	0	122.11	2361.77	< 0,01	1.115	0.2688	< 0,01	0.008	0.0096	0.0115
Uniforme	17325.82	0	122.11	2455.30	N/D	N/D	0.2526	N/D	N/D	0.0096	0.0115
Série 12	Estatística	P-Valor	Valor crítico (5%)	Estatística	P-Valor	Valor crítico (5%)	Estatística	P-Valor	Valor crítico (5%)	Valor crítico (5%)*	Valor crítico (1%)*
Triangular	2849.84	0	122.11	287.22	N/D	N/D	0.0936	N/D	N/D	0.0095	0.0114
Weibull	2853.57	0	122.11	97.74	N/D	N/D	0.0508	N/D	N/D	0.0095	0.0114
Lognormal	4231.96	0	122.11	35.91	N/D	N/D	0.0299	N/D	N/D	0.0095	0.0114
Loglogística	4775.61	0	122.11	61.67	N/D	N/D	0.0369	N/D	N/D	0.0095	0.0114
Normal	8119.42	0	122.11	486.92	< 0,005	0.752	0.1069	< 0,01	0.006	0.0095	0.0114
Exponencial	8185.28	0	122.11	1382.35	< 0,01	1.115	0.1959	< 0,01	0.008	0.0095	0.0114
Uniforme	13514.06	0	122.11	3178.63	N/D	N/D	0.2811	N/D	N/D	0.0095	0.0114
Série 13	Estatística	P-Valor	Valor crítico (5%)	Estatística	P-Valor	Valor crítico (5%)	Estatística	P-Valor	Valor crítico (5%)	Valor crítico (5%)*	Valor crítico (1%)*
Beta	227.62	0	48.60	2.12	N/D	N/D	0.0397	N/D	N/D	0.0341	0.0408
Weibull	229.07	0	48.60	2.77	N/D	N/D	0.0452	N/D	N/D	0.0341	0.0408
Triangular	261.13	0	48.60	12.89	N/D	N/D	0.0873	N/D	N/D	0.0341	0.0408
Lognormal	345.40	0	48.60	2.64	N/D	N/D	0.0364	N/D	N/D	0.0341	0.0408
Normal	363.28	0	48.60	21.38	< 0,005	0.752	0.0906	< 0,01	0.022	0.0341	0.0408
Loglogística	417.60	0	48.60	4.64	N/D	N/D	0.0411	N/D	N/D	0.0341	0.0408
Exponencial	820.21	0	48.60	131.82	< 0,01	1.11	0.2144	< 0,01	0.027	0.0341	0.0408
Uniforme	981.38	0	48.60	212.58	N/D	N/D	0.2691	N/D	N/D	0.0341	0.0408

Tabela 5 – Resultados dos testes de aderência de Chi-quadrado, Anderson-Darling e Kolmogorov-Smirnov ordenados pela estatística do teste de Kolmogorov-Smirnov e limites críticos determinados pelo programa @Risk 5.7 ao nível de 5% de significância e apresentados por Massey (1951) para os níveis de significância de 1 e 5%, para as séries de dados de água filtrada individual (continuação).

Série	Chi-Quadrado			Anderson-Darling			Kolmogorov-Smirnov					
	Estatística	P-Valor	Valor crítico (5%)	Estatística	P-Valor	Valor crítico (5%)	Estatística	P-Valor	Valor crítico (5%)	Valor crítico (5%)*	Valor crítico (1%)*	
Série 14												
Beta	168.78	0	48.60	1.21	N/D	N/D	0.0259	N/D	N/D	0.0341	0.0341	0.0408
Weibull	176.29	0	48.60	1.23	N/D	N/D	0.0288	N/D	N/D	0.0341	0.0341	0.0408
Lognormal	213.09	0	48.60	2.02	N/D	N/D	0.0364	N/D	N/D	0.0341	0.0341	0.0408
Loglogística	290.55	0	48.60	4.24	N/D	N/D	0.0466	N/D	N/D	0.0341	0.0341	0.0408
Triangular	169.48	0	48.60	11.84	N/D	N/D	0.0790	N/D	N/D	0.0341	0.0341	0.0408
Normal	410.40	0	48.60	20.38	< 0,005	0.752	0.0844	< 0,01	0.022	0.0341	0.0341	0.0408
Exponencial	668.00	0	48.60	109.00	< 0,01	1.11	0.1965	< 0,01	0.027	0.0341	0.0341	0.0408
Uniforme	844.71	0	48.60	214.96	N/D	N/D	0.2746	N/D	N/D	0.0341	0.0341	0.0408
Série 15												
Beta	173.36	0	48.60	1.03	N/D	N/D	0.0263	N/D	N/D	0.0347	0.0347	0.0415
Weibull	159.72	0	48.60	1.37	N/D	N/D	0.0278	N/D	N/D	0.0347	0.0347	0.0415
Lognormal	106.50	0	48.60	1.89	N/D	N/D	0.0348	N/D	N/D	0.0347	0.0347	0.0415
Loglogística	138.29	0	48.60	3.95	N/D	N/D	0.0461	N/D	N/D	0.0347	0.0347	0.0415
Normal	397.23	0	48.60	18.87	< 0,005	0.752	0.0764	< 0,01	0.023	0.0347	0.0347	0.0415
Triangular	239.45	0	48.60	14.31	N/D	N/D	0.0918	N/D	N/D	0.0347	0.0347	0.0415
Exponencial	672.73	0	48.60	116.63	< 0,01	1.11	0.2024	< 0,01	0.028	0.0347	0.0347	0.0415
Uniforme	792.45	0	48.60	226.63	N/D	N/D	0.2938	N/D	N/D	0.0347	0.0347	0.0415
Série 16												
Lognormal	1060.65	0	58.12	3.05	N/D	N/D	0.0416	N/D	N/D	0.0267	0.0267	0.0321
Loglogística	1219.78	0	58.12	5.64	N/D	N/D	0.0515	N/D	N/D	0.0267	0.0267	0.0321
Weibull	948.78	0	58.12	9.43	N/D	N/D	0.0522	N/D	N/D	0.0267	0.0267	0.0321
Normal	1249.81	0	58.12	44.56	< 0,005	0.752	0.0985	< 0,01	0.018	0.0267	0.0267	0.0321
Triangular	846.38	0	58.12	36.58	N/D	N/D	0.1099	N/D	N/D	0.0267	0.0267	0.0321
Exponencial	1722.11	0	58.12	230.71	< 0,01	1.112	0.2392	< 0,01	0.021	0.0267	0.0267	0.0321
Uniforme	2156.74	0	58.12	342.50	N/D	N/D	0.2810	N/D	N/D	0.0267	0.0267	0.0321
Série 17												
Lognormal	773.21	0	58.12	4.01	N/D	N/D	0.0393	N/D	N/D	0.0268	0.0268	0.0321
Loglogística	887.15	0	58.12	6.83	N/D	N/D	0.0465	N/D	N/D	0.0268	0.0268	0.0321
Weibull	761.03	0	58.12	21.92	N/D	N/D	0.0759	N/D	N/D	0.0268	0.0268	0.0321
Triangular	536.99	0	58.12	33.92	N/D	N/D	0.0813	N/D	N/D	0.0268	0.0268	0.0321
Normal	883.42	0	58.12	37.34	< 0,005	0.752	0.0959	< 0,01	0.018	0.0268	0.0268	0.0321
Uniforme	2076.53	0	58.12	238.24	N/D	N/D	0.2077	N/D	N/D	0.0268	0.0268	0.0321
Exponencial	2756.77	0	58.12	420.03	< 0,01	1.112	0.3277	< 0,01	0.021	0.0268	0.0268	0.0321
Série 18												
Loglogística	1353.25	0	58.12	7.95	N/D	N/D	0.0538	N/D	N/D	0.0268	0.0268	0.0321
Lognormal	1180.38	0	58.12	6.50	N/D	N/D	0.0550	N/D	N/D	0.0268	0.0268	0.0321
Gama	1028.30	0	58.12	13.39	N/D	N/D	0.0686	N/D	N/D	0.0268	0.0268	0.0321
Weibull	1114.73	0	58.12	35.86	N/D	N/D	0.0868	N/D	N/D	0.0268	0.0268	0.0321
Triangular	919.91	0	58.12	53.07	N/D	N/D	0.1051	N/D	N/D	0.0268	0.0268	0.0321
Normal	1207.67	0	58.12	51.45	< 0,005	0.752	0.1093	< 0,01	0.018	0.0268	0.0268	0.0321
Uniforme	2578.63	0	58.12	277.28	N/D	N/D	0.2295	N/D	N/D	0.0268	0.0268	0.0321
Exponencial	3043.96	0	58.12	447.97	< 0,01	1.112	0.3477	< 0,01	0.021	0.0268	0.0268	0.0321
Série 19												
Loglogística	5030.40	0	79.08	7.62	N/D	N/D	0.0396	N/D	N/D	0.0174	0.0174	0.0208
Lognormal	4298.72	0	79.08	10.63	N/D	N/D	0.0402	N/D	N/D	0.0174	0.0174	0.0208
Gama	4318.52	0	79.08	11.62	N/D	N/D	0.0405	N/D	N/D	0.0174	0.0174	0.0208
Beta	4310.74	0	79.08	14.55	N/D	N/D	0.0447	N/D	N/D	0.0174	0.0174	0.0208
Weibull	4446.79	0	79.08	21.29	N/D	N/D	0.0533	N/D	N/D	0.0174	0.0174	0.0208
Normal	4515.51	0	79.08	40.53	< 0,005	0.752	0.0788	< 0,01	0.011	0.0174	0.0174	0.0208
Triangular	4159.86	0	79.08	56.89	N/D	N/D	0.0872	N/D	N/D	0.0174	0.0174	0.0208
Uniforme	4317.79	0	79.08	572.38	N/D	N/D	0.2452	N/D	N/D	0.0174	0.0174	0.0208
Exponencial	6136.20	0	79.08	634.15	< 0,01	1.114	0.2658	< 0,01	0.014	0.0174	0.0174	0.0208
Série 20												
Loglogística	4231.91	0	77.93	15.69	N/D	N/D	0.0494	N/D	N/D	0.0176	0.0176	0.0211
Lognormal	3736.73	0	77.93	23.45	N/D	N/D	0.0555	N/D	N/D	0.0176	0.0176	0.0211
Gama	3829.25	0	77.93	25.90	N/D	N/D	0.0576	N/D	N/D	0.0176	0.0176	0.0211
Weibull	3631.97	0	77.93	43.27	N/D	N/D	0.0741	N/D	N/D	0.0176	0.0176	0.0211
Triangular	3447.35	0	77.93	68.82	N/D	N/D	0.0857	N/D	N/D	0.0176	0.0176	0.0211
Normal	3926.69	0	77.93	71.20	< 0,005	0.752	0.0933	< 0,01	0.012	0.0176	0.0176	0.0211
Uniforme	6444.18	0	77.93	596.49	N/D	N/D	0.2441	N/D	N/D	0.0176	0.0176	0.0211
Exponencial	5244.70	0	77.93	685.71	< 0,01	1.114	0.2920	< 0,01	0.014	0.0176	0.0176	0.0211

Tabela 6 – Resultados das estatísticas dos testes de aderência de Chi-quadrado, Anderson-Darling e Kolmogorov-Smirnov ordenados pela estatística do teste de Kolmogorov-Smirnov e limites críticos determinados pelo programa @Risk 5.7 ao nível de 5% de significância e apresentados por Massey (1951) para os níveis de significância de 1 e 5%, para as séries de dados de água tratada (continua).

Série 1	Chi-Quadrado			Anderson-Darling			Kolmogorov-Smirnov				
	Estatística	P-Valor	Valor crítico (5%)	Estatística	P-Valor	Valor crítico (5%)	Estatística	P-Valor	Valor crítico (5%)	Valor crítico (5%)*	Valor crítico (1%)*
Beta	113869.88	0	109.77	161.36	N/D	N/D	0.1059	N/D	N/D	0.0111	0.0133
Triangular	113867.13	0	109.77	169.29	N/D	N/D	0.1194	N/D	N/D	0.0111	0.0133
Weibull	114032.98	0	109.77	223.04	N/D	N/D	0.1308	N/D	N/D	0.0111	0.0133
Normal	113954.26	0	109.77	227.67	< 0,005	0.752	0.1319	< 0,01	0.0073	0.0111	0.0133
Uniforme	113867.07	0	109.77	1026.13	N/D	N/D	0.2009	N/D	N/D	0.0111	0.0133
Exponencial	113969.88	0	109.77	2647.17	< 0,01	1.1145	0.3133	< 0,01	0.0089	0.0111	0.0133
Série 2	Estatística	P-Valor	Valor crítico (5%)	Estatística	P-Valor	Valor crítico (5%)	Estatística	P-Valor	Valor crítico (5%)	Valor crítico (5%)*	Valor crítico (1%)*
Loglogística	4412.54	0	95.08	49.34	N/D	N/D	0.0445	N/D	N/D	0.0135	0.0162
Lognormal	5469.52	0	95.08	37.08	N/D	N/D	0.045	N/D	N/D	0.0135	0.0162
Beta	4939.68	0	95.08	20.76	N/D	N/D	0.0455	N/D	N/D	0.0135	0.0162
Weibull	5060.59	0	95.08	22.97	N/D	N/D	0.0465	N/D	N/D	0.0135	0.0162
Normal	5702.73	0	95.08	68.00	< 0,005	0.7519	0.0657	< 0,01	0.0089	0.0135	0.0162
Triangular	4941.47	0	95.08	124.97	N/D	N/D	0.0795	N/D	N/D	0.0135	0.0162
Exponencial	7674.20	0	95.08	799.00	< 0,01	1.1142	0.1964	< 0,01	0.0108	0.0135	0.0162
Uniforme	7547.84	0	95.08	1443.17	N/D	N/D	0.2868	N/D	N/D	0.0135	0.0162
Série 3	Estatística	P-Valor	Valor crítico (5%)	Estatística	P-Valor	Valor crítico (5%)	Estatística	P-Valor	Valor crítico (5%)	Valor crítico (5%)*	Valor crítico (1%)*
Loglogística	4680.45	0	83.68	85.90	N/D	N/D	0.0802	N/D	N/D	0.0161	0.0193
Lognormal	4519.45	0	83.68	75.45	N/D	N/D	0.0805	N/D	N/D	0.0161	0.0193
Exponencial	4423.08	0	83.68	140.41	< 0,01	1.1139	0.1575	< 0,01	0.0129	0.0161	0.0193
Normal	9706.12	0	83.68	322.30	< 0,005	0.7519	0.1641	< 0,01	0.0106	0.0161	0.0193
Triangular	5474.85	0	83.68	884.14	N/D	N/D	0.2183	N/D	N/D	0.0161	0.0193
Uniforme	12059.04	0	83.68	2820.16	N/D	N/D	0.389	N/D	N/D	0.0161	0.0193
Série 4	Estatística	P-Valor	Valor crítico (5%)	Estatística	P-Valor	Valor crítico (5%)	Estatística	P-Valor	Valor crítico (5%)	Valor crítico (5%)*	Valor crítico (1%)*
Beta	31381.56	0	122.11	43.21	N/D	N/D	0.0464	N/D	N/D	0.0096	0.0115
Lognormal	31325.82	0	122.11	66.33	N/D	N/D	0.0544	N/D	N/D	0.0096	0.0115
Weibull	31472.18	0	122.11	63.65	N/D	N/D	0.0569	N/D	N/D	0.0096	0.0115
Loglogística	31780.13	0	122.11	104.75	N/D	N/D	0.0587	N/D	N/D	0.0096	0.0115
Normal	31993.33	0	122.11	148.77	< 0,005	0.752	0.0799	< 0,01	0.0063	0.0096	0.0115
Triangular	30962.28	0	122.11	230.45	N/D	N/D	0.1008	N/D	N/D	0.0096	0.0115
Uniforme	30593.24	0	122.11	2184.68	N/D	N/D	0.2714	N/D	N/D	0.0096	0.0115
Exponencial	37382.79	0	122.11	2990.15	< 0,01	1.1146	0.2916	< 0,01	0.0077	0.0096	0.0115
Série 5	Estatística	P-Valor	Valor crítico (5%)	Estatística	P-Valor	Valor crítico (5%)	Estatística	P-Valor	Valor crítico (5%)	Valor crítico (5%)*	Valor crítico (1%)*
Lognormal	60128.46	0	127.69	41.38	N/D	N/D	0.0412	N/D	N/D	0.0090	0.0090
Beta	60082.23	0	127.69	46.39	N/D	N/D	0.0476	N/D	N/D	0.0090	0.0090
Loglogística	60451.12	0	127.69	67.58	N/D	N/D	0.0479	N/D	N/D	0.0090	0.0090
Triangular	59486.61	0	127.69	198.99	N/D	N/D	0.0713	N/D	N/D	0.0090	0.0090
Weibull	60060.73	0	127.69	137.46	N/D	N/D	0.0745	N/D	N/D	0.0090	0.0090
Normal	60804.53	0	127.69	285.27	< 0,005	0.752	0.0994	< 0,01	0.0059	0.0090	0.0090
Uniforme	59124.45	0	127.69	1946.45	N/D	N/D	0.1998	N/D	N/D	0.0090	0.0090
Exponencial	60096.32	0	127.69	3413.79	< 0,01	1.1147	0.3111	< 0,01	0.0072	0.0090	0.0090
Série 6	Estatística	P-Valor	Valor crítico (5%)	Estatística	P-Valor	Valor crítico (5%)	Estatística	P-Valor	Valor crítico (5%)	Valor crítico (5%)*	Valor crítico (1%)*
Lognormal	13625.07	0	99.62	15.47	N/D	N/D	0.0454	N/D	N/D	0.0126	0.0151
Loglogística	13878.44	0	99.62	16.55	N/D	N/D	0.0363	N/D	N/D	0.0126	0.0151
Gama	13534.49	0	99.62	16.84	N/D	N/D	0.048	N/D	N/D	0.0126	0.0151
Beta	13516.26	0	99.62	22.77	N/D	N/D	0.0563	N/D	N/D	0.0126	0.0151
Weibull	13464.89	0	99.62	61.77	N/D	N/D	0.0729	N/D	N/D	0.0126	0.0151
Normal	13799.32	0	99.62	79.30	< 0,005	0.752	0.0709	< 0,01	0.0083	0.0126	0.0151
Triangular	12876.04	0	99.62	162.93	N/D	N/D	0.1009	N/D	N/D	0.0126	0.0151
Uniforme	12323.55	0	99.62	1033.12	N/D	N/D	0.1947	N/D	N/D	0.0126	0.0151
Exponencial	20271.23	0	99.62	2198.90	< 0,01	1.1143	0.3396	< 0,01	0.0101	0.0126	0.0151

Tabela 6 – Resultados das estatísticas dos testes de aderência de Chi-quadrado, Anderson-Darling e Kolmogorov-Smirnov ordenados pela estatística do teste de Kolmogorov-Smirnov e limites críticos determinados pelo programa @Risk 5.7 ao nível de 5% de significância e apresentados por Massey (1951) para os níveis de significância de 1 e 5%, para as séries de dados de água tratada (continuação).

Série 7	Chi-Quadrado			Anderson-Darling			Kolmogorov-Smirnov				
	Estatística	P-Valor	Valor crítico (5%)	Estatística	P-Valor	Valor crítico (5%)	Estatística	P-Valor	Valor crítico (5%)	Valor crítico (5%)*	Valor crítico (1%)*
Loglogística	56604.01	0	89.39	66.83	N/D	N/D	0.1077	N/D	N/D	0.0146	0.0175
Lognormal	56731.20	0	89.39	79.17	N/D	N/D	0.1184	N/D	N/D	0.0146	0.0175
Gama	56731.20	0	89.39	81.48	N/D	N/D	0.1188	N/D	N/D	0.0146	0.0175
Weibull	56604.01	0	89.39	99.64	N/D	N/D	0.122	N/D	N/D	0.0146	0.0175
Normal	57346.36	0	89.39	129.77	< 0,005	0.7519	0.1412	< 0,01	0.0096	0.0146	0.0175
Triangular	56604.01	0	89.39	188.66	N/D	N/D	0.1577	N/D	N/D	0.0146	0.0175
Uniforme	56309.72	0	89.39	845.42	N/D	N/D	0.2768	N/D	N/D	0.0146	0.0175
Exponencial	56309.72	0	89.39	1054.92	< 0,01	1.1141	0.3084	< 0,01	0.0117	0.0146	0.0175
Série 8	Estatística	P-Valor	Valor crítico (5%)	Estatística	P-Valor	Valor crítico (5%)	Estatística	P-Valor	Valor crítico (5%)	Valor crítico (5%)*	Valor crítico (1%)*
Beta	548.60	0	113.15	6.68	N/D	N/D	0.0167	N/D	N/D	0.0106	0.0128
Weibull	773.35	0	113.15	22.86	N/D	N/D	0.0221	N/D	N/D	0.0106	0.0128
Lognormal	703.31	0	113.15	17.72	N/D	N/D	0.0243	N/D	N/D	0.0106	0.0128
Loglogística	1294.40	0	113.15	41.00	N/D	N/D	0.0337	N/D	N/D	0.0106	0.0128
Normal	1264.36	0	113.15	47.07	< 0,005	0.752	0.0339	< 0,01	0.007	0.0106	0.0128
Triangular	1718.71	0	113.15	158.69	N/D	N/D	0.0612	N/D	N/D	0.0106	0.0128
Uniforme	10027.49	0	113.15	1441.54	N/D	N/D	0.1811	N/D	N/D	0.0106	0.0128
Exponencial	17995.00	0	113.15	3016.45	< 0,01	1.1145	0.322	< 0,01	0.0085	0.0106	0.0128
Série 9	Estatística	P-Valor	Valor crítico (5%)	Estatística	P-Valor	Valor crítico (5%)	Estatística	P-Valor	Valor crítico (5%)	Valor crítico (5%)*	Valor crítico (1%)*
Lognormal	776.82	0	100.75	5.73	N/D	N/D	0.0151	N/D	N/D	0.0125	0.0150
Loglogística	709.16	0	100.75	14.60	N/D	N/D	0.0235	N/D	N/D	0.0125	0.0150
Beta	540.81	0	100.75	9.87	N/D	N/D	0.025	N/D	N/D	0.0125	0.0150
Weibull	808.47	0	100.75	32.70	N/D	N/D	0.0413	N/D	N/D	0.0125	0.0150
Triangular	1098.61	0	100.75	83.99	N/D	N/D	0.0567	N/D	N/D	0.0125	0.0150
Normal	1102.23	0	100.75	70.25	< 0,005	0.752	0.0577	< 0,01	0.0082	0.0125	0.0150
Uniforme	6390.55	0	100.75	874.65	N/D	N/D	0.1616	N/D	N/D	0.0125	0.0150
Exponencial	11509.94	0	100.75	1978.82	< 0,01	1.1143	0.3142	< 0,01	0.01	0.0125	0.0150
Série 10	Estatística	P-Valor	Valor crítico (5%)	Estatística	P-Valor	Valor crítico (5%)	Estatística	P-Valor	Valor crítico (5%)	Valor crítico (5%)*	Valor crítico (1%)*
Loglogística	2331.19	0	70.99	9.21	N/D	N/D	0.062	N/D	N/D	0.0203	0.0243
Lognormal	2549.46	0	70.99	9.92	N/D	N/D	0.074	N/D	N/D	0.0203	0.0243
Beta	2703.87	0	70.99	13.32	N/D	N/D	0.0815	N/D	N/D	0.0203	0.0243
Gama	2881.69	0	70.99	13.32	N/D	N/D	0.0823	N/D	N/D	0.0203	0.0243
Weibull	2902.92	0	70.99	46.40	N/D	N/D	0.1128	N/D	N/D	0.0203	0.0243
Triangular	3013.60	0	70.99	78.30	N/D	N/D	0.0914	N/D	N/D	0.0203	0.0243
Normal	3196.06	0	70.99	60.91	< 0,005	0.7519	0.1282	< 0,01	0.0134	0.0203	0.0243
Uniforme	4796.13	0	70.99	403.15	N/D	N/D	0.1924	N/D	N/D	0.0203	0.0243
Exponencial	6604.97	0	70.99	837.57	< 0,01	1.1132	0.3478	< 0,01	0.0163	0.0203	0.0243
Série 11	Estatística	P-Valor	Valor crítico (5%)	Estatística	P-Valor	Valor crítico (5%)	Estatística	P-Valor	Valor crítico (5%)	Valor crítico (5%)*	Valor crítico (1%)*
Weibull	470084.38	0	139.92	568.92	N/D	N/D	0.1334	N/D	N/D	0.0079	0.0095
Gama	468554.79	0	139.92	488.53	N/D	N/D	0.1415	N/D	N/D	0.0079	0.0095
Lognormal	468381.71	0	139.92	488.45	N/D	N/D	0.1447	N/D	N/D	0.0079	0.0095
Loglogística	468381.71	0	139.92	540.66	N/D	N/D	0.1479	N/D	N/D	0.0079	0.0095
Normal	470084.19	0	139.92	673.53	< 0,005	0.752	0.1488	< 0,01	0.0052	0.0079	0.0095
Triangular	468369.54	0	139.92	1025.12	N/D	N/D	0.1637	N/D	N/D	0.0079	0.0095
Uniforme	468369.37	0	139.92	3885.12	N/D	N/D	0.2757	N/D	N/D	0.0079	0.0095
Exponencial	468396.52	0	139.92	5567.83	< 0,01	1.1147	0.4164	< 0,01	0.0063	0.0079	0.0095
Série 12	Estatística	P-Valor	Valor crítico (5%)	Estatística	P-Valor	Valor crítico (5%)	Estatística	P-Valor	Valor crítico (5%)	Valor crítico (5%)*	Valor crítico (1%)*
Triangular	9982.74	0	109.77	209.85	N/D	N/D	0.0792	N/D	N/D	0.0110	0.0132
Weibull	10755.59	0	109.77	147.70	N/D	N/D	0.0795	N/D	N/D	0.0110	0.0132
Uniforme	11254.80	0	109.77	1472.08	N/D	N/D	0.2125	N/D	N/D	0.0110	0.0132
Lognormal	11525.36	0	109.77	24.94	N/D	N/D	0.0364	N/D	N/D	0.0110	0.0132
Normal	11624.94	0	109.77	271.82	< 0,005	0.752	0.1048	< 0,01	0.0072	0.0110	0.0132
Loglogística	12004.58	0	109.77	28.91	N/D	N/D	0.0337	N/D	N/D	0.0110	0.0132
Exponencial	16482.47	0	109.77	2305.21	< 0,01	1.1145	0.3159	< 0,01	0.0088	0.0110	0.0132

Tabela 6 – Resultados das estatísticas dos testes de aderência de Chi-quadrado, Anderson-Darling e Kolmogorov-Smirnov ordenados pela estatística do teste de Kolmogorov-Smirnov e limites críticos determinados pelo programa @Risk 5.7 ao nível de 5% de significância e apresentados por Massey (1951) para os níveis de significância de 1 e 5%, para as séries de dados de água tratada (continuação).

Série 13	Chi-Quadrado			Anderson-Darling			Kolmogorov-Smirnov				
	Estatística	P-Valor	Valor crítico (5%)	Estatística	P-Valor	Valor crítico (5%)	Estatística	P-Valor	Valor crítico (5%)	Valor crítico (5%)*	Valor crítico (1%)*
Loglogística	13197.61	0	110.90	26.73	N/D	N/D	0.0308	N/D	N/D	0.0109	0.0130
Lognormal	12892.79	0	110.90	37.26	N/D	N/D	0.0431	N/D	N/D	0.0109	0.0130
Gama	12767.88	0	110.90	44.66	N/D	N/D	0.0471	N/D	N/D	0.0109	0.0130
Weibull	12497.77	0	110.90	102.50	N/D	N/D	0.0637	N/D	N/D	0.0109	0.0130
Triangular	11788.76	0	110.90	172.41	N/D	N/D	0.076	N/D	N/D	0.0109	0.0130
Normal	13008.78	0	110.90	177.32	< 0,005	0.752	0.0876	< 0,01	0.0072	0.0109	0.0130
Uniforme	10777.84	0	110.90	1381.56	N/D	N/D	0.21	N/D	N/D	0.0109	0.0130
Exponencial	16241.57	0	110.90	2311.28	< 0,01	1.1145	0.3158	< 0,01	0.0087	0.0109	0.0130
Série 14	Estatística	P-Valor	Valor crítico (5%)	Estatística	P-Valor	Valor crítico (5%)	Estatística	P-Valor	Valor crítico (5%)	Valor crítico (5%)*	Valor crítico (1%)*
Lognormal	6138.63	0	122.11	32.02	N/D	N/D	0.0296	N/D	N/D	0.0095	0.0114
Loglogística	7211.20	0	122.11	62.39	N/D	N/D	0.0363	N/D	N/D	0.0095	0.0114
Weibull	4925.01	0	122.11	39.64	N/D	N/D	0.0395	N/D	N/D	0.0095	0.0114
Beta	4558.94	0	122.11	139.47	N/D	N/D	0.0631	N/D	N/D	0.0095	0.0114
Triangular	4331.97	0	122.11	147.31	N/D	N/D	0.0679	N/D	N/D	0.0095	0.0114
Normal	7849.72	0	122.11	313.17	< 0,005	0.752	0.0896	< 0,01	0.0062	0.0095	0.0114
Exponencial	10925.96	0	122.11	1591.60	< 0,01	1.1146	0.2051	< 0,01	0.0076	0.0095	0.0114
Uniforme	13911.94	0	122.11	2770.35	N/D	N/D	0.2617	N/D	N/D	0.0095	0.0114
Série 15	Estatística	P-Valor	Valor crítico (5%)	Estatística	P-Valor	Valor crítico (5%)	Estatística	P-Valor	Valor crítico (5%)	Valor crítico (5%)*	Valor crítico (1%)*
Triangular	58935.11	0	126.57	7348.29	N/D	N/D	0.3962	N/D	N/D	0.0091	0.0109
Exponencial	69984.72	0	126.57	1327.23	< 0,01	1.1146	0.1935	< 0,01	0.0073	0.0091	0.0109
Loglogística	71396.56	0	126.57	2030.09	N/D	N/D	0.2262	N/D	N/D	0.0091	0.0109
Normal	72067.80	0	126.57	2176.92	< 0,005	0.752	0.2563	< 0,01	0.006	0.0091	0.0109
Lognormal	78814.60	0	126.57	832.05	N/D	N/D	0.1358	N/D	N/D	0.0091	0.0109
Uniforme	105555.18	0	126.57	14640.14	N/D	N/D	0.4754	N/D	N/D	0.0091	0.0109
Série 16	Estatística	P-Valor	Valor crítico (5%)	Estatística	P-Valor	Valor crítico (5%)	Estatística	P-Valor	Valor crítico (5%)	Valor crítico (5%)*	Valor crítico (1%)*
Loglogística	9714.28	0	89.39	159.69	N/D	N/D	0.1027	N/D	N/D	0.0148	0.0177
Weibull	8590.45	0	89.39	130.37	N/D	N/D	0.1071	N/D	N/D	0.0148	0.0177
Exponencial	9182.40	0	89.39	321.27	< 0,01	1.1141	0.1085	< 0,01	0.0118	0.0148	0.0177
Lognormal	8678.66	0	89.39	153.73	N/D	N/D	0.1143	N/D	N/D	0.0148	0.0177
Beta	8643.73	0	89.39	+Infinito	N/D	N/D	0.1321	N/D	N/D	0.0148	0.0177
Triangular	9621.37	0	89.39	324.26	N/D	N/D	0.1321	N/D	N/D	0.0148	0.0177
Normal	9485.92	0	89.39	223.45	< 0,005	0.7519	0.1467	< 0,01	0.0097	0.0148	0.0177
Uniforme	14638.39	0	89.39	2707.36	N/D	N/D	0.3673	N/D	N/D	0.0148	0.0177
Série 17	Estatística	P-Valor	Valor crítico (5%)	Estatística	P-Valor	Valor crítico (5%)	Estatística	P-Valor	Valor crítico (5%)	Valor crítico (5%)*	Valor crítico (1%)*
Lognormal	24748.79	0	84.82	24.73	N/D	N/D	0.0636	N/D	N/D	0.0158	0.0190
Normal	24815.58	0	84.82	25.24	< 0,005	0.7519	0.0648	< 0,01	0.0104	0.0158	0.0190
Loglogística	24832.69	0	84.82	32.04	N/D	N/D	0.0661	N/D	N/D	0.0158	0.0190
Beta	24767.94	0	84.82	24.14	N/D	N/D	0.0686	N/D	N/D	0.0158	0.0190
Weibull	24767.94	0	84.82	23.52	N/D	N/D	0.0721	N/D	N/D	0.0158	0.0190
Triangular	24631.58	0	84.82	105.39	N/D	N/D	0.1304	N/D	N/D	0.0158	0.0190
Normal	24539.36	0	84.82	685.28	N/D	N/D	0.2478	N/D	N/D	0.0158	0.0190
Exponencial	24579.34	0	84.82	1375.39	< 0,01	1.1139	0.3348	< 0,01	0.0127	0.0158	0.0190
Série 18	Estatística	P-Valor	Valor crítico (5%)	Estatística	P-Valor	Valor crítico (5%)	Estatística	P-Valor	Valor crítico (5%)	Valor crítico (5%)*	Valor crítico (1%)*
Gama	11344.05	0	83.68	10.83	N/D	N/D	0.0597	N/D	N/D	0.0160	0.0192
Lognormal	11344.05	0	83.68	10.79	N/D	N/D	0.06	N/D	N/D	0.0160	0.0192
Loglogística	11761.35	0	83.68	14.13	N/D	N/D	0.0626	N/D	N/D	0.0160	0.0192
Weibull	11249.00	0	83.68	17.11	N/D	N/D	0.0662	N/D	N/D	0.0160	0.0192
Normal	11422.83	0	83.68	20.20	< 0,005	0.7519	0.0796	< 0,01	0.0105	0.0160	0.0192
Triangular	10997.32	0	83.68	53.35	N/D	N/D	0.0797	N/D	N/D	0.0160	0.0192
Uniforme	10805.34	0	83.68	524.92	N/D	N/D	0.1931	N/D	N/D	0.0160	0.0192
Exponencial	13005.71	0	83.68	1225.27	< 0,01	1.1139	0.321	< 0,01	0.0128	0.0160	0.0192

Tabela 6 – Resultados das estatísticas dos testes de aderência de Chi-quadrado, Anderson-Darling e Kolmogorv-Smirnov ordenados pela estatística do teste de Kolmogorov-Smirnov e limites críticos determinados pelo programa @Risk 5.7 ao nível de 5% de significância e apresentados por Massey (1951) para os níveis de significância de 1 e 5%, para as séries de dados de água tratada (continuação).

Série 19	Chi-Quadrado			Anderson-Darling			Kolmogorov-Smirnov				
	Estatística	P-Valor	Valor crítico (5%)	Estatística	P-Valor	Valor crítico (5%)	Estatística	P-Valor	Valor crítico (5%)	Valor crítico (5%)*	Valor crítico (1%)*
Weibull	1634.39	0	83.68	14.39	N/D	N/D	0.0355	N/D	N/D	0.0162	0.0194
Beta	1799.10	0	83.68	8.70	N/D	N/D	0.035	N/D	N/D	0.0162	0.0194
Lognormal	1871.23	0	83.68	26.85	N/D	N/D	0.0476	N/D	N/D	0.0162	0.0194
Triangular	1953.79	0	83.68	45.75	N/D	N/D	0.0841	N/D	N/D	0.0162	0.0194
Loglogística	2249.36	0	83.68	38.56	N/D	N/D	0.0498	N/D	N/D	0.0162	0.0194
Normal	2333.99	0	83.68	48.88	< 0,005	0.7519	0.0672	< 0,01	0.0107	0.0162	0.0194
Uniforme	4264.63	0	83.68	889.43	N/D	N/D	0.2813	N/D	N/D	0.0162	0.0194
Exponencial	4609.72	0	83.68	633.96	< 0,01	1.1139	0.2129	< 0,01	0.013	0.0162	0.0194
Série 20	Estatística	P-Valor	Valor crítico (5%)	Estatística	P-Valor	Valor crítico (5%)	Estatística	P-Valor	Valor crítico (5%)	Valor crítico (5%)*	Valor crítico (1%)*
Lognormal	2011.18	0	84.82	27.66	N/D	N/D	0.0471	N/D	N/D	0.0157	0.0188
Loglogística	2564.40	0	84.82	40.32	N/D	N/D	0.0515	N/D	N/D	0.0157	0.0188
Weibull	2106.70	0	84.82	69.30	N/D	N/D	0.0661	N/D	N/D	0.0157	0.0188
Triangular	1682.08	0	84.82	96.80	N/D	N/D	0.0768	N/D	N/D	0.0157	0.0188
Normal	2988.40	0	84.82	140.85	< 0,005	0.7519	0.0961	< 0,01	0.0103	0.0157	0.0188
Uniforme	6044.64	0	84.82	880.73	N/D	N/D	0.2365	N/D	N/D	0.0157	0.0188
Exponencial	5892.88	0	84.82	983.94	< 0,01	1.1139	0.2984	< 0,01	0.0126	0.0157	0.0188
Série 21	Estatística	P-Valor	Valor crítico (5%)	Estatística	P-Valor	Valor crítico (5%)	Estatística	P-Valor	Valor crítico (5%)	Valor crítico (5%)*	Valor crítico (1%)*
Beta	2121.61	0	98.48	12.23	N/D	N/D	0.0241	N/D	N/D	0.0127	0.0152
Lognormal	2753.75	0	98.48	17.11	N/D	N/D	0.0283	N/D	N/D	0.0127	0.0152
Loglogística	3202.49	0	98.48	34.23	N/D	N/D	0.036	N/D	N/D	0.0127	0.0152
Weibull	1951.33	0	98.48	35.86	N/D	N/D	0.046	N/D	N/D	0.0127	0.0152
Triangular	1748.32	0	98.48	79.80	N/D	N/D	0.0551	N/D	N/D	0.0127	0.0152
Normal	2912.96	0	98.48	103.76	< 0,005	0.752	0.0712	< 0,01	0.0084	0.0127	0.0152
Uniforme	8033.70	0	98.48	1073.55	N/D	N/D	0.21	N/D	N/D	0.0127	0.0152
Exponencial	9389.92	0	98.48	1607.57	< 0,01	1.1143	0.2814	< 0,01	0.0102	0.0127	0.0152
Série 22	Estatística	P-Valor	Valor crítico (5%)	Estatística	P-Valor	Valor crítico (5%)	Estatística	P-Valor	Valor crítico (5%)	Valor crítico (5%)*	Valor crítico (1%)*
Lognormal	10606.98	0	116.51	29.36	N/D	N/D	0.032	N/D	N/D	0.0101	0.0121
Loglogística	11572.58	0	116.51	43.90	N/D	N/D	0.0352	N/D	N/D	0.0101	0.0121
Weibull	9759.12	0	116.51	183.27	N/D	N/D	0.0843	N/D	N/D	0.0101	0.0121
Triangular	8935.25	0	116.51	294.74	N/D	N/D	0.0928	N/D	N/D	0.0101	0.0121
Normal	11005.98	0	116.51	338.20	< 0,005	0.752	0.1095	< 0,01	0.0067	0.0101	0.0121
Uniforme	17779.06	0	116.51	2047.32	N/D	N/D	0.2326	N/D	N/D	0.0101	0.0121
Exponencial	16231.48	0	116.51	2685.26	< 0,01	1.1146	0.3134	< 0,01	0.0081	0.0101	0.0121
Série 23	Estatística	P-Valor	Valor crítico (5%)	Estatística	P-Valor	Valor crítico (5%)	Estatística	P-Valor	Valor crítico (5%)	Valor crítico (5%)*	Valor crítico (1%)*
Weibull	522.91	0	58.12	4.39	N/D	N/D	0.0456	N/D	N/D	0.0265	0.0317
Triangular	575.53	0	58.12	20.95	N/D	N/D	0.0807	N/D	N/D	0.0265	0.0317
Lognormal	630.14	0	58.12	4.58	N/D	N/D	0.043	N/D	N/D	0.0265	0.0317
Beta	645.22	0	58.12	2.64	N/D	N/D	0.0388	N/D	N/D	0.0265	0.0317
Loglogística	798.04	0	58.12	8.90	N/D	N/D	0.0526	N/D	N/D	0.0265	0.0317
Normal	929.50	0	58.12	32.82	< 0,005	0.7518	0.0854	< 0,01	0.0174	0.0265	0.0317
Exponencial	1464.87	0	58.12	230.37	< 0,01	1.112	0.2255	< 0,01	0.0212	0.0265	0.0317
Uniforme	1767.19	0	58.12	339.05	N/D	N/D	0.2683	N/D	N/D	0.0265	0.0317
Série 24	Estatística	P-Valor	Valor crítico (5%)	Estatística	P-Valor	Valor crítico (5%)	Estatística	P-Valor	Valor crítico (5%)	Valor crítico (5%)*	Valor crítico (1%)*
Loglogística	28502.41	0	114.27	110.96	N/D	N/D	0.0745	N/D	N/D	0.0104	0.0124
Lognormal	27951.86	0	114.27	107.97	N/D	N/D	0.0767	N/D	N/D	0.0104	0.0124
Beta	28140.56	0	114.27	116.67	N/D	N/D	0.0784	N/D	N/D	0.0104	0.0124
Weibull	29295.05	0	114.27	182.54	N/D	N/D	0.0907	N/D	N/D	0.0104	0.0124
Triangular	27633.29	0	114.27	307.54	N/D	N/D	0.0991	N/D	N/D	0.0104	0.0124
Normal	28049.57	0	114.27	264.02	< 0,005	0.752	0.1095	< 0,01	0.0068	0.0104	0.0124
Uniforme	36553.43	0	114.27	1843.16	N/D	N/D	0.2295	N/D	N/D	0.0104	0.0124
Exponencial	36349.69	0	114.27	3001.41	< 0,01	1.1145	0.352	< 0,01	0.0083	0.0104	0.0124

Tabela 6 – Resultados das estatísticas dos testes de aderência de Chi-quadrado, Anderson-Darling e Kolmogorov-Smirnov ordenados pela estatística do teste de Kolmogorov-Smirnov e limites críticos determinados pelo programa @Risk 5.7 ao nível de 5% de significância e apresentados por Massey (1951) para os níveis de significância de 1 e 5%, para as séries de dados de água tratada (continuação).

Série 25	Chi-Quadrado			Anderson-Darling			Kolmogorov-Smirnov				
	Estatística	P-Valor	Valor crítico (5%)	Estatística	P-Valor	Valor crítico (5%)	Estatística	P-Valor	Valor crítico (5%)	Valor crítico (5%)*	Valor crítico (1%)*
Loglogística	23392.13	0	107.52	45.36	N/D	N/D	0.0442	N/D	N/D	0.0113	0.0135
Lognormal	23457.58	0	107.52	38.20	N/D	N/D	0.0517	N/D	N/D	0.0113	0.0135
Gama	23160.96	0	107.52	92.27	N/D	N/D	0.076	N/D	N/D	0.0113	0.0135
Weibull	23079.78	0	107.52	226.62	N/D	N/D	0.1019	N/D	N/D	0.0113	0.0135
Triangular	22263.18	0	107.52	321.29	N/D	N/D	0.106	N/D	N/D	0.0113	0.0135
Normal	23974.64	0	107.52	345.78	< 0,005	0.752	0.1269	< 0,01	0.0074	0.0113	0.0135
Uniforme	21690.76	0	107.52	1601.88	N/D	N/D	0.2301	N/D	N/D	0.0113	0.0135
Exponencial	23506.75	0	107.52	2374.53	< 0,01	1.1145	0.3381	< 0,01	0.009	0.0113	0.0135
Série 26	Estatística	P-Valor	Valor crítico (5%)	Estatística	P-Valor	Valor crítico (5%)	Estatística	P-Valor	Valor crítico (5%)	Valor crítico (5%)*	Valor crítico (1%)*
Loglogística	71914.95	0	124.34	71.14	N/D	N/D	0.0531	N/D	N/D	0.0093	0.0112
Lognormal	72060.58	0	124.34	61.81	N/D	N/D	0.055	N/D	N/D	0.0093	0.0112
Gama	72027.97	0	124.34	64.44	N/D	N/D	0.058	N/D	N/D	0.0093	0.0112
Beta	71298.45	0	124.34	68.90	N/D	N/D	0.061	N/D	N/D	0.0093	0.0112
Normal	71199.63	0	124.34	201.80	< 0,005	0.752	0.0819	< 0,01	0.0061	0.0093	0.0112
Weibull	71846.94	0	124.34	156.48	N/D	N/D	0.0862	N/D	N/D	0.0093	0.0112
Triangular	70957.63	0	124.34	287.81	N/D	N/D	0.1039	N/D	N/D	0.0093	0.0112
Uniforme	70758.80	0	124.34	1676.80	N/D	N/D	0.2305	N/D	N/D	0.0093	0.0112
Exponencial	70953.84	0	124.34	4069.47	< 0,01	1.1146	0.3643	< 0,01	0.0075	0.0093	0.0112
Série 27	Estatística	P-Valor	Valor crítico (5%)	Estatística	P-Valor	Valor crítico (5%)	Estatística	P-Valor	Valor crítico (5%)	Valor crítico (5%)*	Valor crítico (1%)*
Lognormal	30302.46	0	125.46	23.58	N/D	N/D	0.0369	N/D	N/D	0.0092	0.0110
Loglogística	30562.08	0	125.46	48.71	N/D	N/D	0.0445	N/D	N/D	0.0092	0.0110
Weibull	29670.55	0	125.46	173.26	N/D	N/D	0.0681	N/D	N/D	0.0092	0.0110
Normal	30211.78	0	125.46	232.84	< 0,005	0.752	0.0803	< 0,01	0.0061	0.0092	0.0110
Triangular	28606.98	0	125.46	365.98	N/D	N/D	0.1017	N/D	N/D	0.0092	0.0110
Uniforme	27958.49	0	125.46	2026.18	N/D	N/D	0.2045	N/D	N/D	0.0092	0.0110
Exponencial	34903.30	0	125.46	4163.99	< 0,01	1.1146	0.3561	< 0,01	0.0074	0.0092	0.0110
Série 28	Estatística	P-Valor	Valor crítico (5%)	Estatística	P-Valor	Valor crítico (5%)	Estatística	P-Valor	Valor crítico (5%)	Valor crítico (5%)*	Valor crítico (1%)*
Lognormal	42848.43	0	123.23	22.34	N/D	N/D	0.038	N/D	N/D	0.0094	0.0113
Gama	42900.55	0	123.23	45.10	N/D	N/D	0.0445	N/D	N/D	0.0094	0.0113
Loglogística	43118.69	0	123.23	43.40	N/D	N/D	0.0474	N/D	N/D	0.0094	0.0113
Weibull	42925.14	0	123.23	214.33	N/D	N/D	0.0796	N/D	N/D	0.0094	0.0113
Normal	43805.44	0	123.23	238.31	< 0,005	0.752	0.0859	< 0,01	0.0062	0.0094	0.0113
Triangular	41862.79	0	123.23	503.84	N/D	N/D	0.1199	N/D	N/D	0.0094	0.0113
Uniforme	41350.73	0	123.23	2236.23	N/D	N/D	0.2251	N/D	N/D	0.0094	0.0113
Exponencial	44439.46	0	123.23	4307.22	< 0,01	1.1146	0.3788	< 0,01	0.0075	0.0094	0.0113
Série 29	Estatística	P-Valor	Valor crítico (5%)	Estatística	P-Valor	Valor crítico (5%)	Estatística	P-Valor	Valor crítico (5%)	Valor crítico (5%)*	Valor crítico (1%)*
Lognormal	50.35	0.0002	31.41	1.05	N/D	N/D	0.0353	N/D	N/D	0.0606	0.0727
Loglogística	68.01	0	31.41	1.48	N/D	N/D	0.0469	N/D	N/D	0.0606	0.0727
Exponencial	52.16	0.0001	31.41	1.34	0,01 <= p <= 0,025	1.0972	0.0501	<= p <= 0,1	0.0518	0.0606	0.0727
Beta	64.19	0	31.41	+Infinito	N/D	N/D	0.0671	N/D	N/D	0.0606	0.0727
Normal	314.19	0	31.41	24.68	< 0,005	0.7507	0.1815	< 0,01	0.0426	0.0606	0.0727
Triangular	156.69	0	31.41	+Infinito	N/D	N/D	0.2514	N/D	N/D	0.0606	0.0727
Uniforme	490.11	0	31.41	190.95	N/D	N/D	0.4316	N/D	N/D	0.0606	0.0727
Série 30	Estatística	P-Valor	Valor crítico (5%)	Estatística	P-Valor	Valor crítico (5%)	Estatística	P-Valor	Valor crítico (5%)	Valor crítico (5%)*	Valor crítico (1%)*
Loglogística	4061.66	0	87.11	16.00	N/D	N/D	0.0398	N/D	N/D	0.0153	0.0183
Lognormal	3734.50	0	87.11	19.08	N/D	N/D	0.0418	N/D	N/D	0.0153	0.0183
Gama	3577.87	0	87.11	21.51	N/D	N/D	0.0449	N/D	N/D	0.0153	0.0183
Weibull	3449.70	0	87.11	38.11	N/D	N/D	0.0601	N/D	N/D	0.0153	0.0183
Triangular	3223.73	0	87.11	66.90	N/D	N/D	0.0748	N/D	N/D	0.0153	0.0183
Normal	3833.41	0	87.11	92.90	< 0,005	0.7519	0.0878	< 0,01	0.01	0.0153	0.0183
Uniforme	6259.90	0	87.11	768.15	N/D	N/D	0.2366	N/D	N/D	0.0153	0.0183
Exponencial	6264.88	0	87.11	803.62	< 0,01	1.114	0.2713	< 0,01	0.0122	0.0153	0.0183

Tabela 6 – Resultados das estatísticas dos testes de aderência de Chi-quadrado, Anderson-Darling e Kolmogorov-Smirnov ordenados pela estatística do teste de Kolmogorov-Smirnov e limites críticos determinados pelo programa @Risk 5.7 ao nível de 5% de significância e apresentados por Massey (1951) para os níveis de significância de 1 e 5%, para as séries de dados de água tratada (continuação).

Série 31	Chi-Quadrado			Anderson-Darling			Kolmogorov-Smirnov				
	Estatística	P-Valor	Valor crítico (5%)	Estatística	P-Valor	Valor crítico (5%)	Estatística	P-Valor	Valor crítico (5%)	Valor crítico (5%)*	Valor crítico (1%)*
Beta	28209.53	0	125.46	11.27	N/D	N/D	0.0234	N/D	N/D	0.0092	0.0111
Lognormal	28372.70	0	125.46	20.28	N/D	N/D	0.0293	N/D	N/D	0.0092	0.0111
Weibull	28157.57	0	125.46	38.05	N/D	N/D	0.0333	N/D	N/D	0.0092	0.0111
Loglogística	29205.92	0	125.46	49.28	N/D	N/D	0.0406	N/D	N/D	0.0092	0.0111
Normal	28906.37	0	125.46	69.49	< 0,005	0.752	0.0457	< 0,01	0.0061	0.0092	0.0111
Triangular	27341.08	0	125.46	219.96	N/D	N/D	0.0684	N/D	N/D	0.0092	0.0111
Uniforme	26876.18	0	125.46	1892.32	N/D	N/D	0.1901	N/D	N/D	0.0092	0.0111
Exponencial	31986.18	0	125.46	4026.81	< 0,01	1.1146	0.3311	< 0,01	0.0074	0.0092	0.0111
Série 32	Estatística	P-Valor	Valor crítico (5%)	Estatística	P-Valor	Valor crítico (5%)	Estatística	P-Valor	Valor crítico (5%)	Valor crítico (5%)*	Valor crítico (1%)*
Loglogística	25513.38	0	122.11	445.06	N/D	N/D	0.1265	N/D	N/D	0.0096	0.0115
Lognormal	24265.60	0	122.11	425.16	N/D	N/D	0.1325	N/D	N/D	0.0096	0.0115
Weibull	22467.47	0	122.11	422.47	N/D	N/D	0.1354	N/D	N/D	0.0096	0.0115
Beta	22885.18	0	122.11	415.49	N/D	N/D	0.1355	N/D	N/D	0.0096	0.0115
Normal	32014.90	0	122.11	831.04	< 0,005	0.752	0.1753	< 0,01	0.0063	0.0096	0.0115
Triangular	21305.18	0	122.11	1247.27	N/D	N/D	0.2076	N/D	N/D	0.0096	0.0115
Exponencial	24038.57	0	122.11	907.46	< 0,01	1.1146	0.2189	< 0,01	0.0077	0.0096	0.0115
Uniforme	42155.40	0	122.11	4995.15	N/D	N/D	0.302	N/D	N/D	0.0096	0.0115
Série 33	Estatística	P-Valor	Valor crítico (5%)	Estatística	P-Valor	Valor crítico (5%)	Estatística	P-Valor	Valor crítico (5%)	Valor crítico (5%)*	Valor crítico (1%)*
Lognormal	1226.99	0	72.15	8.64	N/D	N/D	0.0393	N/D	N/D	0.0199	0.0239
Loglogística	1429.71	0	72.15	12.92	N/D	N/D	0.0468	N/D	N/D	0.0199	0.0239
Weibull	1119.14	0	72.15	22.07	N/D	N/D	0.0592	N/D	N/D	0.0199	0.0239
Triangular	1655.26	0	72.15	40.79	N/D	N/D	0.0667	N/D	N/D	0.0199	0.0239
Beta	1124.45	0	72.15	32.58	N/D	N/D	0.0686	N/D	N/D	0.0199	0.0239
Normal	1539.14	0	72.15	44.78	< 0,005	0.7519	0.0829	< 0,01	0.0131	0.0199	0.0239
Uniforme	3112.36	0	72.15	414.06	N/D	N/D	0.2067	N/D	N/D	0.0199	0.0239
Exponencial	4886.15	0	72.15	726.09	< 0,01	1.1133	0.3178	< 0,01	0.016	0.0199	0.0239
Série 34	Estatística	P-Valor	Valor crítico (5%)	Estatística	P-Valor	Valor crítico (5%)	Estatística	P-Valor	Valor crítico (5%)	Valor crítico (5%)*	Valor crítico (1%)*
Loglogística	121141.74	0	136.59	105.60	N/D	N/D	0.0989	N/D	N/D	0.0082	0.0098
Lognormal	121085.77	0	136.59	101.80	N/D	N/D	0.1101	N/D	N/D	0.0082	0.0098
Gama	120844.14	0	136.59	104.51	N/D	N/D	0.1129	N/D	N/D	0.0082	0.0098
Beta	121275.48	0	136.59	112.96	N/D	N/D	0.1178	N/D	N/D	0.0082	0.0098
Weibull	120974.69	0	136.59	206.78	N/D	N/D	0.1419	N/D	N/D	0.0082	0.0098
Triangular	120901.66	0	136.59	414.63	N/D	N/D	0.1553	N/D	N/D	0.0082	0.0098
Normal	122703.62	0	136.59	330.76	< 0,005	0.752	0.1607	< 0,01	0.0054	0.0082	0.0098
Uniforme	126322.14	0	136.59	2689.19	N/D	N/D	0.2277	N/D	N/D	0.0082	0.0098
Exponencial	124274.98	0	136.59	4528.45	< 0,01	1.1147	0.3112	< 0,01	0.0065	0.0082	0.0098
Série 35	Estatística	P-Valor	Valor crítico (5%)	Estatística	P-Valor	Valor crítico (5%)	Estatística	P-Valor	Valor crítico (5%)	Valor crítico (5%)*	Valor crítico (1%)*
Lognormal	109837.06	0	131.03	93.89	N/D	N/D	0.0769	N/D	N/D	0.0087	0.0104
Loglogística	109795.30	0	131.03	127.33	N/D	N/D	0.0831	N/D	N/D	0.0087	0.0104
Weibull	109977.09	0	131.03	188.89	N/D	N/D	0.085	N/D	N/D	0.0087	0.0104
Triangular	109314.30	0	131.03	495.40	N/D	N/D	0.1204	N/D	N/D	0.0087	0.0104
Normal	110829.05	0	131.03	596.06	< 0,005	0.752	0.1272	< 0,01	0.0057	0.0087	0.0104
Exponencial	109455.15	0	131.03	2045.51	< 0,01	1.1147	0.2514	< 0,01	0.0069	0.0087	0.0104
Uniforme	108773.42	0	131.03	3328.15	N/D	N/D	0.2679	N/D	N/D	0.0087	0.0104
Série 36	Estatística	P-Valor	Valor crítico (5%)	Estatística	P-Valor	Valor crítico (5%)	Estatística	P-Valor	Valor crítico (5%)	Valor crítico (5%)*	Valor crítico (1%)*
Normal	7222.78	0	95.08	63.01	< 0,005	0.7519	0.0661	< 0,01	0.0088	0.0134	0.0161
Loglogística	7829.76	0	95.08	67.59	N/D	N/D	0.0719	N/D	N/D	0.0134	0.0161
Weibull	7188.71	0	95.08	80.03	N/D	N/D	0.0792	N/D	N/D	0.0134	0.0161
Beta	6321.34	0	95.08	87.54	N/D	N/D	0.0878	N/D	N/D	0.0134	0.0161
Triangular	7198.02	0	95.08	178.48	N/D	N/D	0.1026	N/D	N/D	0.0134	0.0161
Uniforme	8041.72	0	95.08	755.07	N/D	N/D	0.2201	N/D	N/D	0.0134	0.0161
Exponencial	14018.36	0	95.08	1383.53	< 0,01	1.1142	0.264	< 0,01	0.0107	0.0134	0.0161

*Valores críticos apresentados por Massey (1951).

ANEXO 2

**Testes de normalidade e aderência das séries de dados da ETAUFV:
água bruta, filtrada 1 e filtrada 2, dados horários, médios diários,
médias de sete dias consecutivos e médias mensais.**

Tabela 1 – Resultados dos testes de aderência de Chi-quadrado, Anderson-Darling e Kolmogorov-Smirnov para turbidez da água bruta horária, média diária, média de sete dias consecutivos e média mensal com limites críticos determinados pelo programa @Risk 5.7, ao nível de 5% de significância, e apresentados por Massey (1951) para o testes de Kolmogorov-Smirnov aos níveis de significância de 1 e 5%, para o banco de dados da ETA UFV

Distribuição	Chi-Quadrado			Anderson-Darling.			Kolmogorov-Smirnov				
	Estatística	P-Valor	Valor crítico (5%)	Estatística	P-Valor	Valor crítico (5%)	Estatística	P-Valor	Valor crítico (5%)	Valor crítico (5%)*	Valor crítico (1%)*
Dados horários											
Lognormal	8944.799	0.000	114.268	697.114	N/D	N/D	0.154	N/D	N/D	0.010	0.013
Exponencial	18541.680	0.000	114.268	1548.035	< 0.01	1.115	0.227	< 0.01	0.008	0.010	0.013
Loglogística	47060.542	0.000	114.268	+Infinito	N/D	N/D	0.294	N/D	N/D	0.010	0.013
Normal	90147.505	0.000	114.268	+Infinito	< 0.005	0.752	0.310	< 0.01	0.007	0.010	0.013
Triangular	252884.100	0.000	114.268	31005.730	N/D	N/D	0.743	N/D	N/D	0.010	0.013
Uniforme	372651.914	0.000	114.268	40050.513	N/D	N/D	0.812	N/D	N/D	0.010	0.013
Dados médios diários											
Lognormal	968.504	0.000	58.124	81.952	N/D	N/D	0.133	N/D	N/D	0.027	0.032
Exponencial	2157.022	0.000	58.124	207.896	< 0.01	1.112	0.215	< 0.01	0.022	0.027	0.032
Normal	11147.366	0.000	58.124	+Infinito	< 0.005	0.752	0.306	< 0.01	0.018	0.027	0.032
Triangular	24720.393	0.000	58.124	4459.202	N/D	N/D	0.732	N/D	N/D	0.027	0.032
Uniforme	44701.083	0.000	58.124	5780.445	N/D	N/D	0.806	N/D	N/D	0.027	0.032
Média de sete dias consecutivos											
Loglogística	47.432	0.000	28.869	2.954	N/D	N/D	0.058	N/D	N/D	0.071	0.085
Lognormal	52.000	0.000	28.869	3.379	N/D	N/D	0.074	N/D	N/D	0.071	0.085
Exponencial	192.995	0.000	28.869	37.270	< 0.01	1.094	0.233	< 0.01	0.057	0.071	0.085
Normal	1036.678	0.000	28.869	54.694	< 0.005	0.750	0.277	< 0.01	0.047	0.071	0.085
Dados médios mensais											
Lognormal	6.619	0.761	18.307	0.470	N/D	N/D	0.072	N/D	N/D	0.148	0.178
Loglogística	7.929	0.636	18.307	0.558	N/D	N/D	0.076	N/D	N/D	0.148	0.178
Exponencial	27.833	0.002	18.307	4.864	< 0.01	1.027	0.218	< 0.01	0.117	0.148	0.178

Tabela 2 – Resultados dos testes de aderência de Chi-quadrado, Anderson-Darling e Kolmogorv-Smirnov para turbidez da água efluente ao filtro 1 horária, média diária, média de sete dias consecutivos e média mensal com limites críticos determinados pelo programa @Risk 5.7, ao nível de 5% de significância, e apresentados por Massey (1951) para o testes de Kolmogorv-Smirnov aos níveis de significância de 1 e 5%, para o banco de dados da ETA UFV

Distribuição	Chi-Quadrado			Anderson-Darling			Kolmogorov-Smirnov				
	Estatística	P-Valor	Valor crítico (5%)	Estatística	P-Valor	Valor crítico (5%)	Estatística	P-Valor	Valor crítico (5%)	Valor crítico (5%)*	Valor crítico (1%)*
Dados horários											
Gama	17761.885	0.000	112.022	+Infinito	N/D	N/D	0.086	N/D	N/D	0.011	0.013
Normal	16752.570	0.000	112.022	+Infinito	< 0.005	0.752	0.207	< 0.01	0.007	0.011	0.013
Exponencial	19274.106	0.000	112.022	+Infinito	< 0.01	1.115	0.303	< 0.01	0.009	0.011	0.013
Triangular	321509.529	0.000	112.022	37837.844	N/D	N/D	0.897	N/D	N/D	0.011	0.013
Uniforme	535526.298	0.000	112.022	46709.040	N/D	N/D	0.939	N/D	N/D	0.011	0.013
Dados médios diários											
Loglogística	44.026	0.345	56.942	0.842	N/D	N/D	0.016	N/D	N/D	0.027	0.033
Gama	176.684	0.000	56.942	15.742	N/D	N/D	0.056	N/D	N/D	0.027	0.033
Normal	995.768	0.000	56.942	+Infinito	< 0.005	0.752	0.139	< 0.01	0.018	0.027	0.033
Exponencial	1225.070	0.000	56.942	222.717	< 0.01	1.112	0.236	< 0.01	0.022	0.027	0.033
Média de sete dias consecutivos											
Loglogística	12.970	0.793	28.869	0.435	N/D	N/D	0.040	N/D	N/D	0.071	0.085
Lognormal	18.071	0.451	28.869	0.492	N/D	N/D	0.042	N/D	N/D	0.071	0.085
Beta	27.649	0.068	28.869	1.430	N/D	N/D	0.053	N/D	N/D	0.071	0.085
Gama	24.110	0.152	28.869	1.201	N/D	N/D	0.053	N/D	N/D	0.071	0.085
Weibull	42.016	0.001	28.869	2.999	N/D	N/D	0.061	N/D	N/D	0.071	0.085
Dados médios mensais											
Loglogística	10.810	0.373	18.307	0.122	N/D	N/D	0.036	N/D	N/D	0.148	0.178
Lognormal	5.571	0.850	18.307	0.199	N/D	N/D	0.051	N/D	N/D	0.148	0.178
Gama	4.524	0.921	18.307	0.303	N/D	N/D	0.061	N/D	N/D	0.148	0.178
Beta	5.571	0.850	18.307	0.570	N/D	N/D	0.080	N/D	N/D	0.148	0.178
Weibull	5.571	0.850	18.307	0.664	N/D	N/D	0.080	N/D	N/D	0.148	0.178
Normal	14.476	0.152	18.307	1.772	< 0.005	0.745	0.122	< 0.01	0.097	0.148	0.178

Tabela 3 – Resultados dos testes de aderência de Chi-quadrado, Anderson-Darling e Kolmogorov-Smirnov para turbidez da água efluente ao filtro 2 horária, média diária, média de sete dias consecutivos e média mensal com limites críticos determinados pelo programa @Risk 5.7, ao nível de 5% de significância, e apresentados por Massey (1951) para o testes de Kolmogorov-Smirnov aos níveis de significância de 1 e 5%, para o banco de dados da ETA UFV

Distribuição	Chi-Quadrado			Anderson-Darling			Kolmogorov-Smirnov					
	Estatística	P-Valor	Valor crítico (5%)	Estatística	P-Valor	Valor crítico (5%)	Estatística	P-Valor	Valor crítico (5%)	Valor crítico (5%)*	Valor crítico (1%)*	
Dados horários												
Gama	16549.742	0.000	109.773	+Infinito	N/D	N/D	0.072	N/D	N/D	0.011	0.013	
Loglogística	17253.975	0.000	109.773	115.502	N/D	N/D	0.073	N/D	N/D	0.011	0.013	
Exponencial	16981.968	0.000	109.773	+Infinito	< 0.01	1.115	0.207	< 0.01	0.009	0.011	0.013	
Normal	21431.259	0.000	109.773	+Infinito	< 0.005	0.752	0.280	< 0.01	0.007	0.011	0.013	
Triangular	467235.098	0.000	109.773	46478.378	N/D	N/D	0.939	N/D	N/D	0.011	0.013	
Uniforme	866578.539	0.000	109.773	55530.320	N/D	N/D	0.965	N/D	N/D	0.011	0.013	
Dados médios diários												
Gama	160.540	0.000	55.759	6.708	N/D	N/D	0.046	N/D	N/D	0.028	0.034	
Loglogística	343.126	0.000	55.759	20.843	N/D	N/D	0.067	N/D	N/D	0.028	0.034	
Exponencial	401.040	0.000	55.759	54.335	< 0.01	1.112	0.089	< 0.01	0.023	0.028	0.034	
Normal	1002.433	0.000	55.759	+Infinito	< 0.005	0.752	0.145	< 0.01	0.019	0.028	0.034	
Média de sete dias consecutivos												
Beta	21.539	0.253	28.869	0.966	N/D	N/D	0.045	N/D	N/D	0.074	0.089	
Weibull	40.880	0.002	28.869	1.506	N/D	N/D	0.063	N/D	N/D	0.074	0.089	
Loglogística	52.826	0.000	28.869	3.474	N/D	N/D	0.077	N/D	N/D	0.074	0.089	
Lognormal	42.928	0.001	28.869	2.728	N/D	N/D	0.077	N/D	N/D	0.074	0.089	
Dados médios mensais												
Beta	11.500	0.243	16.919	+Infinito	N/D	N/D	0.079	N/D	N/D	0.152	0.182	
Normal	11.250	0.259	16.919	0.889	0.01 <= p <= 0.025	0.745	0.105	0.025 <= p <= 0.05	0.099	0.152	0.182	
Weibull	18.000	0.035	16.919	1.053	N/D	N/D	0.109	N/D	N/D	0.152	0.182	
Triangular	10.250	0.331	16.919	+Infinito	N/D	N/D	0.111	N/D	N/D	0.152	0.182	
Lognormal	17.250	0.045	16.919	0.926	N/D	N/D	0.113	N/D	N/D	0.152	0.182	
Loglogística	17.000	0.049	16.919	1.025	N/D	N/D	0.118	N/D	N/D	0.152	0.182	

ANEXO 3

Testes de normalidade e aderência das séries de dados para as séries de dados de concentração de (oo)cistos de protozoários na água bruta da ETAUFV.

Tabela 1 – Resultados das estatísticas dos testes de aderência de Chi-quadrado, Anderson-Darling e Kolmogorov-Smirnov ordenados pela estatística do teste de Kolmogorov-Smirnov e limites críticos determinados pelo programa @Risk 5.7 ao nível de 5% de significância e apresentados por Massey (1951) para os níveis de significância de 1 e 5%, para as séries de dados de concentração de (oo)cistos de protozoários, período completo

<i>Cryptosporidium</i>											
Chi-Quadrado			Anderson-Darling.			Kolmogorov-Smirnov					
ND=0.5LD	Estatística	P-Valor	Valor crítico (5%)	Estatística	P-Valor	Valor crítico (5%)	Estatística	P-Valor	Valor crítico (5%)	Valor crítico (5%)*	Valor crítico (1%)*
Exponencial	127.48	0.00	16.92	44.02	< 0.01	1.01	0.45	< 0.01	0.13	0.17	0.20
Normal	185.99	0.00	16.92	17.87	< 0.005	0.74	0.39	< 0.01	0.11	0.17	0.20
Lognormal	186.28	0.00	16.92	17.85	N/D	N/D	0.39	N/D	N/D	0.17	0.20
Triangular	489.87	0.00	16.92	+Infinito	N/D	N/D	0.82	N/D	N/D	0.17	0.20
Uniforme	526.28	0.00	16.92	152.69	N/D	N/D	0.86	N/D	N/D	0.17	0.20
ND=LD	Estatística	P-Valor	Valor crítico (5%)	Estatística	P-Valor	Valor crítico (5%)	Estatística	P-Valor	Valor crítico (5%)	Valor crítico (5%)*	Valor crítico (1%)*
Exponencial	126.88	0.00	16.92	42.13	< 0.01	1.01	0.46	< 0.01	0.13	0.17	0.20
Normal	185.99	0.00	16.92	17.88	< 0.005	0.74	0.39	< 0.01	0.11	0.17	0.20
Uniforme	526.28	0.00	16.92	152.65	N/D	N/D	0.86	N/D	N/D	0.17	0.20
Gama	62.40	0.00	16.92	+Infinito	N/D	N/D	0.36	N/D	N/D	0.17	0.20
Triangular	489.87	0.00	16.92	+Infinito	N/D	N/D	0.82	N/D	N/D	0.17	0.20
ND=0 (distribuição discreta)	Estatística	P-Valor	Valor crítico (5%)	Estatística	P-Valor	Valor crítico (5%)	Estatística	P-Valor	Valor crítico (5%)	Valor crítico (5%)*	Valor crítico (1%)*
Binomial Negativa	129.94	0.00	16.92	-	-	-	-	-	-	-	-
Poisson	292.16	0.00	14.07	-	-	-	-	-	-	-	-
<i>Giardia</i>											
Chi-Quadrado			Anderson-Darling.			Kolmogorov-Smirnov					
ND=0.5LD	Estatística	P-Valor	Valor crítico (5%)	Estatística	P-Valor	Valor crítico (5%)	Estatística	P-Valor	Valor crítico (5%)	Valor crítico (5%)*	Valor crítico (1%)*
Exponencial	165.99	0.00	16.92	52.82	< 0.01	1.01	0.51	< 0.01	0.13	0.17	0.20
Normal	224.49	0.00	16.92	15.17	< 0.005	0.74	0.37	< 0.01	0.11	0.17	0.20
Lognormal	233.75	0.00	16.92	15.15	N/D	N/D	0.37	N/D	N/D	0.17	0.20
Triangular	391.06	0.00	16.92	+Infinito	N/D	N/D	0.74	N/D	N/D	0.17	0.20
Uniforme	440.91	0.00	16.92	141.36	N/D	N/D	0.81	N/D	N/D	0.17	0.20
ND=LD	Estatística	P-Valor	Valor crítico (5%)	Estatística	P-Valor	Valor crítico (5%)	Estatística	P-Valor	Valor crítico (5%)	Valor crítico (5%)*	Valor crítico (1%)*
Gama	76.43	0.00	16.92	+Infinito	N/D	N/D	0.42	N/D	N/D	0.17	0.20
Exponencial	165.99	0.00	16.92	49.73	< 0.01	1.01	0.52	< 0.01	0.13	0.17	0.20
Normal	233.75	0.00	16.92	15.18	< 0.005	0.74	0.37	< 0.01	0.11	0.17	0.20
Triangular	391.06	0.00	16.92	+Infinito	N/D	N/D	0.74	N/D	N/D	0.17	0.20
Uniforme	440.91	0.00	16.92	141.11	N/D	N/D	0.81	N/D	N/D	0.17	0.20
ND=0 (distribuição discreta)	Estatística	P-Valor	Valor crítico (5%)	Estatística	P-Valor	Valor crítico (5%)	Estatística	P-Valor	Valor crítico (5%)	Valor crítico (5%)*	Valor crítico (1%)*
Binomial Negativa	85.77	0.00	15.51	-	-	-	-	-	-	-	-
Poisson	340.29	0.00	14.07	-	-	-	-	-	-	-	-

Tabela 2 – Resultados das estatísticas dos testes de aderência de Chi-quadrado, Anderson-Darling e Kolmogorov-Smirnov ordenados pela estatística do teste de Kolmogorov-Smirnov e limites críticos determinados pelo programa @Risk 5.7 ao nível de 5% de significância e apresentados por Massey (1951) para os níveis de significância de 1 e 5%, para as séries de dados de concentração de (oo)cistos de protozoários, período de seca

<i>Cryptosporidium</i>											
Chi-Quadrado				Anderson-Darling.			Kolmogorov-Smirnov				
ND=0.5LD	Estatística	P-Valor	Valor crítico (5%)	Estatística	P-Valor	Valor crítico (5%)	Estatística	P-Valor	Valor crítico (5%)	Valor crítico (5%)*	Valor crítico (1%)*
Exponencial	40.72	0.00	11.07	20.18	< 0.01	0.89	0.54	< 0.01	0.20	0.24	0.29
Normal	102.38	0.00	11.07	8.56	< 0.005	0.73	0.40	< 0.01	0.16	0.24	0.29
Triangular	122.24	0.00	11.07	+Infinito	N/D	N/D	0.81	N/D	N/D	0.24	0.29
Uniforme	133.41	0.00	11.07	52.73	N/D	N/D	0.84	N/D	N/D	0.24	0.29
ND=LD	Estatística	P-Valor	Valor crítico (5%)	Estatística	P-Valor	Valor crítico (5%)	Estatística	P-Valor	Valor crítico (5%)	Valor crítico (5%)*	Valor crítico (1%)*
Exponencial	40.72	0.00	11.07	19.28	< 0.01	0.89	0.52	< 0.01	0.20	0.24	0.29
Lognormal	102.38	0.00	11.07	8.56	N/D	N/D	0.40	N/D	N/D	0.24	0.29
Normal	102.38	0.00	11.07	8.56	< 0.005	0.73	0.40	< 0.01	0.16	0.24	0.29
Triangular	122.24	0.00	11.07	+Infinito	N/D	N/D	0.81	N/D	N/D	0.24	0.29
Uniforme	133.41	0.00	11.07	52.70	N/D	N/D	0.84	N/D	N/D	0.24	0.29
ND=0 (distribuição discreta)	Estatística	P-Valor	Valor crítico (5%)	Estatística	P-Valor	Valor crítico (5%)	Estatística	P-Valor	Valor crítico (5%)	Valor crítico (5%)*	Valor crítico (1%)*
Binomial Negativa	31.40	0.00	11.07	-	-	-	-	-	-	-	-
Poisson	76.42	0.00	9.49	-	-	-	-	-	-	-	-
<i>Giardia</i>											
Chi-Quadrado				Anderson-Darling.			Kolmogorov-Smirnov				
ND=0.5LD	Estatística	P-Valor	Valor crítico (5%)	Estatística	P-Valor	Valor crítico (5%)	Estatística	P-Valor	Valor crítico (5%)	Valor crítico (5%)*	Valor crítico (1%)*
Exponencial	51.07	0.00	11.07	18.70	< 0.01	0.89	0.56	< 0.01	0.20	0.24	0.29
Normal	102.38	0.00	11.07	7.79	< 0.005	0.73	0.39	< 0.01	0.16	0.24	0.29
Triangular	122.24	0.00	11.07	+Infinito	N/D	N/D	0.77	N/D	N/D	0.24	0.29
Uniforme	133.41	0.00	11.07	49.75	N/D	N/D	0.82	N/D	N/D	0.24	0.29
ND=LD	Estatística	P-Valor	Valor crítico (5%)	Estatística	P-Valor	Valor crítico (5%)	Estatística	P-Valor	Valor crítico (5%)	Valor crítico (5%)*	Valor crítico (1%)*
Exponencial	51.07	0.00	11.07	16.43	< 0.01	0.89	0.50	< 0.01	0.20	0.24	0.29
Normal	102.38	0.00	11.07	7.78	< 0.005	0.73	0.39	< 0.01	0.16	0.24	0.29
Triangular	122.24	0.00	11.07	+Infinito	N/D	N/D	0.77	N/D	N/D	0.24	0.29
Uniforme	133.41	0.00	11.07	49.41	N/D	N/D	0.82	N/D	N/D	0.24	0.29
ND=0 (distribuição discreta)	Estatística	P-Valor	Valor crítico (5%)	Estatística	P-Valor	Valor crítico (5%)	Estatística	P-Valor	Valor crítico (5%)	Valor crítico (5%)*	Valor crítico (1%)*
Binomial Negativa	27.62	0.00	9.49	-	-	-	-	-	-	-	-
Poisson	38.16	0.00	9.49	-	-	-	-	-	-	-	-

Tabela 3 – Resultados das estatísticas dos testes de aderência de Chi-quadrado, Anderson-Darling e Kolmogorov-Smirnov ordenados pela estatística do teste de Kolmogorov-Smirnov e limites críticos determinados pelo programa @Risk 5.7 ao nível de 5% de significância e apresentados por Massey (1951) para os níveis de significância de 1 e 5%, para as séries de dados de concentração de (oo)cistos de protozoários, período de chuva

<i>Cryptosporidium</i>											
Chi-Quadrado				Anderson-Darling.			Kolmogorov-Smirnov				
ND=0.5LD	Estatística	P-Valor	Valor crítico (5%)	Estatística	P-Valor	Valor crítico (5%)	Estatística	P-Valor	Valor crítico (5%)	Valor crítico (5%)*	Valor crítico (1%)*
Exponencial	39.89	0.00	14.07	15.25	< 0.01	0.94	0.38	< 0.01	0.17	0.22	0.26
Normal	193.16	0.00	14.07	10.02	< 0.005	0.74	0.39	< 0.01	0.14	0.22	0.26
Triangular	207.47	0.00	14.07	+Infinito	N/D	N/D	0.79	N/D	N/D	0.22	0.26
Uniforme	220.95	0.00	14.07	70.47	N/D	N/D	0.84	N/D	N/D	0.22	0.26
ND=LD	Estatística	P-Valor	Valor crítico (5%)	Estatística	P-Valor	Valor crítico (5%)	Estatística	P-Valor	Valor crítico (5%)	Valor crítico (5%)*	Valor crítico (1%)*
Exponencial	39.89	0.00	14.07	14.81	< 0.01	0.94	0.39	< 0.01	0.17	0.22	0.26
Normal	193.16	0.00	14.07	10.03	< 0.005	0.74	0.39	< 0.01	0.14	0.22	0.26
Triangular	207.47	0.00	14.07	+Infinito	N/D	N/D	0.79	N/D	N/D	0.22	0.26
Uniforme	220.95	0.00	14.07	70.48	N/D	N/D	0.84	N/D	N/D	0.22	0.26
ND=0 (distribuição discreta)	Estatística	P-Valor	Valor crítico (5%)	Estatística	P-Valor	Valor crítico (5%)	Estatística	P-Valor	Valor crítico (5%)	Valor crítico (5%)*	Valor crítico (1%)*
Binomial Negativa	45.21	0.00	14.07	-	-	-	-	-	-	-	-
Poisson	123.05	0.00	12.59	-	-	-	-	-	-	-	-
<i>Giardia</i>											
Chi-Quadrado				Anderson-Darling.			Kolmogorov-Smirnov				
ND=0.5LD	Estatística	P-Valor	Valor crítico (5%)	Estatística	P-Valor	Valor crítico (5%)	Estatística	P-Valor	Valor crítico (5%)	Valor crítico (5%)*	Valor crítico (1%)*
Exponencial	58.84	0.00	14.07	17.82	< 0.01	0.94	0.45	< 0.01	0.17	0.22	0.26
Normal	69.37	0.00	14.07	7.87	< 0.005	0.74	0.34	< 0.01	0.14	0.22	0.26
Triangular	132.95	0.00	14.07	+Infinito	N/D	N/D	0.70	N/D	N/D	0.22	0.26
Uniforme	170.00	0.00	14.07	58.21	N/D	N/D	0.79	N/D	N/D	0.22	0.26
ND=LD	Estatística	P-Valor	Valor crítico (5%)	Estatística	P-Valor	Valor crítico (5%)	Estatística	P-Valor	Valor crítico (5%)	Valor crítico (5%)*	Valor crítico (1%)*
Normal	69.37	0.00	14.07	7.88	< 0.005	0.74	0.34	< 0.01	0.14	0.22	0.26
Exponencial	58.84	0.00	14.07	17.19	< 0.01	0.94	0.45	< 0.01	0.17	0.22	0.26
Triangular	132.95	0.00	14.07	+Infinito	N/D	N/D	0.70	N/D	N/D	0.22	0.26
ND=0 (distribuição discreta)	Estatística	P-Valor	Valor crítico (5%)	Estatística	P-Valor	Valor crítico (5%)	Estatística	P-Valor	Valor crítico (5%)	Valor crítico (5%)*	Valor crítico (1%)*
Binomial Negativa	39.38	0.00	14.07	-	-	-	-	-	-	-	-
Poisson	91.72	0.00	11.07	-	-	-	-	-	-	-	-

ANEXO 4

Resultados das estatísticas dos testes de aderência, distribuição atribuídas para os dados de turbidez horária, média diária, média de sete dias consecutivos e média mensal para água bruta, efluente do filtro 1 e efluente do filtro 2 da ETA UFV.

Tabela 1 – Resultados das estatísticas dos testes de aderência de Chi-quadrado, Anderson-Darling e Kolmogorov-Smirnov e limites críticos determinados pelo programa @Risk 5.7 ao nível de 5% de significância e apresentados por Massey (1951) para o teste de Kolmogorov-Smirnov aos níveis de significância de 1 e 5%, para os dados de turbidez horária, média diária, média de sete dias consecutivos e média mensal para água bruta, efluente do filtro 1 e efluente do filtro 2 da ETA UFV para o período total de monitoramento.

Banco de dados	Distribuição	Chi-Quadrado			Anderson-Darling.			Kolmogorov-Smirnov					
		Estatística	P-Valor	Valor crítico (5%)	Estatística	P-Valor	Valor crítico (5%)	Estatística	P-Valor	Valor crítico (5%)	Valor crítico (5%)*	Valor crítico (1%)*	
Bruta	Horária	Lognormal	8944.799	0.000	114.268	697.114	N/D	N/D	0.154	N/D	N/D	0.010	0.013
	Média diária	Lognormal	968.504	0.000	58.124	81.952	N/D	N/D	0.133	N/D	N/D	0.027	0.032
	Média sete dias	Loglogística	47.432	0.000	28.869	2.954	N/D	N/D	0.058	N/D	N/D	0.071	0.085
	Média mensal	Lognormal	6.619	0.761	18.307	0.470	N/D	N/D	0.072	N/D	N/D	0.148	0.178
Filtro 1	Horária	Exponencial	19274.106	0.000	112.022	+Infinito	< 0.01	1.115	0.303	< 0.01	0.009	0.011	0.013
	Média diária	Loglogística	44.026	0.345	56.942	0.842	N/D	N/D	0.016	N/D	N/D	0.027	0.033
	Média sete dias	Loglogística	12.970	0.793	28.869	0.435	N/D	N/D	0.040	N/D	N/D	0.071	0.085
	Média mensal	Loglogística	10.810	0.373	18.307	0.122	N/D	N/D	0.036	N/D	N/D	0.148	0.178
Filtro 2	Horária	Loglogística	17253.975	0.000	109.773	115.502	N/D	N/D	0.073	N/D	N/D	0.011	0.013
	Média diária	Loglogística	343.126	0.000	55.759	20.843	N/D	N/D	0.067	N/D	N/D	0.028	0.034
	Média sete dias	Weibull	40.880	0.002	28.869	1.506	N/D	N/D	0.063	N/D	N/D	0.074	0.089
	Média mensal	Triangular	10.250	0.331	16.919	+Infinito	N/D	N/D	0.111	N/D	N/D	0.152	0.182

Tabela 2 – Resultados das estatísticas dos testes de aderência de Chi-quadrado, Anderson-Darling e Kolmogorov-Smirnov e limites críticos determinados pelo programa @Risk 5.7 ao nível de 5% de significância e apresentados por Massey (1951) para o teste de Kolmogorov-Smirnov aos níveis de significância de 1 e 5%, para os dados de turbidez horária, média diária, média de sete dias consecutivos e média mensal para água bruta, efluente do filtro 1 e efluente do filtro 2 da ETA UFV para o período de chuva.

Banco de dados	Distribuição	Chi-Quadrado			Anderson-Darling			Kolmogorov-Smirnov					
		Estatística	P-Valor	Valor crítico (5%)	Estatística	P-Valor	Valor crítico (5%)	Estatística	P-Valor	Valor crítico (5%)	Valor crítico (5%)*	Valor crítico (1%)*	
Bruta	Horária	Loglogística	1334.292	0.000	89.391	86.034	N/D	N/D	0.058	N/D	N/D	0.015	0.018
	Média diária	Loglogística	103.352	0.000	44.985	6.863	N/D	N/D	0.042	N/D	N/D	0.038	0.045
	Média sete dias	Loglogística	20.316	0.121	23.685	0.519	N/D	N/D	0.052	N/D	N/D	0.099	0.118
	Média mensal	Loglogística	3.667	0.817	14.067	0.158	N/D	N/D	0.063	N/D	N/D	0.196	0.235
Filtro 1	Horária	Loglogística	7834.802	0.000	87.108	10.913	N/D	N/D	0.036	N/D	N/D	0.015	0.018
	Média diária	Loglogística	42.871	0.076	44.985	1.019	N/D	N/D	0.023	N/D	N/D	0.038	0.046
	Média sete dias	Loglogística	17.632	0.224	23.685	0.691	N/D	N/D	0.057	N/D	N/D	0.099	0.118
	Média mensal	Loglogística	7.333	0.395	14.067	0.340	N/D	N/D	0.075	N/D	N/D	0.196	0.235
Filtro 2	Horária	Loglogística	6604.429	0.000	87.108	56.696	N/D	N/D	0.066	N/D	N/D	0.015	0.018
	Média diária	Loglogística	170.283	0.000	44.985	9.126	N/D	N/D	0.056	N/D	N/D	0.039	0.047
	Média sete dias	Weibull	25.363	0.031	23.685	1.462	N/D	N/D	0.080	N/D	N/D	0.101	0.121
	Média mensal	Loglogística	21.667	0.003	14.067	0.811	N/D	N/D	0.104	N/D	N/D	0.196	0.235

Tabela 3 – Resultados das estatísticas dos testes de aderência de Chi-quadrado, Anderson-Darling e Kolmogorov-Smirnov e limites críticos determinados pelo programa @Risk 5.7 ao nível de 5% de significância e apresentados por Massey (1951) para o teste de Kolmogorov-Smirnov aos níveis de significância de 1 e 5%, para os dados de turbidez horária, média diária, média de sete dias consecutivos e média mensal para água bruta, efluente do filtro 1 e efluente do filtro 2 da ETA UFV para o período de seca.

Banco de dados	Distribuição	Chi-Quadrado			Anderson-Darling.			Kolmogorov-Smirnov					
		Estatística	P-Valor	Valor crítico (5%)	Estatística	P-Valor	Valor crítico (5%)	Estatística	P-Valor	Valor crítico (5%)	Valor crítico (5%)*	Valor crítico (1%)*	
Água bruta	Horária	Lognormal	1764.841	0.000	88.250	127.150	N/D	N/D	0.089	N/D	N/D	0.015	0.018
	Média diária	Lognormal	192.256	0.000	44.985	14.955	N/D	N/D	0.080	N/D	N/D	0.038	0.046
	Média sete dias	Lognormal	11.079	0.680	23.685	0.432	N/D	N/D	0.036	N/D	N/D	0.099	0.119
	Média mensal	Lognormal	5.667	0.579	14.067	0.452	N/D	N/D	0.091	N/D	N/D	0.196	0.235
Água Filtrada 1	Horária	Loglogística	3532.441	0.000	85.965	3.769	N/D	N/D	0.027	N/D	N/D	0.015	0.018
	Média diária	Loglogística	27.180	0.663	44.985	0.457	N/D	N/D	0.016	N/D	N/D	0.039	0.047
	Média sete dias	Lognormal	10.351	0.736	23.685	0.266	N/D	N/D	0.038	N/D	N/D	0.099	0.119
	Média mensal	Lognormal	1.333	0.988	14.067	0.176	N/D	N/D	0.074	N/D	N/D	0.196	0.235
Água Filtrada 2	Horária	Loglogística	4381.479	0.000	82.529	72.568	N/D	N/D	0.085	N/D	N/D	0.016	0.020
	Média diária	Loglogística	226.983	0.000	42.557	15.037	N/D	N/D	0.092	N/D	N/D	0.042	0.050
	Média sete dias	Loglogística	48.890	0.000	22.362	3.208	N/D	N/D	0.123	N/D	N/D	0.107	0.128
	Média mensal	Uniforme	4.814	0.683	14.067	1.438	N/D	N/D	0.163	N/D	N/D	0.207	0.249

ANEXO 5

Histogramas das estimativas de risco para os vários cenários avaliados

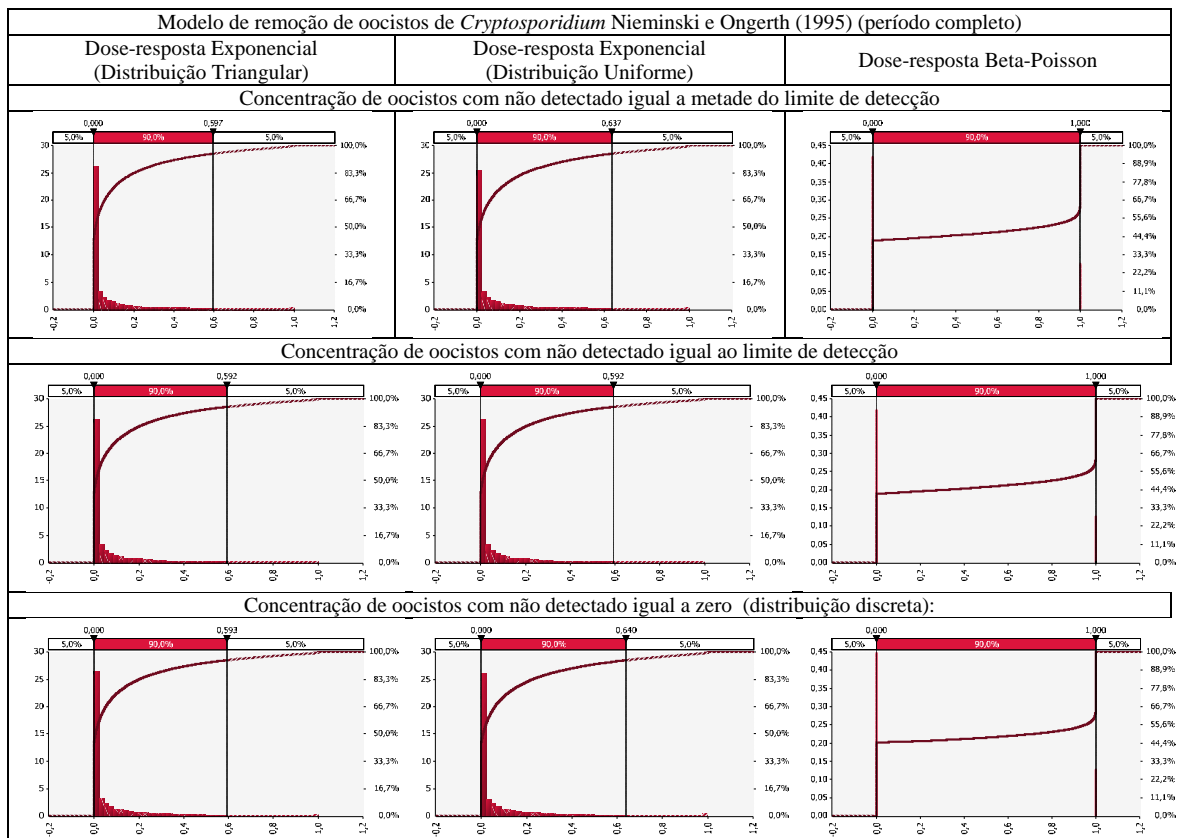


Figura 1- Histogramas das distribuições de probabilidades e curvas de frequência acumulada de riscos anuais de infecção (período completo): consumo de água seguindo distribuição Poisson, modelo de remoção de oocistos de *Cryptosporidium* proposto por Nieminski e Ongerth (1995) para dados de turbidez do filtro 1, modelos dose-resposta Exponencial com distribuição Triangular, Exponencial com distribuição Uniforme e beta-Poisson, dados não detectados igual a metade do limite de detecção, dados não detectados igual ao limite de detecção, dados não detectados igual a zero.

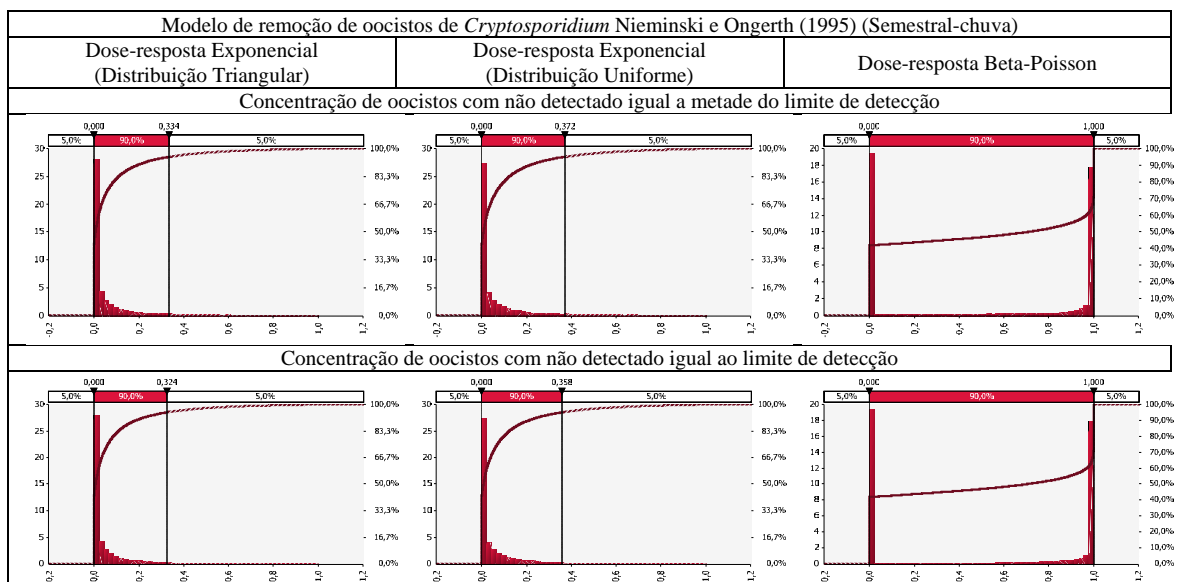


Figura 2- Histogramas das distribuições de probabilidades e curvas de frequência acumulada de riscos semestrais de infecção (chuva): consumo de água seguindo distribuição Poisson, modelo de remoção de oocistos de *Cryptosporidium* proposto por Nieminski e Ongerth (1995) para dados de turbidez do filtro 1, modelos dose-resposta Exponencial com distribuição Triangular, Exponencial com distribuição Uniforme e beta-Poisson, dados não detectados igual a metade do limite de detecção, dados não detectados igual ao limite de detecção, dados não detectados igual a zero (continua).

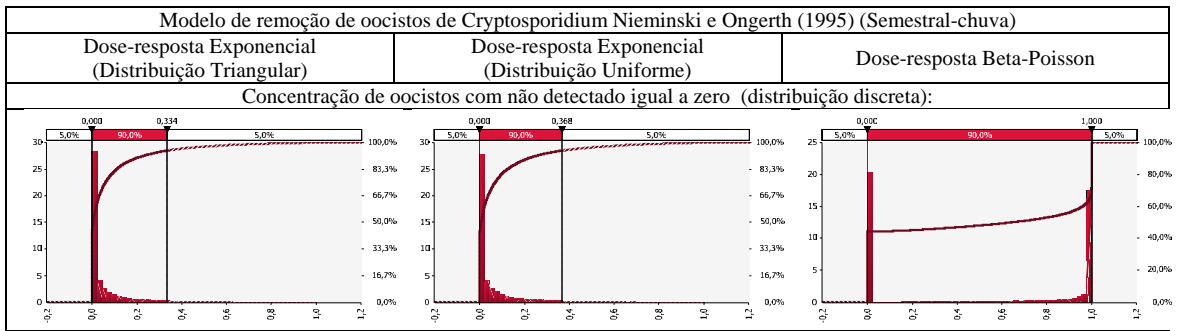


Figura 2- Histogramas das distribuições de probabilidades e curvas de frequência acumulada de riscos semestrais de infecção (chuva): consumo de água seguindo distribuição Poisson, modelo de remoção de oocistos de *Cryptosporidium* proposto por Nieminski e Ongerth (1995) para dados de turbidez do filtro 1, modelos dose-resposta Exponencial com distribuição Triangular, Exponencial com distribuição Uniforme e beta-Poisson, dados não detectados igual a metade do limite de detecção, dados não detectados igual ao limite de detecção, dados não detectados igual a zero (continuação).

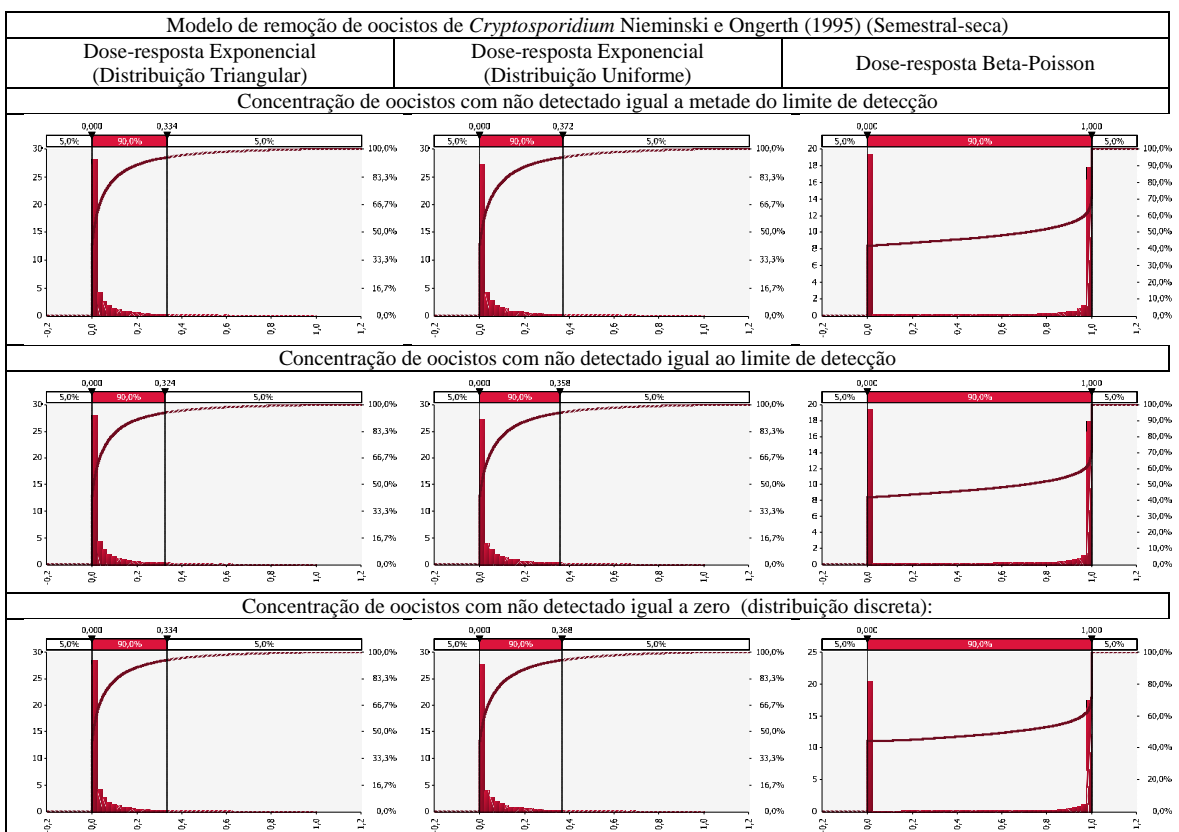


Figura 3- Histogramas das distribuições de probabilidades e curvas de frequência acumulada de riscos semestrais de infecção (seca): consumo de água seguindo distribuição Poisson, modelo de remoção de oocistos de *Cryptosporidium* proposto por Nieminski e Ongerth (1995) para dados de turbidez do filtro 1, modelos dose-resposta Exponencial com distribuição Triangular, Exponencial com distribuição Uniforme e beta-Poisson, dados não detectados igual a metade do limite de detecção, dados não detectados igual ao limite de detecção, dados não detectados igual a zero.

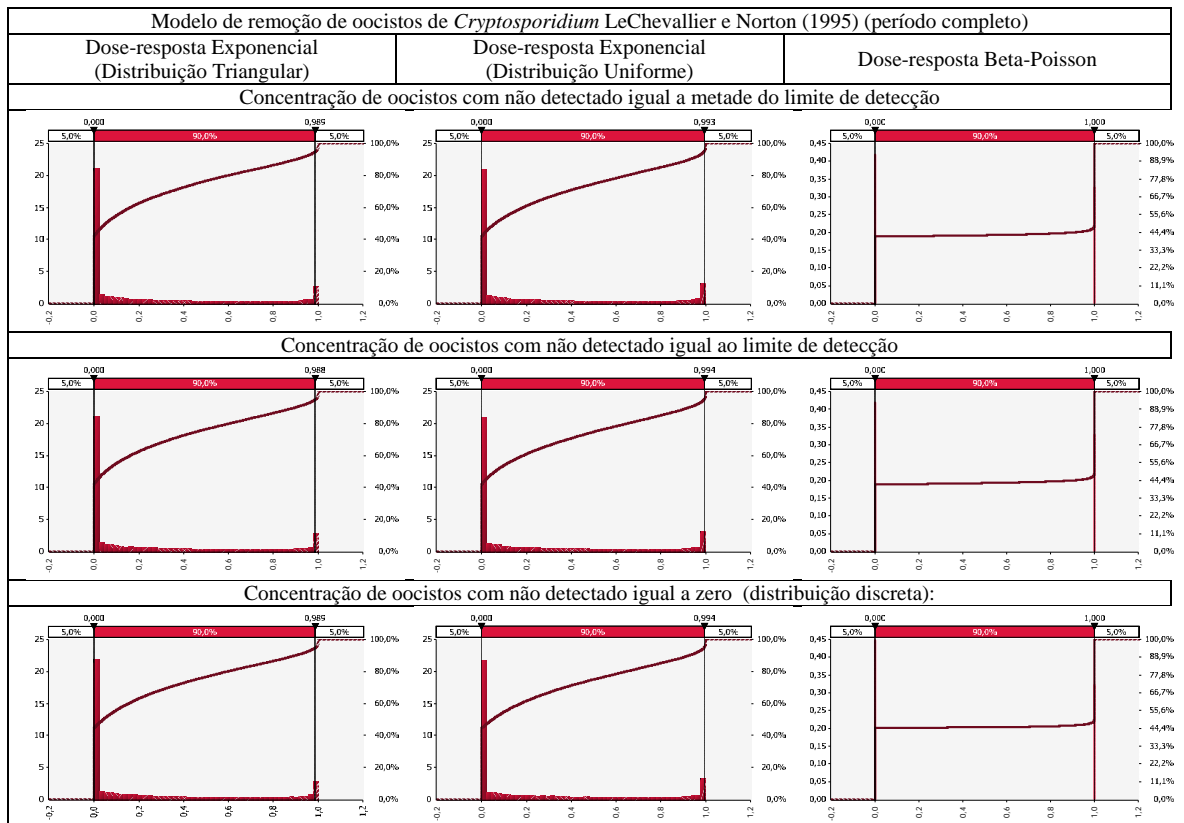


Figura 4- Histogramas das distribuições de probabilidades e curvas de frequência acumulada de riscos anuais de infecção (período completo): consumo de água seguindo distribuição Poisson, modelo de remoção de oocistos de *Cryptosporidium* proposto por LeChevallier e Norton (1995) para dados de turbidez do filtro 1, modelos dose-resposta Exponencial com distribuição Triangular, Exponencial com distribuição Uniforme e beta-Poisson, dados não detectados igual a metade do limite de detecção, dados não detectados igual ao limite de detecção, dados não detectados igual a zero.

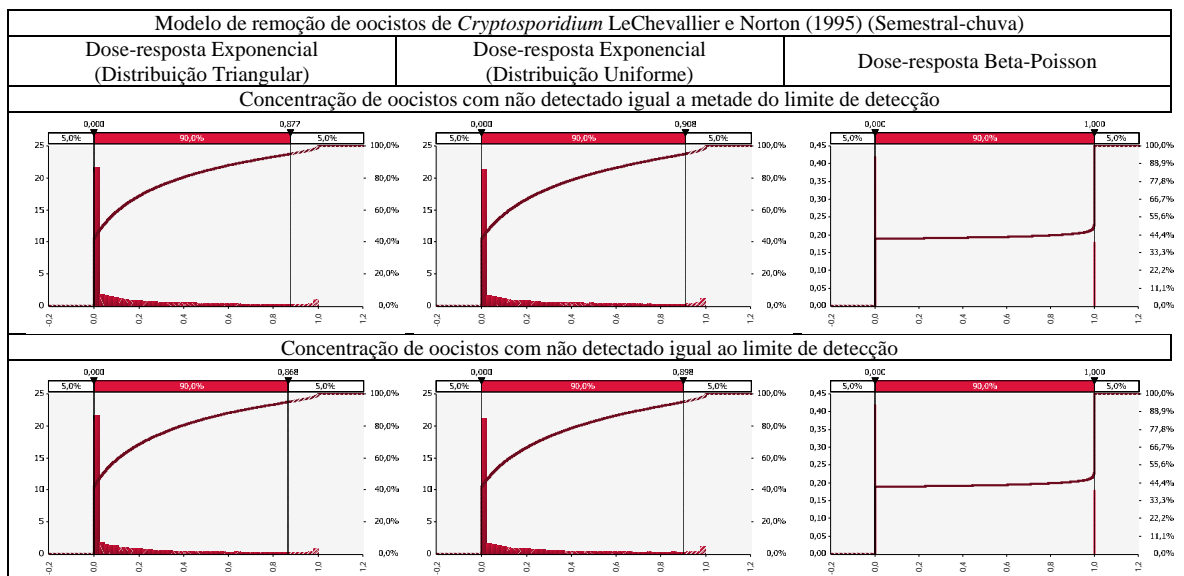


Figura 5- Histogramas das distribuições de probabilidades e curvas de frequência acumulada de riscos semestrais de infecção (chuva): consumo de água seguindo distribuição Poisson, modelo de remoção de oocistos de *Cryptosporidium* proposto por LeChevallier e Norton (1995) para dados de turbidez do filtro 1, modelos dose-resposta Exponencial com distribuição Triangular, Exponencial com distribuição Uniforme e beta-Poisson, dados não detectados igual a metade do limite de detecção, dados não detectados igual ao limite de detecção, dados não detectados igual a zero (continua).

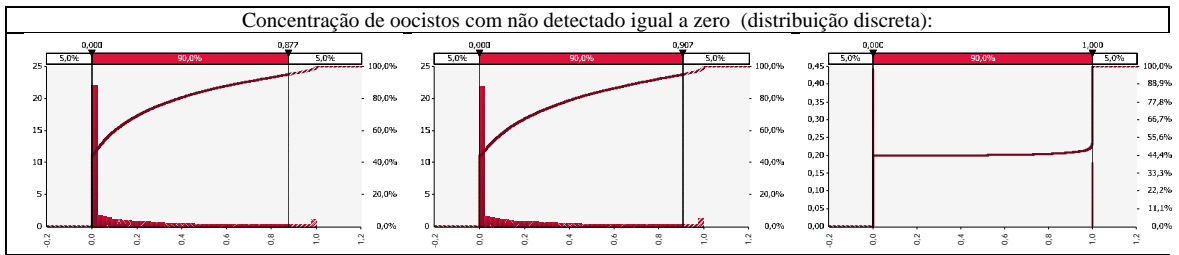


Figura 5- Histogramas das distribuições de probabilidades e curvas de frequência acumulada de riscos semestrais de infecção (chuva): consumo de água seguindo distribuição Poisson, modelo de remoção de oocistos de *Cryptosporidium* proposto por LeChevallier e Norton (1995) para dados de turbidez do filtro 1, modelos dose-resposta Exponencial com distribuição Triangular, Exponencial com distribuição Uniforme e beta-Poisson, dados não detectados igual a metade do limite de detecção, dados não detectados igual ao limite de detecção, dados não detectados igual a zero (continuação).

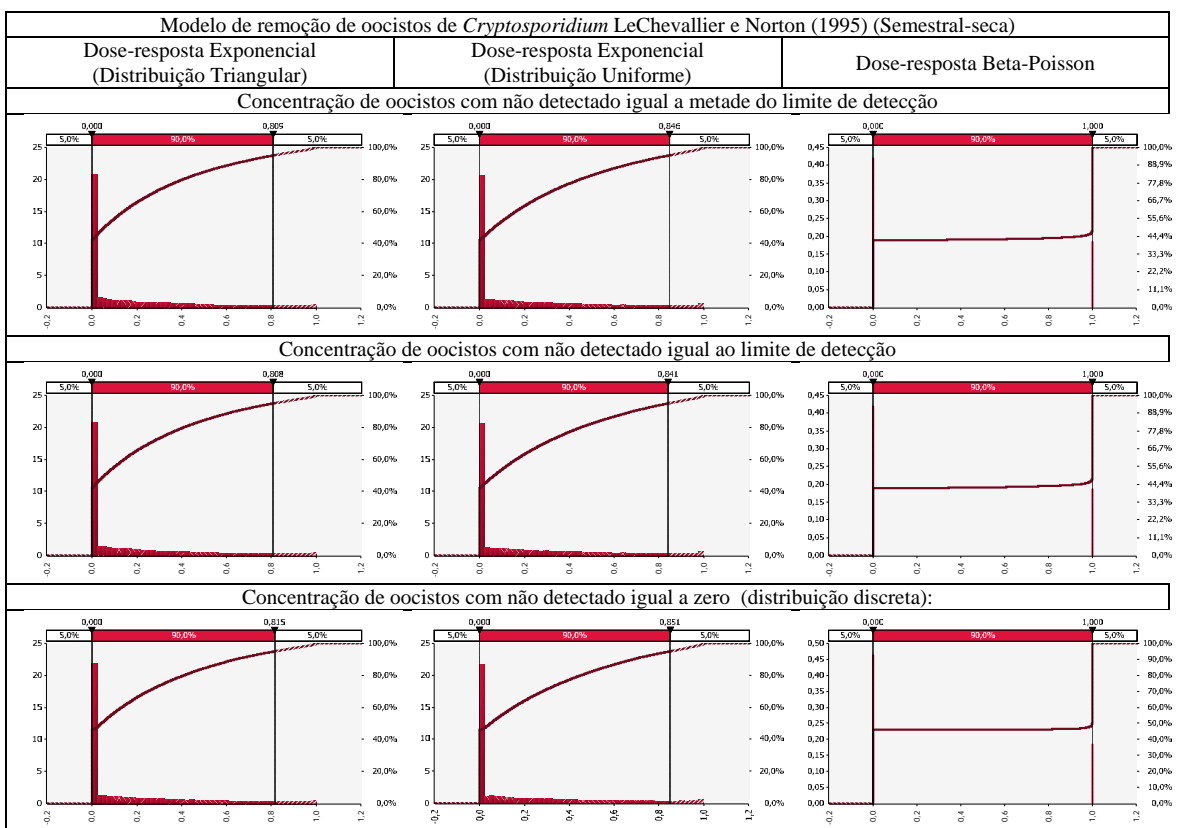


Figura 6- Histogramas das distribuições de probabilidades e curvas de frequência acumulada de riscos semestrais de infecção (seca): consumo de água seguindo distribuição Poisson, modelo de remoção de oocistos de *Cryptosporidium* proposto por LeChevallier e Norton (1995) para dados de turbidez do filtro 1, modelos dose-resposta Exponencial com distribuição Triangular, Exponencial com distribuição Uniforme e beta-Poisson, dados não detectados igual a metade do limite de detecção, dados não detectados igual ao limite de detecção, dados não detectados igual a zero.

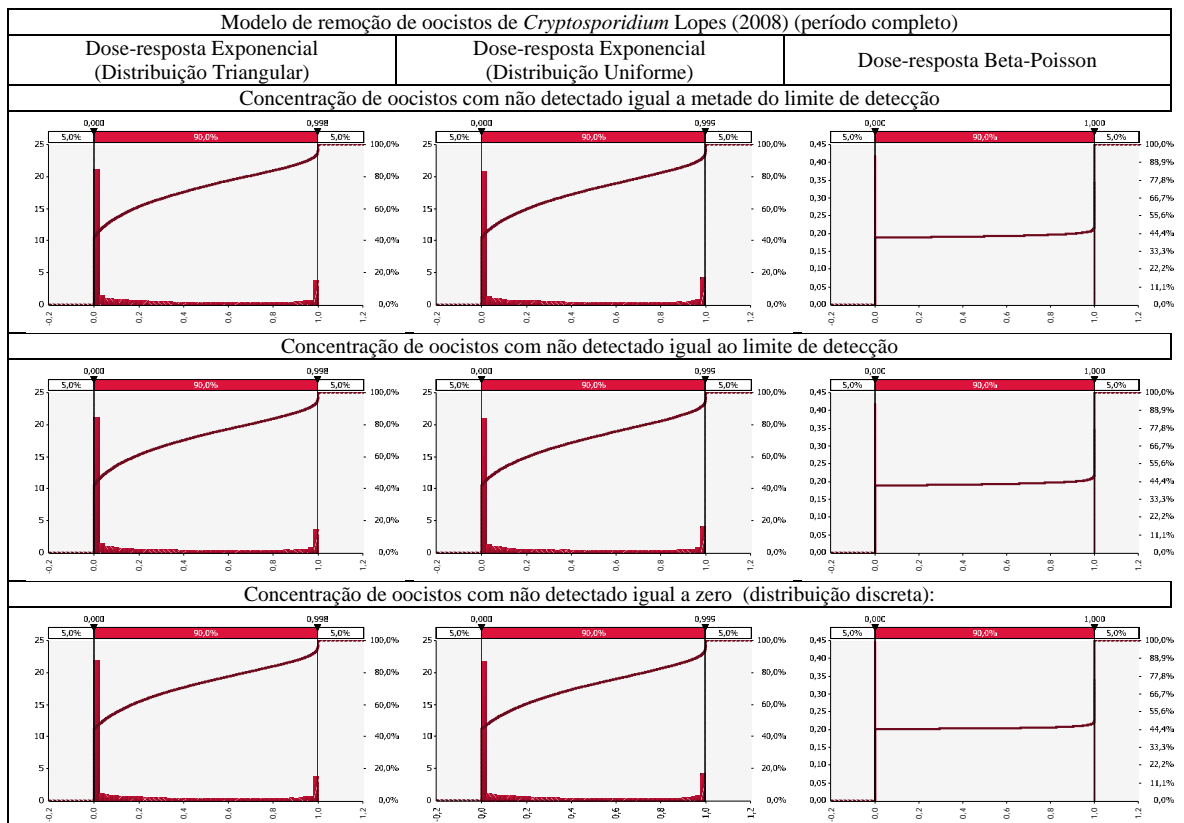


Figura 7- Histogramas das distribuições de probabilidades e curvas de frequência acumulada de riscos anuais de infecção (período completo): consumo de água seguindo distribuição Poisson, modelo de remoção de oocistos de *Cryptosporidium* proposto por Lopes (2008) para dados de turbidez do filtro 1, modelos dose-resposta Exponencial com distribuição Triangular, Exponencial com distribuição Uniforme e beta-Poisson, dados não detectados igual a metade do limite de detecção, dados não detectados igual ao limite de detecção, dados não detectados igual a zero.

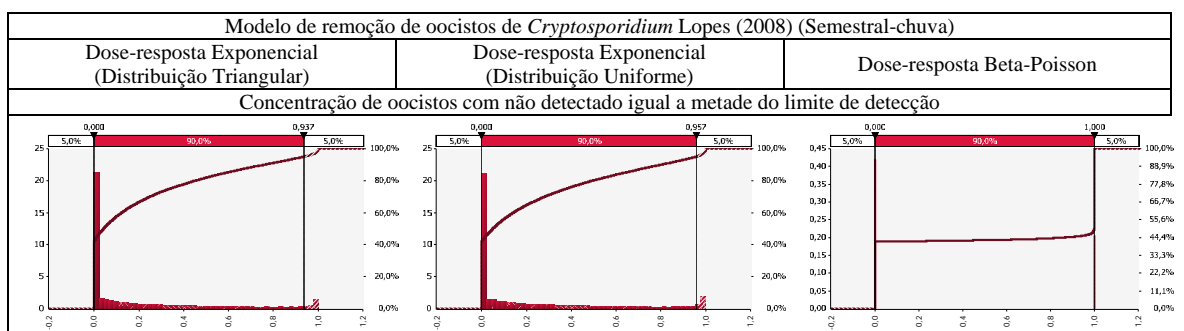


Figura 8- Histogramas das distribuições de probabilidades e curvas de frequência acumulada de riscos semestrais de infecção (chuva): consumo de água seguindo distribuição Poisson, modelo de remoção de oocistos de *Cryptosporidium* proposto por Lopes (2008) para dados de turbidez do filtro 1, modelos dose-resposta Exponencial com distribuição Triangular, Exponencial com distribuição Uniforme e beta-Poisson, dados não detectados igual a metade do limite de detecção, dados não detectados igual ao limite de detecção, dados não detectados igual a zero (continua).

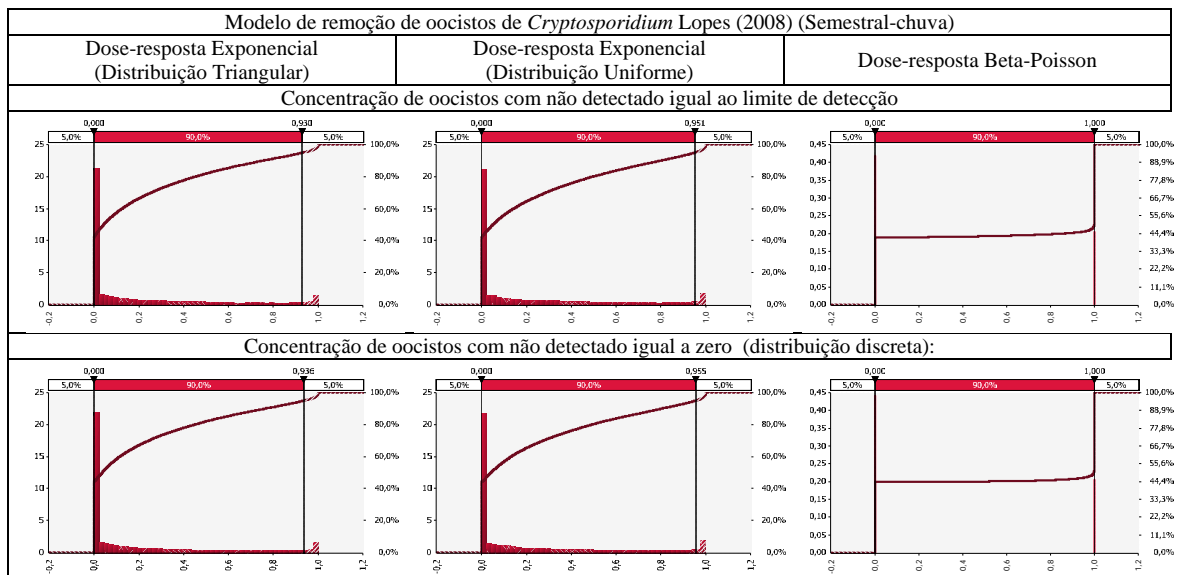


Figura 8- Histogramas das distribuições de probabilidades e curvas de frequência acumulada de riscos semestrais de infecção (chuva): consumo de água seguindo distribuição Poisson, modelo de remoção de oocistos de *Cryptosporidium* proposto por Lopes (2008) para dados de turbidez do filtro 1, modelos dose-resposta Exponencial com distribuição Triangular, Exponencial com distribuição Uniforme e beta-Poisson, dados não detectados igual a metade do limite de detecção, dados não detectados igual ao limite de detecção, dados não detectados igual a zero (continuação).

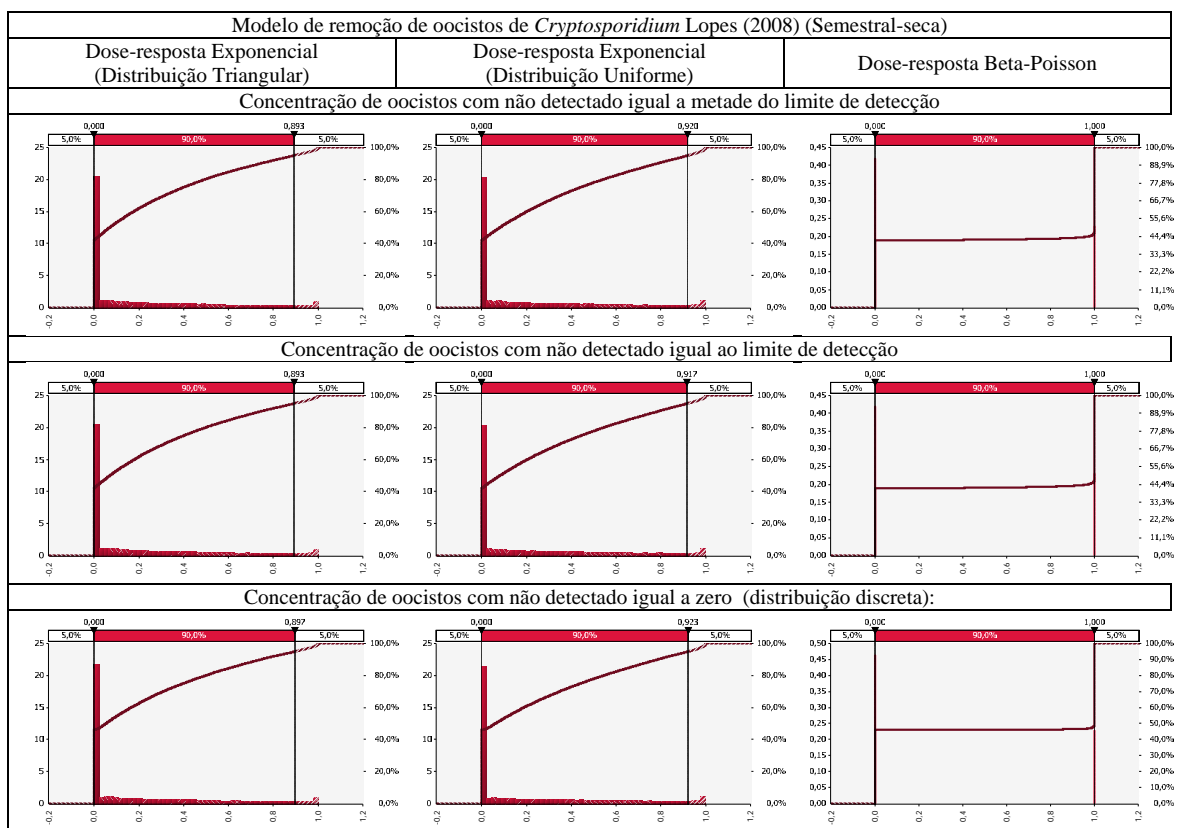


Figura 9- Histogramas das distribuições de probabilidades e curvas de frequência acumulada de riscos semestrais de infecção (seca): consumo de água seguindo distribuição Poisson, modelo de remoção de oocistos de *Cryptosporidium* proposto por Lopes (2008) para dados de turbidez do filtro 1, modelos dose-resposta Exponencial com distribuição Triangular, Exponencial com distribuição Uniforme e beta-Poisson, dados não detectados igual a metade do limite de detecção, dados não detectados igual ao limite de detecção, dados não detectados igual a zero.

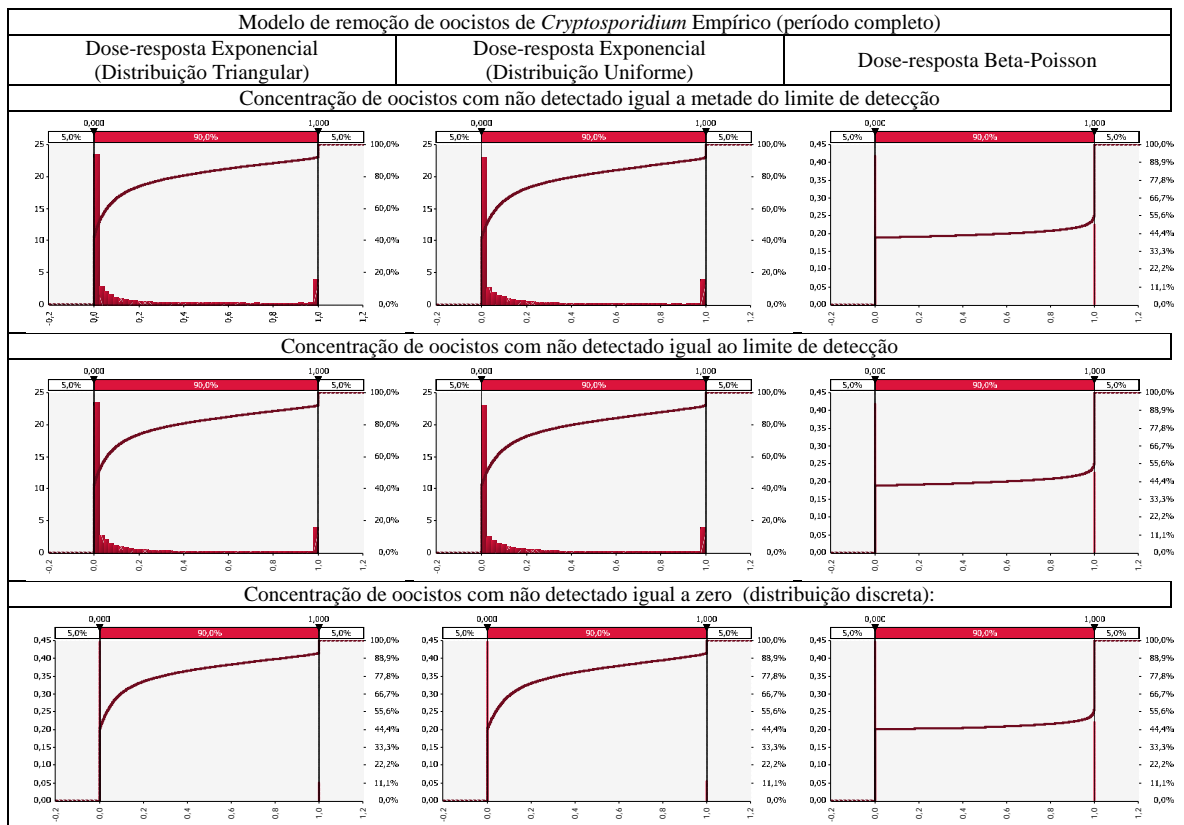


Figura 10- Histogramas das distribuições de probabilidades e curvas de frequência acumulada de riscos anuais de infecção (período completo): consumo de água seguindo distribuição Poisson, modelo de remoção de oocistos de *Cryptosporidium* Empírico para dados de turbidez do filtro 1, modelos dose-resposta Exponencial com distribuição Triangular, Exponencial com distribuição Uniforme e beta-Poisson, dados não detectados igual a metade do limite de detecção, dados não detectados igual ao limite de detecção, dados não detectados igual a zero.

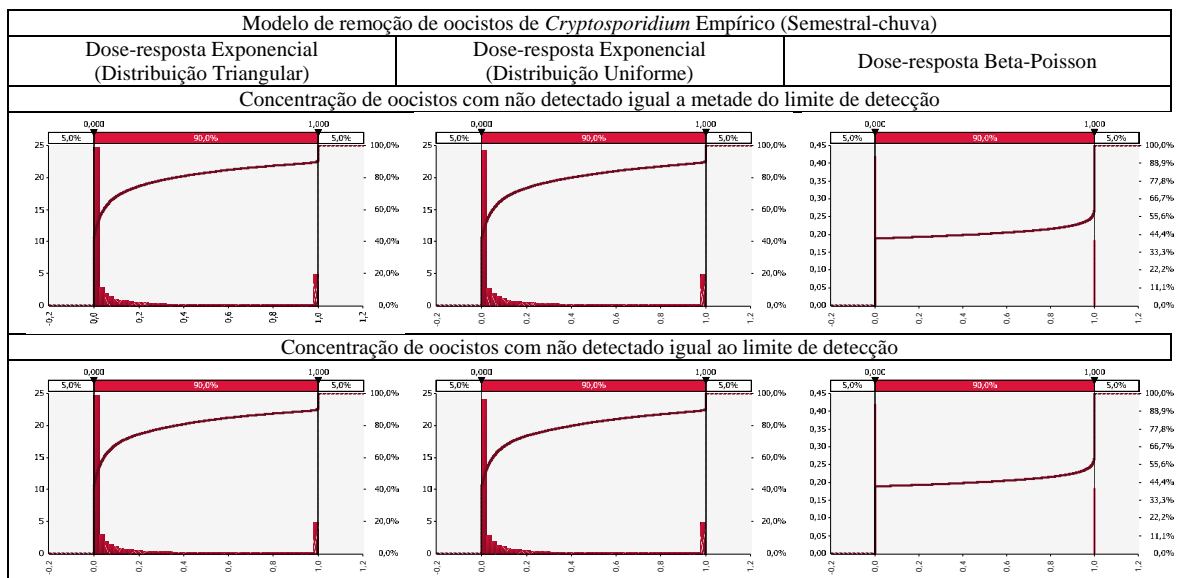


Figura 11- Histogramas das distribuições de probabilidades e curvas de frequência acumulada de riscos semestrais de infecção (chuva): consumo de água seguindo distribuição Poisson, modelo de remoção de oocistos de *Cryptosporidium* Empírico para dados de turbidez do filtro 1, modelos dose-resposta Exponencial com distribuição Triangular, Exponencial com distribuição Uniforme e beta-Poisson, dados não detectados igual a metade do limite de detecção, dados não detectados igual ao limite de detecção, dados não detectados igual a zero (continua).

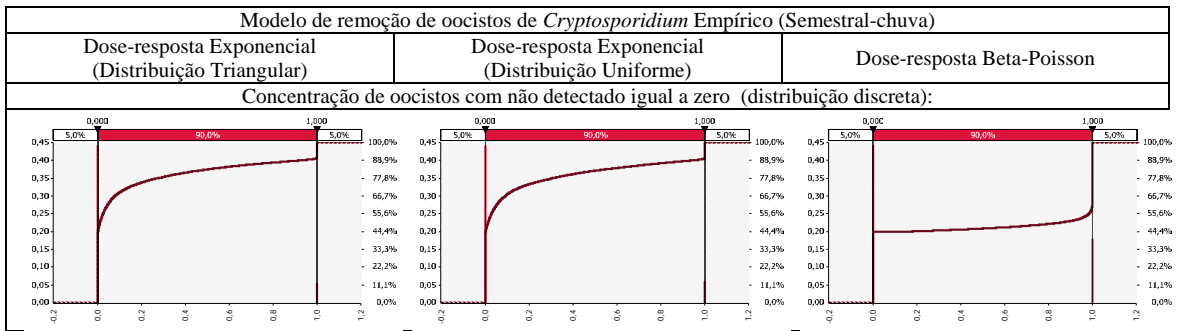


Figura 11- Histogramas das distribuições de probabilidades e curvas de frequência acumulada de riscos semestrais de infecção (chuva): consumo de água seguindo distribuição Poisson, modelo de remoção de oocistos de *Cryptosporidium* Empírico para dados de turbidez do filtro 1, modelos dose-resposta Exponencial com distribuição Triangular, Exponencial com distribuição Uniforme e beta-Poisson, dados não detectados igual a metade do limite de detecção, dados não detectados igual ao limite de detecção, dados não detectados igual a zero (continuação).

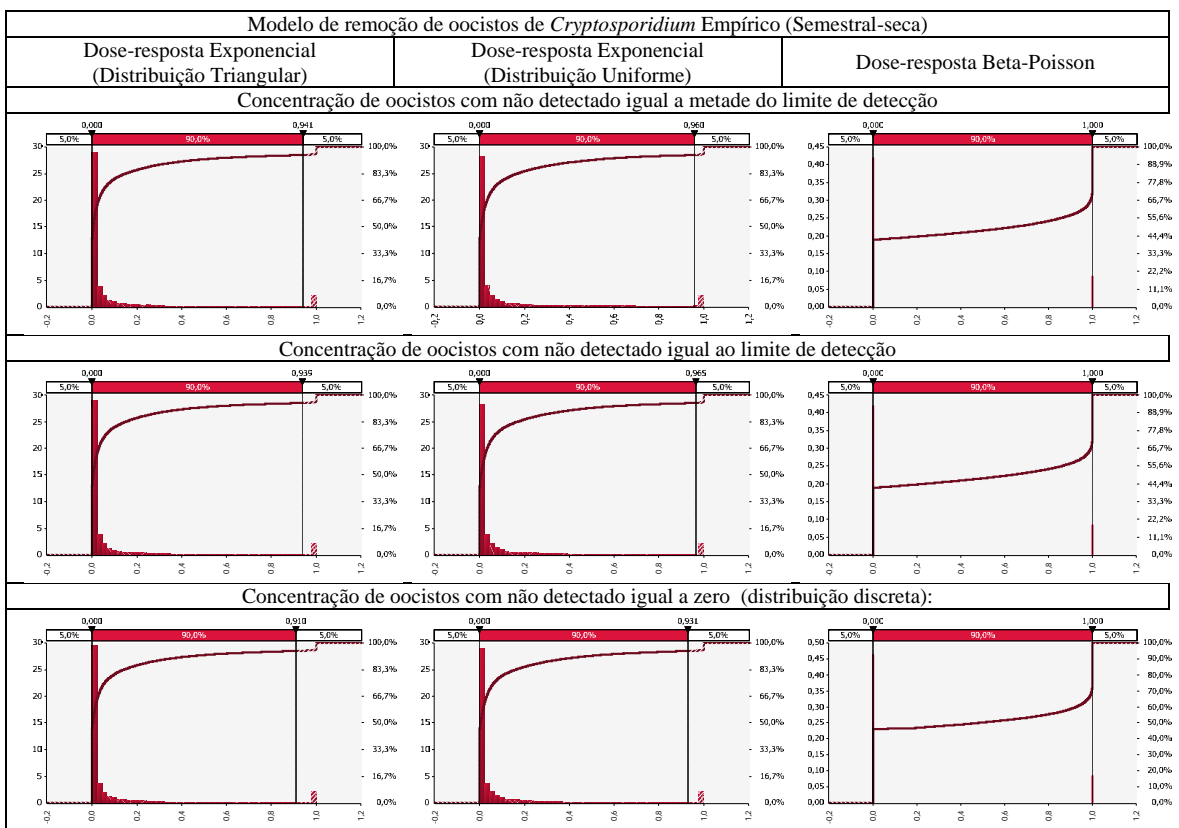


Figura 12- Histogramas das distribuições de probabilidades e curvas de frequência acumulada de riscos semestrais de infecção (seca): consumo de água seguindo distribuição Poisson, modelo de remoção de oocistos de *Cryptosporidium* Empírico para dados de turbidez do filtro 1, modelos dose-resposta Exponencial com distribuição Triangular, Exponencial com distribuição Uniforme e beta-Poisson, dados não detectados igual a metade do limite de detecção, dados não detectados igual ao limite de detecção, dados não detectados igual a zero.

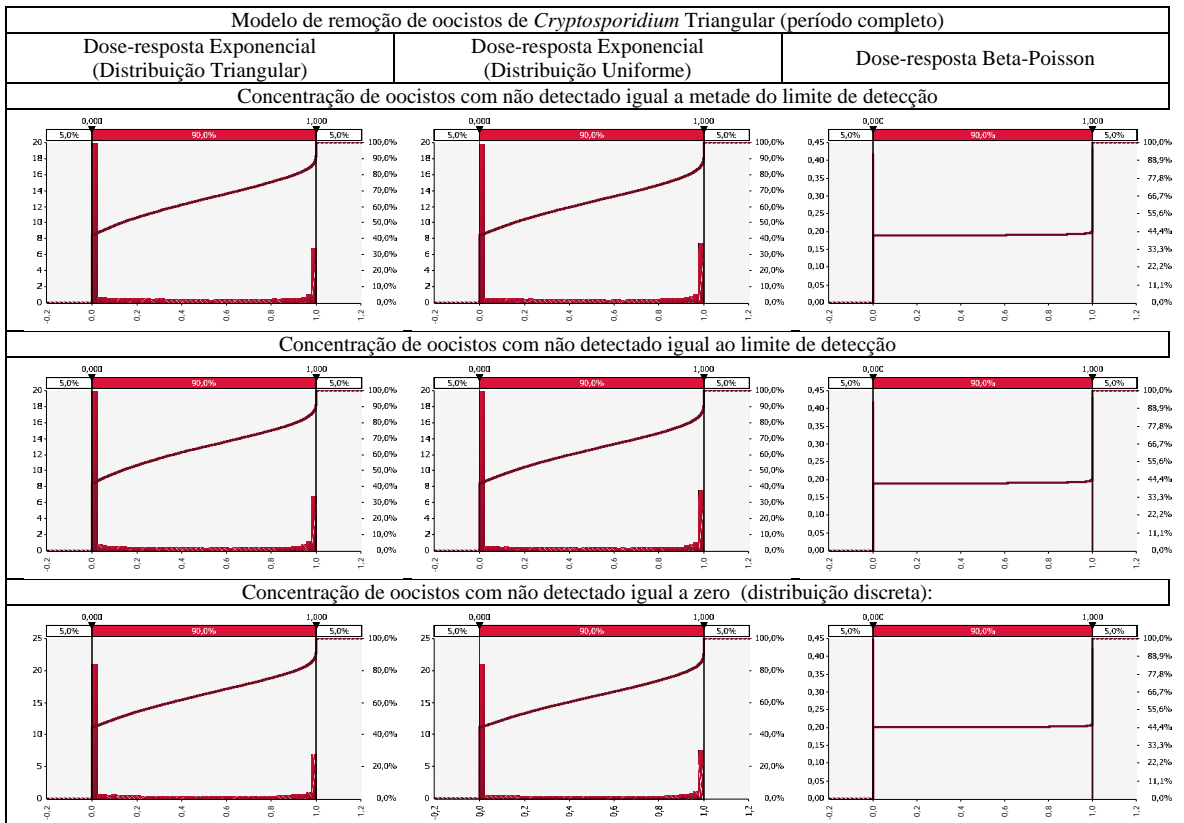


Figura 13- Histogramas das distribuições de probabilidades e curvas de frequência acumulada de riscos anuais de infecção (período completo): consumo de água seguindo distribuição Poisson, modelo de remoção de oocistos de *Cryptosporidium* Triangular para dados de turbidez do filtro 1, modelos dose-resposta Exponencial com distribuição Triangular, Exponencial com distribuição Uniforme e beta-Poisson, dados não detectados igual a metade do limite de detecção, dados não detectados igual ao limite de detecção, dados não detectados igual a zero.

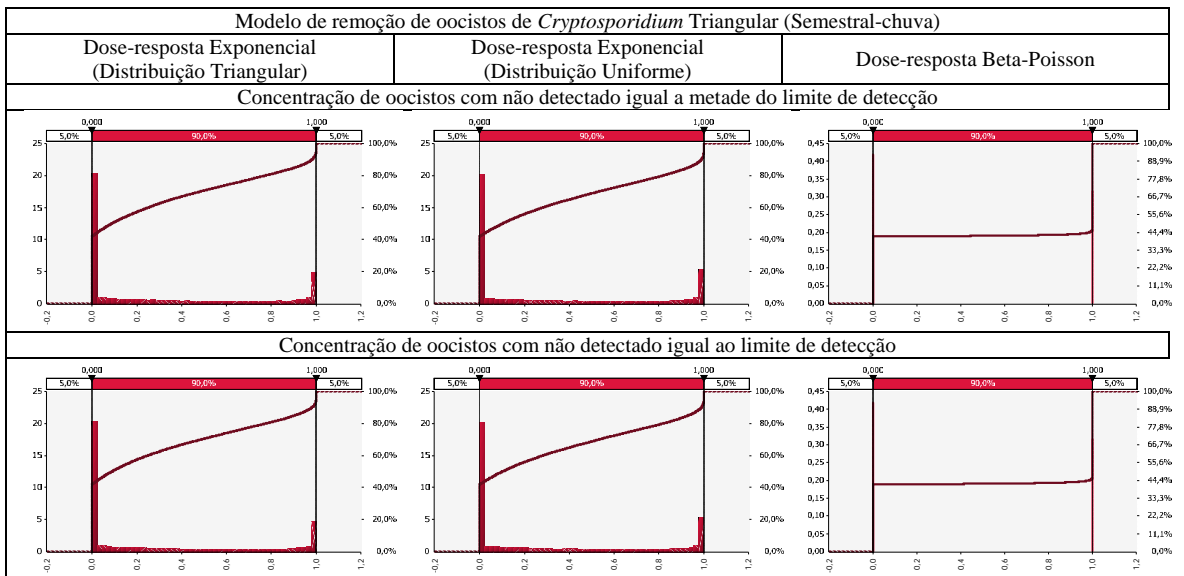


Figura 14- Histogramas das distribuições de probabilidades e curvas de frequência acumulada de riscos semestrais de infecção (chuva): consumo de água seguindo distribuição Poisson, modelo de remoção de oocistos de *Cryptosporidium* Triangular para dados de turbidez do filtro 1, modelos dose-resposta Exponencial com distribuição Triangular, Exponencial com distribuição Uniforme e beta-Poisson, dados não detectados igual a metade do limite de detecção, dados não detectados igual ao limite de detecção, dados não detectados igual a zero (continua).

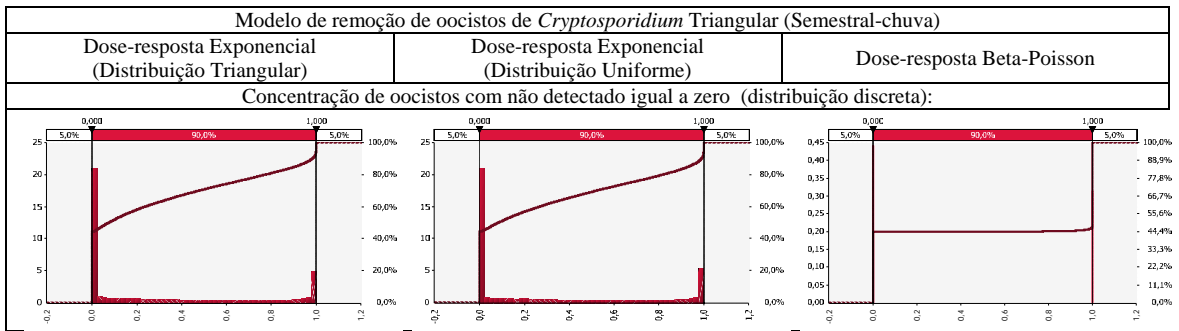


Figura 14- Histogramas das distribuições de probabilidades e curvas de frequência acumulada de riscos semestrais de infecção (chuva): consumo de água seguindo distribuição Poisson, modelo de remoção de oocistos de *Cryptosporidium* Triangular para dados de turbidez do filtro 1, modelos dose-resposta Exponencial com distribuição Triangular, Exponencial com distribuição Uniforme e beta-Poisson, dados não detectados igual a metade do limite de detecção, dados não detectados igual ao limite de detecção, dados não detectados igual a zero (continuação).

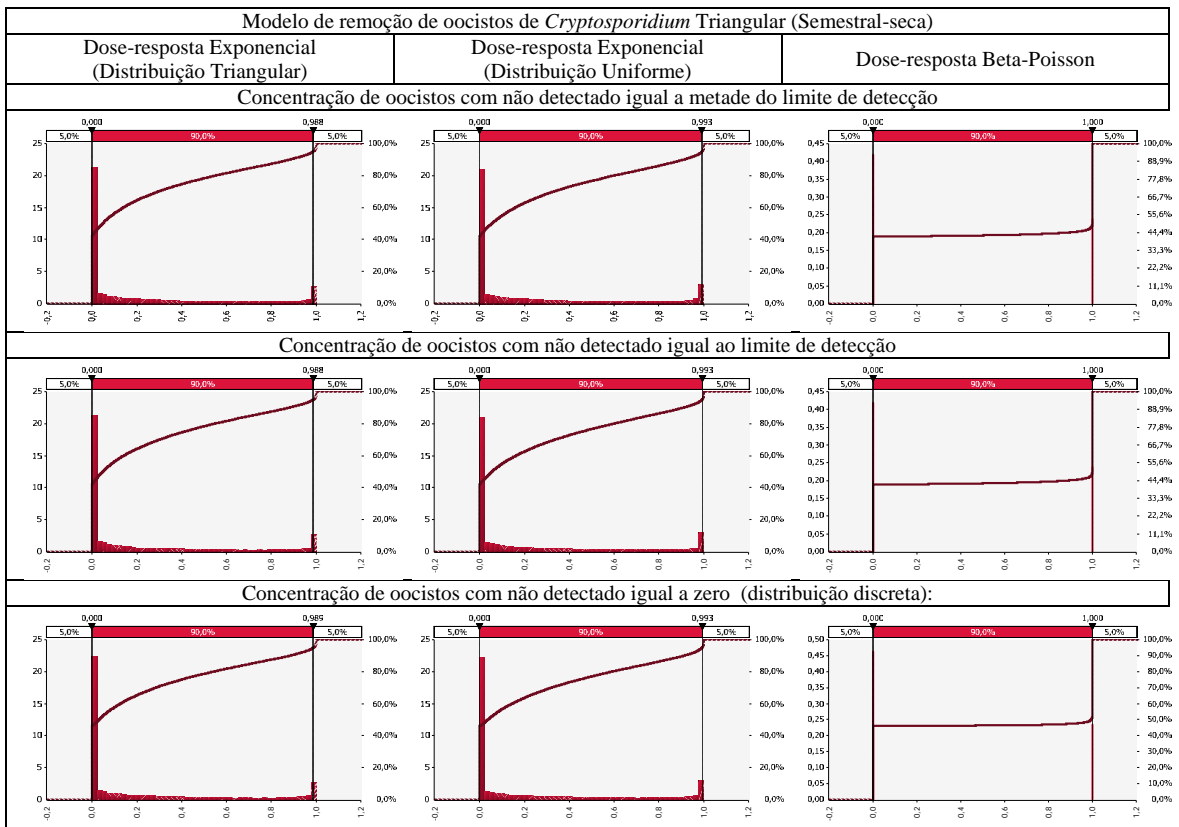


Figura 15- Histogramas das distribuições de probabilidades e curvas de frequência acumulada de riscos semestrais de infecção (seca): consumo de água seguindo distribuição Poisson, modelo de remoção de oocistos de *Cryptosporidium* Triangular para dados de turbidez do filtro 1, modelos dose-resposta Exponencial com distribuição Triangular, Exponencial com distribuição Uniforme e beta-Poisson, dados não detectados igual a metade do limite de detecção, dados não detectados igual ao limite de detecção, dados não detectados igual a zero.

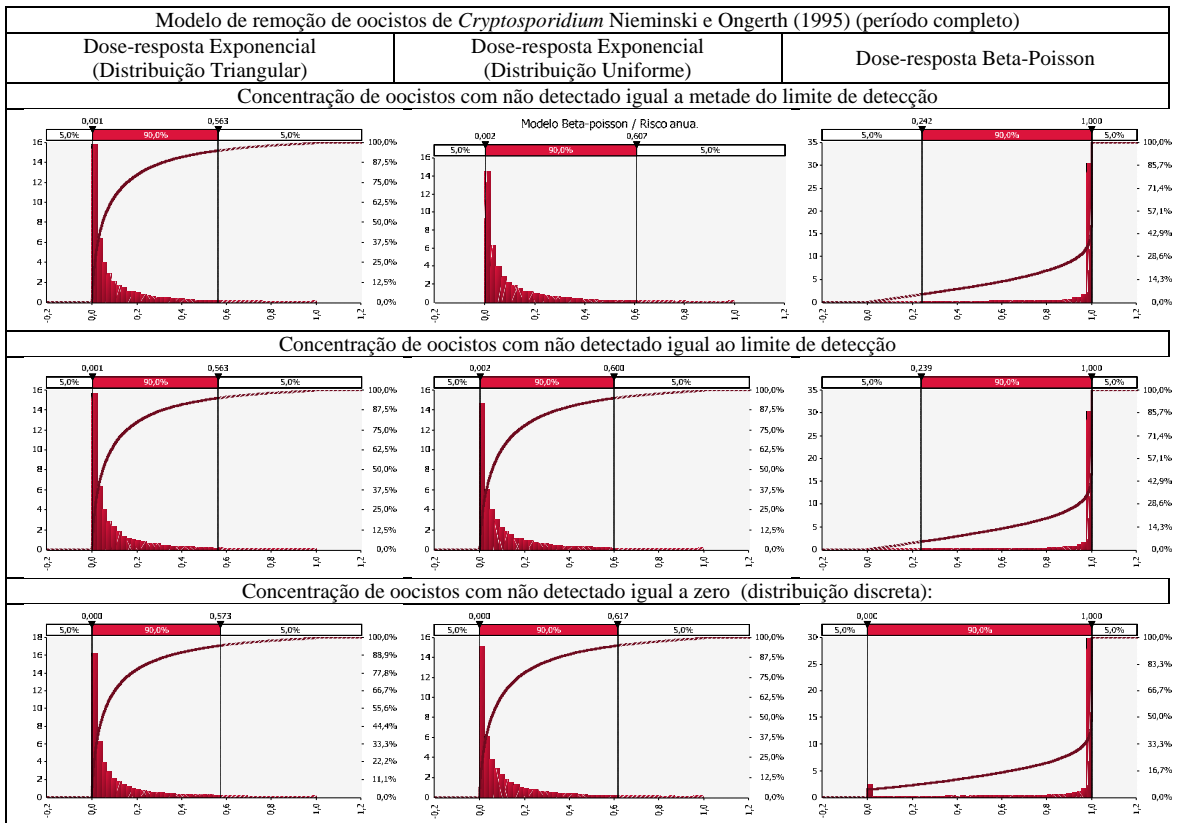


Figura 16- Histogramas das distribuições de probabilidades e curvas de frequência acumulada de riscos anuais de infecção (período completo): consumo de água seguindo distribuição Triangular, modelo de remoção de oocistos de *Cryptosporidium* proposto por Nieminski e Ongerth (1995) para dados de turbidez do filtro 1, modelos dose-resposta Exponencial com distribuição Triangular, Exponencial com distribuição Uniforme e beta-Poisson, dados não detectados igual a metade do limite de detecção, dados não detectados igual ao limite de detecção, dados não detectados igual a zero.

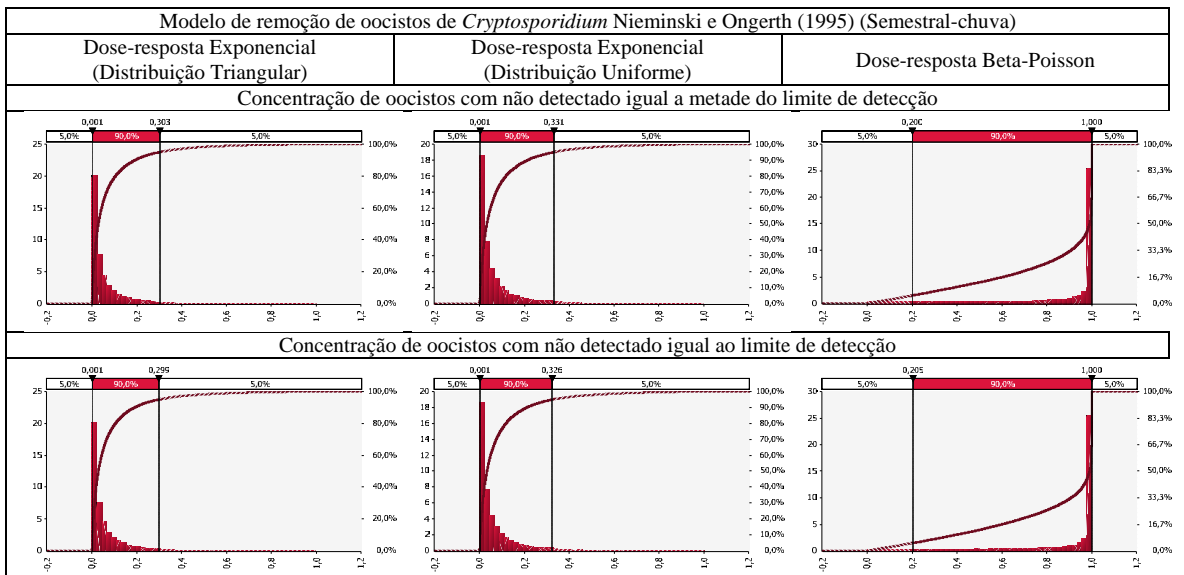


Figura 17- Histogramas das distribuições de probabilidades e curvas de frequência acumulada de riscos semestrais de infecção (chuva): consumo de água seguindo distribuição Triangular, modelo de remoção de oocistos de *Cryptosporidium* proposto por Nieminski e Ongerth (1995) para dados de turbidez do filtro 1, modelos dose-resposta Exponencial com distribuição Triangular, Exponencial com distribuição Uniforme e beta-Poisson, dados não detectados igual a metade do limite de detecção, dados não detectados igual ao limite de detecção, dados não detectados igual a zero (continua).

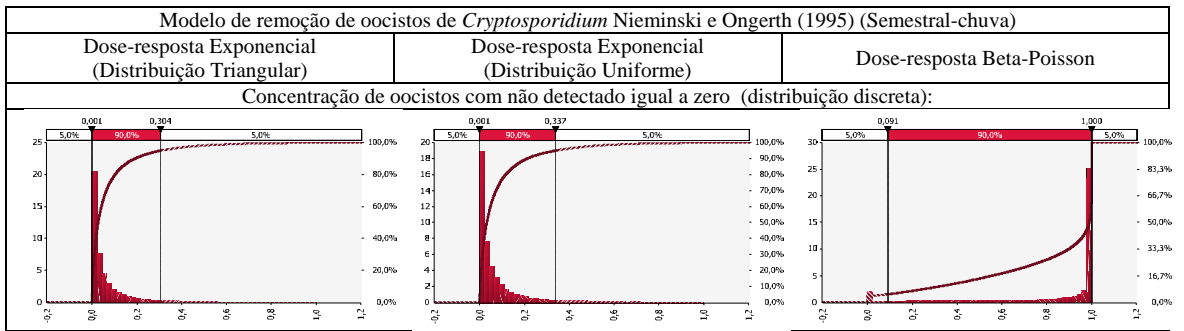


Figura 17- Histogramas das distribuições de probabilidades e curvas de frequência acumulada de riscos semestrais de infecção (chuva): consumo de água seguindo distribuição Triangular, modelo de remoção de oocistos de *Cryptosporidium* proposto por Nieminski e Ongerth (1995) para dados de turbidez do filtro 1, modelos dose-resposta Exponencial com distribuição Triangular, Exponencial com distribuição Uniforme e beta-Poisson, dados não detectados igual a metade do limite de detecção, dados não detectados igual ao limite de detecção, dados não detectados igual a zero (continuação).

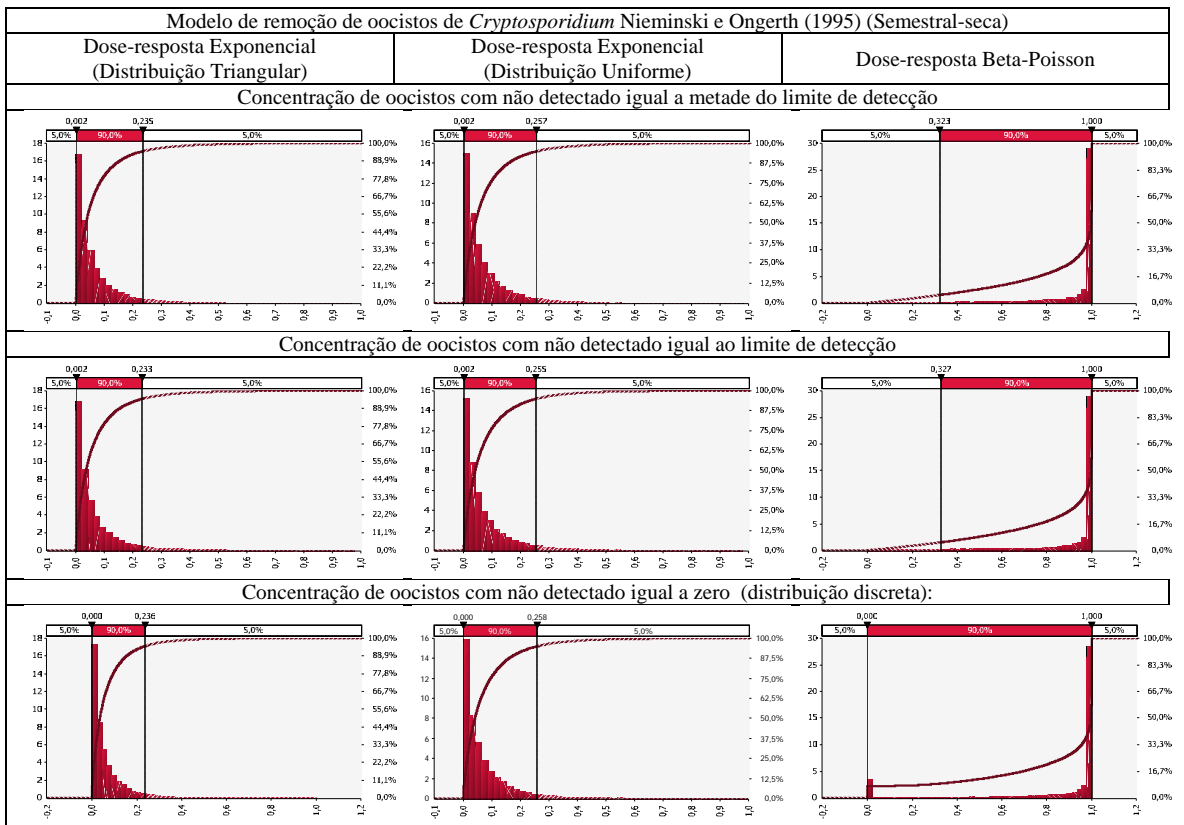


Figura 18- Histogramas das distribuições de probabilidades e curvas de frequência acumulada de riscos semestrais de infecção (seca): consumo de água seguindo distribuição Triangular, modelo de remoção de oocistos de *Cryptosporidium* proposto por Nieminski e Ongerth (1995) para dados de turbidez do filtro 1, modelos dose-resposta Exponencial com distribuição Triangular, Exponencial com distribuição Uniforme e beta-Poisson, dados não detectados igual a metade do limite de detecção, dados não detectados igual ao limite de detecção, dados não detectados igual a zero.

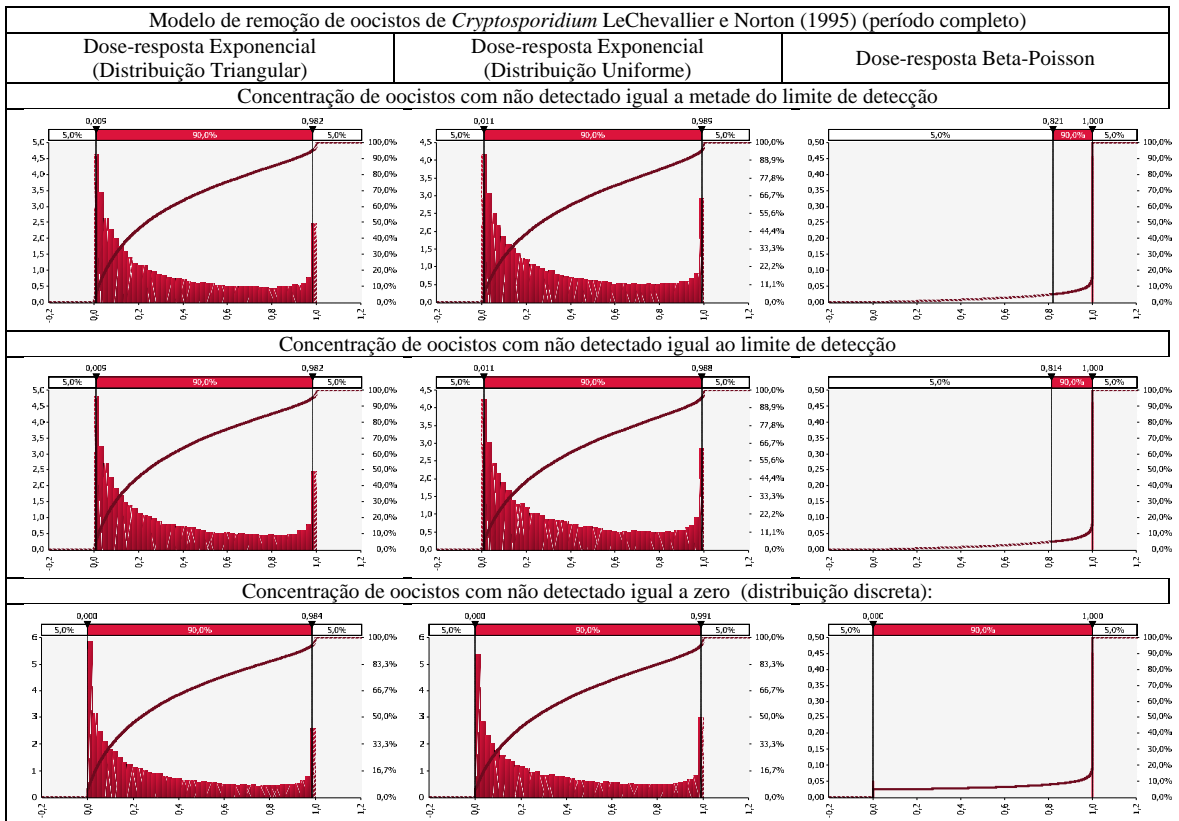


Figura 19- Histogramas das distribuições de probabilidades e curvas de frequência acumulada de riscos anuais de infecção (período completo): consumo de água seguindo distribuição Triangular, modelo de remoção de oocistos de *Cryptosporidium* proposto por LeChevallier e Norton (1995) para dados de turbidez do filtro 1, modelos dose-resposta Exponencial com distribuição Triangular, Exponencial com distribuição Uniforme e beta-Poisson, dados não detectados igual a metade do limite de detecção, dados não detectados igual ao limite de detecção, dados não detectados igual a zero.

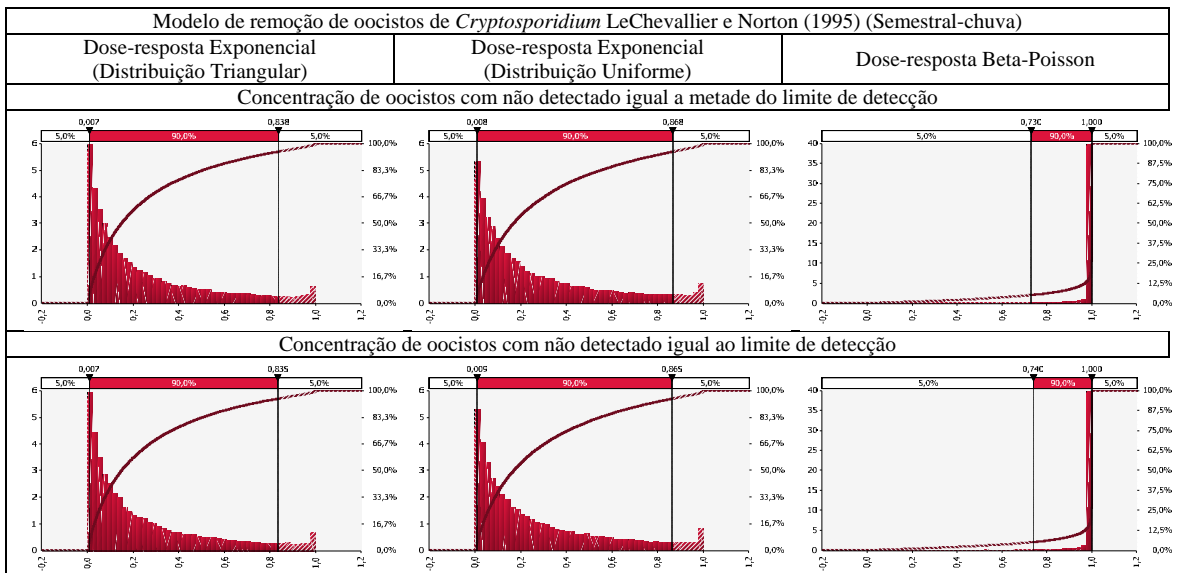


Figura 20- Histogramas das distribuições de probabilidades e curvas de frequência acumulada de riscos semestrais de infecção (chuva): consumo de água seguindo distribuição Triangular, modelo de remoção de oocistos de *Cryptosporidium* proposto por LeChevallier e Norton (1995) para dados de turbidez do filtro 1, modelos dose-resposta Exponencial com distribuição Triangular, Exponencial com distribuição Uniforme e beta-Poisson, dados não detectados igual a metade do limite de detecção, dados não detectados igual ao limite de detecção, dados não detectados igual a zero (continua).

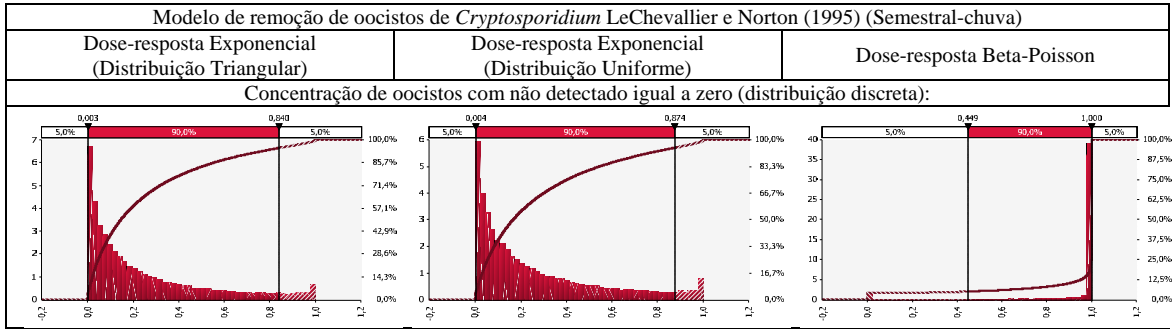


Figura 20- Histogramas das distribuições de probabilidades e curvas de frequência acumulada de riscos semestrais de infecção (chuva): consumo de água seguindo distribuição Triangular, modelo de remoção de oocistos de *Cryptosporidium* proposto por LeChevallier e Norton (1995) para dados de turbidez do filtro 1, modelos dose-resposta Exponencial com distribuição Triangular, Exponencial com distribuição Uniforme e beta-Poisson, dados não detectados igual a metade do limite de detecção, dados não detectados igual ao limite de detecção, dados não detectados igual a zero (continuação).

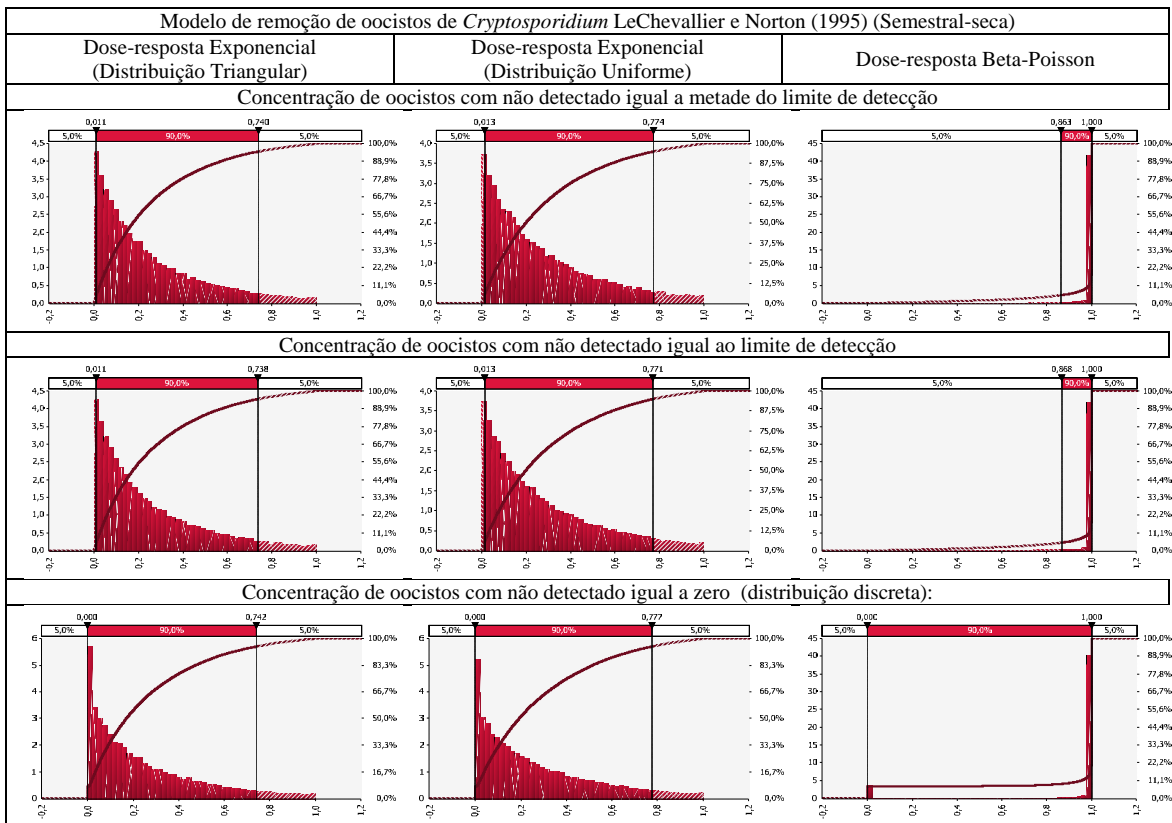


Figura 21- Histogramas das distribuições de probabilidades e curvas de frequência acumulada de riscos semestrais de infecção (seca): consumo de água seguindo distribuição Triangular, modelo de remoção de oocistos de *Cryptosporidium* proposto por LeChevallier e Norton (1995) para dados de turbidez do filtro 1, modelos dose-resposta Exponencial com distribuição Triangular, Exponencial com distribuição Uniforme e beta-Poisson, dados não detectados igual a metade do limite de detecção, dados não detectados igual ao limite de detecção, dados não detectados igual a zero.

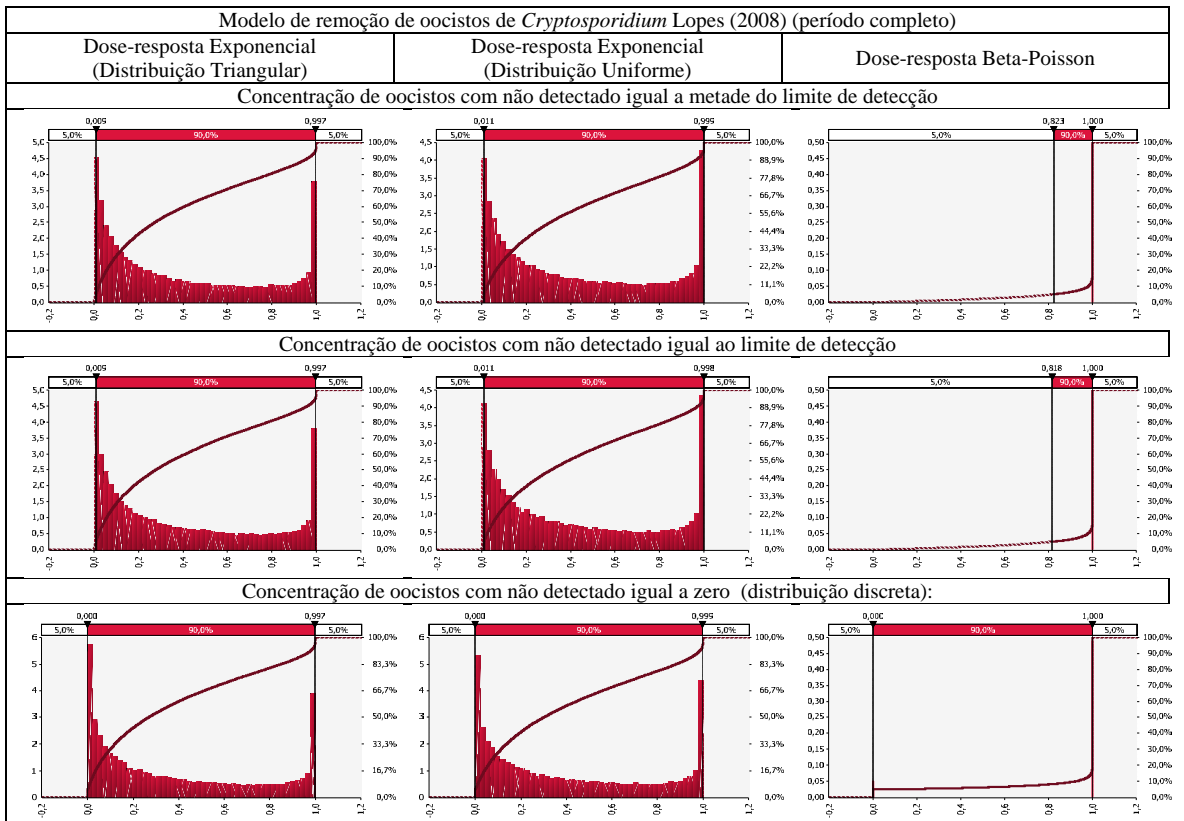


Figura 22- Histogramas das distribuições de probabilidades e curvas de frequência acumulada de riscos anuais de infecção (período completo): consumo de água seguindo distribuição Triangular, modelo de remoção de oocistos de *Cryptosporidium* proposto por Lopes (2008) para dados de turbidez do filtro 1, modelos dose-resposta Exponencial com distribuição Triangular, Exponencial com distribuição Uniforme e beta-Poisson, dados não detectados igual a metade do limite de detecção, dados não detectados igual ao limite de detecção, dados não detectados igual a zero.

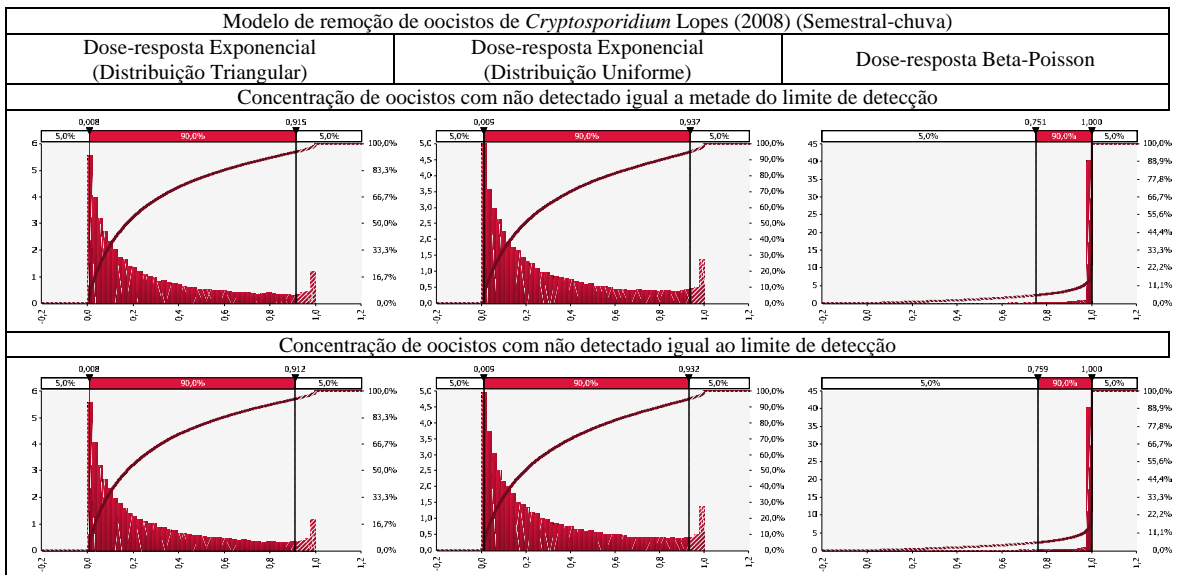


Figura 23- Histogramas das distribuições de probabilidades e curvas de frequência acumulada de riscos semestrais de infecção (chuva): consumo de água seguindo distribuição Triangular, modelo de remoção de oocistos de *Cryptosporidium* proposto por Lopes (2008) para dados de turbidez do filtro 1, modelos dose-resposta Exponencial com distribuição Triangular, Exponencial com distribuição Uniforme e beta-Poisson, dados não detectados igual a metade do limite de detecção, dados não detectados igual a zero (continua).

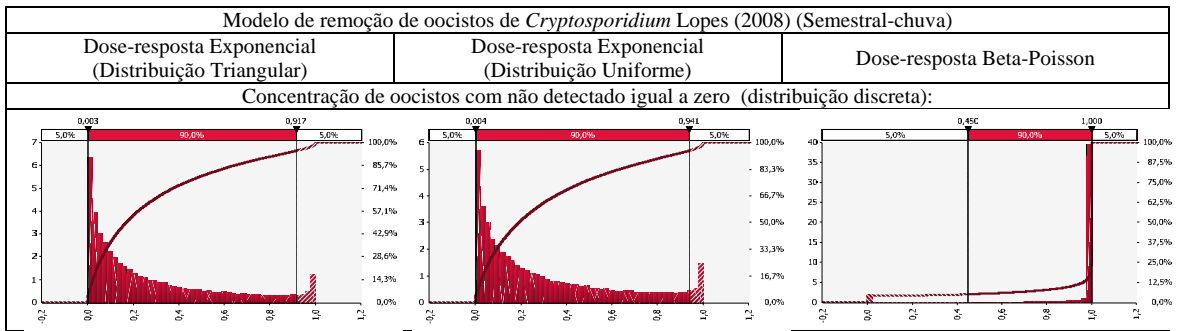


Figura 23- Histogramas das distribuições de probabilidades e curvas de frequência acumulada de riscos semestrais de infecção (chuva): consumo de água seguindo distribuição Triangular, modelo de remoção de oocistos de *Cryptosporidium* proposto por Lopes (2008) para dados de turbidez do filtro 1, modelos dose-resposta Exponencial com distribuição Triangular, Exponencial com distribuição Uniforme e beta-Poisson, dados não detectados igual a metade do limite de detecção, dados não detectados igual ao limite de detecção, dados não detectados igual a zero (continuação).

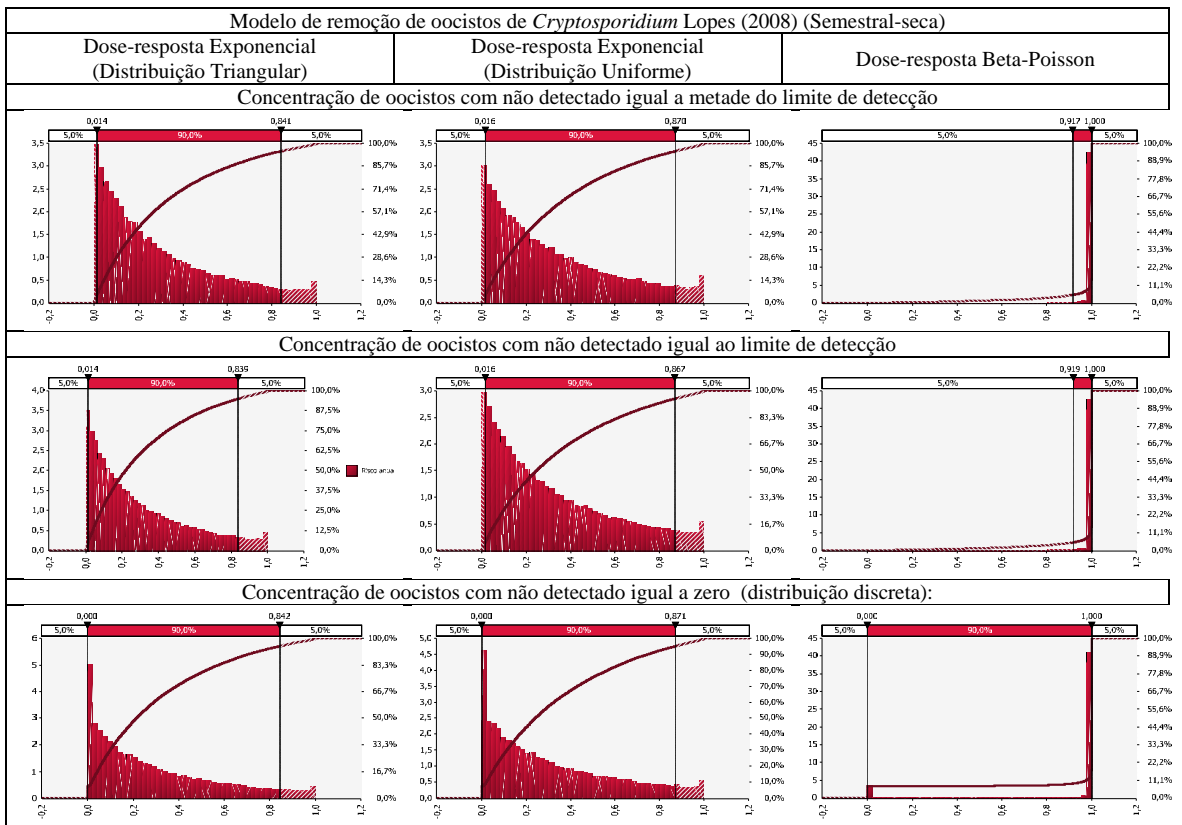


Figura 24- Histogramas das distribuições de probabilidades e curvas de frequência acumulada de riscos semestrais de infecção (seca): consumo de água seguindo distribuição Triangular, modelo de remoção de oocistos de *Cryptosporidium* proposto por Lopes (2008) para dados de turbidez do filtro 1, modelos dose-resposta Exponencial com distribuição Triangular, Exponencial com distribuição Uniforme e beta-Poisson, dados não detectados igual a metade do limite de detecção, dados não detectados igual ao limite de detecção, dados não detectados igual a zero.

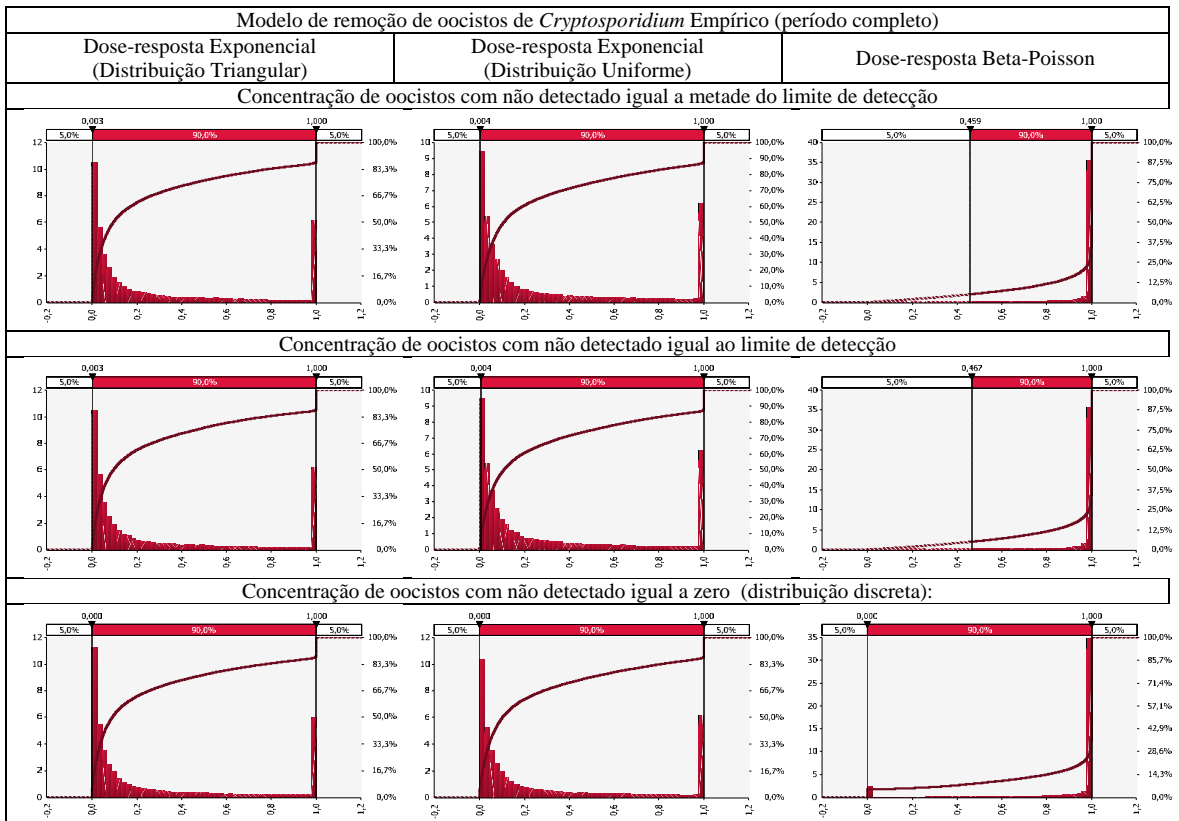


Figura 25- Histogramas das distribuições de probabilidades e curvas de frequência acumulada de riscos anuais de infecção (período completo): consumo de água seguindo distribuição Triangular, modelo de remoção de oocistos de *Cryptosporidium* Empírico para dados de turbidez do filtro 1, modelos dose-resposta Exponencial com distribuição Triangular, Exponencial com distribuição Uniforme e beta-Poisson, dados não detectados igual a metade do limite de detecção, dados não detectados igual ao limite de detecção, dados não detectados igual a zero.

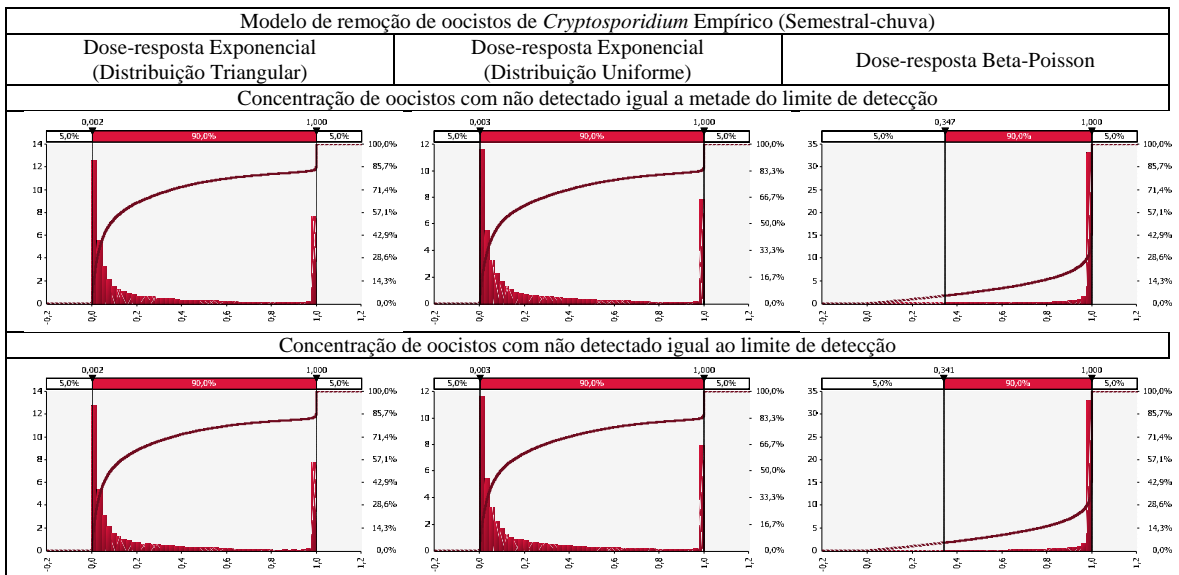


Figura 26- Histogramas das distribuições de probabilidades e curvas de frequência acumulada de riscos semestrais de infecção (chuva): consumo de água seguindo distribuição Triangular, modelo de remoção de oocistos de *Cryptosporidium* Empírico para dados de turbidez do filtro 1, modelos dose-resposta Exponencial com distribuição Triangular, Exponencial com distribuição Uniforme e beta-Poisson, dados não detectados igual a metade do limite de detecção, dados não detectados igual ao limite de detecção, dados não detectados igual a zero (continuação).

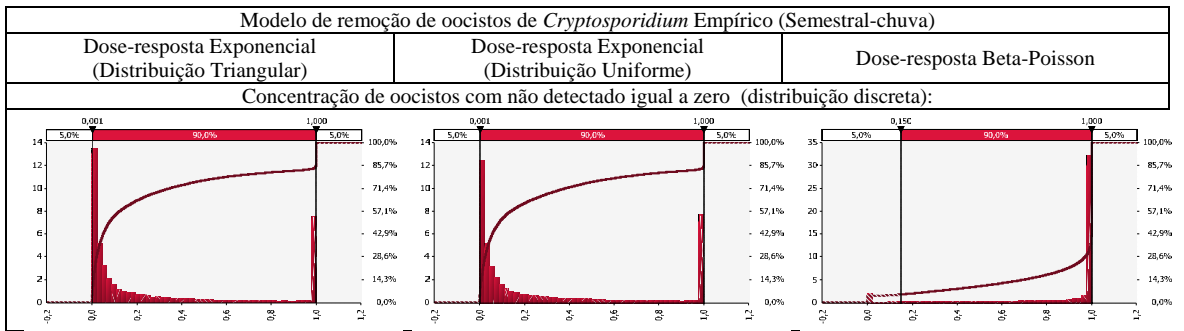


Figura 26- Histogramas das distribuições de probabilidades e curvas de frequência acumulada de riscos semestrais de infecção (chuva): consumo de água seguindo distribuição Triangular, modelo de remoção de oocistos de *Cryptosporidium* Empírico para dados de turbidez do filtro 1, modelos dose-resposta Exponencial com distribuição Triangular, Exponencial com distribuição Uniforme e beta-Poisson, dados não detectados igual a metade do limite de detecção, dados não detectados igual ao limite de detecção, dados não detectados igual a zero (continuação).

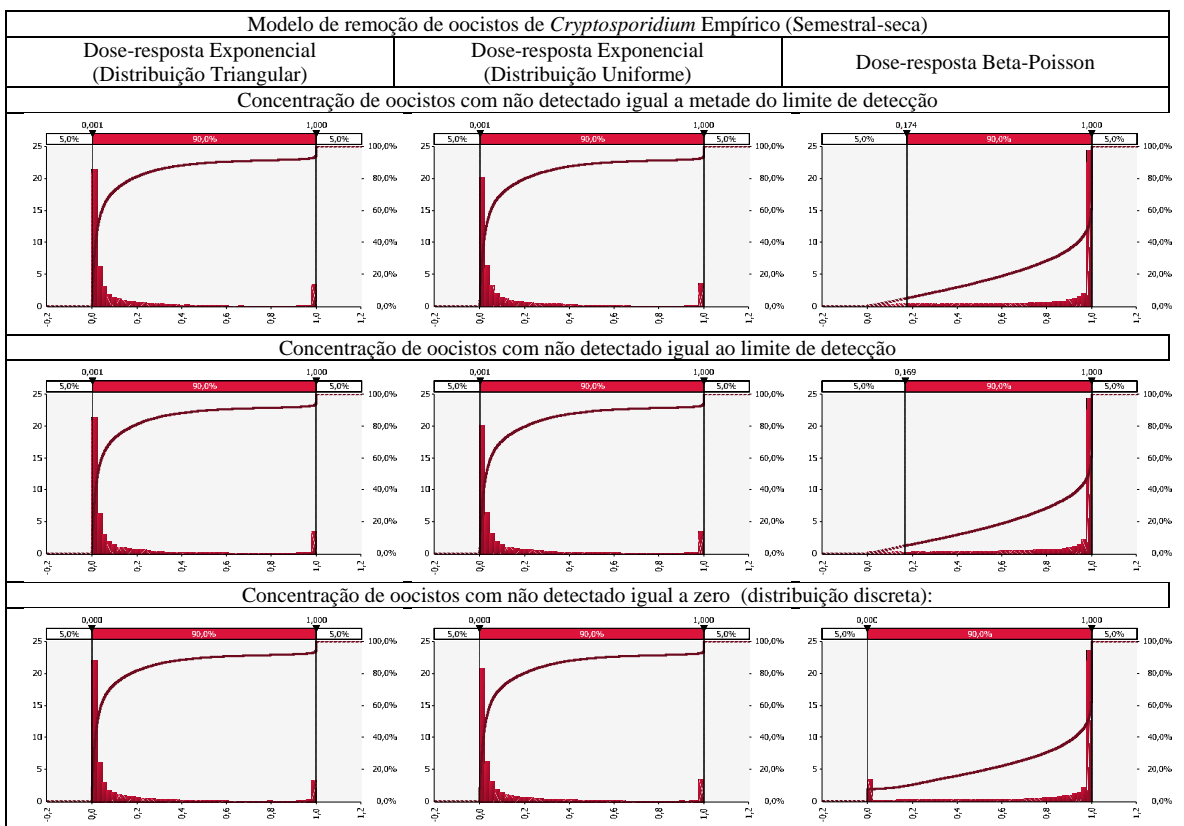


Figura 27- Histogramas das distribuições de probabilidades e curvas de frequência acumulada de riscos semestrais de infecção (seca): consumo de água seguindo distribuição Triangular, modelo de remoção de oocistos de *Cryptosporidium* Empírico para dados de turbidez do filtro 1, modelos dose-resposta Exponencial com distribuição Triangular, Exponencial com distribuição Uniforme e beta-Poisson, dados não detectados igual a metade do limite de detecção, dados não detectados igual ao limite de detecção, dados não detectados igual a zero.

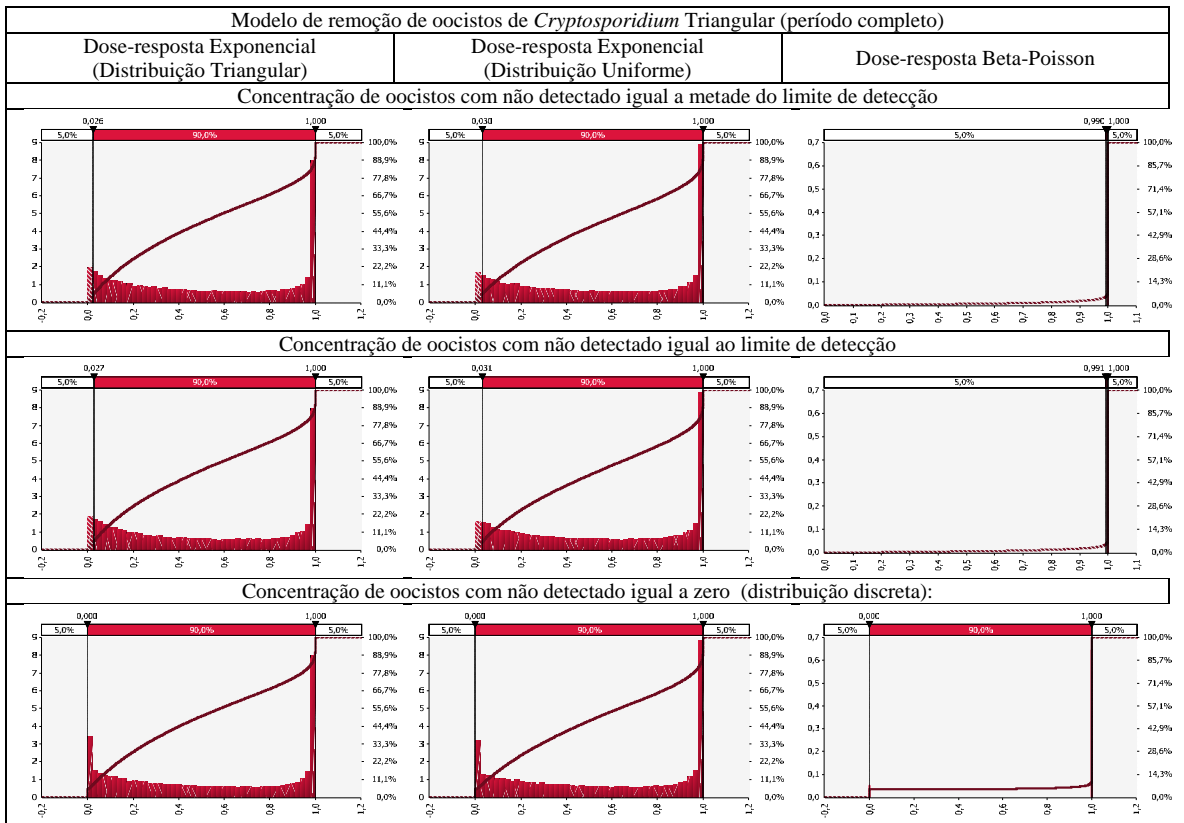


Figura 28- Histogramas das distribuições de probabilidades e curvas de frequência acumulada de riscos anuais de infecção (período completo): consumo de água seguindo distribuição Triangular, modelo de remoção de oocistos de *Cryptosporidium* Triangular para dados de turbidez do filtro 1, modelos dose-resposta Exponencial com distribuição Triangular, Exponencial com distribuição Uniforme e beta-Poisson, dados não detectados igual a metade do limite de detecção, dados não detectados igual ao limite de detecção, dados não detectados igual a zero.

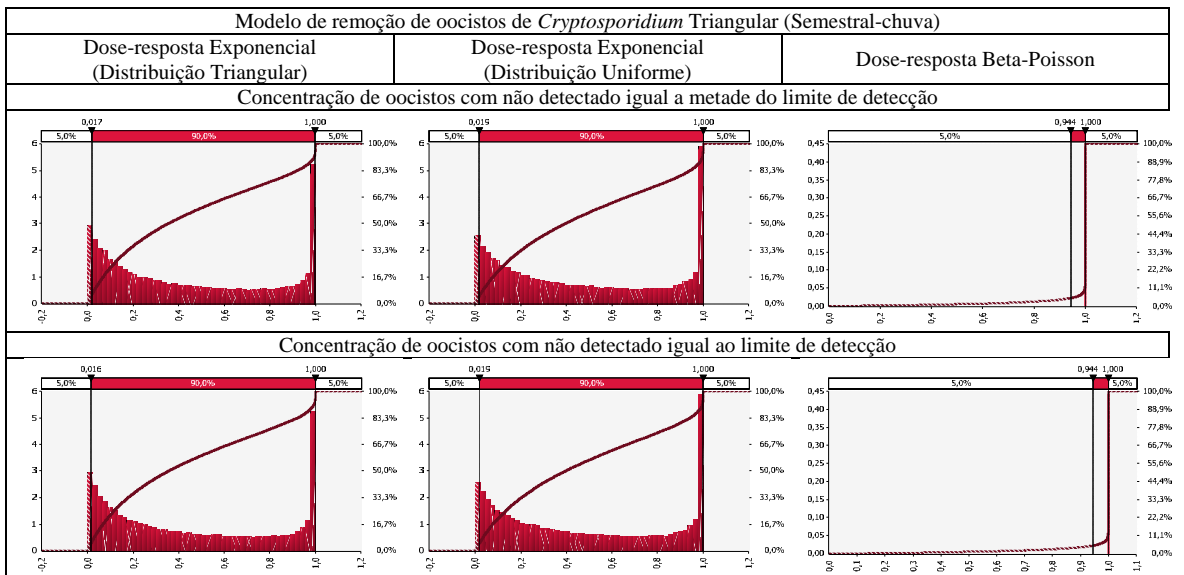


Figura 29- Histogramas das distribuições de probabilidades e curvas de frequência acumulada de riscos semestrais de infecção (chuva): consumo de água seguindo distribuição Triangular, modelo de remoção de oocistos de *Cryptosporidium* Triangular para dados de turbidez do filtro 1, modelos dose-resposta Exponencial com distribuição Triangular, Exponencial com distribuição Uniforme e beta-Poisson, dados não detectados igual a metade do limite de detecção, dados não detectados igual ao limite de detecção, dados não detectados igual a zero (continua).

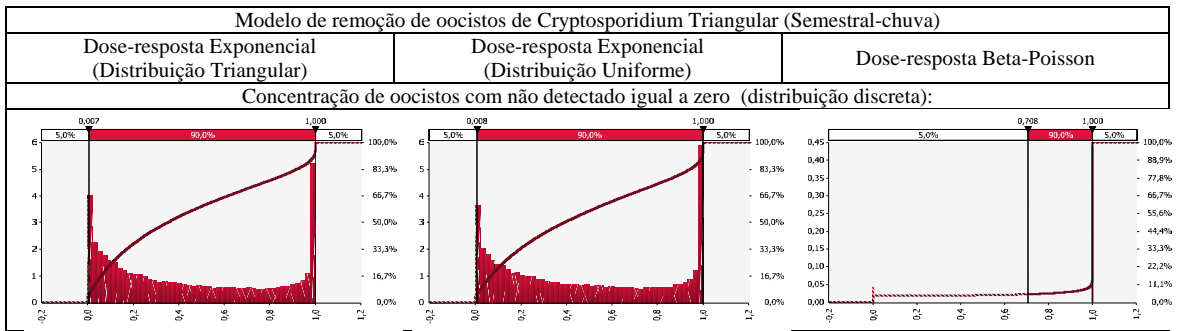


Figura 29- Histogramas das distribuições de probabilidades e curvas de frequência acumulada de riscos semestrais de infecção (chuva): consumo de água seguindo distribuição Triangular, modelo de remoção de oocistos de *Cryptosporidium* Triangular para dados de turbidez do filtro 1, modelos dose-resposta Exponencial com distribuição Triangular, Exponencial com distribuição Uniforme e beta-Poisson, dados não detectados igual a metade do limite de detecção, dados não detectados igual ao limite de detecção, dados não detectados igual a zero (continuação).

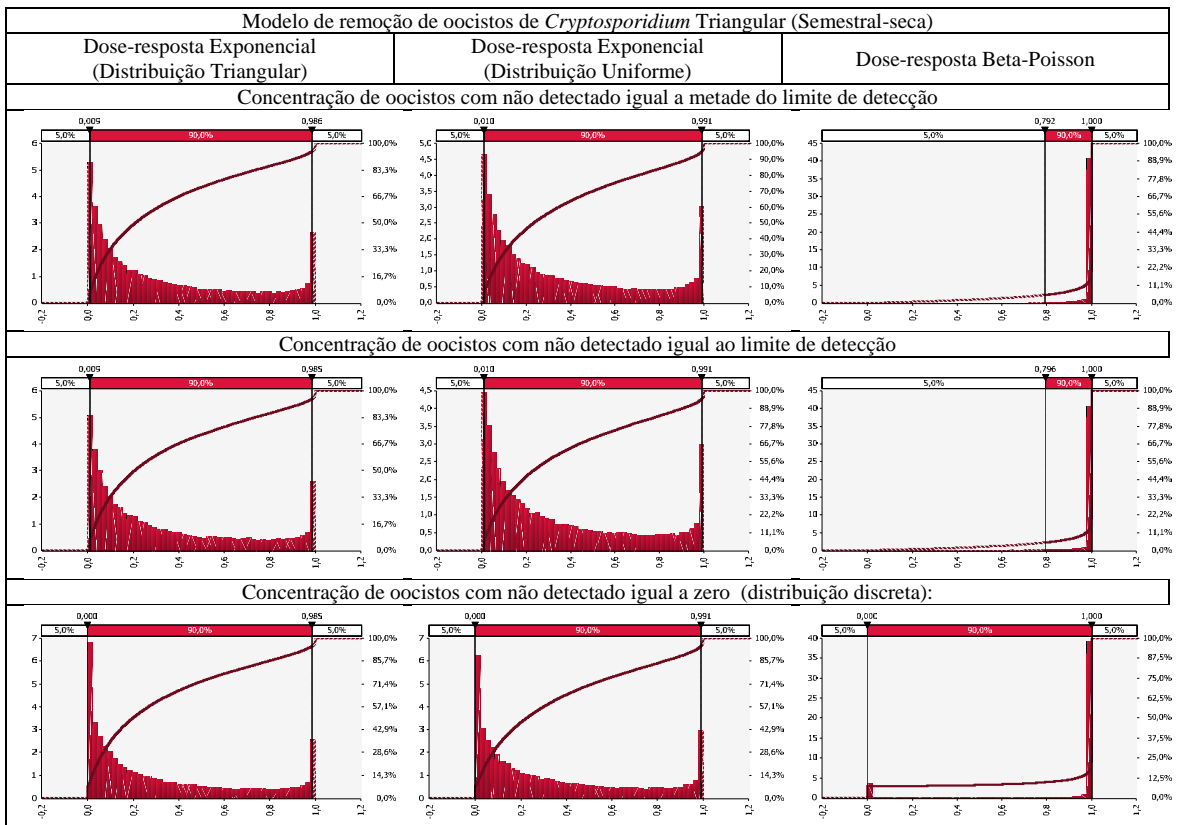


Figura 30- Histogramas das distribuições de probabilidades e curvas de frequência acumulada de riscos semestrais de infecção (seca): consumo de água seguindo distribuição Triangular, modelo de remoção de oocistos de *Cryptosporidium* Triangular para dados de turbidez do filtro 1, modelos dose-resposta Exponencial com distribuição Triangular, Exponencial com distribuição Uniforme e beta-Poisson, dados não detectados igual a metade do limite de detecção, dados não detectados igual ao limite de detecção, dados não detectados igual a zero.

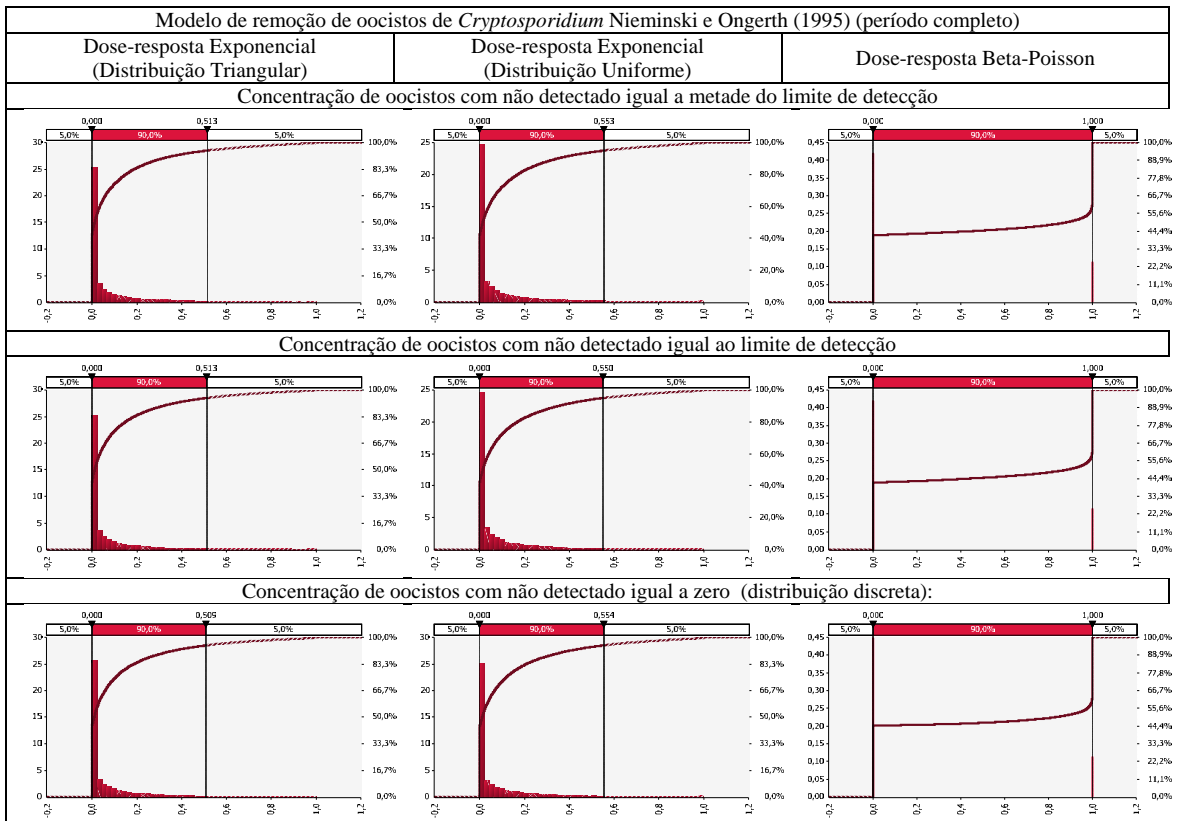


Figura31- Histogramas das distribuições de probabilidades e curvas de frequência acumulada de riscos anuais de infecção (período completo): consumo de água seguindo distribuição Poisson, modelo de remoção de oocistos de *Cryptosporidium* proposto por Nieminski e Ongerth (1995) para dados de turbidez do filtro 2, modelos dose-resposta Exponencial com distribuição Triangular, Exponencial com distribuição Uniforme e beta-Poisson, dados não detectados igual a metade do limite de detecção, dados não detectados igual ao limite de detecção, dados não detectados igual a zero.

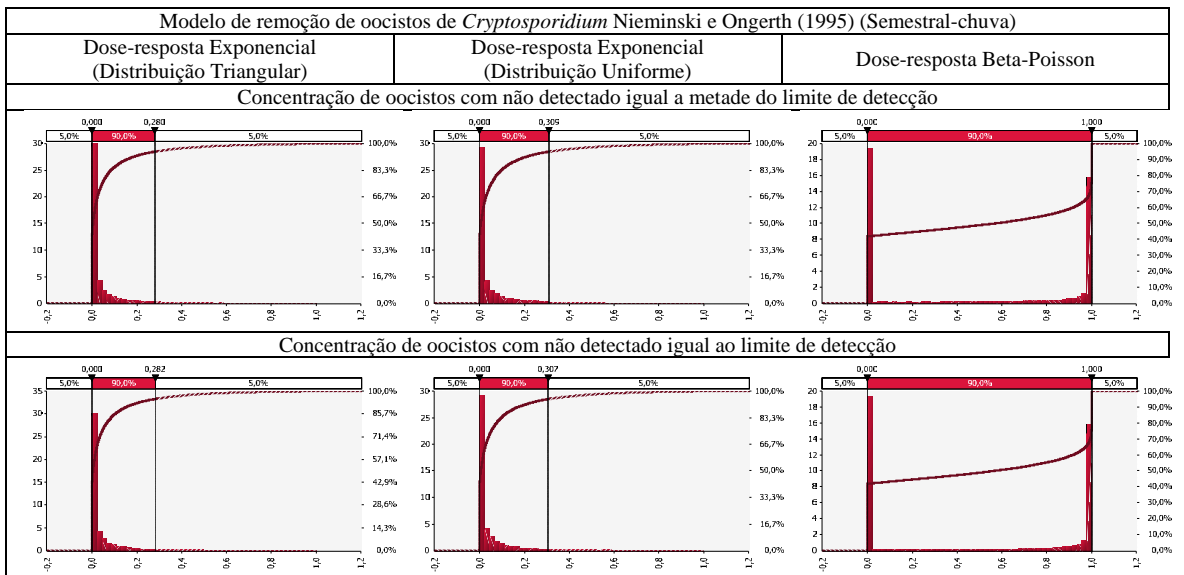


Figura 32- Histogramas das distribuições de probabilidades e curvas de frequência acumulada de riscos semestrais de infecção (chuva): consumo de água seguindo distribuição Poisson, modelo de remoção de oocistos de *Cryptosporidium* proposto por Nieminski e Ongerth (1995) para dados de turbidez do filtro 2, modelos dose-resposta Exponencial com distribuição Triangular, Exponencial com distribuição Uniforme e beta-Poisson, dados não detectados igual a metade do limite de detecção, dados não detectados igual ao limite de detecção, dados não detectados igual a zero (continua).

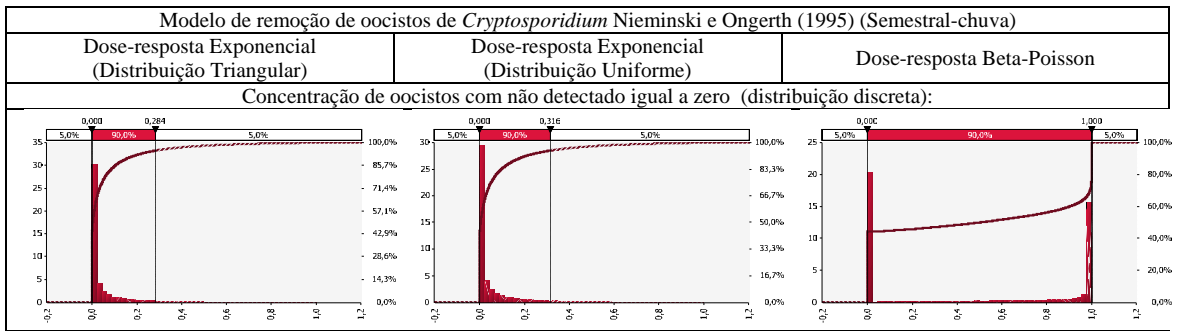


Figura 32- Histogramas das distribuições de probabilidades e curvas de frequência acumulada de riscos semestrais de infecção (chuva): consumo de água seguindo distribuição Poisson, modelo de remoção de oocistos de *Cryptosporidium* proposto por Nieminski e Ongerth (1995) para dados de turbidez do filtro 2, modelos dose-resposta Exponencial com distribuição Triangular, Exponencial com distribuição Uniforme e beta-Poisson, dados não detectados igual a metade do limite de detecção, dados não detectados igual ao limite de detecção, dados não detectados igual a zero (continuação).

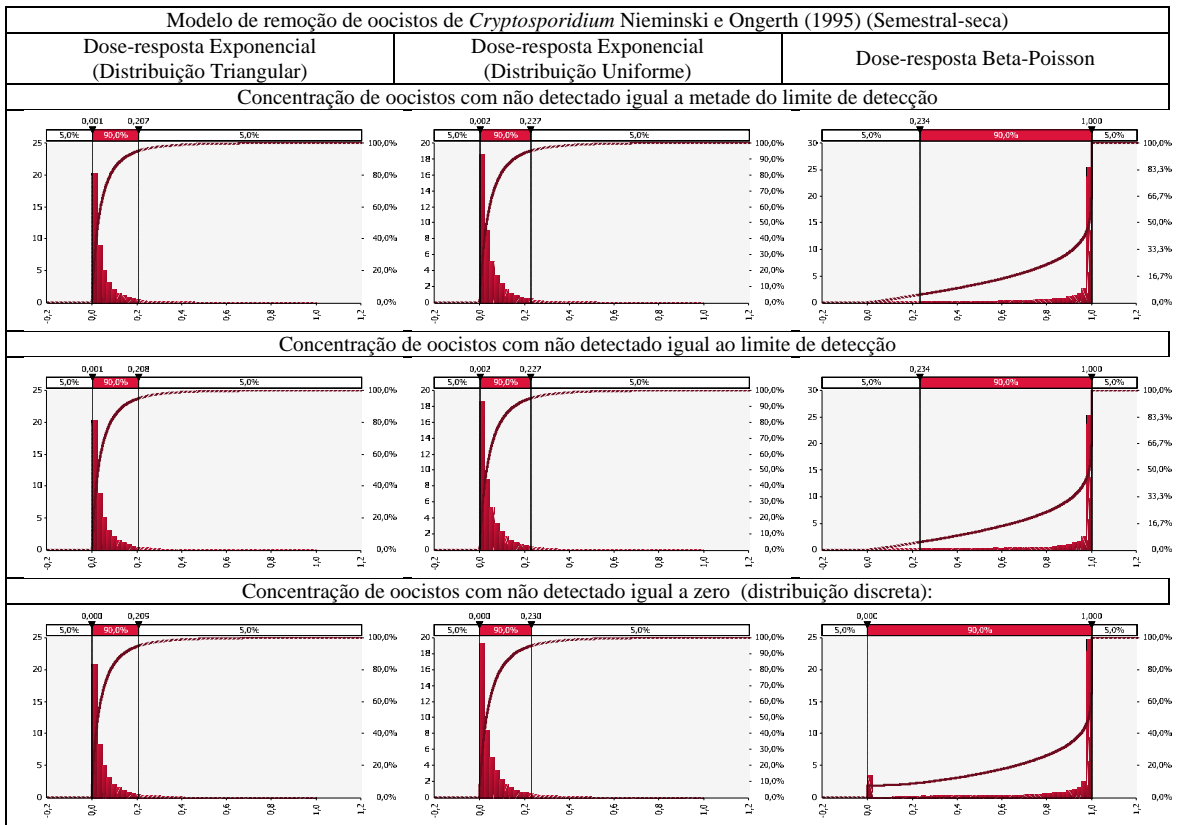


Figura 33- Histogramas das distribuições de probabilidades e curvas de frequência acumulada de riscos semestrais de infecção (seca): consumo de água seguindo distribuição Poisson, modelo de remoção de oocistos de *Cryptosporidium* proposto por Nieminski e Ongerth (1995) para dados de turbidez do filtro 2, modelos dose-resposta Exponencial com distribuição Triangular, Exponencial com distribuição Uniforme e beta-Poisson, dados não detectados igual a metade do limite de detecção, dados não detectados igual ao limite de detecção, dados não detectados igual a zero.

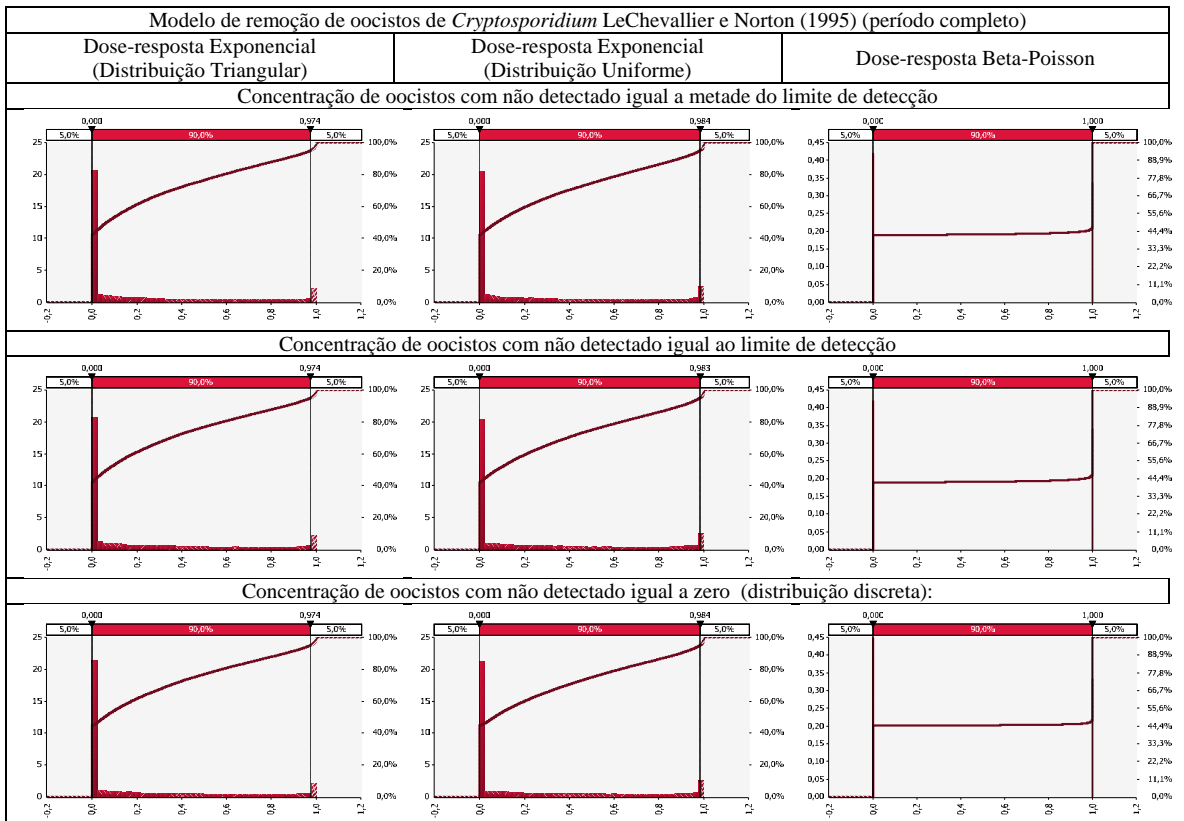


Figura 34- Histogramas das distribuições de probabilidades e curvas de frequência acumulada de riscos anuais de infecção (período completo): consumo de água seguindo distribuição Poisson, modelo de remoção de oocistos de *Cryptosporidium* proposto por LeChevallier e Norton (1995) para dados de turbidez do filtro 2, modelos dose-resposta Exponencial com distribuição Triangular, Exponencial com distribuição Uniforme e beta-Poisson, dados não detectados igual a metade do limite de detecção, dados não detectados igual ao limite de detecção, dados não detectados igual a zero.

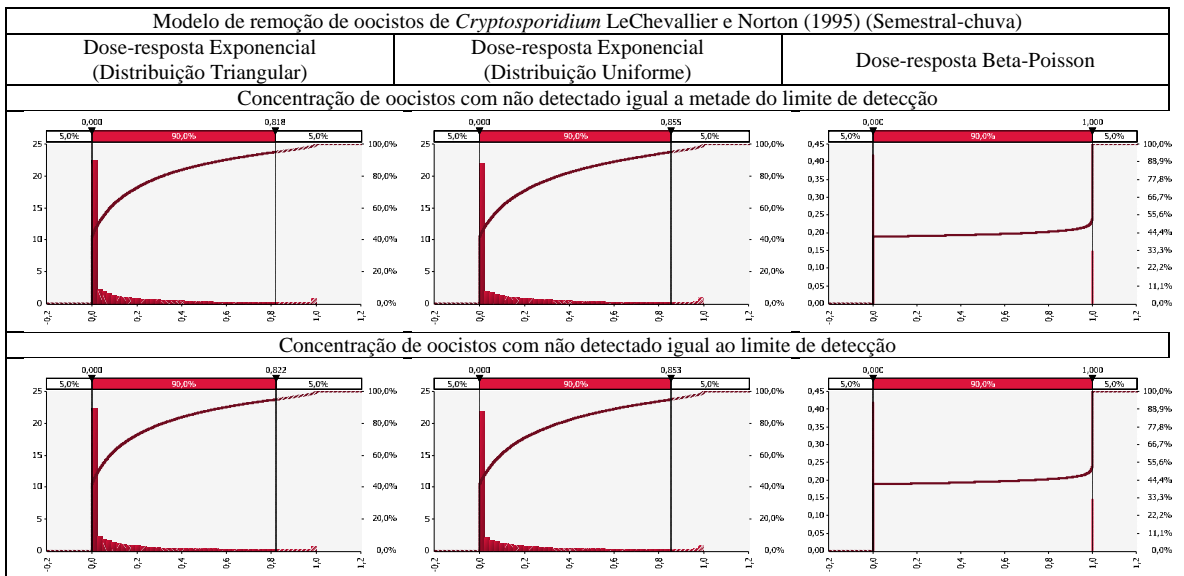


Figura 35- Histogramas das distribuições de probabilidades e curvas de frequência acumulada de riscos semestrais de infecção (chuva): consumo de água seguindo distribuição Poisson, modelo de remoção de oocistos de *Cryptosporidium* proposto por LeChevallier e Norton (1995) para dados de turbidez do filtro 2, modelos dose-resposta Exponencial com distribuição Triangular, Exponencial com distribuição Uniforme e beta-Poisson, dados não detectados igual a metade do limite de detecção, dados não detectados igual ao limite de detecção, dados não detectados igual a zero (continua).

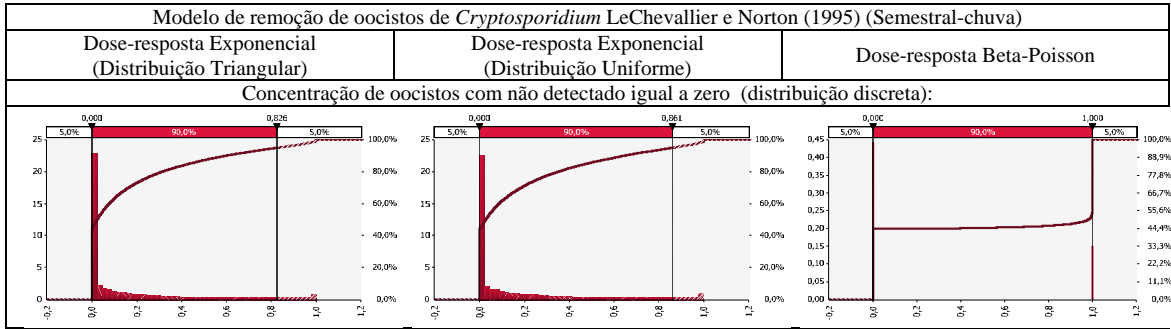


Figura 35- Histogramas das distribuições de probabilidades e curvas de frequência acumulada de riscos semestrais de infecção (chuva): consumo de água seguindo distribuição Poisson, modelo de remoção de oocistos de *Cryptosporidium* proposto por LeChevallier e Norton (1995) para dados de turbidez do filtro 2, modelos dose-resposta Exponencial com distribuição Triangular, Exponencial com distribuição Uniforme e beta-Poisson, dados não detectados igual a metade do limite de detecção, dados não detectados igual ao limite de detecção, dados não detectados igual a zero (continuação).

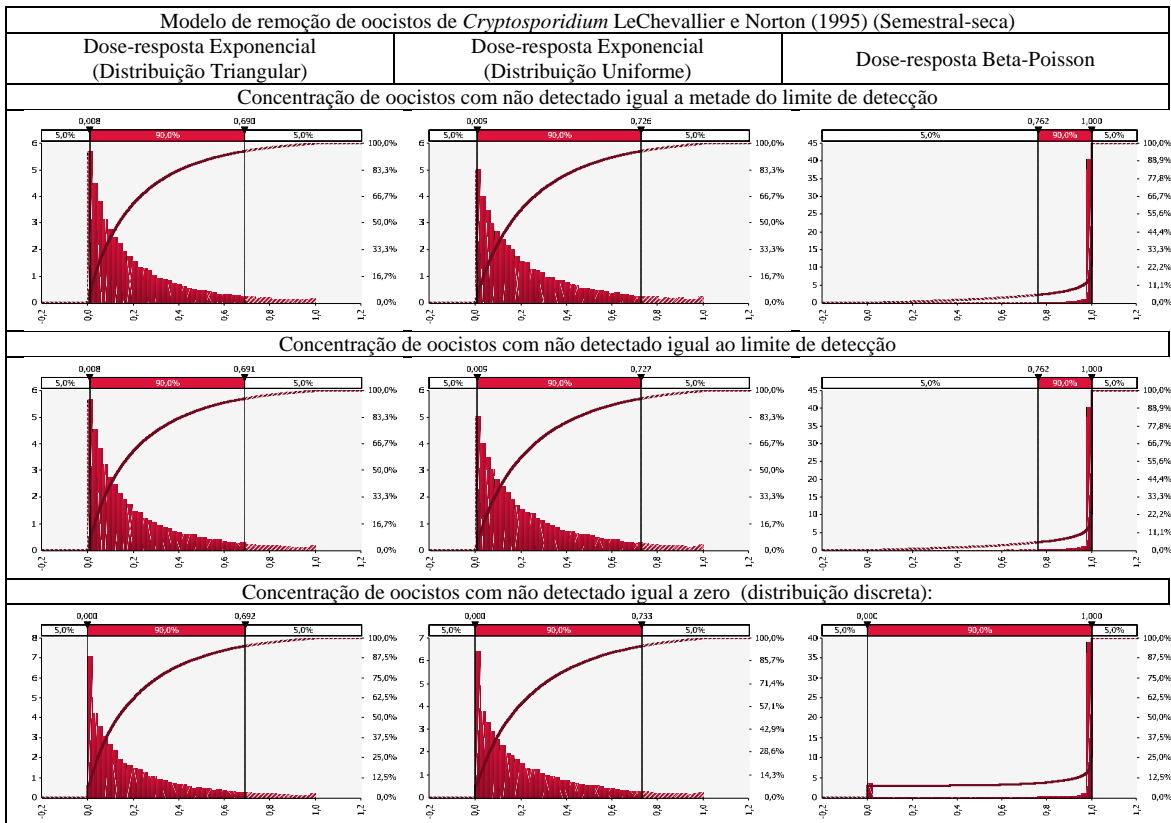


Figura 36- Histogramas das distribuições de probabilidades e curvas de frequência acumulada de riscos semestrais de infecção (seca): consumo de água seguindo distribuição Poisson, modelo de remoção de oocistos de *Cryptosporidium* proposto por LeChevallier e Norton (1995) para dados de turbidez do filtro 2, modelos dose-resposta Exponencial com distribuição Triangular, Exponencial com distribuição Uniforme e beta-Poisson, dados não detectados igual a metade do limite de detecção, dados não detectados igual ao limite de detecção, dados não detectados igual a zero.

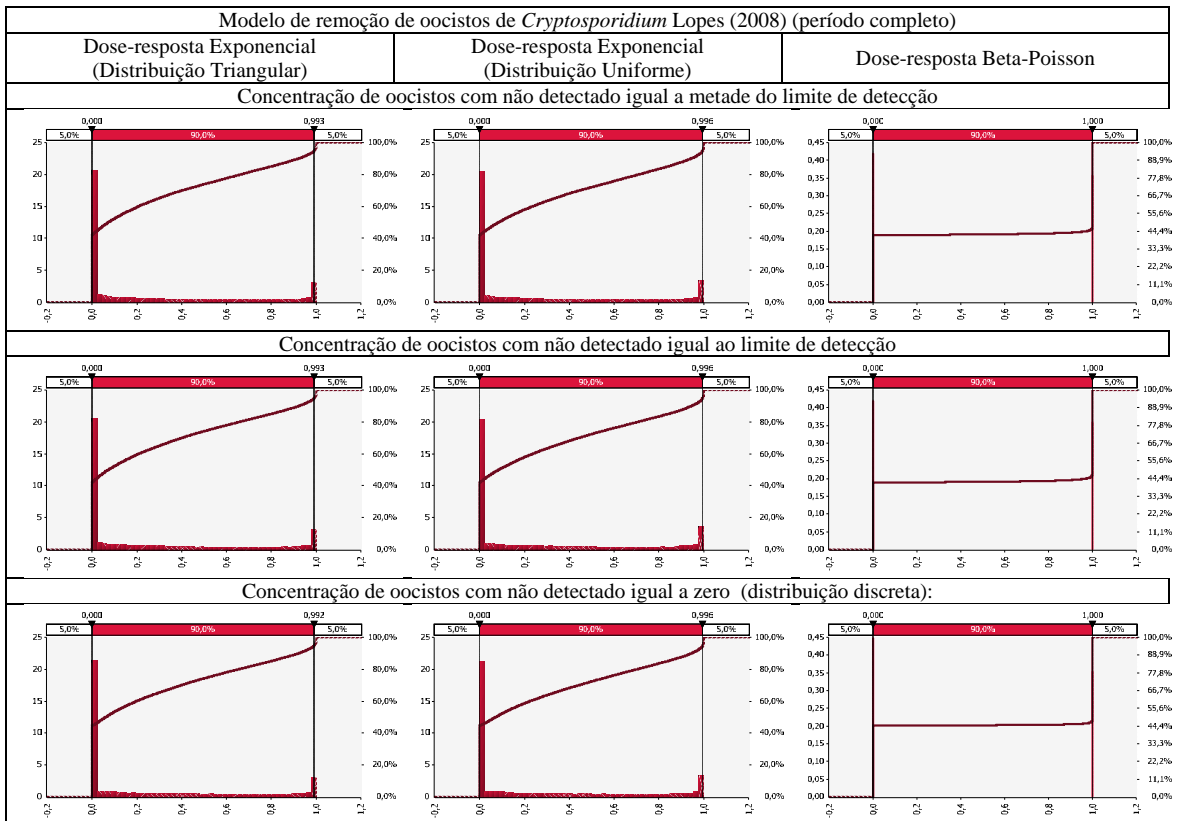


Figura 37- Histogramas das distribuições de probabilidades e curvas de frequência acumulada de riscos anuais de infecção (período completo): consumo de água seguindo distribuição Poisson, modelo de remoção de oocistos de *Cryptosporidium* proposto por Lopes (2008) para dados de turbidez do filtro 2, modelos dose-resposta Exponencial com distribuição Triangular, Exponencial com distribuição Uniforme e beta-Poisson, dados não detectados igual a metade do limite de detecção, dados não detectados igual ao limite de detecção, dados não detectados igual a zero.

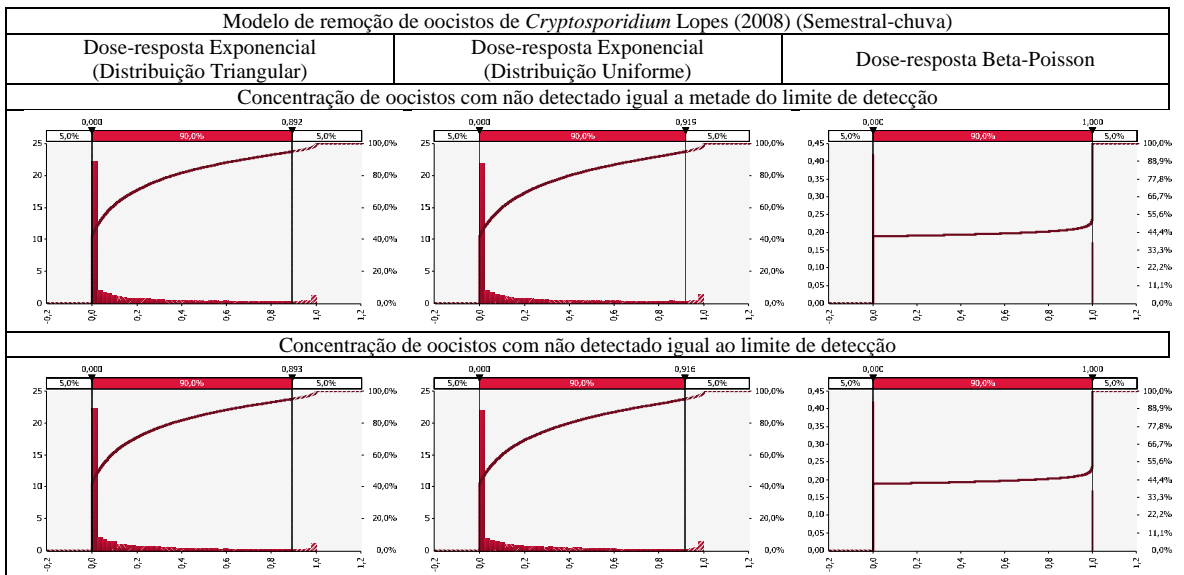


Figura 38- Histogramas das distribuições de probabilidades e curvas de frequência acumulada de riscos semestrais de infecção (chuva): consumo de água seguindo distribuição Poisson, modelo de remoção de oocistos de *Cryptosporidium* proposto por Lopes (2008) para dados de turbidez do filtro 2, modelos dose-resposta Exponencial com distribuição Triangular, Exponencial com distribuição Uniforme e beta-Poisson, dados não detectados igual a metade do limite de detecção, dados não detectados igual ao limite de detecção, dados não detectados igual a zero (continua).

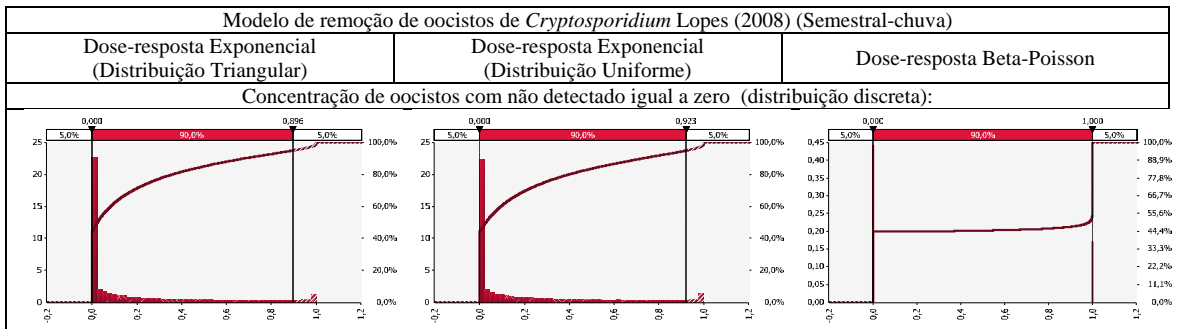


Figura 38- Histogramas das distribuições de probabilidades e curvas de frequência acumulada de riscos semestrais de infecção (chuva): consumo de água seguindo distribuição Poisson, modelo de remoção de oocistos de *Cryptosporidium* proposto por Lopes (2008) para dados de turbidez do filtro 2, modelos dose-resposta Exponencial com distribuição Triangular, Exponencial com distribuição Uniforme e beta-Poisson, dados não detectados igual a metade do limite de detecção, dados não detectados igual ao limite de detecção, dados não detectados igual a zero (continuação).

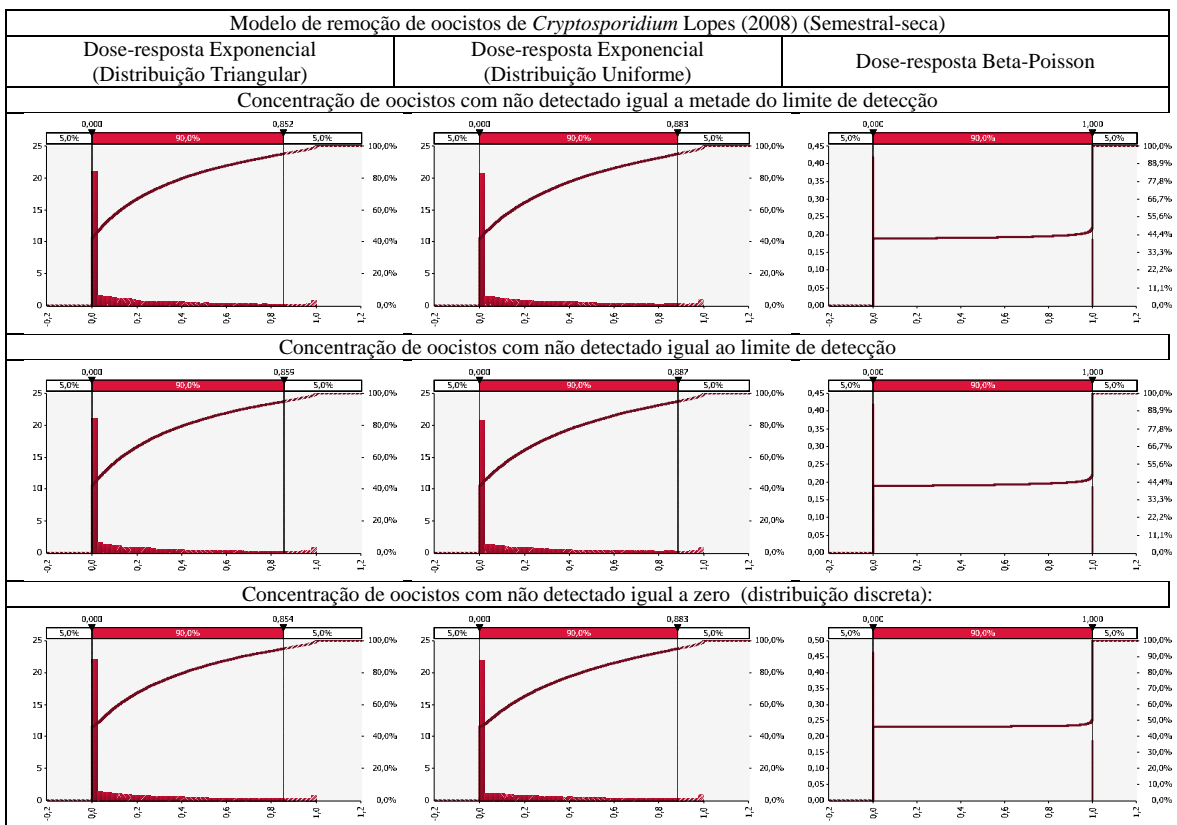


Figura 39- Histogramas das distribuições de probabilidades e curvas de frequência acumulada de riscos semestrais de infecção (seca): consumo de água seguindo distribuição Poisson, modelo de remoção de oocistos de *Cryptosporidium* proposto por Lopes (2008) para dados de turbidez do filtro 2, modelos dose-resposta Exponencial com distribuição Triangular, Exponencial com distribuição Uniforme e beta-Poisson, dados não detectados igual a metade do limite de detecção, dados não detectados igual ao limite de detecção, dados não detectados igual a zero.

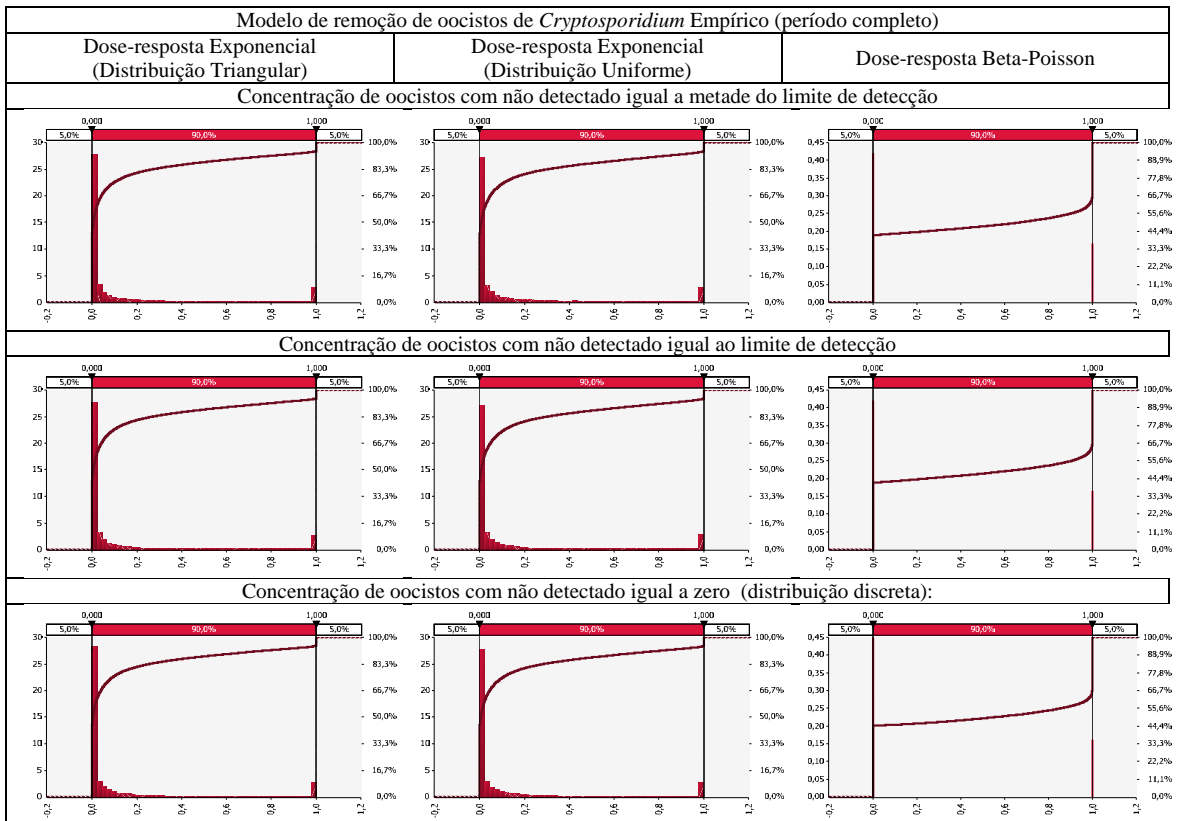


Figura 40- Histogramas das distribuições de probabilidades e curvas de frequência acumulada de riscos anuais de infecção (período completo): consumo de água seguindo distribuição Poisson, modelo de remoção de oocistos de *Cryptosporidium* Empírico para dados de turbidez do filtro 2, modelos dose-resposta Exponencial com distribuição Triangular, Exponencial com distribuição Uniforme e beta-Poisson, dados não detectados igual a metade do limite de detecção, dados não detectados igual ao limite de detecção, dados não detectados igual a zero.

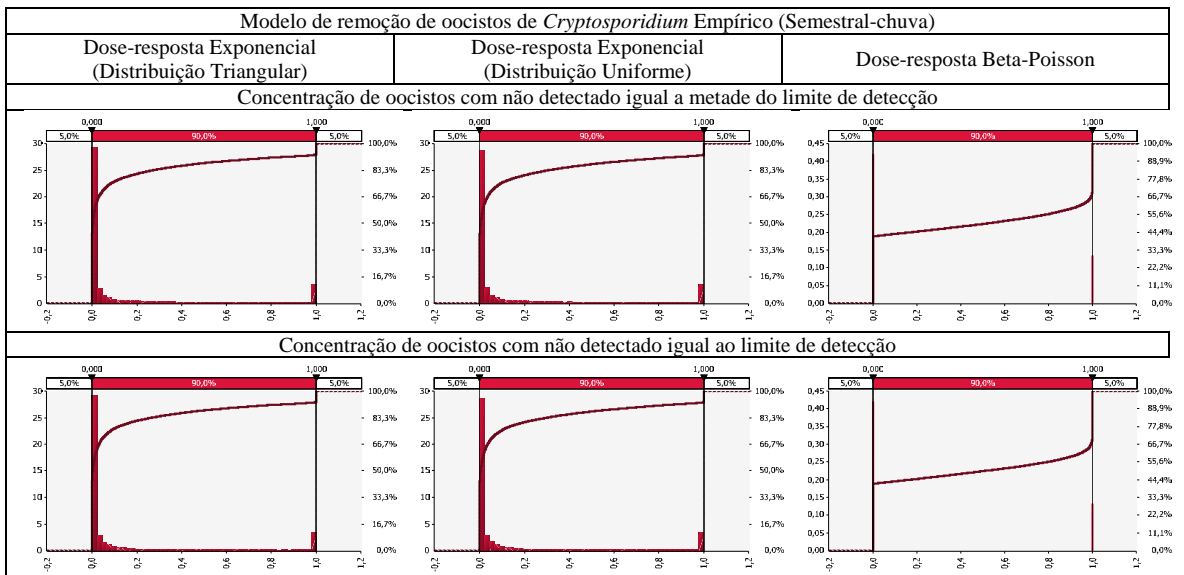


Figura 41- Histogramas das distribuições de probabilidades e curvas de frequência acumulada de riscos semestrais de infecção (chuva): consumo de água seguindo distribuição Poisson, modelo de remoção de oocistos de *Cryptosporidium* Empírico para dados de turbidez do filtro 2, modelos dose-resposta Exponencial com distribuição Triangular, Exponencial com distribuição Uniforme e beta-Poisson, dados não detectados igual a metade do limite de detecção, dados não detectados igual ao limite de detecção, dados não detectados igual a zero (continua).

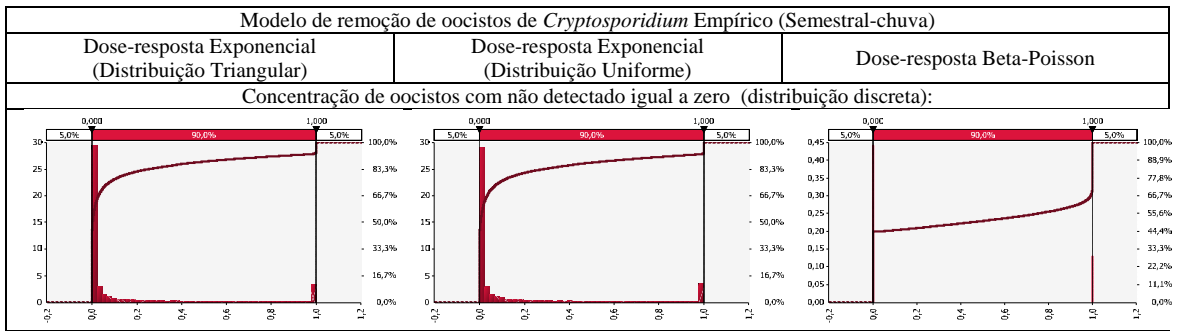


Figura 41- Histogramas das distribuições de probabilidades e curvas de frequência acumulada de riscos semestrais de infecção (chuva): consumo de água seguindo distribuição Poisson, modelo de remoção de oocistos de *Cryptosporidium* Empírico para dados de turbidez do filtro 2, modelos dose-resposta Exponencial com distribuição Triangular, Exponencial com distribuição Uniforme e beta-Poisson, dados não detectados igual a metade do limite de detecção, dados não detectados igual ao limite de detecção, dados não detectados igual a zero (continuação).

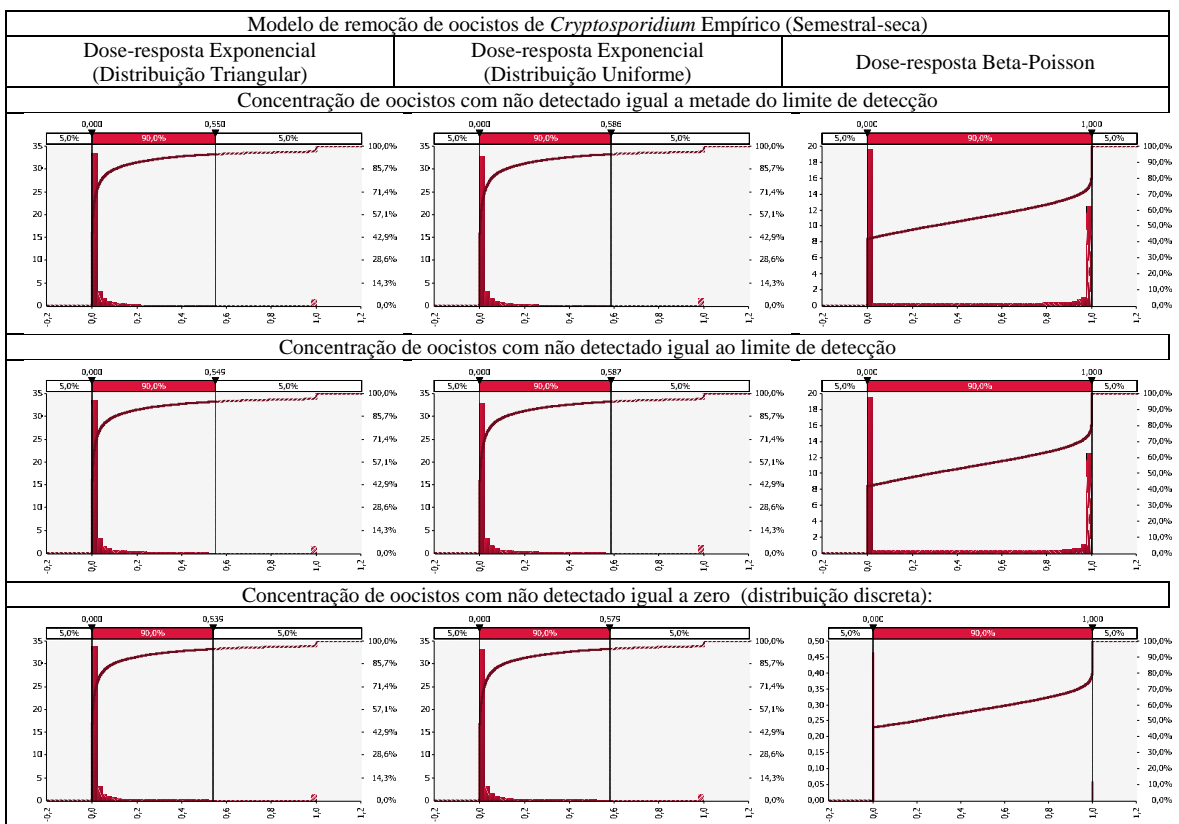


Figura 42- Histogramas das distribuições de probabilidades e curvas de frequência acumulada de riscos semestrais de infecção (seca): consumo de água seguindo distribuição Poisson, modelo de remoção de oocistos de *Cryptosporidium* Empírico para dados de turbidez do filtro 2, modelos dose-resposta Exponencial com distribuição Triangular, Exponencial com distribuição Uniforme e beta-Poisson, dados não detectados igual a metade do limite de detecção, dados não detectados igual ao limite de detecção, dados não detectados igual a zero.

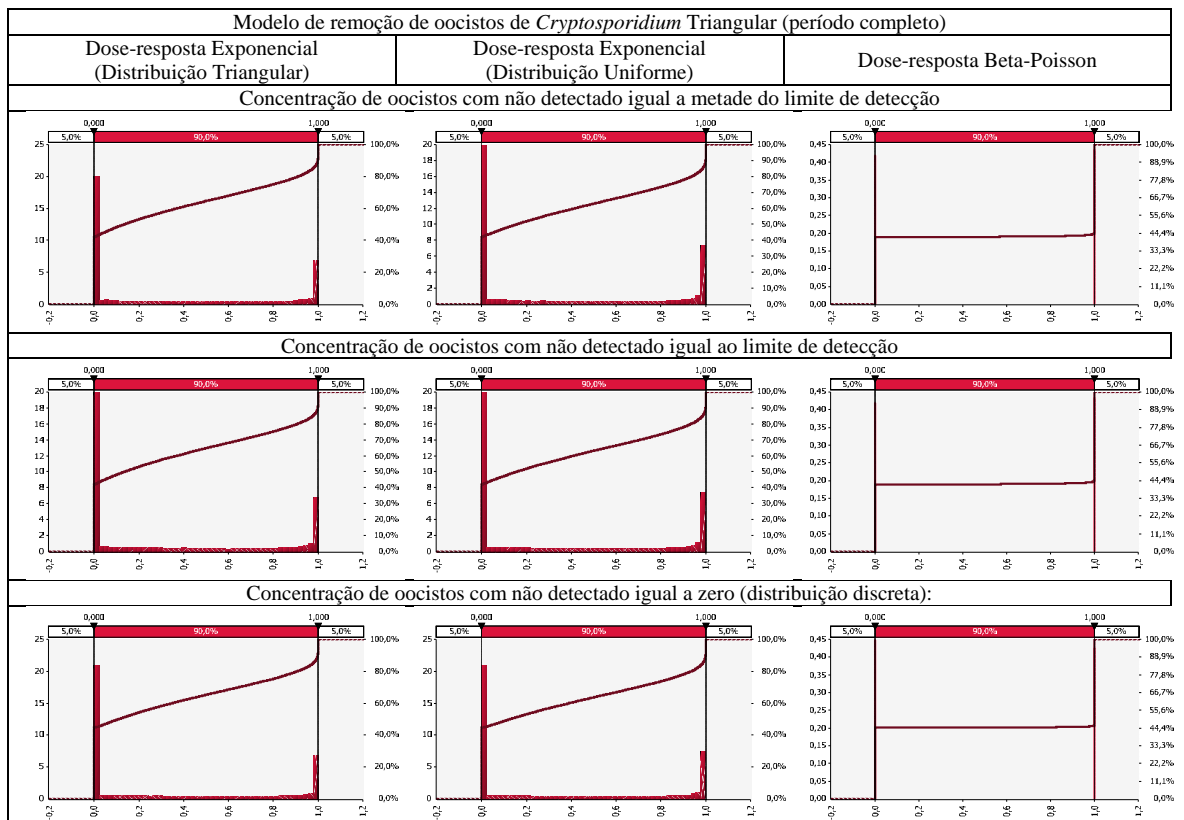


Figura 43- Histogramas das distribuições de probabilidades e curvas de frequência acumulada de riscos anuais de infecção (período completo): consumo de água seguindo distribuição Poisson, modelo de remoção de oocistos de *Cryptosporidium* Triangular para dados de turbidez do filtro 2, modelos dose-resposta Exponencial com distribuição Triangular, Exponencial com distribuição Uniforme e beta-Poisson, dados não detectados igual a metade do limite de detecção, dados não detectados igual ao limite de detecção, dados não detectados igual a zero.

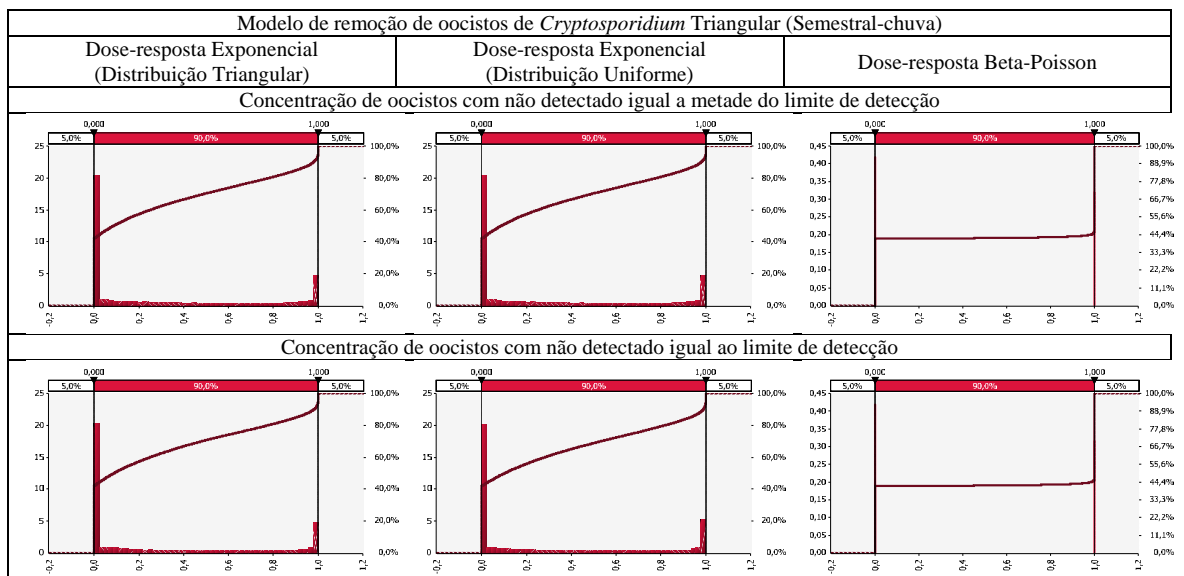


Figura 44- Histogramas das distribuições de probabilidades e curvas de frequência acumulada de riscos semestrais de infecção (chuva): consumo de água seguindo distribuição Poisson, modelo de remoção de oocistos de *Cryptosporidium* Triangular para dados de turbidez do filtro 2, modelos dose-resposta Exponencial com distribuição Triangular, Exponencial com distribuição Uniforme e beta-Poisson, dados não detectados igual a metade do limite de detecção, dados não detectados igual ao limite de detecção, dados não detectados igual a zero (continua).

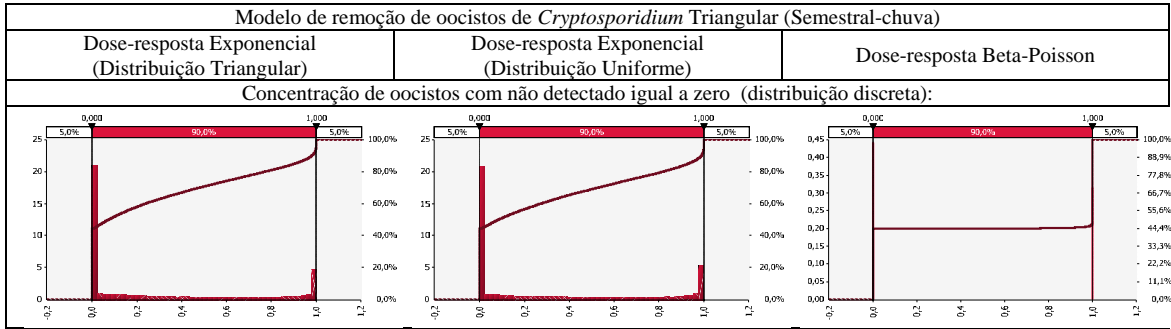


Figura 44- Histogramas das distribuições de probabilidades e curvas de frequência acumulada de riscos semestrais de infecção (chuva): consumo de água seguindo distribuição Poisson, modelo de remoção de oocistos de *Cryptosporidium* Triangular para dados de turbidez do filtro 2, modelos dose-resposta Exponencial com distribuição Triangular, Exponencial com distribuição Uniforme e beta-Poisson, dados não detectados igual a metade do limite de detecção, dados não detectados igual a zero (continuação).

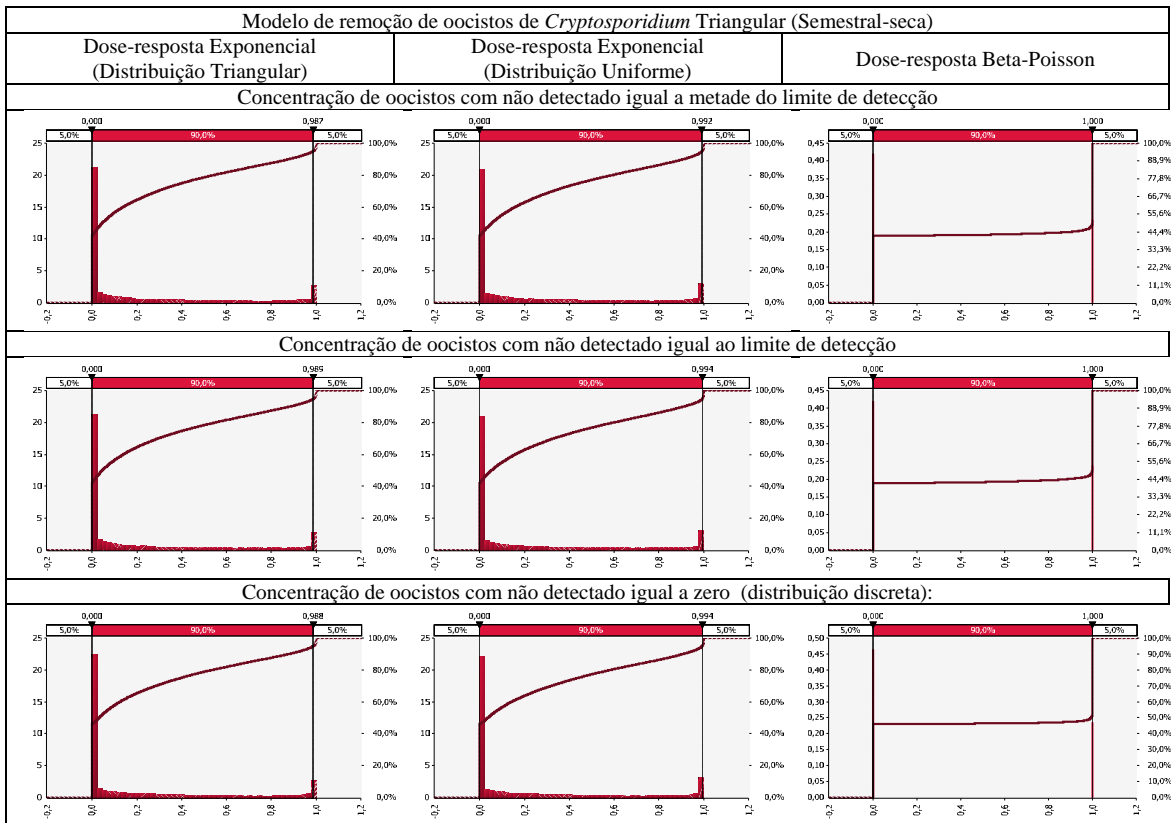


Figura 45- Histogramas das distribuições de probabilidades e curvas de frequência acumulada de riscos semestrais de infecção (seca): consumo de água seguindo distribuição Poisson, modelo de remoção de oocistos de *Cryptosporidium* Triangular para dados de turbidez do filtro 2, modelos dose-resposta Exponencial com distribuição Triangular, Exponencial com distribuição Uniforme e beta-Poisson, dados não detectados igual a metade do limite de detecção, dados não detectados igual ao limite de detecção, dados não detectados igual a zero.

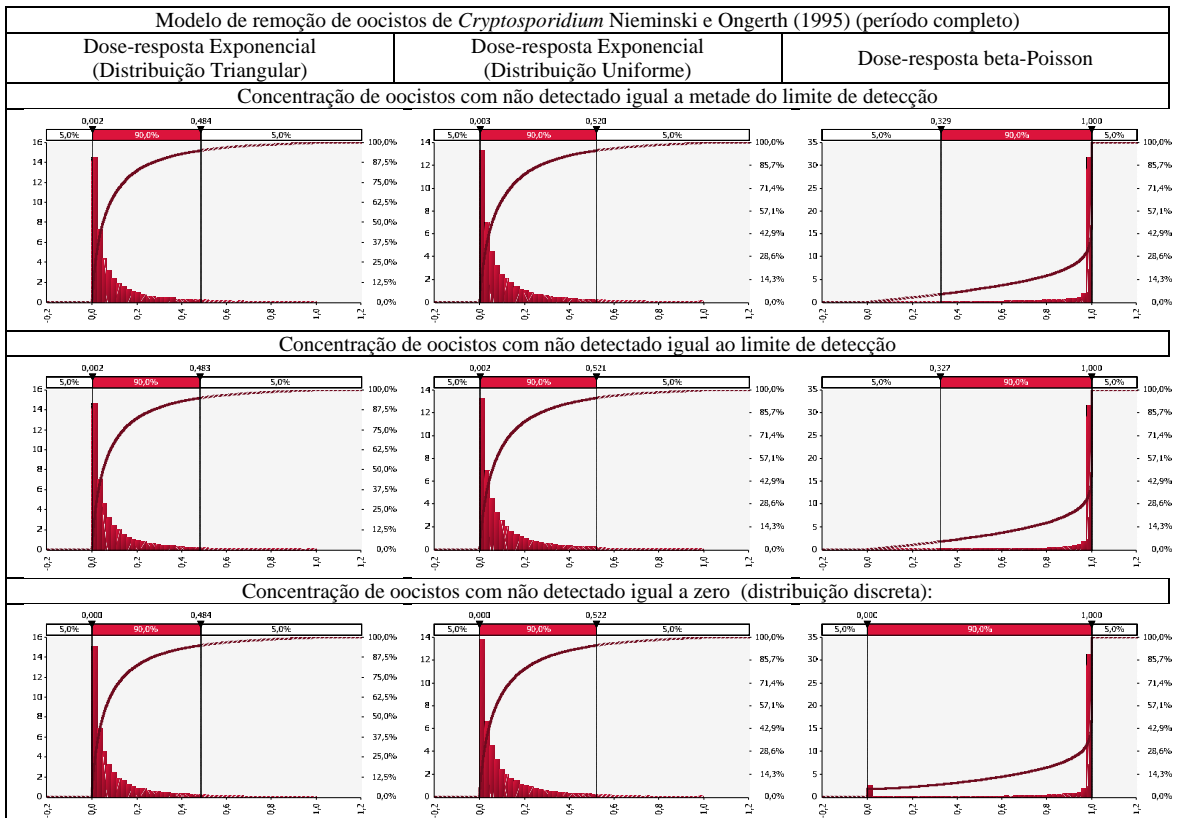


Figura 46- Histogramas das distribuições de probabilidades e curvas de frequência acumulada de riscos anuais de infecção (período completo): consumo de água seguindo distribuição Triangular, modelo de remoção de oocistos de *Cryptosporidium* proposto por Nieminski e Ongerth (1995) para dados de turbidez do filtro 2, modelos dose-resposta Exponencial com distribuição Triangular, Exponencial com distribuição Uniforme e beta-Poisson, dados não detectados igual a metade do limite de detecção, dados não detectados igual ao limite de detecção, dados não detectados igual a zero.

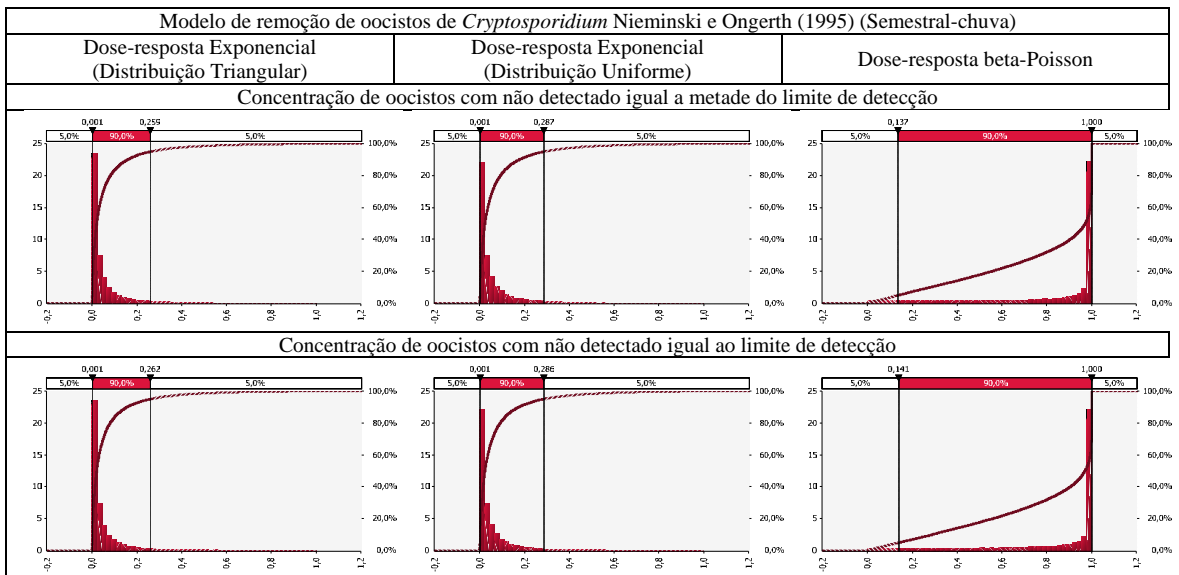


Figura 47- Histogramas das distribuições de probabilidades e curvas de frequência acumulada de riscos semestrais de infecção (chuva): consumo de água seguindo distribuição Triangular, modelo de remoção de oocistos de *Cryptosporidium* proposto por Nieminski e Ongerth (1995) para dados de turbidez do filtro 2, modelos dose-resposta Exponencial com distribuição Triangular, Exponencial com distribuição Uniforme e beta-Poisson, dados não detectados igual a metade do limite de detecção, dados não detectados igual ao limite de detecção, dados não detectados igual a zero (continua).

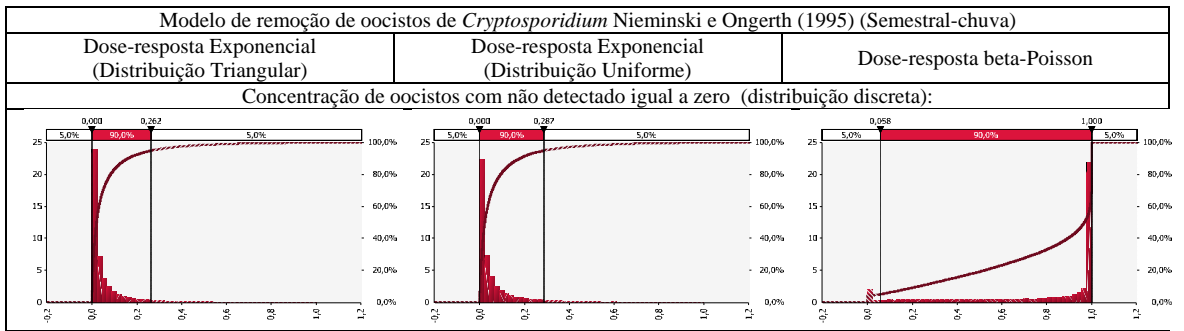


Figura 47- Histogramas das distribuições de probabilidades e curvas de frequência acumulada de riscos semestrais de infecção (chuva): consumo de água seguindo distribuição Triangular, modelo de remoção de oocistos de *Cryptosporidium* proposto por Nieminski e Ongerth (1995) para dados de turbidez do filtro 2, modelos dose-resposta Exponencial com distribuição Triangular, Exponencial com distribuição Uniforme e beta-Poisson, dados não detectados igual a metade do limite de detecção, dados não detectados igual ao limite de detecção, dados não detectados igual a zero (continuação).

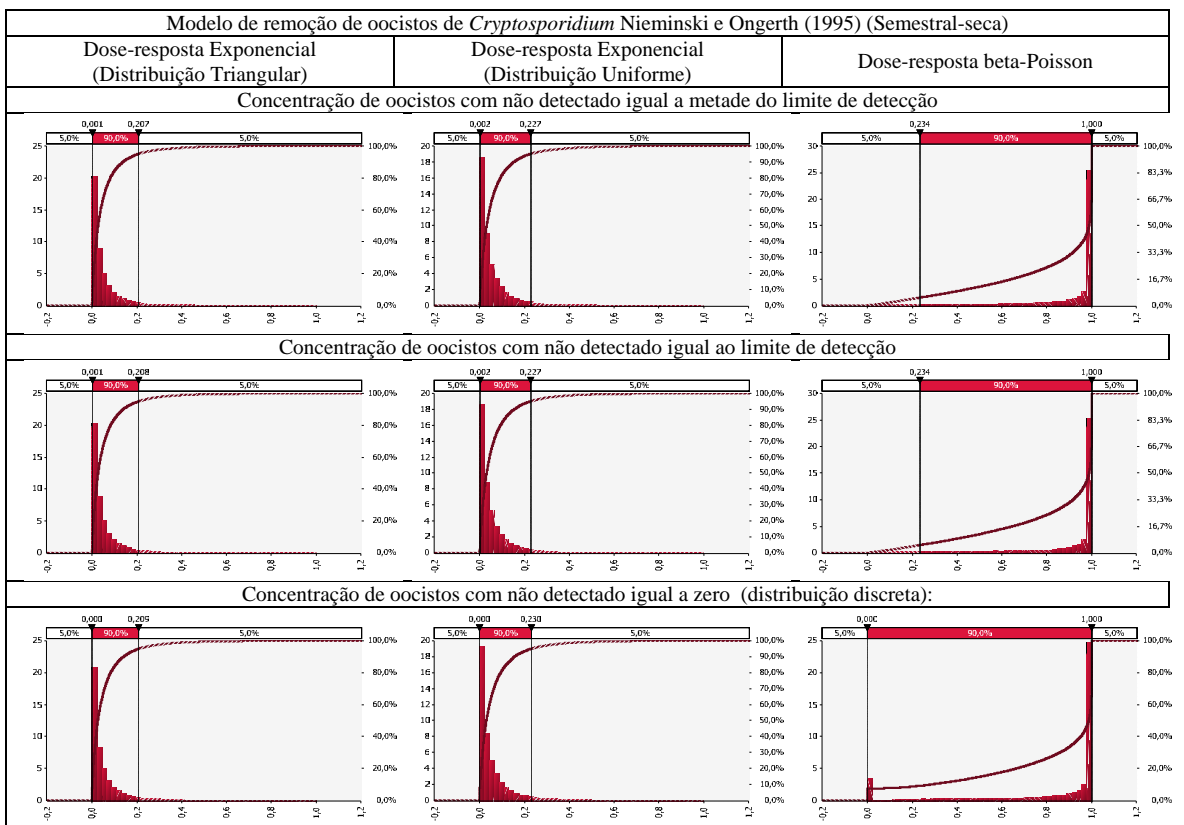


Figura 48- Histogramas das distribuições de probabilidades e curvas de frequência acumulada de riscos semestrais de infecção (seca): consumo de água seguindo distribuição Triangular, modelo de remoção de oocistos de *Cryptosporidium* proposto por Nieminski e Ongerth (1995) para dados de turbidez do filtro 2, modelos dose-resposta Exponencial com distribuição Triangular, Exponencial com distribuição Uniforme e beta-Poisson, dados não detectados igual a metade do limite de detecção, dados não detectados igual ao limite de detecção, dados não detectados igual a zero.

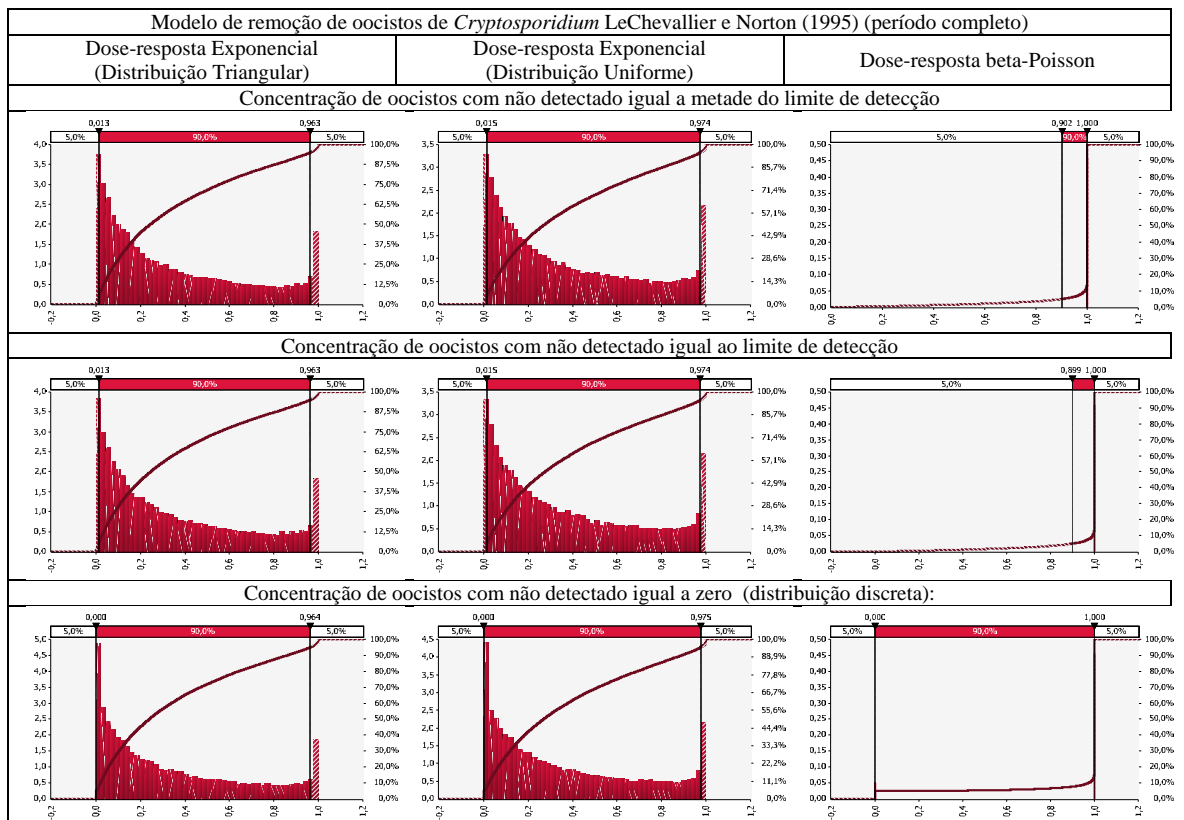


Figura 49- Histogramas das distribuições de probabilidades e curvas de frequência acumulada de riscos anuais de infecção (período completo): consumo de água seguindo distribuição Triangular, modelo de remoção de oocistos de *Cryptosporidium* proposto por LeChevallier e Norton (1995) para dados de turbidez do filtro 2, modelos dose-resposta Exponencial com distribuição Triangular, Exponencial com distribuição Uniforme e beta-Poisson, dados não detectados igual a metade do limite de detecção, dados não detectados igual ao limite de detecção, dados não detectados igual a zero.

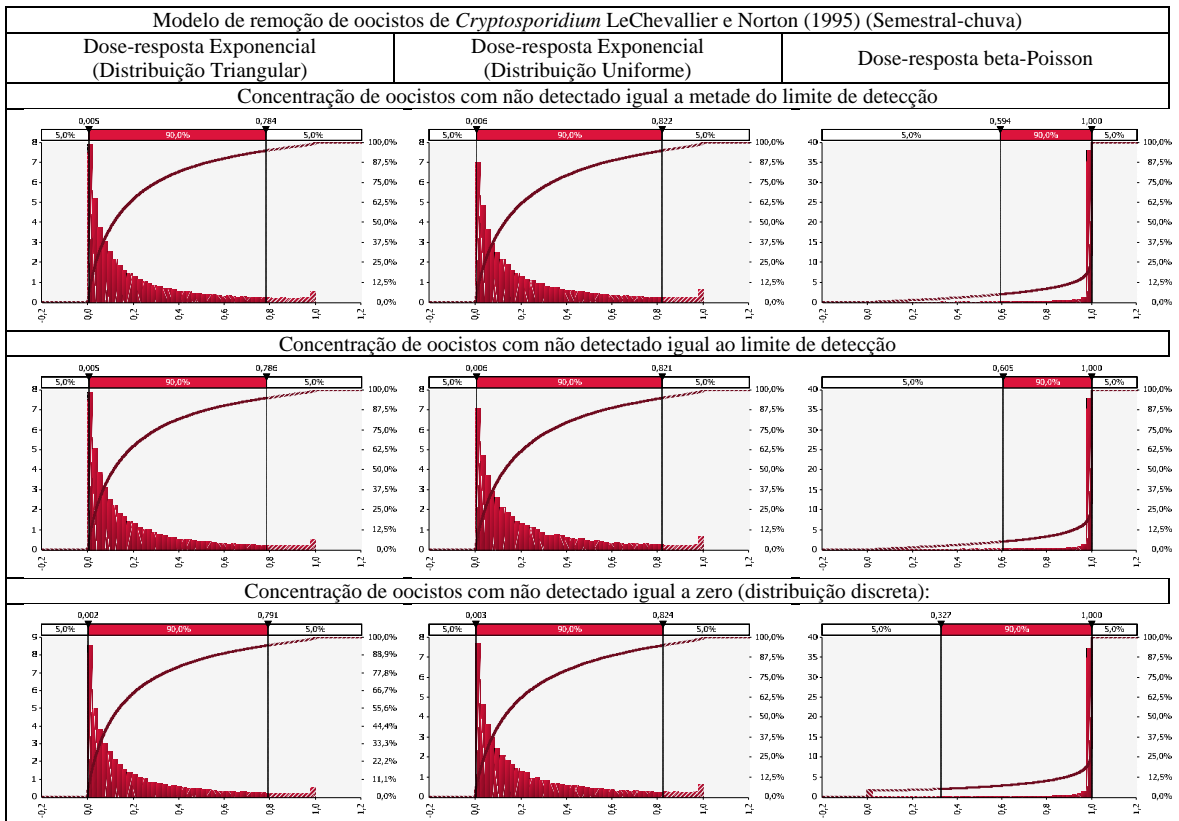


Figura 50- Histogramas das distribuições de probabilidades e curvas de frequência acumulada de riscos semestrais de infecção (chuva): consumo de água segundo distribuição Triangular, modelo de remoção de oocistos de *Cryptosporidium* proposto por LeChevallier e Norton (1995) para dados de turbidez do filtro 2, modelos dose-resposta Exponencial com distribuição Triangular, Exponencial com distribuição Uniforme e beta-Poisson, dados não detectados igual a metade do limite de detecção, dados não detectados igual ao limite de detecção, dados não detectados igual a zero.

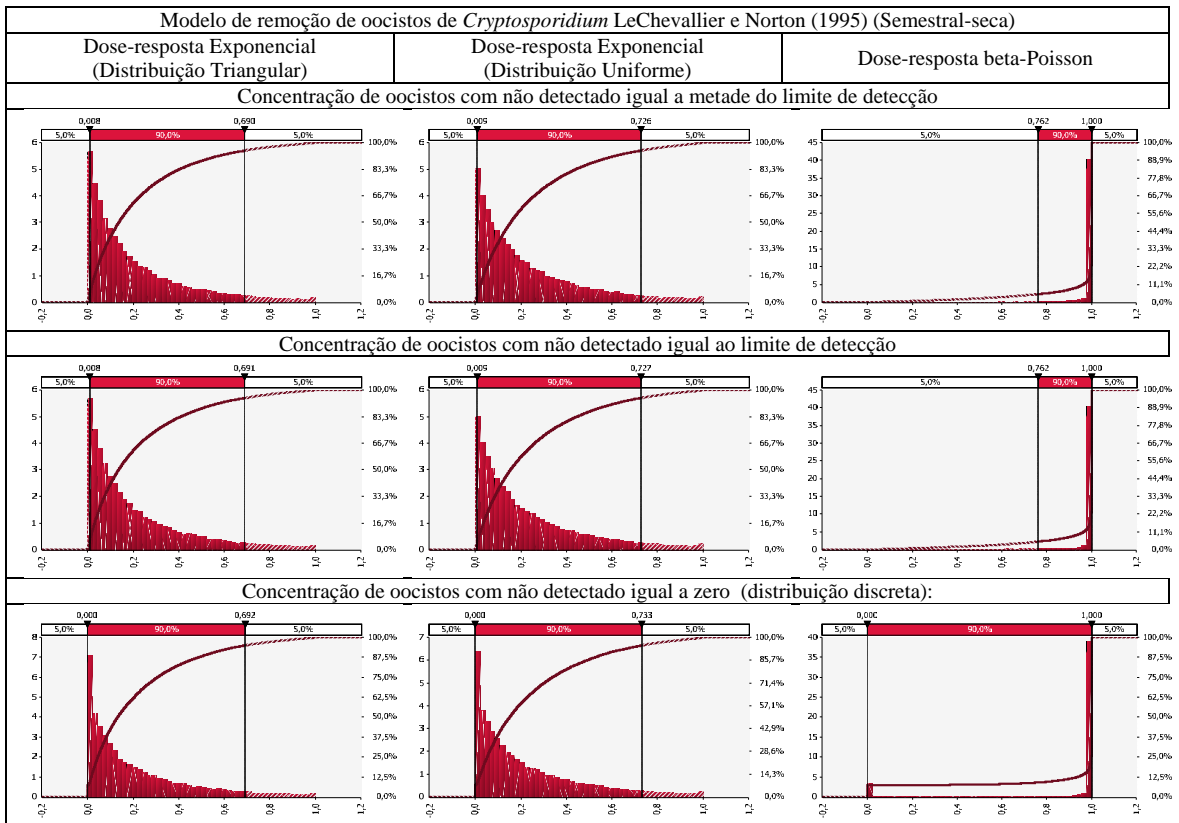


Figura 51- Histogramas das distribuições de probabilidades e curvas de frequência acumulada de riscos semestrais de infecção (seca): consumo de água seguindo distribuição Triangular, modelo de remoção de oocistos de *Cryptosporidium* proposto por LeChevallier e Norton (1995) para dados de turbidez do filtro 2, modelos dose-resposta Exponencial com distribuição Triangular, Exponencial com distribuição Uniforme e beta-Poisson, dados não detectados igual a metade do limite de detecção, dados não detectados igual ao limite de detecção, dados não detectados igual a zero.

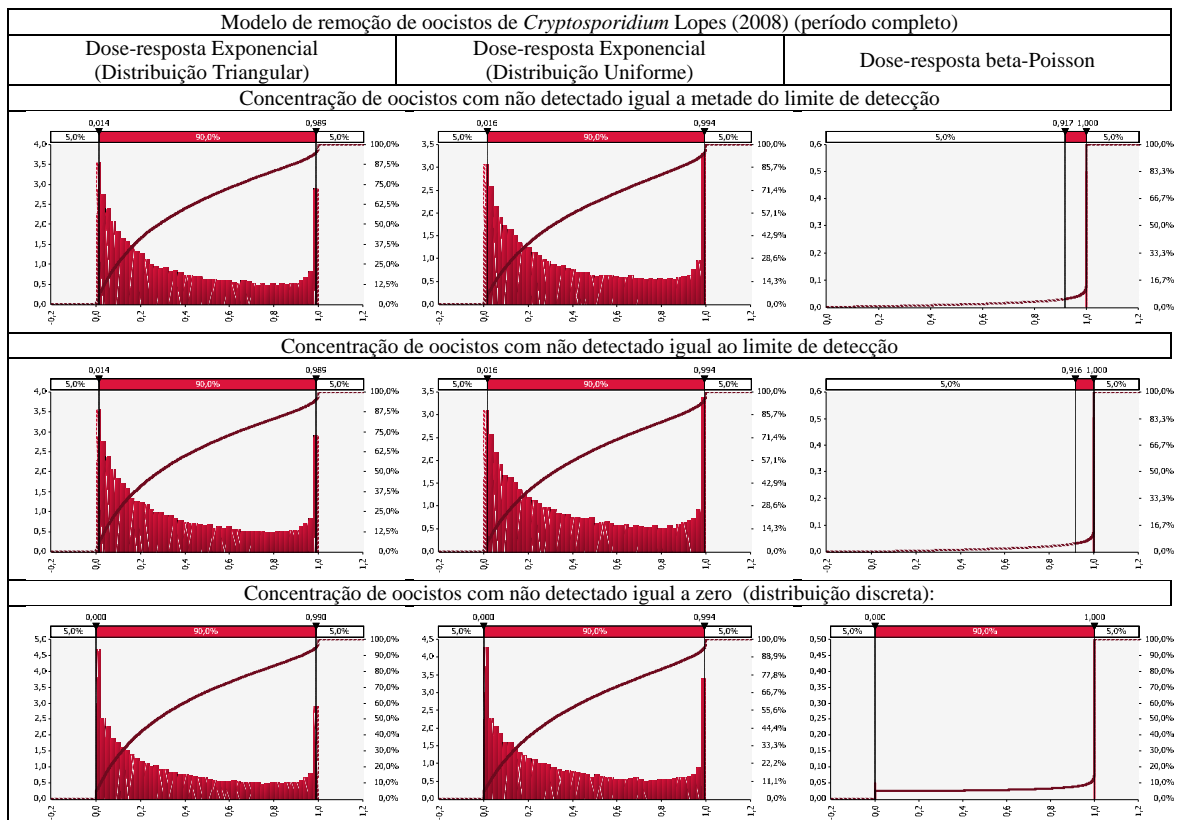


Figura 52- Histogramas das distribuições de probabilidades e curvas de frequência acumulada de riscos anuais de infecção (período completo): consumo de água seguindo distribuição Triangular, modelo de remoção de oocistos de *Cryptosporidium* proposto por Lopes (2008) para dados de turbidez do filtro 2, modelos dose-resposta Exponencial com distribuição Triangular, Exponencial com distribuição Uniforme e beta-Poisson, dados não detectados igual a metade do limite de detecção, dados não detectados igual ao limite de detecção, dados não detectados igual a zero.

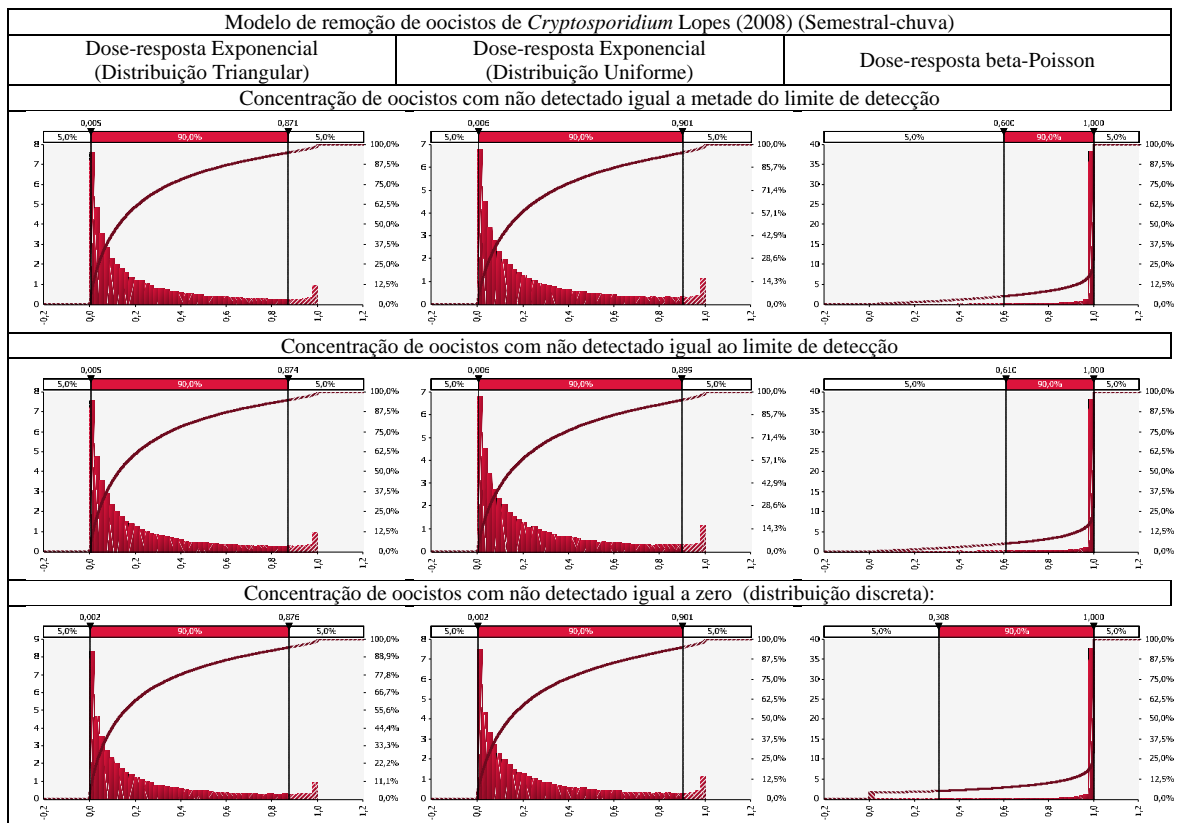


Figura 53- Histogramas das distribuições de probabilidades e curvas de frequência acumulada de riscos semestrais de infecção (chuva): consumo de água segundo distribuição Triangular, modelo de remoção de oocistos de *Cryptosporidium* proposto por Lopes (2008) para dados de turbidez do filtro 2, modelos dose-resposta Exponencial com distribuição Triangular, Exponencial com distribuição Uniforme e beta-Poisson, dados não detectados igual a metade do limite de detecção, dados não detectados igual ao limite de detecção, dados não detectados igual a zero.

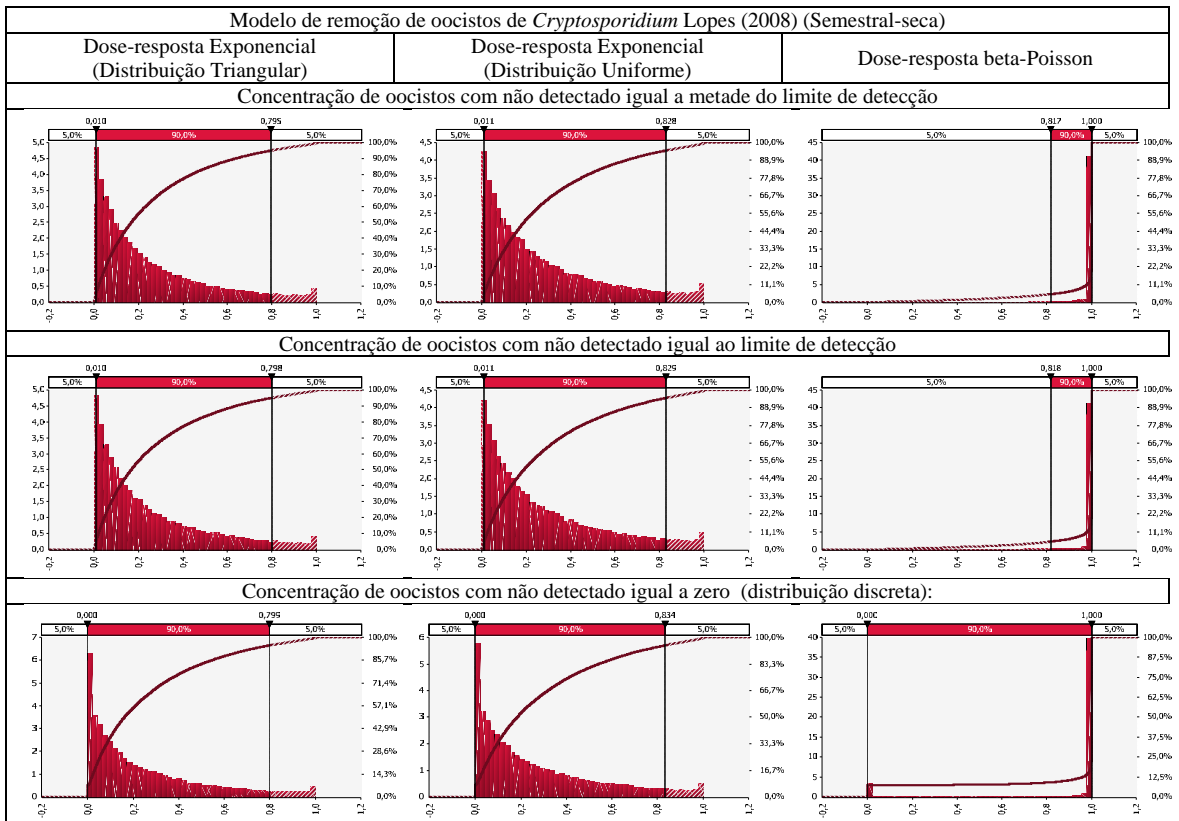


Figura 54- Histogramas das distribuições de probabilidades e curvas de frequência acumulada de riscos semestrais de infecção (seca): consumo de água seguindo distribuição Triangular, modelo de remoção de oocistos de *Cryptosporidium* proposto por Lopes (2008) para dados de turbidez do filtro 2, modelos dose-resposta Exponencial com distribuição Triangular, Exponencial com distribuição Uniforme e beta-Poisson, dados não detectados igual a metade do limite de detecção, dados não detectados igual ao limite de detecção, dados não detectados igual a zero.

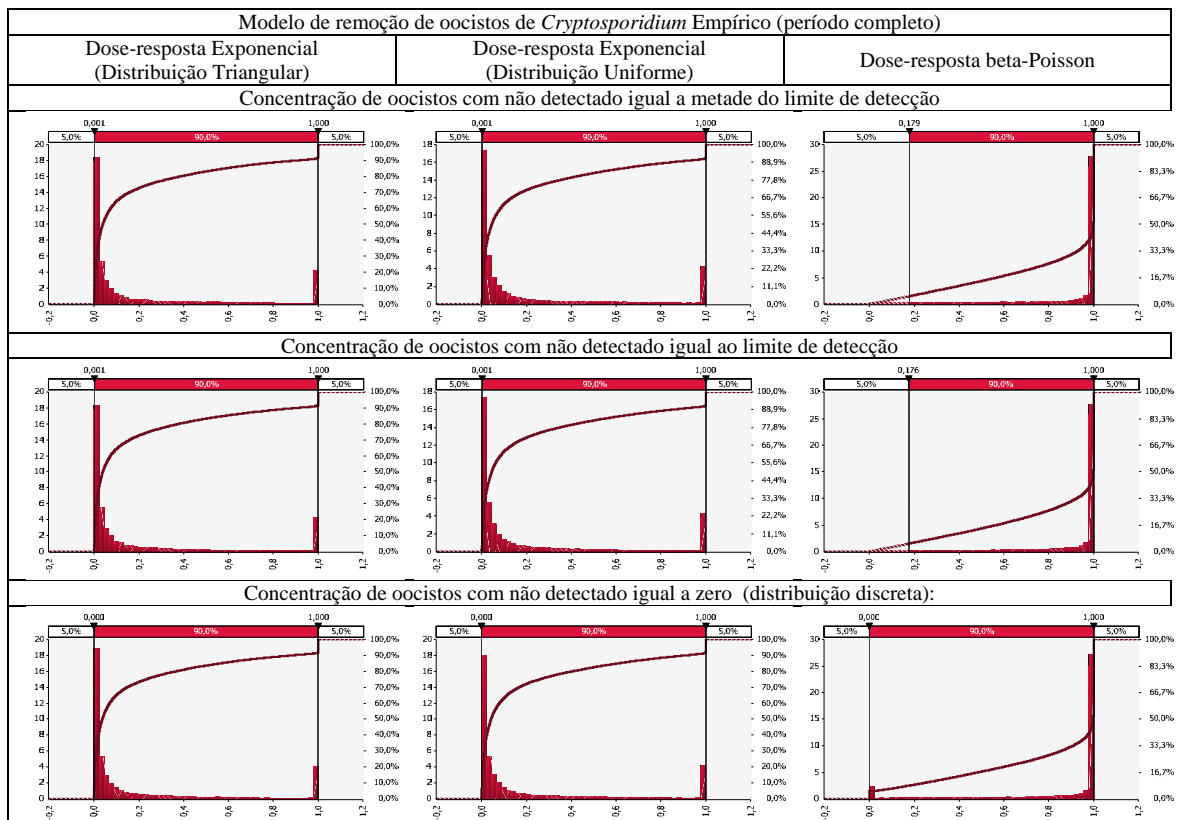


Figura 55- Histogramas das distribuições de probabilidades e curvas de frequência acumulada de riscos anuais de infecção (período completo): consumo de água seguindo distribuição Triangular, modelo de remoção de oocistos de *Cryptosporidium* Empírico para dados de turbidez do filtro 2, modelos dose-resposta Exponencial com distribuição Triangular, Exponencial com distribuição Uniforme e beta-Poisson, dados não detectados igual a metade do limite de detecção, dados não detectados igual ao limite de detecção, dados não detectados igual a zero.

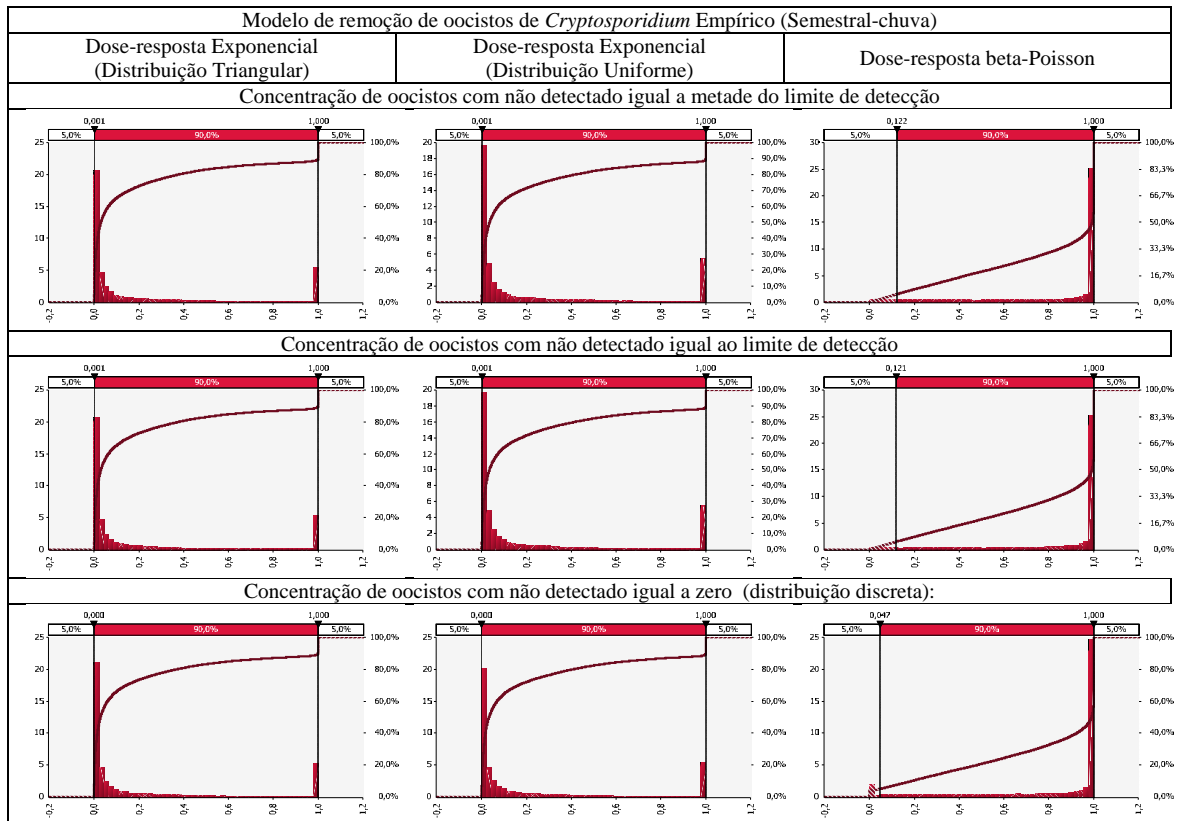


Figura 56- Histogramas das distribuições de probabilidades e curvas de frequência acumulada de riscos semestrais de infecção (chuva): consumo de água seguindo distribuição Triangular, modelo de remoção de oocistos de *Cryptosporidium* Empírico para dados de turbidez do filtro 2, modelos dose-resposta Exponencial com distribuição Triangular, Exponencial com distribuição Uniforme e beta-Poisson, dados não detectados igual a metade do limite de detecção, dados não detectados igual ao limite de detecção, dados não detectados igual a zero.

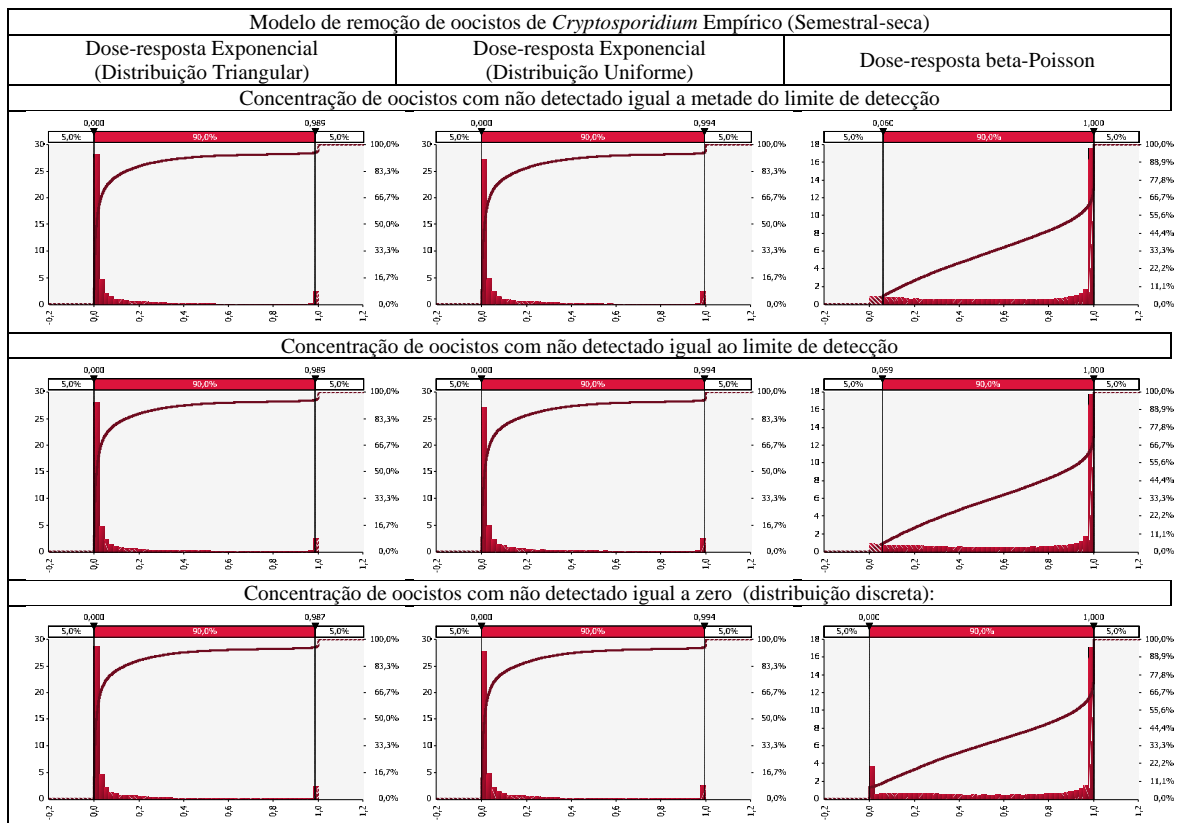


Figura 57- Histogramas das distribuições de probabilidades e curvas de frequência acumulada de riscos semestrais de infecção (seca): consumo de água seguindo distribuição Triangular, modelo de remoção de oocistos de *Cryptosporidium* Empírico para dados de turbidez do filtro 2, modelos dose-resposta Exponencial com distribuição Triangular, Exponencial com distribuição Uniforme e beta-Poisson, dados não detectados igual a metade do limite de detecção, dados não detectados igual ao limite de detecção, dados não detectados igual a zero.

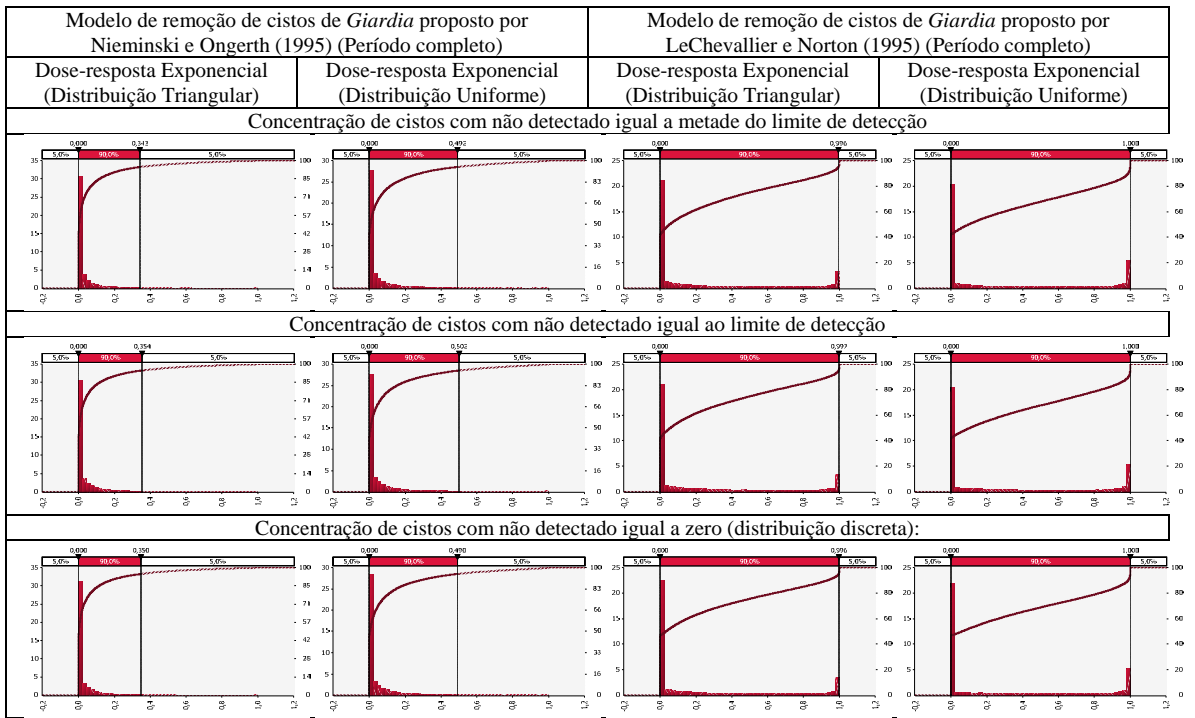


Figura 58- Histogramas das distribuições de probabilidades e curvas de frequência acumulada de riscos anuais de infecção (período completo): consumo de água seguindo distribuição Poisson, modelos de remoção de cistos de *Giardia* proposto por Nieminski e Ongerth (1995) e LeChevallier e Norton (1995) para dados de turbidez do filtro 1, modelos dose-resposta: Exponencial com distribuição Triangular, Exponencial com distribuição Uniforme. Dados na detectados igual a metade do limite de detecção, dados não detectados igual ao limite de detecção, dados não detectados igual a zero.

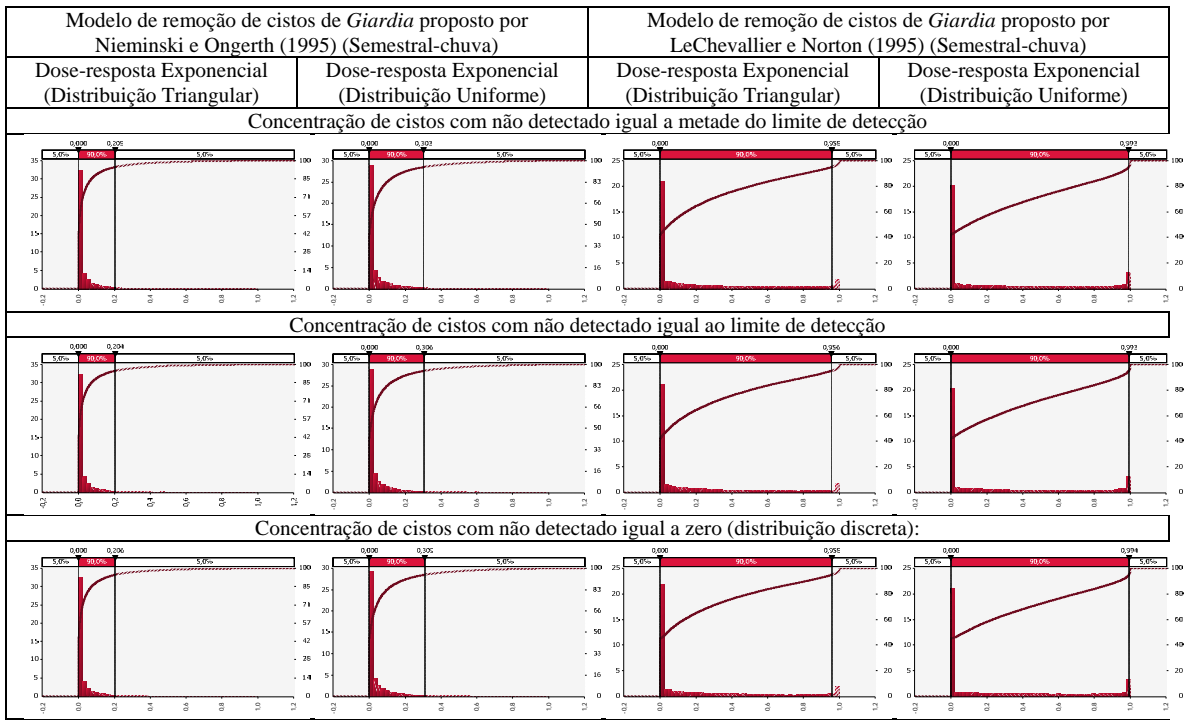


Figura 59- Histogramas das distribuições de probabilidades e curvas de frequência acumulada de riscos anuais de infecção (Semestral-chuva): consumo de água seguindo distribuição Poisson, modelos de remoção de cistos de *Giardia* proposto por Nieminski e Ongerth (1995) e LeChevallier e Norton (1995) para dados de turbidez do filtro 1, modelos dose-resposta: Exponencial com distribuição Triangular, Exponencial com distribuição Uniforme. Dados na detectados igual a metade do limite de detecção, dados não detectados igual ao limite de detecção, dados não detectados igual a zero.

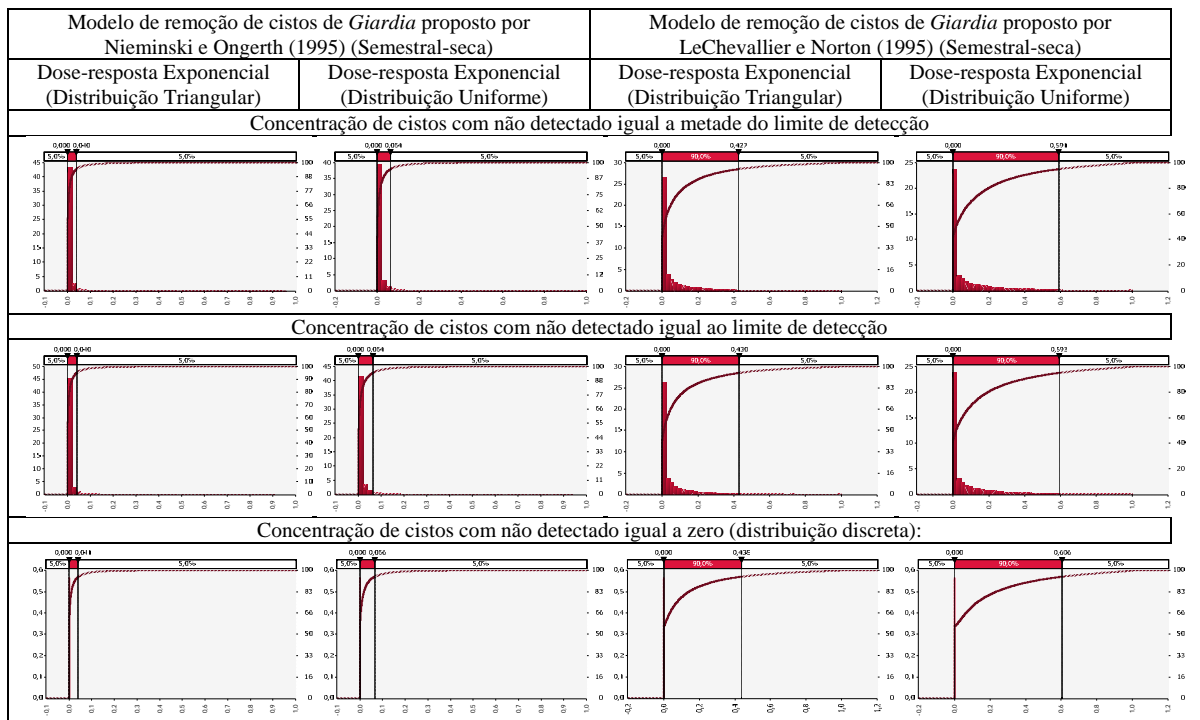


Figura 60- Histogramas das distribuições de probabilidades e curvas de frequência acumulada de riscos anuais de infecção (Semestral-seca): consumo de água seguindo distribuição Poisson, modelos de remoção de cistos de *Giardia* proposto por Nieminski e Ongerth (1995) e LeChevallier e Norton (1995) para dados de turbidez do filtro 1, modelos dose-resposta: Exponencial com distribuição Triangular, Exponencial com distribuição Uniforme. Dados na detectados igual a metade do limite de detecção, dados não detectados igual ao limite de detecção, dados não detectados igual a zero.

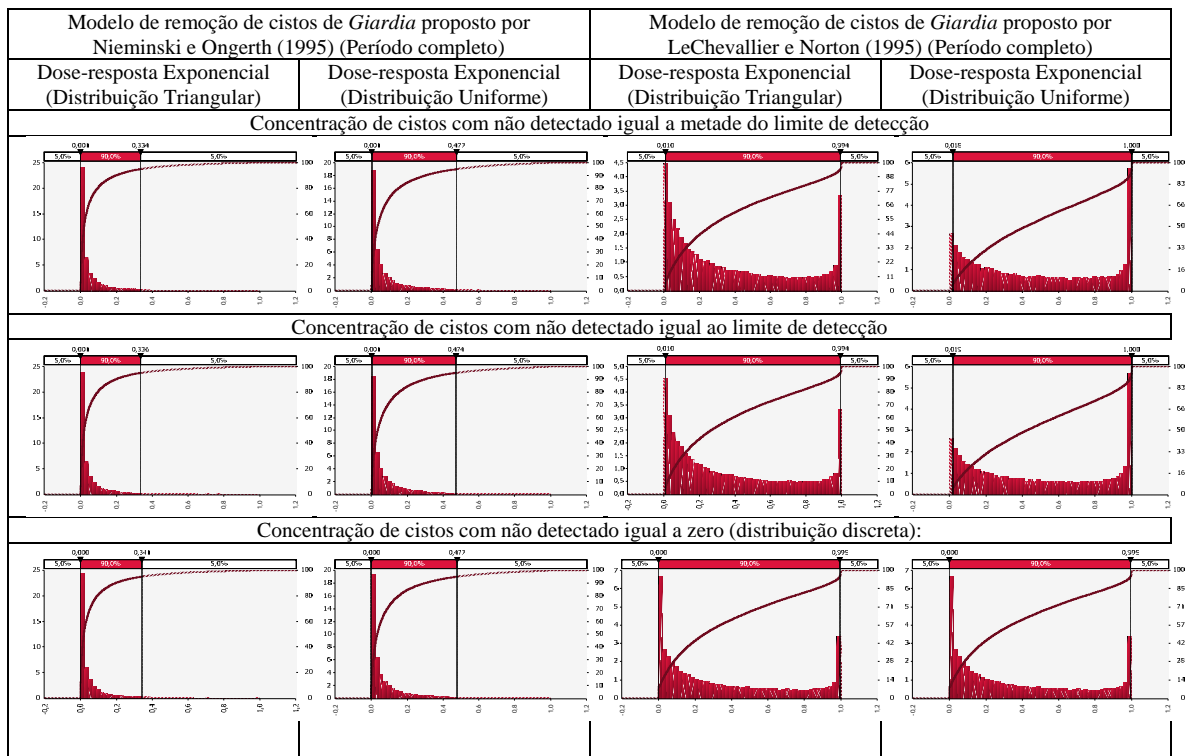


Figura 61- Histogramas das distribuições de probabilidades e curvas de frequência acumulada de riscos anuais de infecção (período completo): consumo de água seguindo distribuição Triangular, modelos de remoção de cistos de *Giardia* proposto por Nieminski e Ongerth (1995) e LeChevallier e Norton (1995) para dados de turbidez do filtro 1, modelos dose-resposta: Exponencial com distribuição Triangular, Exponencial com distribuição Uniforme. Dados na detectados igual a metade do limite de detecção, dados não detectados igual ao limite de detecção, dados não detectados igual a zero.

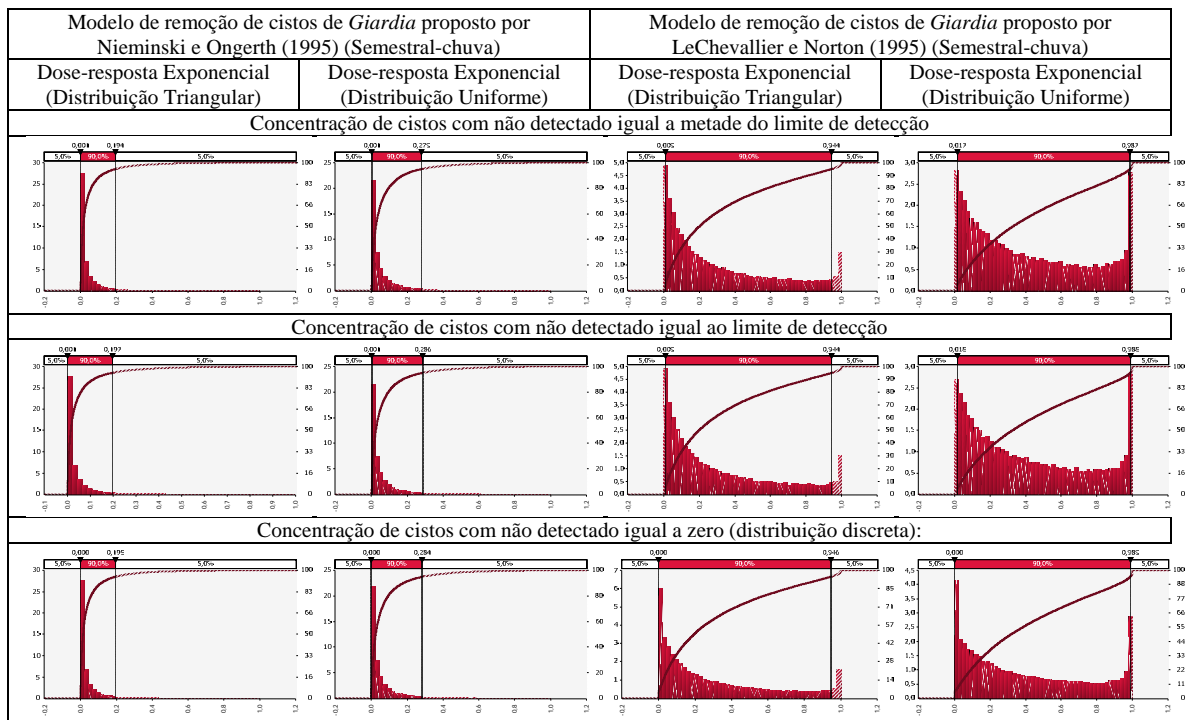


Figura 62- Histogramas das distribuições de probabilidades e curvas de frequência acumulada de riscos anuais de infecção (Semestral-chuva): consumo de água seguindo distribuição Triangular, modelos de remoção de cistos de *Giardia* proposto por Nieminski e Ongerth (1995) e LeChevallier e Norton (1995) para dados de turbidez do filtro 1, modelos dose-resposta: Exponencial com distribuição Triangular, Exponencial com distribuição Uniforme. Dados na detectados igual a metade do limite de detecção, dados não detectados igual ao limite de detecção, dados não detectados igual a zero.

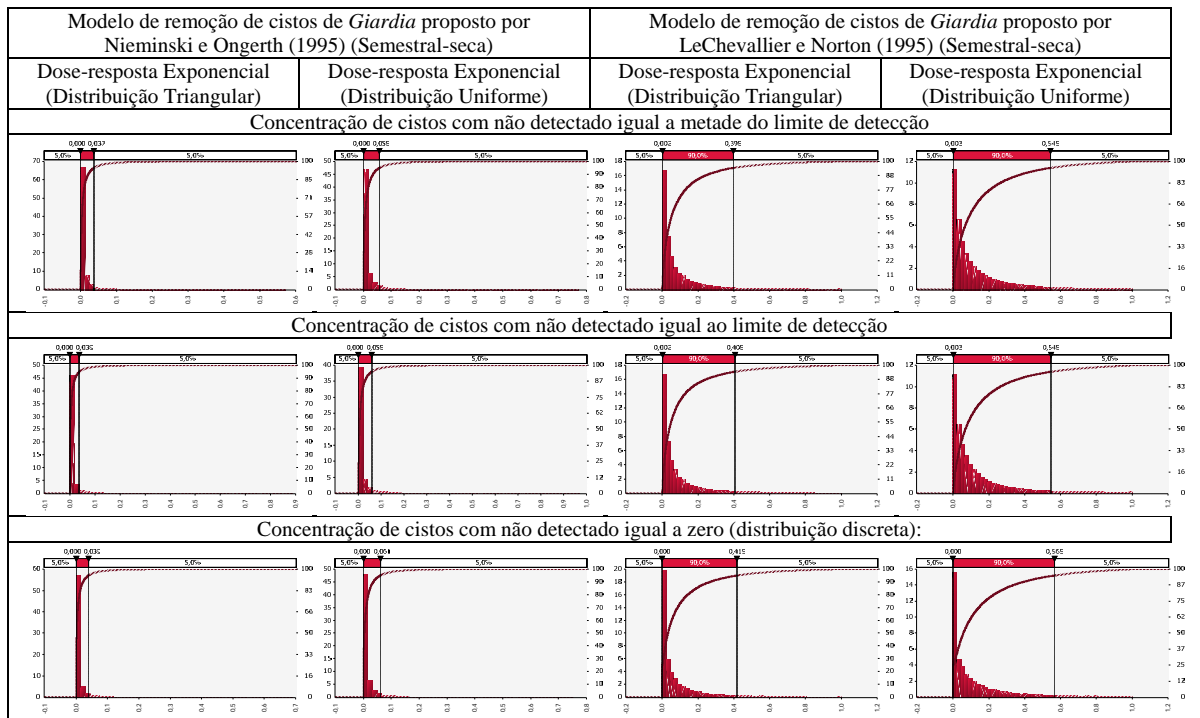


Figura 63- Histogramas das distribuições de probabilidades e curvas de frequência acumulada de riscos anuais de infecção (Semestral-seca): consumo de água seguindo distribuição Triangular, modelos de remoção de cistos de *Giardia* proposto por Nieminski e Ongerth (1995) e LeChevallier e Norton (1995) para dados de turbidez do filtro 1, modelos dose-resposta: Exponencial com distribuição Triangular, Exponencial com distribuição Uniforme. Dados na detectados igual a metade do limite de detecção, dados não detectados igual ao limite de detecção, dados não detectados igual a zero.

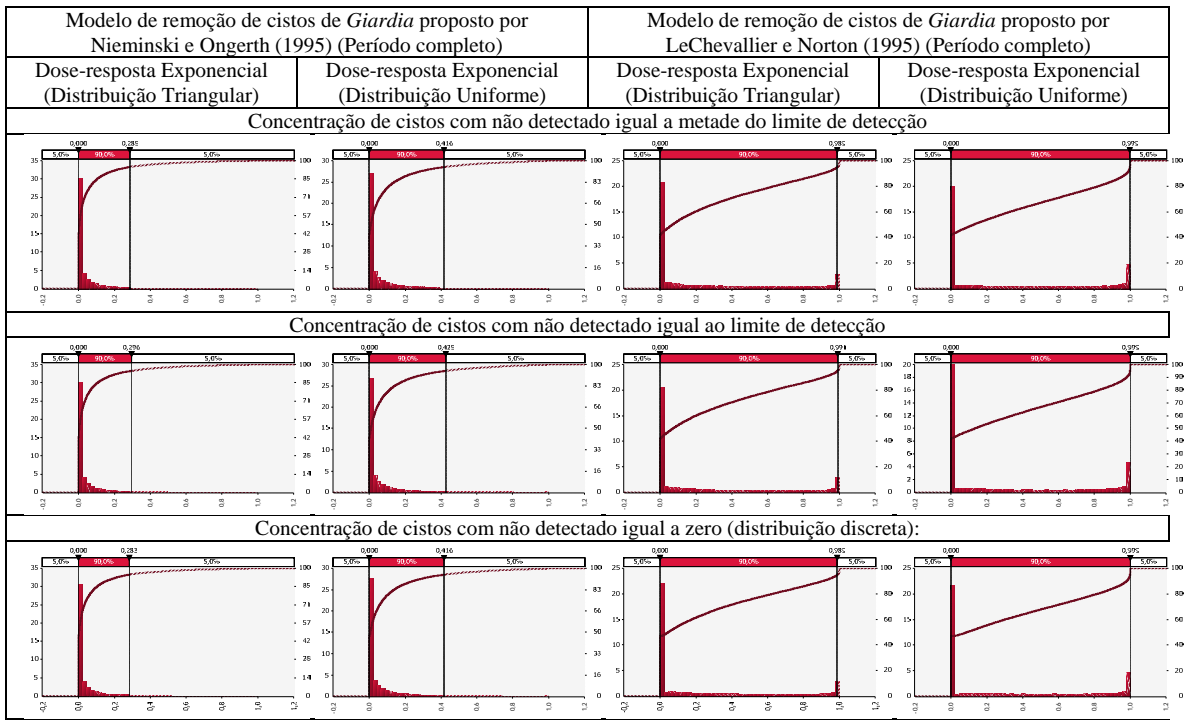


Figura 64- Histogramas das distribuições de probabilidades e curvas de frequência acumulada de riscos anuais de infecção (período completo): consumo de água seguindo distribuição Poisson, modelos de remoção de cistos de *Giardia* proposto por Nieminski e Ongerth (1995) e LeChevallier e Norton (1995) para dados de turbidez do filtro 2, modelos dose-resposta: Exponencial com distribuição Triangular, Exponencial com distribuição Uniforme. Dados na detectados igual a metade do limite de detecção, dados não detectados igual ao limite de detecção, dados não detectados igual a zero.

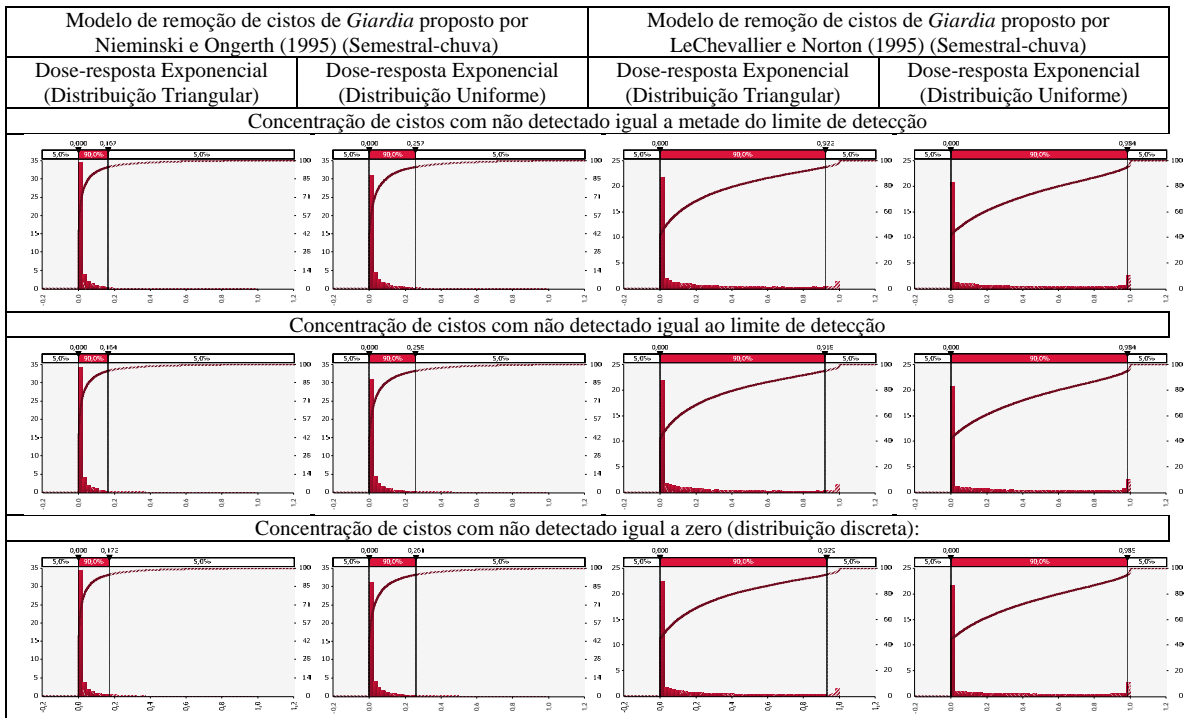


Figura 65- Histogramas das distribuições de probabilidades e curvas de frequência acumulada de riscos anuais de infecção (Semestral-chuva): consumo de água seguindo distribuição Poisson, modelos de remoção de cistos de *Giardia* proposto por Nieminski e Ongerth (1995) e LeChevallier e Norton (1995) para dados de turbidez do filtro 2, modelos dose-resposta: Exponencial com distribuição Triangular, Exponencial com distribuição Uniforme. Dados na detectados igual a metade do limite de detecção, dados não detectados igual ao limite de detecção, dados não detectados igual a zero.

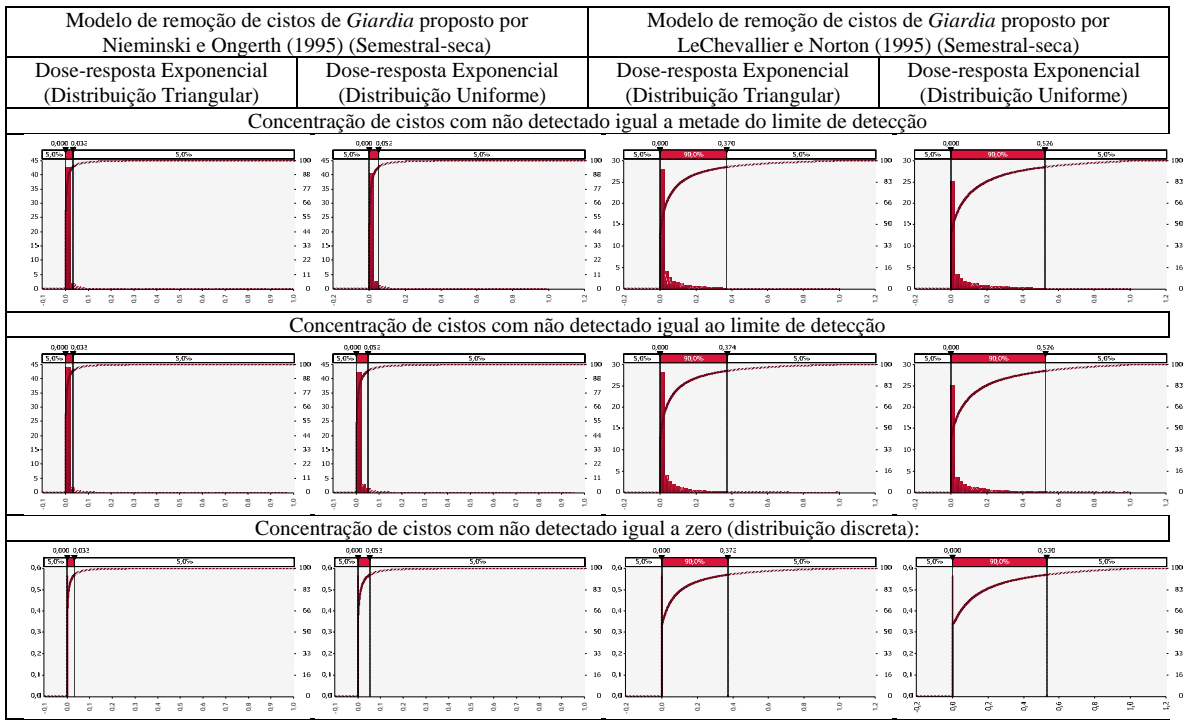


Figura 66- Histogramas das distribuições de probabilidades e curvas de frequência acumulada de riscos anuais de infecção (Semestral-seca): consumo de água seguindo distribuição Poisson, modelos de remoção de cistos de *Giardia* proposto por Nieminski e Ongerth (1995) e LeChevallier e Norton (1995) para dados de turbidez do filtro 2, modelos dose-resposta: Exponencial com distribuição Triangular, Exponencial com distribuição Uniforme. Dados na detectados igual a metade do limite de detecção, dados não detectados igual ao limite de detecção, dados não detectados igual a zero.

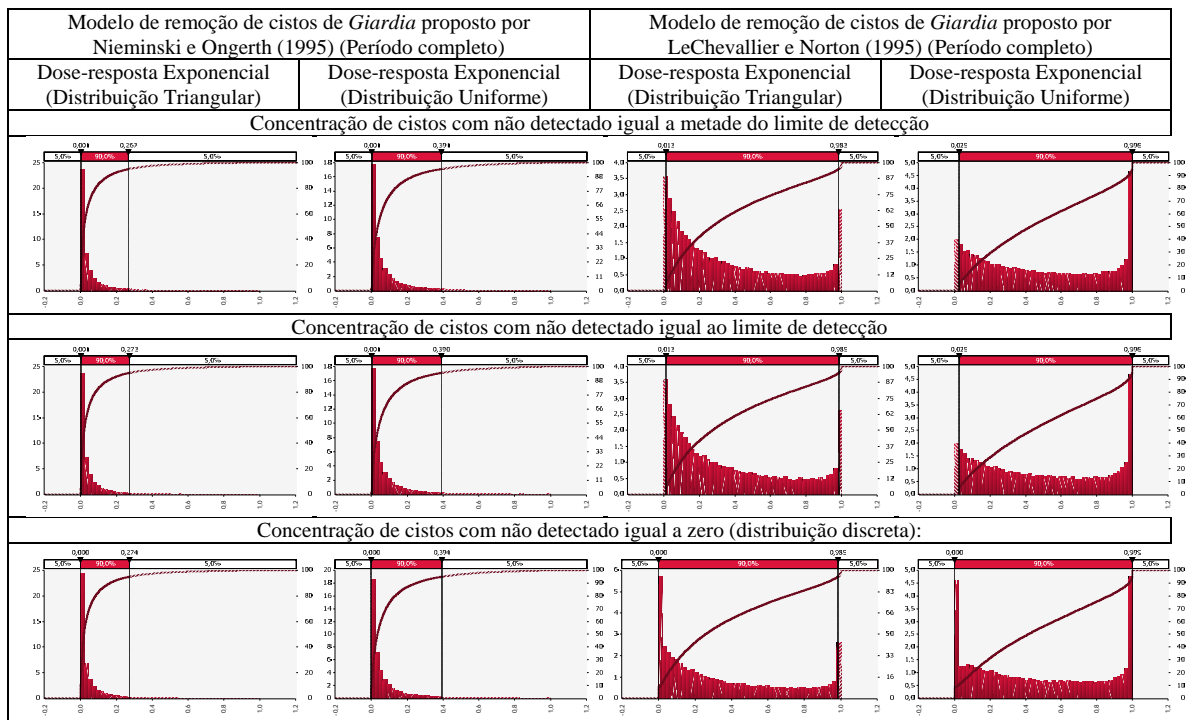


Figura 67- Histogramas das distribuições de probabilidades e curvas de frequência acumulada de riscos anuais de infecção (período completo): consumo de água seguindo distribuição Triangular, modelos de remoção de cistos de *Giardia* proposto por Nieminski e Ongerth (1995) e LeChevallier e Norton (1995) para dados de turbidez do filtro 2, modelos dose-resposta: Exponencial com distribuição Triangular, Exponencial com distribuição Uniforme. Dados na detectados igual a metade do limite de detecção, dados não detectados igual ao limite de detecção, dados não detectados igual a zero.

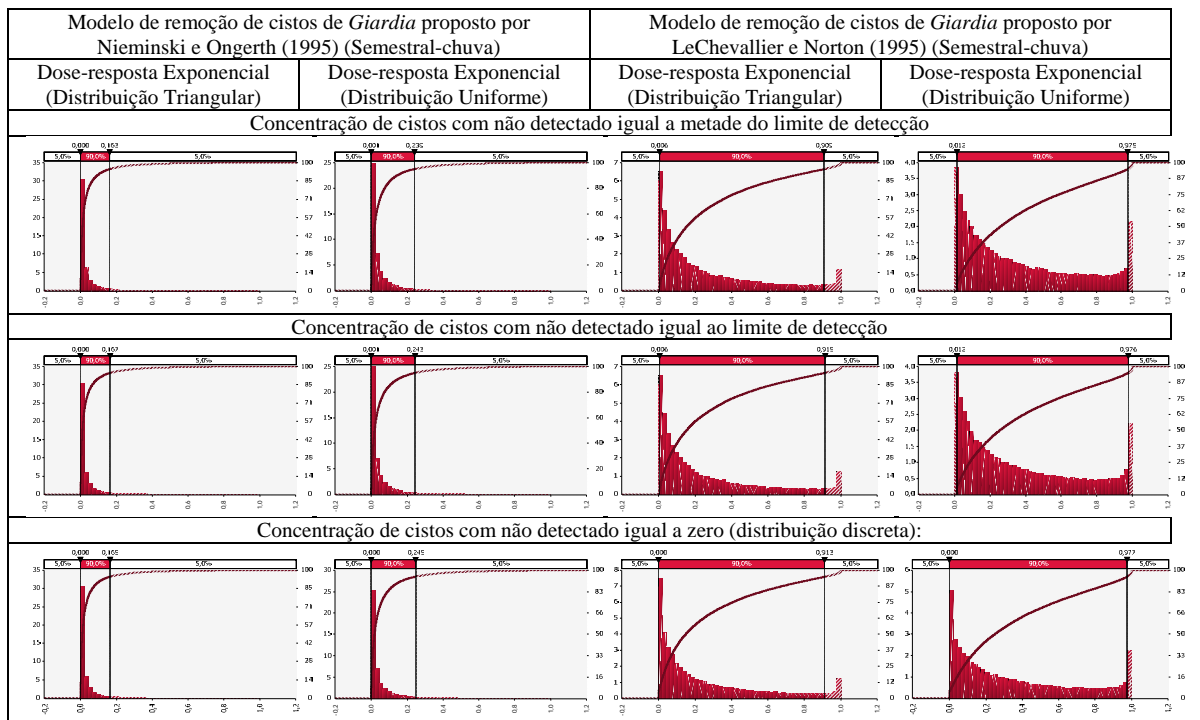


Figura 68- Histogramas das distribuições de probabilidades e curvas de frequência acumulada de riscos anuais de infecção (Semestral-chuva): consumo de água seguindo distribuição Triangular, modelos de remoção de cistos de *Giardia* proposto por Nieminski e Ongerth (1995) e LeChevallier e Norton (1995) para dados de turbidez do filtro 2, modelos dose-resposta: Exponencial com distribuição Triangular, Exponencial com distribuição Uniforme. Dados na detectados igual a metade do limite de detecção, dados não detectados igual ao limite de detecção, dados não detectados igual a zero.

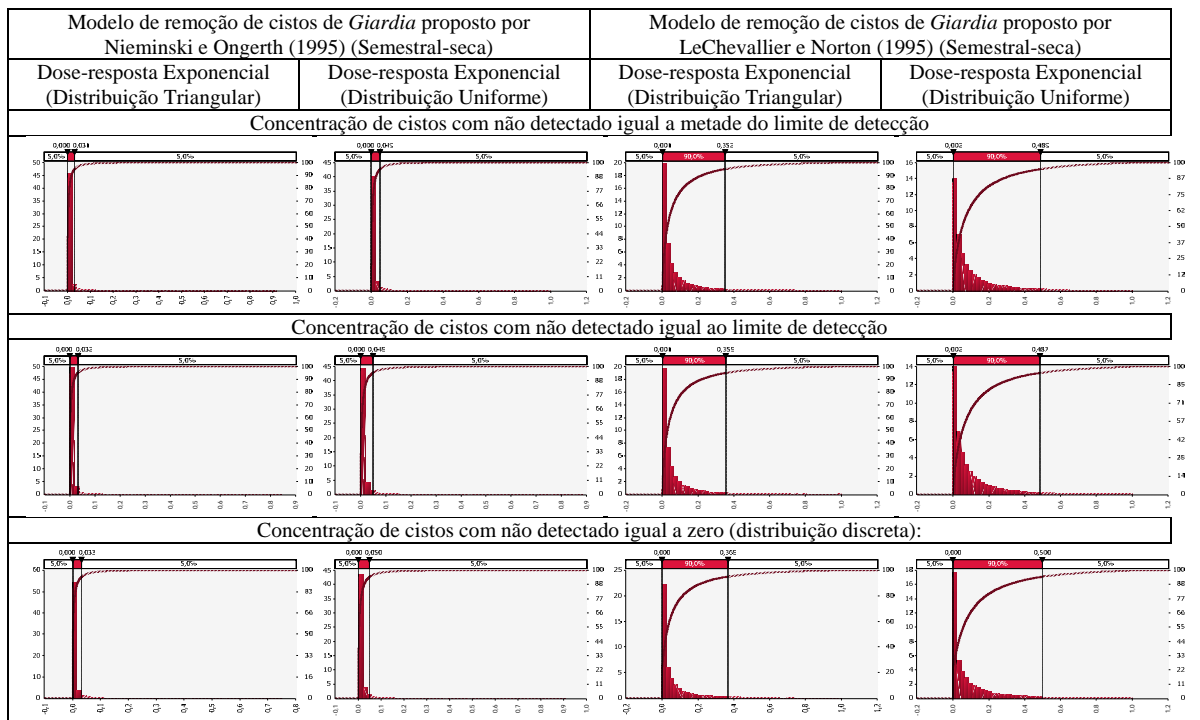


Figura 69- Histogramas das distribuições de probabilidades e curvas de frequência acumulada de riscos anuais de infecção (Semestral-seca): consumo de água seguindo distribuição Triangular, modelos de remoção de cistos de *Giardia* proposto por Nieminski e Ongerth (1995) e LeChevallier e Norton (1995) para dados de turbidez do filtro 2, modelos dose-resposta: Exponencial com distribuição Triangular, Exponencial com distribuição Uniforme. Dados na detectados igual a metade do limite de detecção, dados não detectados igual ao limite de detecção, dados não detectados igual a zero.